



TUGAS PENGGANTI KERJA PRAKTIK – RC184802

**PERANCANGAN GEDUNG BERTINGKAT 10 LANTAI DENGAN BETON
BERTULANG MUTU TINGGI**

IDA AYU PUTU EKA CHANDRA SARASWATI
NRP. 03111740000023

HILDA IMAMA ROFIQ
NRP. 03111740000060

Dosen Pembimbing
Bambang Piscesa, S.T., M.T., Ph.D.

DEPARTEMEN TEKNIK SIPIL
Fakultas Teknik Sipil, Perencanaan, dan Kebumian
Institut Teknologi Sepuluh Nopember
Surabaya
2020

“Halaman ini sengaja dikosongkan...”



TUGAS PENGGANTI KERJA PRAKTIK – RC184802

**PERANCANGAN GEDUNG BERTINGKAT 10 LANTAI DENGAN BETON
BERTULANG MUTU TINGGI**

IDA AYU PUTU EKA CHANDRA SARASWATI
NRP. 03111740000023

HILDA IMAMA ROFIQ
NRP. 03111740000060

Dosen Pembimbing
Bambang Piscesa, S.T., M.T., Ph.D.

DEPARTEMEN TEKNIK SIPIL
Fakultas Teknik Sipil, Perencanaan, dan Kebumian
Institut Teknologi Sepuluh Nopember
Surabaya
2020

“Halaman ini sengaja dikosongkan...”

LEMBAR PENGESAHAN

LAPORAN TUGAS PENGGANTI KERJA PRAKTIK

PERANCANGAN GEDUNG BERTINGKAT 10 LANTAI DENGAN BETON BERTULANG MUTU TINGGI

IDA AYU PUTU EKA CHANDRA SARASWATI NRP. 03111740000023
HILDA IMAMA ROFIQ NRP. 03111740000060

Surabaya, Desember 2020

Menyetujui,

Dosen Pembimbing

Z230
\Bambang
Piscesa


Digitally signed by
Z230\Bambang
Piscesa
Date: 2021.01.15
14:20:39 +07'00'
Bambang Piscesa, S.T., M.T., Ph.D.

NIP. 198403182008121002

Mengetahui,

Sekretaris Departemen I

Bidang Akademik dan Kemahasiswaan
Departemen Teknik Sipil FTSPK - ITS

Data Iranata, S.T., M.T., Ph.D
NIP. 198004302005011002

KATA PENGANTAR

Segala puji bagi Tuhan Yang Maha Esa karena berkat Rahmat dan Karunia-Nya, penulis diberikan kesehatan jasmani maupun rohani serta kemampuan berpikir sehingga dapat menyelesaikan Buku Tugas Pengganti Kerja Praktik yang berjudul “Perancangan Gedung Bertingkat 10 Lantai dengan Beton Bertulang Mutu Tinggi” tepat pada waktunya. Penyusunan buku ini tidak dapat diselesaikan tepat waktu tanpa bimbingan dan dukungan dari berbagai pihak yang telah mendorong penulis untuk tetap semangat menyelesaikan buku ini. Oleh karena itu, penulis ingin mengucapkan terima kasih yang sebesar-besarnya, kepada :

1. Tuhan Yang Maha Esa karena berkat Kuasa-Nya, penulis diberikan kesehatan serta kemudahan dalam menyelesaikan Buku Tugas Pengganti Kerja Praktik ini tepat pada waktunya.
2. Orang tua penulis yang selalu memberikan doa, dukungan, dan semangat selama perjalanan hidup penulis.
3. Bapak Bambang Piscesa, S.T., M.T., Ph.D., selaku dosen pembimbing penulis yang sangat sabar membimbing dan mengarahkan penulis selama penyusunan Buku Tugas Pengganti Kerja Praktik ini.
4. Bapak dan Ibu dosen serta staf pengajar Jurusan Teknik Sipil FTSLK-ITS yang telah memberikan ilmu dasar tentang ketekniksipilan.
5. Teman-teman angkatan S-60 yang selalu memberikan dukungan serta banyak bantuan penulis untuk menyelesaikan Buku Tugas Pengganti Kerja Praktik ini.

Dalam penyusunan Buku Tugas Pengganti Kerja Praktik ini, penulis sangat menyadari bahwa masih banyak kekurangan sehingga kritik dan saran yang bersifat membangun sangat penulis harapkan untuk kelengkapan dan perbaikan dalam penyusunan Buku Tugas Pengganti Kerja Praktik ini. Penulis berharap penyusunan buku ini dapat bermanfaat bagi setiap orang yang membacanya.

Surabaya, 22 Mei 2020

(Tim Penulis)

DAFTAR ISI

| | |
|---|-----|
| LEMBAR PENGESAHAN | V |
| KATA PENGANTAR..... | VI |
| DAFTAR ISI | VII |
| DAFTAR GAMBAR | X |
| DAFTAR TABEL | XII |
| BAB I | 1 |
| STRUKTUR BETON BERTULANG | 1 |
| 1.1 Beton Bertulang | 1 |
| 1.2 Sistem Struktur Gedung..... | 2 |
| 1.2.1 Sistem Rangka Pemikul Momen | 2 |
| 1.3 Desain Kekuatan Struktur..... | 2 |
| 1.3.1 Desain Kekuatan Struktur terhadap Lentur | 2 |
| 1.3.2 Desain Kekuatan Struktur terhadap Geser | 3 |
| 1.4 Elemen Struktur Beton Bertulang..... | 4 |
| 1.4.1 Pelat..... | 4 |
| 1.4.2 Balok | 5 |
| 1.4.3 Kolom..... | 5 |
| 1.5 Pembebanan Struktur..... | 6 |
| 1.5.1 Beban Gravitasi | 7 |
| 1.5.2 Beban Lateral | 8 |
| 1.5.3 Kombinasi Pembebanan | 10 |
| BAB II | 11 |
| PERANCANGAN STRUKTUR BETON BERTULANG | 11 |
| 2.1 Perancangan Struktur Beton Bertulang | 11 |
| 2.2 Studi Literatur..... | 11 |
| BAB III..... | 12 |
| PRELIMINARY DESIGN..... | 12 |
| 3.1 Alur Perencanaan <i>Preliminary Design</i> | 12 |
| 3.2 Data Umum Perencanaan | 12 |
| 3.3 Pembebanan..... | 12 |
| 3.4 Perencanaan Balok | 13 |
| 3.4.1 Perencanaan Balok Induk | 13 |
| 3.4.2 Perencanaan Balok Anak | 14 |
| 3.4.3 Perencanaan Balok Luivel..... | 15 |
| 3.5 Perencanaan Pelat | 16 |

| | | |
|-------------------------------------|--|----|
| 3.5.1 | Pelat Satu Arah..... | 16 |
| 3.5.2 | Pelat Dua Arah | 17 |
| 3.6 | Perencanaan Kolom..... | 21 |
| 3.6.1 | Data Perencanaan | 21 |
| 3.6.2 | Pembebanan Kolom | 22 |
| 3.6.3 | Perhitungan Dimensi Kolom..... | 23 |
| 3.7 | Perencanaan Tangga | 25 |
| 3.8 | Perencanaan <i>Lift</i> | 26 |
| BAB IV | | 28 |
| PERENCANAAN STRUKTUR SEKUNDER..... | | 28 |
| 4.1 | Alur Perencanaan Struktur Sekunder | 28 |
| 4.2 | Perencanaan Tangga | 28 |
| 4.2.1 | Data Perencanaan Tangga | 28 |
| 4.2.2 | Pembebanan Pelat Tangga dan Bordes | 28 |
| 4.2.3 | Perhitungan Gaya Tangga | 29 |
| 4.2.4 | Perhitungan Penulangan Tangga..... | 32 |
| 4.2.5 | Perencanaan Balok Bordes..... | 34 |
| 4.3 | Perencanaan Balok Anak..... | 38 |
| 4.4 | Perhitungan Pembebanan | 38 |
| 4.4.1 | Perhitungan Tulangan Balok Anak | 39 |
| 4.5 | Perencanaan Pelat..... | 45 |
| 4.5.1 | Perencanaan Pelat Lantai | 45 |
| 4.5.2 | Perencanaan Pelat Atap | 50 |
| BAB V | | 55 |
| PEMODELAN DAN ANALISA STRUKTUR..... | | 55 |
| 5.1 | Alur Pemodelan Struktur dan Analisis Struktur..... | 55 |
| 5.2 | Pembebanan Struktur..... | 55 |
| 5.2.1 | Pembebanan Gravitasi..... | 55 |
| 5.2.2 | Beban Hujan..... | 58 |
| 5.2.3 | Beban Gempa | 58 |
| 5.3 | Kontrol Desain..... | 62 |
| 5.3.1 | Kontrol Partisipasi Massa..... | 63 |
| 5.3.2 | Kontrol Waktu Getar Alami | 63 |
| 5.3.3 | Kontrol Nilai Akhir Respon Spektrum..... | 64 |
| 5.3.4 | Kontrol Akhir <i>Base Reaction</i> | 64 |
| 5.3.5 | Kontrol Batas Simpangan Antar Lantai (<i>Drift</i>)..... | 66 |
| BAB VI | | 70 |

| | |
|---|-----|
| PERENCANAAN STRUKTUR PRIMER | 70 |
| 6.1 Balok..... | 70 |
| 6.1.1 Balok BI 1 | 70 |
| 6.1.2 Pendetailan Tulangan | 77 |
| 6.1.3 Balok BI 2 | 80 |
| 6.1.4 Pendetailan Tulangan | 87 |
| 6.2 Kolom | 90 |
| 6.2.1 Kolom K1 | 90 |
| 6.2.2 Pendetailan Tulangan | 95 |
| 6.2.3 Kolom K2 | 98 |
| 6.2.4 Pendetailan Tulangan | 103 |
| 6.3 Hubungan Balok Kolom | 106 |
| 6.3.1 Hubungan Balok Kolom Interior..... | 106 |
| 6.3.2 Kolom K1 Mutu Normal | 112 |
| 6.3.3 Pendetailan Tulangan | 116 |
| 6.3.4 Kolom Lantai 2..... | 118 |
| 6.3.5 Pendetailan Tulangan | 123 |
| KESIMPULAN | 126 |
| LAMPIRAN GAMBAR | 127 |

DAFTAR GAMBAR

| | |
|--|-----|
| Gambar 1.1 Struktur Beton Bertulang..... | 1 |
| Gambar 1.2 Perencanaan Penulangan Pelat Lantai | 4 |
| Gambar 1.3 Jenis- Jenis Balok Beton Bertulang..... | 5 |
| Gambar 1.4 Jenis- Jenis Kolom Beton Bertulang | 6 |
| Gambar 1.5 Parameter Gerak Tanah S _s | 9 |
| Gambar 1.6 Parameter Gerak Tanah S ₁ | 9 |
| Gambar 3.1 Denah Pelat S6 2 m x 4 m | 16 |
| Gambar 3.2 Denah Pelat S1 6 m x 4 m | 17 |
| Gambar 3.3 Luas Pembebanan Kolom..... | 22 |
| Gambar 3.4 Denah Perencanaan Tangga | 25 |
| Gambar 3.5 Dimensi Pelat Anak Tangga..... | 25 |
| Gambar 3.6 Dimensi Lift 1 Pintu dengan Rucksack System..... | 27 |
| Gambar 3.7 Dimensi Lift 1 Pintu dengan Telescopic Door | 27 |
| Gambar 4.1 Permodelan Tangga..... | 29 |
| Gambar 4.2 Diagram Gaya Normal Tangga | 30 |
| Gambar 4.3 Diagram Gaya Lintang Tangga | 31 |
| Gambar 4.4 Diagram Momen Lintang Tangga | 31 |
| Gambar 4.5 Distribusi Beban Pelat 2 Arah terhadap Balok Anak. | 38 |
| Gambar 4.6 Beban Ekivalen Trapesium. | 39 |
| Gambar 5.1 Tampak 3D Pemodelan Gedung pada Program ETABS..... | 55 |
| Gambar 5.2 Pemodelan Denah Gedung pada Program ETABS | 56 |
| Gambar 5.3 Tabel Koefisien F_a dan F_v | 59 |
| Gambar 5.4 Tabel Koefisien dan Faktor Sistem Pemikul Gaya Seismik..... | 60 |
| Gambar 5.5 Tabel Kategori Desain Seismik berdasarkan SDS dan SD1..... | 60 |
| Gambar 5.6 Grafik Respon Spektrum Desain | 61 |
| Gambar 5.7 Tabel Output ETABS Rasio Partisipasi Massa | 63 |
| Gambar 5.8 Tabel Output ETABS Prosentase Partisipasi Beban Gempa Statik dan Dinamik | 63 |
| Gambar 5.9 Nilai parameter periode pendekatan C_t dan x | 64 |
| Gambar 5.10 Output ETABS Gaya Geser Dasar Akibat Beban Gempa Sebelum Dikali Faktor .. | 65 |
| Gambar 5.11 Output ETABS Gaya Geser Dasar Akibat Beban Gempa Setelah Dikali Faktor ... | 66 |
| Gambar 5.12 Tabel Simpangan Antar Tingkat Ijin | 66 |
| Gambar 5.13 Hasil Output ETABS Kurva Simpangan Akibat Beban Gempa Arah X | 68 |
| Gambar 5.14 Hasil Output ETABS Kurva Simpangan Akibat Beban Gempa Arah X | 69 |
| Gambar 6.1 Diagram Momen, Geser dan Torsi Balok Induk Tipe BI 1 | 70 |
| Gambar 6.2 Diagram Momen, Geser dan Torsi Balok Induk Tipe BI 2 | 80 |
| Gambar 6.3 Diagram Momen, Geser dan Torsi Kolom Tipe K1 | 90 |
| Gambar 6.4 Hasil SPColumn kurva interaksi kolom tipe K1 | 91 |
| Gambar 6.5 Hasil ETABS kurva interaksi kolom tipe K1 | 92 |
| Gambar 6.6 Hasil input beban untuk arah biaxial pada SPColumn | 92 |
| Gambar 6.7 Diagram Momen, Geser dan Torsi Kolom Tipe K2 | 98 |
| Gambar 6.8 Hasil SPColumn kurva interaksi kolom tipe K2 | 99 |
| Gambar 6.9 Hasil ETABS kurva interaksi kolom tipe K2 | 99 |
| Gambar 6.10 Hasil input beban untuk arah biaxial pada SPColumn | 100 |
| Gambar 6.11 Ilustrasi momen pada joint balok-kolom | 107 |
| Gambar 6.12 Ilustrasi gaya geser pada joint balok-kolom | 108 |
| Gambar 6.13 Ilustrasi momen pada joint balok-kolom | 110 |
| Gambar 6.14 Ilustrasi gaya geser pada joint balok-kolom | 111 |
| Gambar 6.15 Penampang Kolom Lantai 1 | 112 |

| | |
|--|-----|
| Gambar 6.16 Hasil SPColumn Arah X Kolom Lantai 1 | 113 |
| Gambar 5.3 Hasil SPColumn Arah Y Kolom Lantai 1 | 113 |
| Gambar 6.18 Hasil SPColumn Arah X Kolom Lantai 2 | 119 |
| Gambar 5.8 Hasil SPColumn Arah Y Kolom Lantai 2 | 120 |

DAFTAR TABEL

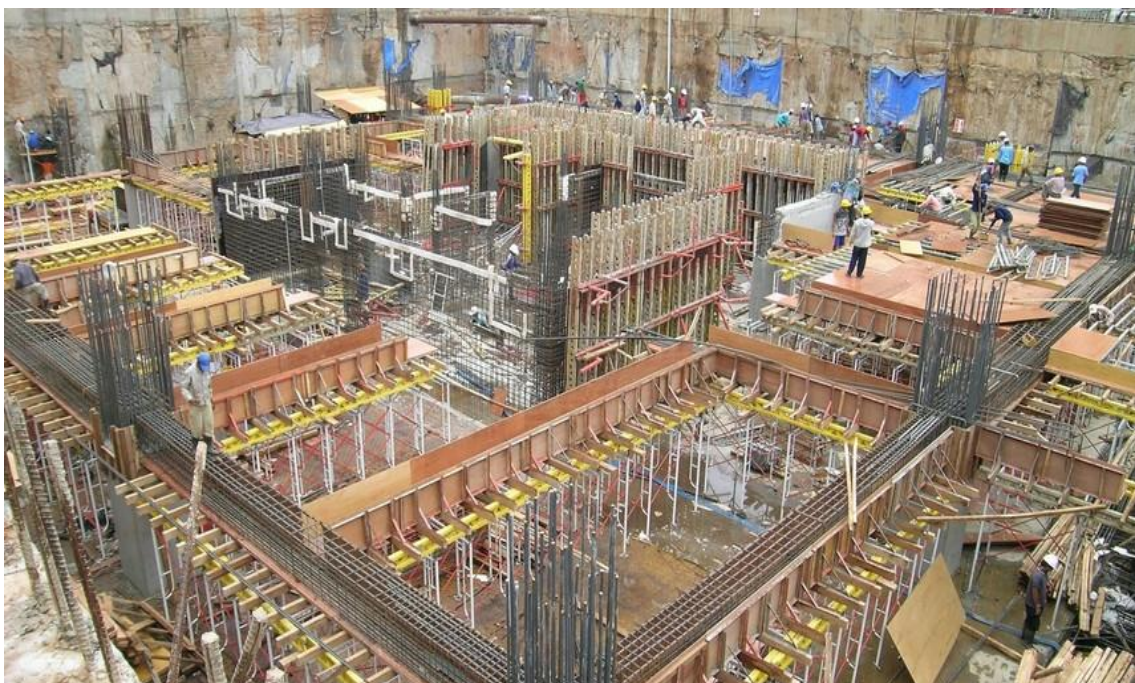
| | |
|---|-----|
| Tabel 1.1 Jenis dan Besar Beban Mati | 7 |
| Tabel 1.2 Jenis dan Besar Beban Hidup..... | 7 |
| Tabel 3.1 Rekapitulasi Dimensi Balok Induk | 14 |
| Tabel 3.2 Rekapitulasi Dimensi Balok Anak | 15 |
| Tabel 3.3 Rekapitulasi Dimensi Balok Luivel | 16 |
| Tabel 3.4 Rekapitulasi Perhitungan Ketebalan Pelat | 21 |
| Tabel 3.5 Rekapitulasi Beban Mati Struktur | 22 |
| Tabel 3.6 Rekapitulasi Beban Mati Struktur | 23 |
| Tabel 3.7 Rekapitulasi Dimensi Kolom | 24 |
| Tabel 4.1 Rekapitulasi Perhitungan Penulangan Balok | 45 |
| Tabel 4.2 Rekapitulasi Perhitungan Penulangan Pelat Lantai..... | 49 |
| Tabel 4.3 Rekapitulasi Perhitungan Penulangan Pelat Atap | 54 |
| Tabel 5.1 Rekapitulasi Beban Mati Lantai 1 | 56 |
| Tabel 5.2 Rekapitulasi Beban Mati Lantai 2—5 | 57 |
| Tabel 5.3 Rekapitulasi Beban Mati Lantai 6—9 | 57 |
| Tabel 5.4 Rekapitulasi Beban Mati Lantai Atap | 58 |
| Tabel 5.5 Rekapitulasi Beban Hidup Bangunan | 58 |
| Tabel 5.6 Data Respons Spektral | 59 |
| Tabel 5.7 Respon Spektrum Desain | 60 |
| Tabel 5.8 Berat Bangunan Hasil Program ETABS | 61 |
| Tabel 5.9 Berat Bangunan Perhitungan Manual | 61 |
| Tabel 5.10 Defleksi Tiap Lantai Akibat Beban Gempa Respon Spektrum Arah X | 67 |
| Tabel 5.11 Kontrol Simpangan Antar Lantai Arah X | 67 |
| Tabel 5.12 Defleksi Tiap Lantai Akibat Beban Gempa Respon Spektrum Arah Y | 68 |
| Tabel 5.13 Kontrol Simpangan Antar Lantai Arah –Y | 69 |
| Tabel 6.1 Rekapitulasi Penulangan Balok Induk | 90 |
| Tabel 6.2 Rekapitulasi Penulangan Kolom | 105 |

BAB I

STRUKTUR BETON BERTULANG

1.1 Beton Bertulang

Beton bertulang merupakan gabungan logis dari dua jenis bahan/ material yaitu beton polos dan tulangan baja. Beton polos merupakan bahan yang memiliki kekuatan tekan yang tinggi akan tetapi memiliki kekuatan tarik yang rendah. Sedangkan tulangan baja akan memberi kekuatan tarik yang besar sehingga tulangan baja akan memberi kekuatan tarik yang diperlukan. Dengan adanya kelebihan masing-masing elemen tersebut, maka konfigurasi antara beton dan tulangan baja diharapkan dapat saling bekerjasama dalam menahan gaya-gaya yang berkerja dalam struktur tersebut, dimana gaya tekan ditahan oleh beton, dan tarik ditahan oleh tulangan baja.



Gambar 1.1 Struktur Beton Bertulang

1 . Kelebihan Beton Bertulang

- Beton termasuk tahan aus dan tahan terhadap kebakaran.
- Beton sangat kokoh dan kuat terhadap beban bumi, getaran, ataupun angina.
- Berbagai bentuk konstruksi dapat dibuat dari bahan beton menurut selera perancang atau pemakai.
- Biaya pemeliharaan atau perawatan sangat sedikit (tidak ada).

2 . Kelemahan Beton Bertulang

- Beton mempunyai kuat tarik yang rendah sehingga mudah retak. Oleh karena itu, perencanaannya perlu diberikan baja tulangan, atau tulangan kasa (meshes).
- Konstruksi beton itu berat sehingga perencanaan bangunan harus menyediakan pondasi yang cukup besar/kuat.
- Hasil beton dengan mutu yang baik diperlukan biaya pengawasan tersendiri.
- Konstruksi beton tak dapat dipindah dan sisa beton tidak ada harganya.

1.2 Sistem Struktur Gedung

Sistem struktur gedung adalah susunan tata letak struktur agar gedung dapat memikul beban bangunan, seperti beban mati, beban hidup, beban angin, beban gempa, dan beban lainnya. Kerusakan dan kegagalan struktur sering terjadi salah satunya akibat dari kesalahan dalam memilih sistem struktur yang tidak dapat memberikan kinerja yang baik ketika terjadi pembebanan berulang, seperti beban gempa. Agar terhindar dari kegagalan dan kerusakan pada struktur, pemilihan sistem struktur yang tepat adalah hal yang sangat penting dalam merencanakan suatu konstruksi.

1.2.1 Sistem Rangka Pemikul Momen

Sistem rangka pemikul momen adalah sistem struktur yang memiliki rangka ruang pemikul beban gravitasi secara lengkap. Beban lateral dipikul oleh rangka pemikul momen melalui mekanisme lentur. Sistem rangka pemikul momen terdapat tiga jenis salah satunya, yaitu sistem rangka pemikul momen khusus.

SRPMK (Sistem Rangka Pemikul Momen Khusus) merupakan sistem rangka yang dapat digunakan untuk bangunan daerah zona gempa yang tinggi yaitu zona 5 hingga zona 6. Sistem ini menggunakan komponen struktur dengan *joint*-nya untuk menahan gaya yang bekerja melalui aksi lentur, geser, dan aksial. Angka faktor modifikasi sistem rangka pemikul momen khusus bernilai sebesar $R = 8$.

Sistem ini merupakan jenis sistem rangka yang memiliki daktilitas penuh sehingga dalam perencanaannya menggunakan sistem penahan beban lateral yang memenuhi peraturan *detailing* khusus serta daktilitas penuh.

Persyaratan-persyaratan fundamental untuk SRPMK yang daktail, yaitu :

- Sedapatnya menjaga keteraturan struktur.
- Cukup kuat menahan gempa normative yang ditentukan berdasarkan kemampuan disipasi energi.
- Cukup kaku untuk membatasi penyimpangan.
- Hubungan balok kolom cukup kuat menahan rotasi yang terjadi.
- Komponen-komponen balok dan kolom mampu membentuk sendi plastis tanpa mengurangi kekuatannya yang berarti balok-balok mendahului terbentuknya sendi-sendi plastis yang tersebar diseluruh sistem struktur sebelum terjadi pada kolom-kolom.
- Tidak ada kolom yang lebih lemah yang akan menyebabkan sendi-sendi plastis di ujung atas dan bawah pada kolom-kolom lain ditingkat itu yang menjurus pada keruntuhan seluruh struktur.
- Konsep “*strong column weak beam*” dalam sitem rangka pemikul momen khusus mengandung arti bahwa konstruksi kolom yang ada harus lebih kaku dari pada balok sehingga kerusakan struktur ketika terjadi beban lateral/gempa, terlebih dahulu terjadi pada balok, lalu kerusakan struktur terjadi pada kolom. Dengan kata lain, balok-balok mendahului pembentukan sendi-sendi plastis yang tersebar di seluruh sistem struktur sebelum terjadi di kolom-kolom.

1.3 Desain Kekuatan Struktur

1.3.1 Desain Kekuatan Struktur terhadap Lentur

Perencanaan kekuatan struktur terhadap lentur diwujudkan dalam perhitungan perencanaan pemberian lentur. Perencanaan pemberian (penulangan) yang dilakukan dalam perencanaan kekuatan penampang terhadap lentur dimaksudkan terutama untuk menghitung seberapa besar pemberian yang harus dipasang pada struktur balok agar diperoleh suatu struktur balok beton dengan pemberian yang berperilaku komposit dalam menahan beban rencana yang bekerja.

Perilaku struktur komposit sangat diharapkan untuk dapat bekerja dengan baik sebab momen lentur (*bending moment*) yang bekerja menyebabkan timbulnya tegangan tekan dan tegangan tarik pada serat yang berlawanan (tegangan tekan pada serat atas sedangkan tegangan tarik pada serat bawah atau sebaliknya) dalam suatu penampang struktur yang dibebani lentur. Sifat material beton yang sangat baik dalam menahan tegangan tekan namun buruk dalam menahan tegangan tarik dibantu dengan pembesian yang menunjukkan *performance* yang sangat baik dalam menahan tegangan tarik. Perilaku komposit yang baik yang tercapai dengan perencanaan yang baik akan menjamin kekuatan struktur terhadap lentur. Dari sini dapat terlihat bahwa pembesian diperlukan pada serta penampang yang mengalami tegangan tarik.

1.3.2 Desain Kekuatan Struktur terhadap Geser

Perencanaan struktur beton bertulang terhadap geser sama halnya dengan perencanaan terhadap lentur karena yang menentukan dalam hal ini adalah perilaku struktur terhadap batas keruntuhan. Karena kekuatan tarik beton jauh lebih kecil dibandingkan dengan kekuatan tekannya, maka desain terhadap geser merupakan hal yang sangat penting dalam struktur beton. Perilaku balok beton bertulang pada keadaan runtuh karena geser sangat berbeda dengan pada keruntuhan karena lentur. Balok tersebut langsung hancur tanpa adanya peringatan terlebih dahulu. Jika jarak diagonalnya jauh lebih lebar dibandingkan dengan retak lentur.

Balok dengan tulangan geser yang umum dikenal adalah sengkang vertikal yang dapat berupa baja tulangan diameter kecil ataupun jaringan kawat baja las yang dipasang tegak lurus sumbu utama aksial penampang, dan sengkang miring. Sengkang ini biasanya terbuat dari tulangan berdiameter kecil, seperti diameter 8, 10, atau 12 mm dengan mengikat tulangan longitudinal yang dibengkokkan membentuk sudut 30^0 atau lebih terhadap arah tulangan tarik diagonal.

Perilaku geser tidak sama untuk setiap struktur. Dalam usaha untuk mengetahui perilaku geser pada struktur beton bertulang, pemahaman perilaku geser pada struktur yang bermaterial homogen, isotropic, dan elastis linier sangat diperlukan. Dengan sedikit modifikasi, pendekatan berdasarkan asumsi tersebut dapat diterapkan guna memberikan gambaran yang cukup baik terhadap formasi retak dan kekutan geser beton bertulang.

Tergantung pada lokasi titik yang ditinjau dari balok, terdapat tiga kombinasi tegangan yang mungkin terjadi, yakni :

- Kondisi dengan harga momen lentur besar, sedangkan gaya geser kecil/rendah. Retak terjadi pada bagian tepi yang mengalami tegangan tarik, dan arahnya hampir tegak lurus terhadap sumbu balok, disebut sebagai retak lentur (*flexural cracks*).
- Kondisi dengan harga momen lentur dan gaya geser memiliki besar yang sama. Retak lentur akan terjadi lebih dahulu, dan lebar ataupun panjang retak ini dikendalikan oleh adanya tulangan longitudinal. Bila tegangan tarik diagonal pada daerah di atas retak ini melampaui kekutan tarik beton, retak tersebut akan menjalar memblok kearah diagonal. Disebut retak geser lentur (*flexural-shear crack*).
- Kondisi dengan harga momen lentur kecil sedangkan harga gaya geser besar. Kondisi ini terjadi retak diagonal (*diagonal tension crack atau web shear crack*). Pada keadaan ini, retak lentur jarang terjadi mendahului retak diagonal. Pada kondisi tegangan lentur sangat kecil, tegangan tarik diagonal membentuk sudut 45^0 dan nilainya sama dengan nilai tegangan geser yang maksimum pada garis netral. Oleh karena itu retak diagonal ini hampir selalu terbentuk pada daerah sumbu netral.

1.4 Elemen Struktur Beton Bertulang

Elemen struktur beton bertulang merupakan bagian-bagian penyusun struktur, seperti pelat, balok, serta kolom. Elemen struktur beton ini dibuat dengan cara pengecoran berupa beton segar yang dilakukan langsung di lokasi sesuai dengan jadwal yang direncanakan. Proses pengecoran dilakukan dalam bentuk dan ukuran yang direncanakan dengan bantuan menggunakan bekisting sebagai cetakan serta perancah untuk menyanggah tempat cetakan saat pengecoran berlangsung.

1.4.1 Pelat

Pelat merupakan struktur tipis yang dibuat dari beton dengan bidang yang arahnya horizontal dan beban yang bekerja tegak lurus pada bidang struktur tersebut. Pembebaan yang akan diperhitungkan pada struktur pelat adalah semua beban, yaitu beban mati atau pun beban hidup yang menumpu di atas pelat itu sendiri.



Gambar 1.2 Perencanaan Penulangan Pelat Lantai

Ketebalan bidang pelat ini relatif kecil apabila dibandingkan dengan bentang panjang atau lebarnya. Bidang pelat beton bertulang ini sangat kaku dan arahnya horizontal sehingga pada bangunan gedung pelat berfungsi sebagai diagfragma/unsur pengaku dalam suatu struktur.

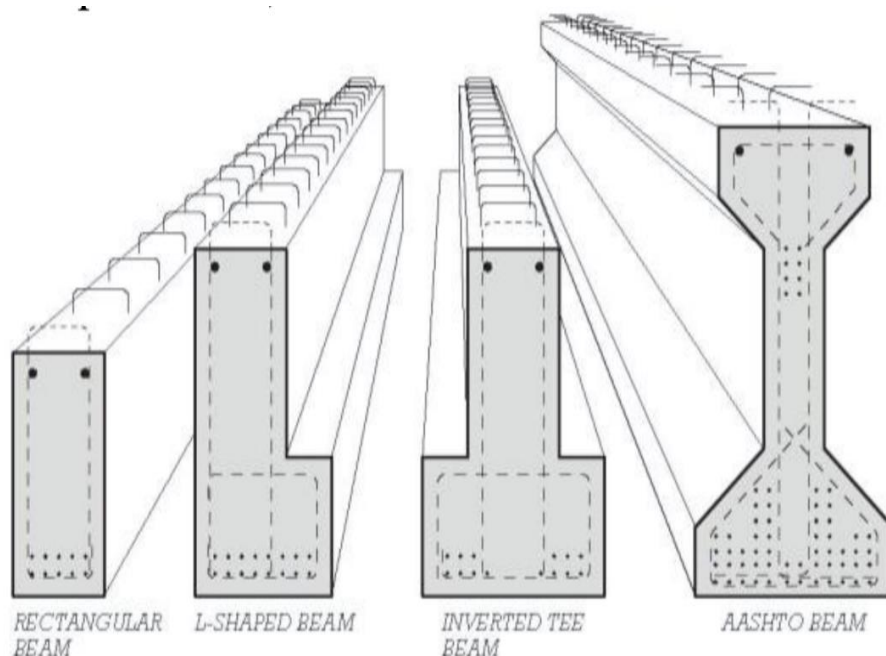
Pelat lantai beton ini umumnya bertulang dan dicor ditempat, bersama dengan balok penumpu dan kolom pendukungnya. Penulangan pelat lantai ini yaitu direncanakan dengan tulangan baja pada kedua arahnya dan tulangan silang untuk menahan momen tarik dan juga lenturan.

Beberapa jenis konstruksi plat yang paling umum digunakan diantaranya, yaitu :

- Sistem balok-plat satu arah menerus.
- Konstruksi plat berusuk – satu arah.
- Sistem lantai waffle dua arah.
- Sistem plat datar atau flat plate.
- Sistem lantai datar atau flat slab.
- Sistem Lantai balok-plat dua arah.

1.4.2 Balok

Balok beton bertulang merupakan gabungan logis dari dua jenis bahan/material yaitu beton polos dan tulangan baja. Beton Polos merupakan bahan yang memiliki kekuatan tekan yang tinggi akan tetapi memiliki kekuatan tarik yang rendah, sedangkan tulangan baja akan memberikan kekuatan tarik yang diperlukan. Kelebihan masing-masing elemen tersebut, maka konfigurasi antara beton dan tulangan baja diharapkan dapat saling bekerja sama dalam menahan gaya-gaya yang bekerja dalam struktur tersebut, dimana gaya tekan ditahan oleh beton sedangkan gaya tarik oleh tulangan baja. Fungsi balok pada struktur itu sendiri yaitu salah satu elemen struktur yang menyalurkan beban-beban dari pelat ke kolom penyangga yang vertikal. Dalam kontruksi gedung, balok dibagi menjadi tiga penampang yaitu balok L, T dan persegi.



Gambar 1.3 Jenis- Jenis Balok Beton Bertulang

1.4.3 Kolom

Kolom adalah batang tekan vertikal dari rangka struktur yang memikul beban dari balok. Kolom merupakan suatu elemen struktur tekan yang memegang peranan penting dari suatu bangunan sehingga keruntuhan pada suatu kolom merupakan lokasi kritis yang dapat menyebabkan runtuhnya (*collapse*) lantai yang bersangkutan dan juga runtuh total (*total collapse*) seluruh struktur.

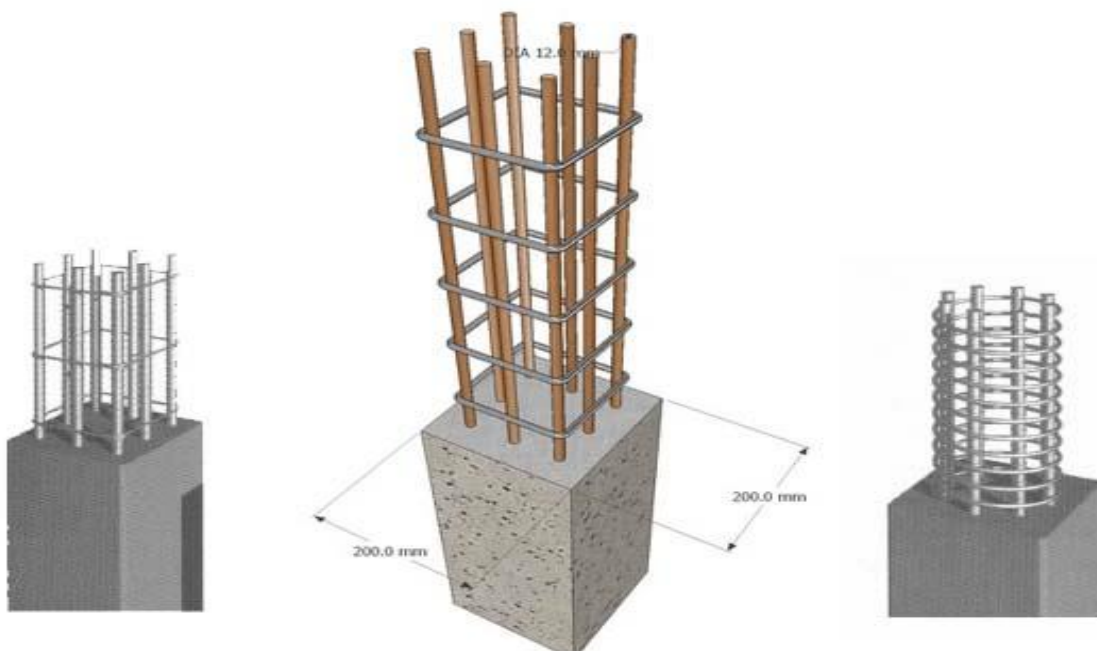
Fungsi kolom adalah sebagai penerus beban seluruh bangunan ke pondasi. Kolom termasuk struktur utama untuk meneruskan berat bangunan dan beban lain seperti beban hidup (manusia dan barang-barang) serta beban hembusan angin. Kolom berfungsi sangat penting agar bangunan tidak mudah roboh. Beban sebuah bangunan dimulai dari atap. Beban atap akan meneruskan beban yang diterimanya ke kolom. Seluruh beban yang diterima kolom didistribusikan ke permukaan tanah di bawahnya.

Struktur dalam kolom dibuat dari besi dan beton. Keduanya merupakan gabungan antara material yang tahan tarikan dan tekanan. Besi atau tulangan adalah material yang tahan tarikan, sedangkan beton adalah material yang tahan tekanan.

Gabungan kedua material ini dalam struktur beton memungkinkan kolom atau bagian struktural lain, seperti *sloof* dan balok bisa menahan gaya tekan dan gaya tarik pada bangunan.

Jenis-jenis kolom menurut buku struktur beton bertulang (Istimawan Dipohusodo, 1994), kolom beton bertulang terdiri dari tiga jenis, yaitu :

- Kolom menggunakan pengikat sengkang lateral. Kolom ini merupakan kolom beton yang ditulangi dengan batang tulangan pokok memanjang, yang pada jarak spasi tertentu diikat dengan pengikat sengkang ke arah lateral. Tulangan ini berfungsi untuk memegang tulangan pokok memanjang agar kokoh pada tempatnya.
- Kolom menggunakan pengikat spiral. Bentuknya sama dengan yang pertama hanya saja sebagai pengikat tulangan pokok memanjang adalah tulangan spiral yang dililitkan keliling membentuk heliks menerus di sepanjang kolom. Fungsi dari tulangan spiral adalah memberi kemampuan kolom untuk menyerap deformasi cukup besar sebelum runtuh sehingga mampu mencegah terjadinya kehancuran seluruh struktur sebelum proses redistribusi momen dan tegangan terwujud.
- Struktur kolom komposit, merupakan komponen struktur tekan yang diperkuat pada arah memanjang dengan gelagar baja profil atau pipa serta menggunakan atau tidak menggunakan batang tulangan pokok memanjang.



Gambar 1.4 Jenis- Jenis Kolom Beton Bertulang

1.5 Pembebanan Struktur

Pembebanan pada struktur bangunan tinggi berbeda dengan pembebanan pada bangunan tingkat rendah. Pada perencanaan bangunan tinggi perlu diperhatikan beban lateral yang berpengaruh terhadap kekuatan dan stabilitas struktur selain adanya beban gravitasi. Beban lateral tersebut bekerja pada setiap tingkat dan dianggap sebagai beban statis yang menirukan beban gempa riil akibat gerakan tanah. Untuk beban gravitasi, pembebanan pada struktur bangunan tinggi hampir sama dengan pembebanan bangunan tingkat rendah. Beban gravitasi ini mencakup beban mati dari suatu struktur antara lain pelat dan balok, beban berguna dan beban hidup yang terjadi akibat hunian.

Besar berat sendiri bahan bangunan dan komponen gedung serta beban hidup yang bekerja ditetapkan dalam Peraturan Pembebanan Indonesia Untuk Gedung (1983).

1.5.1 Beban Gravitasi

1.5.1.1 Beban Mati

Beban mati adalah berat dari semua bagian suatu gedung/bangunan yang bersifat tetap selama masa layan struktur, termasuk unsur – unsur tambahan, finishing, mesin – mesin serta peralatan tetap yang merupakan bagian tak terpisahkan dari gedung/bangunan tersebut. Termasuk dalam beban ini adalah berat struktur, pipa – pipa, saluran listrik, AC, lampu – lampu, penutup lantai, dan plafon. Beban mati yang direncanakan pada modifikasi struktur ini berdasarkan peraturan PPIUG 1983.

Tabel 1.1 Jenis dan Besar Beban Mati

| Jenis Beban | Besar Beban |
|----------------------|------------------------|
| Baja | 7850 kg/m ³ |
| Beton | 2200 kg/m ³ |
| Beton Bertulang | 2400 kg/m ³ |
| Kayu (Kelas I) | 1000 kg/m ³ |
| Pasir (Kering Udara) | 1600 kg/m ³ |
| Aspal | 2200 kg/m ³ |
| Komponen Gedung | |
| Plafon | 7 kg/m ² |
| Penggantung Plafon | 11 kg/m ² |
| Penutup Atap Genting | 50 kg/m ³ |
| Lantai Ubin | 24 kg/m ² |
| Spesi (/cm) | 21 kg/m ² |
| Dinding Bata ringan | 100 kg/m ² |
| Dinding Bata Merah | 250 kg/m ³ |

1.5.1.2 Beban Hidup

Beban hidup adalah beban gravitasi yang bekerja pada struktur dalam masa layannya, dan timbul akibat penggunaan suatu gedung. Termasuk beban ini adalah berat manusia, perabotan yang dapat dipindah – pindah, kendaraan, dan barang – barang lain. Beban yang direncanakan pada modifikasi struktur ini berdasarkan peraturan PPIUG 1983 dan SNI 1727:2013 Tabel 4.1.

Tabel 1.2 Jenis dan Besar Beban Hidup

| Jenis Beban | Besar Beban |
|---|-----------------------|
| Lantai dan tangga rumah tinggal sederhana | 125 kg/m ² |
| Lantai sekolah, ruang kuliah, kantor, toko, toserba, restoran, hotel, asrama, rumah sakit | 250 kg/m ² |
| Lantai ruang olah raga. | 400 kg/m ² |
| Lantai pabrik, bengkel, gudang, perpustakaan, ruang arsip, toko buku, ruang mesin dan lain - lain | 400 kg/m ² |
| Lantai gedung parkir bertingkat, untuk lantai bawah. | 800 kg/m ² |
| Lantai gedung parkir. | 400 kg/m ² |

1.5.2 Beban Lateral

1.5.2.1 Beban Angin

Beban angin adalah beban yang bekerja pada struktur akibat tekanan-tekanan dari gerakan angin. Beban angin sangat tergantung dari lokasi dan ketingian dari struktur. Besarnya tekanan tiup harus diambil minimum sebesar 25 kg/m^2 kecuali untuk bangunan-bangunan yang berada di lokasi tepi laut sejauh 5 km dari pantai harus diambil minimum 40 kg/m^2 . Perencanaan beban angin mengikuti SNI 1727:2013 tentang Beban Minimum untuk Perancangan Bangunan Gedung dan Struktur Lain.

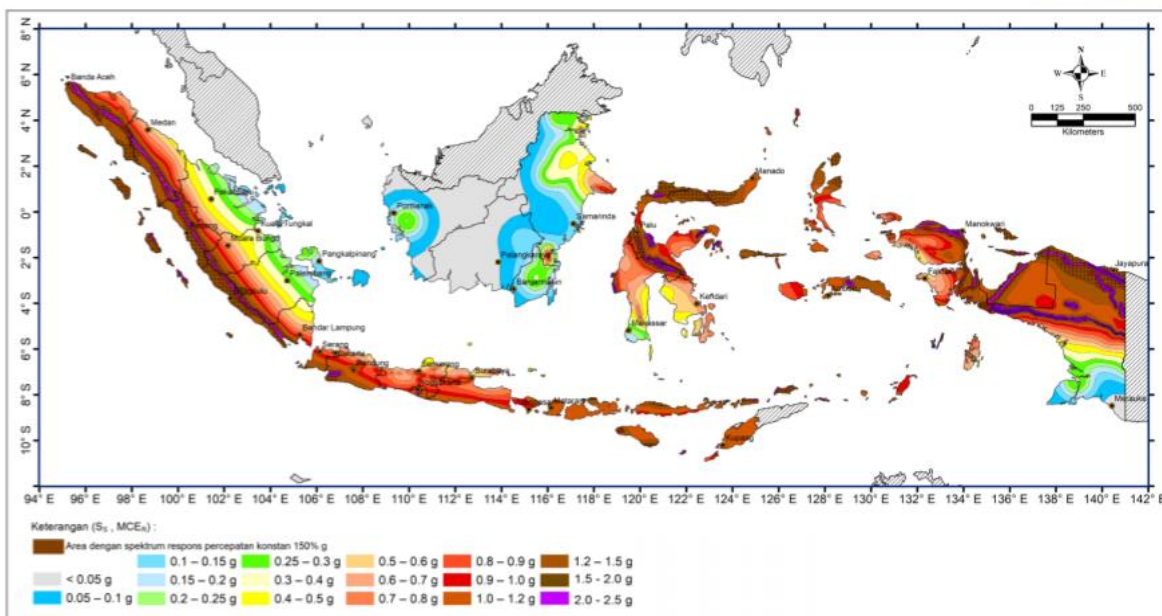
1.5.2.2 Beban Gempa

Indonesia merupakan wilayah dengan tingkat resiko gempa yang cukup tinggi. Kejadian gempa sering melanda Indonesia, baik dalam ukuran yang kecil yang frekuensi kejadiannya sampai ribuan kali pertahun, maupun gempa dengan kekuatan yang cukup besar yang dapat merusakkan bangunan. Hal ini tidak terlepas dari kondisi geografis Indonesia yang terletak di antara empat sistem lempeng tektonik yang aktif, yakni tapal batas lempeng Eurasia, lempeng IndoAustralia, lempeng Filipina dan lempeng Pasifik. Pada prinsipnya gempa yang umum terjadi adalah suatu peristiwa pelepasan energi pada suatu tempat di perbatasan lempeng-lempeng plat tektonik.

Selama terjadi gempa bumi, bangunan akan mengalami gerakan vertikal dan gerakan horisontal. Gaya gempa baik dalam arah vertikal maupun arah horisontal, akan timbul di titik-titik pada massa struktur. Dari kedua gaya gempa tersebut, gaya gempa dalam arah vertikal seringkali tidak diperhitungkan karena cukup kecil jika dibandingkan dengan besar gaya akibat beban gravitasi yang bekerja pada struktur, sedangkan struktur direncanakan terhadap gaya vertikal dengan faktor keamanan yang cukup memadai. Oleh karena itu, struktur jarang sekali runtuhan akibat gaya gempa vertikal. Sebaliknya, gaya gempa dalam arah horisontal akan bekerja langsung pada titik lemah struktur yang mempunyai kekuatan tidak memadai, sehingga dapat menyebabkan struktur runtuhan ("failure"). Atas dasar inilah prinsip utama dalam perencanaan tahan gempa adalah meningkatkan kekuatan struktur terhadap gaya lateral (gaya horisontal) yang secara umum tidak memadai.

Beban gempa yang terjadi pada struktur direncanakan dengan mengacu berdasarkan SNI 1726:2019 tentang tata cara perencanaan ketahanan gempa untuk struktur gedung dan non gedung. Tahapan-tahapan untuk menentukan beban gempa yang harus dilakukan, antara lain:

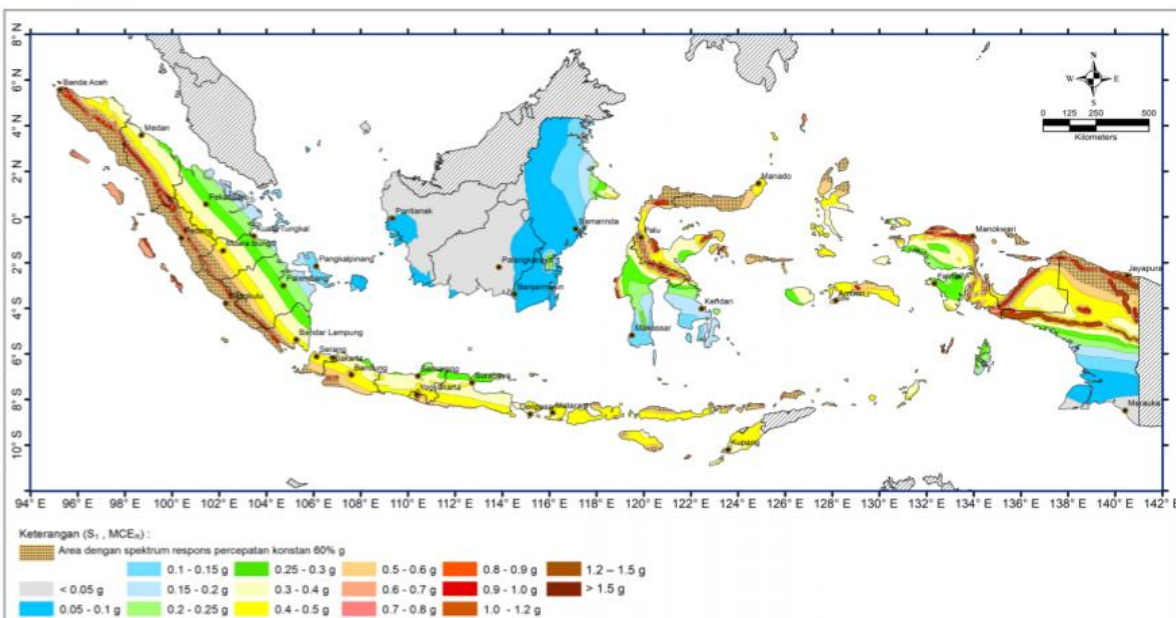
1. Kategori risiko struktur bangunan dan faktor keutamaan gempa ditentukan berdasarkan SNI 1726:2019 pasal 4.1.2 yang tertera pada tabel 3 dan tabel 4.
2. Faktor-faktor penahan gempa direncanakan berdasarkan sistem struktur yang digunakan pada bangunan dengan mengacu pada SNI 1726:2019 pasal 7.2.2 tentang kombinasi sistem struktur dalam arah yang berbeda pada tabel 12.
3. Penentuan parameter percepatan *respons spectrum* direncanakan berdasarkan wilayah gempa untuk mendapatkan nilai periode pendek (S_s) dan periode 1 detik (S_1) sesuai peta gempa pada gambar 15 dan 16 di dalam SNI 1726:2019 yang tersaji pada gambar 1.5 dan gambar 1.6.



Gambar 15 – Parameter gerak tanah S_s , gempa maksium yang dipertimbangkan risiko-tertarget (MCE_R) wilayah Indonesia untuk spektrum respons 0,2-detik (redaman kritis 5 %)

Gambar 1.5 Parameter Gerak Tanah Ss
(Sumber: SNI 1726:2019, Gambar 15)

SNI 1726:2019



Gambar 16 – Parameter gerak tanah, S_1 , gempa maksimum yang dipertimbangkan risiko-tertarget (MCE_R) wilayah Indonesia untuk spektrum respons 0,2- detik (redaman kritis 5 %)

Gambar 1.6 Parameter Gerak Tanah S1
(Sumber: SNI 1726:2019, Gambar 16)

4. Setelah mendapatkan nilai percepatan *respons spectrum*, koefisien situs dan parameter respons spektral, parameter percepatan spektral desain, serta spektrum respons desain ditentukan berdasarkan pada **SNI 1726:2019** pasal 6.2, 6.3, dan 6.4.

5. Penentuan prosedur gaya lateral ekivalen direncanakan berdasarkan SNI 1726:2019 pasal 7.8, seperti penentuan geser dasar seismik yang diatur dalam pasal 7.8.1, penentuan periode pada pasal 7.8.2, hingga distribusi gaya vertikal pasal pasal 7.8.3.

1.5.3 Kombinasi Pembebaan

Kombinasi pembebaan direncanakan sesuai dengan SNI 2847:2019 pasal 5.3.1, yaitu :

$$U = 1,4 D$$

$$U = 1,2 D + 1,6 L + 0,5 (\text{Lr atau R})$$

$$U = 1,2 D + 1,6 (\text{Lr atau R}) + (1,0 L \text{ atau } 0,5 W)$$

$$U = 1,2 D + 1,0 W + 1,0 L + 0,5 (\text{Lr atau R})$$

$$U = 1,2 D + 1,0 E + 1,0 L$$

$$U = 0,9 D + 1,0 W$$

$$U = 0,9 D + 1,0 E$$

Keterangan :

U = beban ultimate

D = beban mati

W = beban angin

E = beban gempa

R = beban air hujan

L = beban hidup

Lr = beban hidup atap

BAB II

PERANCANGAN STRUKTUR BETON BERTULANG

2.1 Perancangan Struktur Beton Bertulang

Perancangan struktur beton bertulang harus dilakukan secara bertahap, yaitu :

1. Merencanakan *preliminary design* pada setiap elemen struktur, seperti balok, kolom, pelat, dan tangga sesuai dengan SNI 2847:2019.
2. Merencanakan kebutuhan tulangan pada struktur sekunder, seperti balok anak, balok *luivel*, pelat, dan tangga sesuai dengan SNI 2847:2019.
3. Menghitung pembebanan yang terjadi pada struktur, yaitu beban gravitasi (beban mati dan beban hidup) dan beban lateral (gempa) sesuai SNI 1727:2013 dan SNI 1726:2019.
4. Memodelkan struktur menggunakan SAP 2000 untuk mengetahui kelayakan struktur yang sudah direncanakan.
5. Merencanakan kebutuhan tulangan pada struktur primer, seperti balok induk dan kolom sesuai SNI 2847:2019.
6. Menggambarkan elemen struktur sekunder dan struktur primer yang telah direncanakan dengan menggunakan aplikasi AutoCAD.

2.2 Studi Literatur

Perencanaan modifikasi struktur gedung ini menggunakan berbagai sumber literatur yang akan digunakan sebagai pedoman serta acuan dalam merencanakan struktur gedung yang benar dan sesuai dengan peraturan yang ditetapkan. Studi literatur dan peraturan yang digunakan dalam penyelesaian tugas akhir ini, antara lain:

1. SNI 2847:2019 tentang Persyaratan Beton Struktural untuk Bangunan Gedung.
2. SNI 2847:2013 tentang Persyaratan Beton Struktural untuk Bangunan Gedung.
3. SNI 1726:2019 tentang Tata Cara Perencanaan Ketahanan Gempa untuk Struktur Gedung dan Nongedung.
4. SNI 1726:2012 tentang Tata Cara Perencanaan Ketahanan Gempa untuk Struktur Gedung dan Nongedung.
5. SNI 1727:2013 tentang Beban Minimum untuk Perancangan Gedung dan Struktur Lain.
6. RSNI 2847:2018 tentang Persyaratan Beton Struktural untuk Bangunan Gedung.
7. PPIUG 1983 tentang Peraturan Pembebanan Indonesia untuk Gedung.

BAB III

PRELIMINARY DESIGN

3.1 Alur Perencanaan *Preliminary Design*

1. Menentukan dimensi panjang serta lebar balok, yaitu balok induk, balok anak, dan balok luluvel menggunakan SNI 2847:2019.
2. Menentukan jenis pelat satu arah atau dua arah, lalu menentukan tebal pelatnya sesuai dengan SNI 2847:2019.
3. Menghitung pembebahan yang terjadi pada kolom, lalu menentukan dimensi panjang serta lebar kolom.
4. Penentuan dimensi kolom dibagi menjadi dua bagian, yaitu kolom 1 untuk lantai 1 hingga 5 dan kolom 2 untuk lantai 6 hingga atap.
5. Merencanakan dimensi tangga dan *lift*.

3.2 Data Umum Perencanaan

1. Data Umum Bangunan
 - Fungsi : Perkantoran
 - Jumlah Lantai : 10 Lantai
 - Tinggi Bangunan : +34 meter
 - Struktur Bangunan : Beton Bertulang
2. Data Material (Elemen Pelat dan Balok)
 - Mutu Beton (f'_c) : 35 Mpa
 - Tulangan Ular (fy) : 420 Mpa
 - Tulangan Polos (fy) : 280 Mpa
3. Data Material (Elemen Kolom)
 - Mutu Beton (f'_c) : 70 Mpa
 - Tulangan Ular (Lentur) : 420 Mpa
 - Tulangan Polos : 280 Mpa
 - Tulangan Ular (Geser) : 700 Mpa

3.3 Pembebaan

1. Beban mati yang digunakan akan disesuaikan dengan peraturan PPIUG 1983.
 - Beton Bertulang : 2400 kg/m³
 - Tegel/Ubin : 24 kg/m²
 - Spesi : 21 kg/m²
 - Plafond : 7 kg/m²
 - Penggantung Plafond : 7 kg/m²
 - *Ducting and Plumbing* : 30 kg/m²
2. Beban hidup yang digunakan akan disesuaikan dengan SNI 1727:201X (2018) tentang beban desain minimum dan kriteria terkait untuk bangunan gedung dan struktur lain.
 - Lantai Apartemen : 192 kg/m^{2swx2}
 - Beban Hujan : 20 kg/m²
 - Beban Atap : 96 kg/m²
3. Beban gempa yang digunakan akan disesuaikan dengan SNI 1726:2019 tentang tata cara perencanaan ketahanan gempa untuk struktur bangunan gedung dan nongedung.

3.4 Perencanaan Balok

3.4.1 Perencanaan Balok Induk

Tinggi balok akan ditentukan berdasarkan SNI 2847:2019 Tabel 9.3.1.1. dengan kondisi perlekatan sederhana, yaitu :

$$h_{min} = \frac{L}{16}$$

Lebar balok akan ditentukan berdasarkan SNI 2847:2019 Pasal 18.6.2.1., yaitu :

$$b = \frac{2}{3}h$$

Akan tetapi, lebar balok tidak boleh kurang dari nilai paling kecil di antara dua minimal yang ditentukan, yaitu :

$$b_{min\ 1} = 0.3\ h \text{ dan } b_{min\ 2} = 250\ mm$$

Keterangan :

| | | |
|-----|-------------------------|------|
| h | = Tinggi Minimum Balok | (cm) |
| b | = Lebar Balok | (cm) |
| L | = Panjang Bentang Balok | (cm) |

Perencanaan balok juga harus mempertimbangkan syarat pada SNI 2847:2019, Pasal 18.6.2.1., yaitu :

$$Ln > 4d$$

Balok induk yang direncanakan adalah BI 1 dengan bentang 8 m.

$$L = 8\ m = 800\ cm$$

$$h_{min} = \frac{L}{16} = \frac{8000}{16} = 50\ cm$$

$$h_{pakai} = 65\ cm$$

dan

$$b_{min\ 1} = 0.3\ h = 19.50\ cm$$

$$b_{min\ 2} = 25\ cm$$

$$b_{pakai} = \frac{2}{3}h = 43.33\ cm = 45\ cm$$

Ukuran diameter tulangan balok dan kolom akan diasumsikan untuk menghitung persyaratan balok sesuai SNI 2847:2019, yaitu :

| | |
|----------------------------|----------|
| Tulangan Longitudinal (dl) | : 19 mm |
| Tulangan Sengkang (ds) | : 13 mm |
| Ukuran Kolom (c1) | : 650 mm |
| Ukuran Kolom (c2) | : 650 mm |

$$d = h - c - ds - \frac{dl}{2} = 57.75\ cm$$

$$4d = 231\ cm$$

$$Ln = L - \frac{c1}{2} - \frac{c2}{2}$$

$$L_n = 800 - \frac{65}{2} - \frac{65}{2} = 735 \text{ cm}$$

$$L_n > 4d (\text{OK})$$

Lebar balok pakai sudah memenuhi syarat sehingga dimensi balok BI 1 yang akan digunakan adalah (45/65).

Rekapitulasi perhitungan dimensi balok induk dengan berbagai bentang dapat dilihat pada tabel 3.1.

Tabel 3.1 Rekapitulasi Dimensi Balok Induk

| Kode Balok | Bentang Balok (cm) | h min (cm) | h pakai (cm) | b min1 (cm) | b min2 (cm) | b (cm) | b pakai (cm) | Dimensi (cm) |
|------------|--------------------|------------|--------------|-------------|-------------|--------|--------------|--------------|
| BI 1 | 800 | 50 | 65 | 19.50 | 25 | 45 | 45 | 45/65 |
| BI 2 | 600 | 37.50 | 55 | 16.50 | 25 | 36.67 | 40 | 40/55 |

3.4.2 Perencanaan Balok Anak

Tinggi balok akan ditentukan berdasarkan SNI 2847:2019 Tabel 9.3.1.1. dengan kondisi menerus dua sisi, yaitu :

$$h_{min} = \frac{L}{21}$$

Lebar balok akan ditentukan berdasarkan SNI 2847:2019 Pasal 18.6.2.1., yaitu :

$$b = \frac{2}{3}h$$

Akan tetapi, lebar balok tidak boleh kurang dari nilai paling kecil di antara dua minimal yang ditentukan, yaitu :

$$b_{min\ 1} = 0.3\ h \text{ dan } b_{min\ 2} = 250\ mm$$

Keterangan :

- h = Tinggi Minimum Balok (cm)
- b = Lebar Balok (cm)
- L = Panjang Bentang Balok (cm)

Balok anak yang direncanakan adalah BA 1 dengan bentang 6 m.

$$L = 6\ m = 600\ cm$$

$$h_{min} = \frac{L}{21} = \frac{600}{21} = 28.57\ cm$$

$$h_{pakai} = 50\ cm$$

dan

$$b_{min\ 1} = 0.3\ h = 15\ cm$$

$$b_{min\ 2} = 25\ cm$$

$$b_{pakai} = \frac{2}{3}h = 33.33\ cm = 35\ cm$$

Ukuran diameter tulangan balok dan kolom akan diasumsikan untuk menghitung persyaratan balok sesuai SNI 2847:2019, yaitu :

Tulangan Longitudinal (dl) : 19 mm

Tulangan Sengkang (ds) : 13 mm

Ukuran Kolom (c1) : 650 mm
 Ukuran Kolom (c2) : 650 mm

$$d = h - c - ds - \frac{dl}{2} = 42.75 \text{ cm}$$

$$4d = 171 \text{ cm}$$

$$Ln = L - \frac{c1}{2} - \frac{c2}{2}$$

$$Ln = 600 - \frac{65}{2} - \frac{65}{2} = 535 \text{ cm}$$

$$Ln > 4d (\text{OK})$$

Lebar balok pakai sudah memenuhi syarat sehingga dimensi balok BA 1 yang akan digunakan adalah (35/50).

Rekapitulasi perhitungan dimensi balok anak dengan berbagai bentang dapat dilihat pada tabel 3.2.

Tabel 3.2 Rekapitulasi Dimensi Balok Anak

| Kode Balok | Bentang Balok (cm) | h min (cm) | h pakai (cm) | b min1 (cm) | b min2 (cm) | b (cm) | b pakai (cm) | Dimensi |
|------------|--------------------|------------|--------------|-------------|-------------|--------|--------------|---------|
| BA 1 | 600 | 28.57 | 50 | 15 | 25 | 33.33 | 35 | 35/50 |

3.4.3 Perencanaan Balok Luivel

Tinggi balok akan ditentukan berdasarkan SNI 2847:2019 Tabel 9.3.1.1. dengan kondisi kantilever, yaitu :

$$h \text{ min} = \frac{L}{8}$$

Lebar balok akan ditentukan berdasarkan SNI 2847:2019 Pasal 18.6.2.1., yaitu :

$$b = \frac{2}{3}h$$

Akan tetapi, lebar balok tidak boleh kurang dari nilai paling kecil di antara dua minimal yang ditentukan, yaitu :

$$b \text{ min } 1 = 0.3 h \text{ dan } b \text{ min } 2 = 250 \text{ mm}$$

Keterangan :

- h = Tinggi Minimum Balok (cm)
 b = Lebar Balok (cm)
 L = Panjang Bentang Balok (cm)

Balok luivel yang direncanakan adalah BL dengan bentang 2 m.

$$L = 2 \text{ m} = 200 \text{ cm}$$

$$h \text{ min} = \frac{L}{8} = \frac{200}{8} = 25 \text{ cm}$$

$$h \text{ pakai} = 40 \text{ cm}$$

dan

$$b \text{ min } 1 = 0.3 h = 12 \text{ cm}$$

$$b \text{ min } 2 = 25 \text{ cm}$$

$$b \text{ pakai} = \frac{2}{3}h = 26.67 \text{ cm} = 30 \text{ cm}$$

Ukuran diameter tulangan balok dan kolom akan diasumsikan untuk menghitung persyaratan balok sesuai SNI 2847:2019, yaitu :

| | |
|----------------------------|----------|
| Tulangan Longitudinal (dl) | : 19 mm |
| Tulangan Sengkang (ds) | : 13 mm |
| Ukuran Kolom (c1) | : 650 mm |
| Ukuran Kolom (c2) | : 650 mm |

$$\begin{aligned} d &= h - c - ds - \frac{dl}{2} = 32.75 \text{ cm} \\ 4d &= 131 \text{ cm} \\ Ln &= L - \frac{c1}{2} - \frac{c2}{2} \\ Ln &= 200 - \frac{65}{2} - \frac{65}{2} = 135 \text{ cm} \\ Ln &> 4d (\text{OK}) \end{aligned}$$

Lebar balok pakai sudah memenuhi syarat sehingga dimensi balok BL yang akan digunakan adalah (30/40).

Rekapitulasi perhitungan dimensi balok luivel dengan berbagai bentang dapat dilihat pada tabel 3.3.

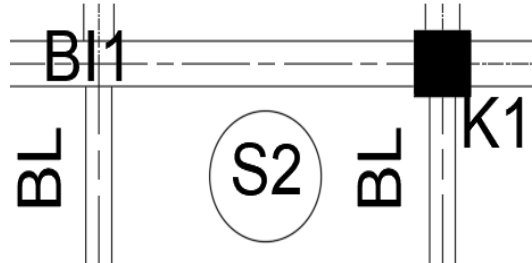
Tabel 3.3 Rekapitulasi Dimensi Balok Luivel

| Kode Balok | Bentang Balok (cm) | h min (cm) | h pakai (cm) | b min1 (cm) | b min2 (cm) | b (cm) | b pakai (cm) | Dimensi (cm) |
|------------|--------------------|------------|--------------|-------------|-------------|--------|--------------|--------------|
| BL | 200 | 25 | 40 | 12 | 25 | 26.67 | 30 | 30/40 |

3.5 Perencanaan Pelat

3.5.1 Pelat Satu Arah

Tebal pelat satu arah ditentukan berdasarkan SNI 2847:2019 Tabel 7.3.1.1. Pelat yang akan direncanakan yaitu pelat S2 dengan ukuran 2 m x 4 m seperti pada gambar 3.1.



Gambar 3.1 Denah Pelat S6 2 m x 4 m

$$Ln = 400 - \frac{1}{2}(30 + 30) = 370 \text{ cm}$$

$$Sn = 200 - \frac{1}{2}(45) = 177.50 \text{ cm}$$

$$\beta = \frac{Ln}{Sn} = \frac{370}{177.50} = 2.08 > 2 \rightarrow \text{Pelat Satu Arah}$$

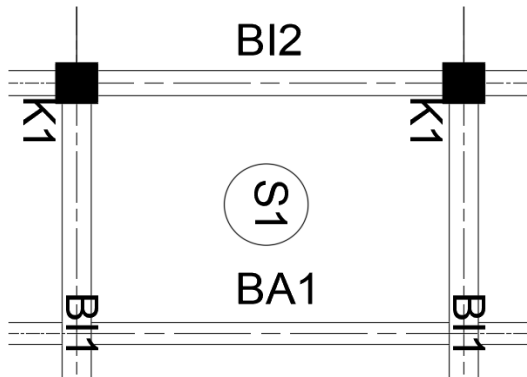
Ketebalan pelat satu solid dengan kedua ujung menerus yang diatur pada SNI 2847:2019 Tabel 7.3.1.1., yaitu :

$$h_{min} = \frac{L}{28} = \frac{400}{28} = 14.29\text{ cm}$$

Tebal pelat S2 didapatkan sebesar 14.29 cm sehingga ketebalan pelat yang akan digunakan sebesar 15 cm.

3.5.2 Pelat Dua Arah

Pelat yang akan direncanakan yaitu pelat S1 dengan ukuran 6 m x 4 m merupakan pelat dua arah. Tebal pelat dua arah ditentukan berdasarkan SNI 2847:2019.



Gambar 3.2 Denah Pelat S1 6 m x 4 m

$$Ln = 600 - \frac{1}{2}(45 + 45) = 555\text{ cm}$$

$$Sn = 400 - \frac{1}{2}(40 + 35) = 362.50\text{ cm}$$

$$\beta = \frac{Ln}{Sn} = \frac{555}{362.50} = 1.53 < 2 \rightarrow \text{Pelat Dua Arah}$$

Tebal minimum untuk pelat dua arah ditentukan berdasarkan pada SNI 2847:2019 Pasal 8.3.1.1. Tugas akhir ini menggunakan $f_y = 420\text{ MPa}$ dan pelat S1 merupakan panel interior sehingga digunakan tebal minimum pelat, antara lain:

$$\text{Tebal Minimum } (t_{pm}) = \frac{Ln}{33} = \frac{600}{33} = 18.18\text{ cm}$$

Selain itu, metode lain yang dapat digunakan untuk menentukan tebal minimum pelat dua arah jika terdapat balok di semua sisi pelat dapat dihitung dengan berdasarkan SNI 2847:2019 Pasal 8.3.1.2.

- Penampang Balok Sisi Atas

Balok sisi atas merupakan balok interior dan mempunyai penampang, sebagai berikut :

$$b = 45\text{ cm}$$

$$h = 65\text{ cm}$$

Sehingga, b_e yang diperoleh menurut SNI 2847:2019 Pasal 8.4.1.8, yaitu :

$$b_e = b + (2 \times h) \leq b + (8 \times t_{pm})$$

$$b_e = 45 + (2 \times 65) \leq 45 + (8 \times 18.18)\text{ cm}$$

$$b_e = 175 \leq 190.45\text{ cm}$$

$$b_e = 175\text{ cm}$$

$$k = \frac{1 + \left(\frac{b_e}{b} - 1\right) \left(\frac{t_{pm}}{h}\right) \left[4 - 6 \left(\frac{t_{pm}}{h}\right) + 4 \left(\frac{t_{pm}}{h}\right)^2 + \left(\frac{b_e}{b} - 1\right) \left(\frac{t_{pm}}{h}\right)^3\right]}{1 + \left(\frac{b_e}{b} - 1\right) \left(\frac{t_{pm}}{h}\right)}$$

$$k = \frac{1 + \left(\frac{175}{45} - 1\right) \left(\frac{18.18}{65}\right) \left[4 - 6 \left(\frac{18.18}{65}\right) + 4 \left(\frac{18.18}{65}\right)^2 + \left(\frac{175}{45} - 1\right) \left(\frac{18.18}{65}\right)^3\right]}{1 + \left(\frac{150}{45} - 1\right) \left(\frac{18.18}{65}\right)}$$

$$k = 1.76$$

Momen inersia balok dan juga pelat dapat diperhitungkan dan ditentukan, sebagai berikut :

$$I_b = \frac{1}{12} \times k \times b \times h^3$$

$$I_b = \frac{1}{12} \times 1.76 \times 45 \times 65^3 = 1811318.6810 \text{ cm}^4$$

Jarak balok sejajar yang bersebelahan diketahui, sebagai berikut :

$$\text{Arah x} = 600 \text{ cm}$$

$$\text{Arah y} = 400 \text{ cm}$$

$$I_p = \frac{1}{12} \times \frac{1}{2} \times (Jarak Balok_x + Jarak Balok_y) \times t_{pm}^3$$

$$I_p = \frac{1}{12} \times \frac{1}{2} \times (600 + 400) \times 18.18^3 = 250438.2670 \text{ cm}^4$$

$$\alpha_{Atas} = \frac{I_b}{I_p} = \frac{1811318.6810}{250438.2670} = 7.23$$

- Penampang Balok Sisi Bawah

Balok sisi bawah merupakan balok interior dan mempunyai penampang, sebagai berikut :

$$b = 45 \text{ cm}$$

$$h = 65 \text{ cm}$$

Sehingga, b_e yang diperoleh menurut SNI 2847:2019 Pasal 8.4.1.8, yaitu :

$$b_e = b + (2 \times h) \leq b + (8 \times t_{pm})$$

$$b_e = 45 + (2 \times 65) \leq 45 + (8 \times 18.18) \text{ cm}$$

$$b_e = 175 \leq 190.45 \text{ cm}$$

$$b_e = 175 \text{ cm}$$

$$k = \frac{1 + \left(\frac{b_e}{b} - 1\right) \left(\frac{t_{pm}}{h}\right) \left[4 - 6 \left(\frac{t_{pm}}{h}\right) + 4 \left(\frac{t_{pm}}{h}\right)^2 + \left(\frac{b_e}{b} - 1\right) \left(\frac{t_{pm}}{h}\right)^3\right]}{1 + \left(\frac{b_e}{b} - 1\right) \left(\frac{t_{pm}}{h}\right)}$$

$$k = \frac{1 + \left(\frac{175}{45} - 1\right) \left(\frac{18.18}{65}\right) \left[4 - 6 \left(\frac{18.18}{65}\right) + 4 \left(\frac{18.18}{65}\right)^2 + \left(\frac{175}{45} - 1\right) \left(\frac{18.18}{65}\right)^3\right]}{1 + \left(\frac{150}{45} - 1\right) \left(\frac{18.18}{65}\right)}$$

$$k = 1.76$$

Momen inersia balok dan juga pelat dapat diperhitungkan dan ditentukan, sebagai berikut :

$$I_b = \frac{1}{12} \times k \times b \times h^3$$

$$I_b = \frac{1}{12} \times 1,76 \times 45 \times 65^3 = 1811318.6810 \text{ cm}^4$$

Jarak balok sejajar yang bersebelahan diketahui, sebagai berikut :

Arah x = 600 cm

Arah y = 400 cm

$$I_p = \frac{1}{12} \times \frac{1}{2} \times (Jarak Balok_x + Jarak Balok_y) \times t_{pm}^3$$

$$I_p = \frac{1}{12} \times \frac{1}{2} \times (600 + 400) \times 18.18^3 = 250438.2670 \text{ cm}^4$$

$$\alpha_{Bawah} = \frac{I_b}{I_p} = \frac{1811318.6810}{250438.2670} = 7.23$$

- Penampang Balok Sisi Kiri

Balok sisi kiri merupakan balok interior dan mempunyai penampang, sebagai berikut :

$$b = 40 \text{ cm}$$

$$h = 55 \text{ cm}$$

Sehingga, b_e yang diperoleh menurut SNI 2847:2019 Pasal 8.4.1.8, yaitu :

$$b_e = b + (2 \times h) \leq b + (8 \times t_{pm})$$

$$b_e = 40 + (2 \times 55) \leq 55 + (8 \times 18.18) \text{ cm}$$

$$b_e = 150 \leq 185.45 \text{ cm}$$

$$b_e = 150 \text{ cm}$$

$$k = \frac{1 + \left(\frac{b_e}{b} - 1\right) \left(\frac{t_{pm}}{h}\right) \left[4 - 6 \left(\frac{t_{pm}}{h}\right) + 4 \left(\frac{t_{pm}}{h}\right)^2 + \left(\frac{b_e}{b} - 1\right) \left(\frac{t_{pm}}{h}\right)^3\right]}{1 + \left(\frac{b_e}{b} - 1\right) \left(\frac{t_{pm}}{h}\right)}$$

$$k = \frac{1 + \left(\frac{150}{40} - 1\right) \left(\frac{18.18}{55}\right) \left[4 - 6 \left(\frac{18.18}{55}\right) + 4 \left(\frac{18.18}{55}\right)^2 + \left(\frac{150}{40} - 1\right) \left(\frac{18.18}{55}\right)^3\right]}{1 + \left(\frac{150}{40} - 1\right) \left(\frac{18.18}{55}\right)}$$

$$k = 1.74$$

Momen inersia balok dan juga pelat dapat diperhitungkan dan ditentukan, sebagai berikut :

$$I_b = \frac{1}{12} \times k \times b \times h^3$$

$$I_b = \frac{1}{12} \times 1,76 \times 40 \times 55^3 = 964712.2196 \text{ cm}^4$$

Jarak balok sejajar yang bersebelahan diketahui, sebagai berikut :

Arah x = 600 cm

Arah y = 400 cm

$$I_p = \frac{1}{12} \times \frac{1}{2} \times (Jarak Balok_x + Jarak Balok_y) \times t_{pm}^3$$

$$I_p = \frac{1}{12} \times \frac{1}{2} \times (600 + 400) \times 18.18^3 = 250438.2670 \text{ cm}^4$$

$$\alpha_{Kiri} = \frac{I_b}{I_p} = \frac{964712.2196}{250438.2670} = 3.85$$

- Penampang Balok Sisi Kanan

Balok sisi kanan merupakan balok interior dan mempunyai penampang, sebagai berikut :

$$b = 35 \text{ cm}$$

$$h = 50 \text{ cm}$$

Sehingga, b_e yang diperoleh menurut SNI 2847:2019 Pasal 8.4.1.8, yaitu :

$$b_e = b + (2 \times h) \leq b + (8 \times t_{pm})$$

$$b_e = 35 + (2 \times 50) \leq 50 + (8 \times 18.18) \text{ cm}$$

$$b_e = 135 \leq 180.45 \text{ cm}$$

$$b_e = 135 \text{ cm}$$

$$k = \frac{1 + \left(\frac{b_e}{b} - 1\right) \left(\frac{t_{pm}}{h}\right) \left[4 - 6\left(\frac{t_{pm}}{h}\right) + 4\left(\frac{t_{pm}}{h}\right)^2 + \left(\frac{b_e}{b} - 1\right) \left(\frac{t_{pm}}{h}\right)^3\right]}{1 + \left(\frac{b_e}{b} - 1\right) \left(\frac{t_{pm}}{h}\right)}$$

$$k = \frac{1 + \left(\frac{135}{35} - 1\right) \left(\frac{18.18}{50}\right) \left[4 - 6\left(\frac{18.18}{50}\right) + 4\left(\frac{18.18}{50}\right)^2 + \left(\frac{135}{35} - 1\right) \left(\frac{18.18}{50}\right)^3\right]}{1 + \left(\frac{135}{35} - 1\right) \left(\frac{18.18}{50}\right)}$$

$$k = 1.76$$

Momen inersia balok dan juga pelat dapat diperhitungkan dan ditentukan, sebagai berikut :

$$I_b = \frac{1}{12} \times k \times b \times h^3$$

$$I_b = \frac{1}{12} \times 1.76 \times 35 \times 50^3 = 640364.5173 \text{ cm}^4$$

Jarak balok sejajar yang bersebelahan diketahui, sebagai berikut :

$$\text{Arah x} = 600 \text{ cm}$$

$$\text{Arah y} = 400 \text{ cm}$$

$$I_p = \frac{1}{12} \times \frac{1}{2} \times (Jarak Balok_x + Jarak Balok_y) \times t_{pm}^3$$

$$I_p = \frac{1}{12} \times \frac{1}{2} \times (600 + 400) \times 18.18^3 = 250438.2670 \text{ cm}^4$$

$$\alpha_{Kanan} = \frac{I_b}{I_p} = \frac{640364.5173}{250438.2670} = 2.56$$

Setelah didapatkan α untuk semua sisi, perhitungan tebal minimum dapat diuraikan, sebagai berikut :

$$\alpha_{fm} = \frac{\alpha_{Atas} + \alpha_{Kanan} + \alpha_{Kiri} + \alpha_{Bawah}}{4}$$

$$\alpha_{fm} = \frac{7.23 + 7.23 + 3.85 + 2.56}{4} = 5.22$$

$$\alpha_{fm} > 2$$

Tebal minimum pelat dua arah dapat ditentukan menggunakan α_{fm} yang diatur pada SNI 2847:2019 Tabel 8.3.1.2.1, sebagai berikut :

$$t_{p1} = \frac{L_n \left(0,8 + \frac{f_y}{1400} \right)}{36 + 9\beta}$$

$$t_{p1} = \frac{555 \left(0,8 + \frac{4200}{1400} \right)}{36 + 9 \times 0.76} = 14.23 \text{ cm} > 18.18 \text{ cm (Digunakan)}$$

$$t_{p2} = 9 \text{ cm}$$

Tebal pelat S1 didapatkan sebesar 14.23 cm sehingga ketebalan pelat yang digunakan sebesar 15 cm.

Rekapitulasi perhitungan ketebalan pelat dengan berbagai bentang dapat dilihat pada tabel 3.4.

Tabel 3.4 Rekapitulasi Perhitungan Ketebalan Pelat

| Kode Pelat | Dimensi | | | | β | Tipe Arah | t min (cm) | t rencana (cm) |
|------------|---------|--------|---------|---------|---------|-----------|------------|----------------|
| | p (cm) | l (cm) | Ln (cm) | Sn (cm) | | | | |
| S1 | 600 | 400 | 555 | 362.50 | 1.53 | 2 | 14.23 | 15 |
| S2 | 400 | 200 | 370 | 177.50 | 2.08 | 1 | 14.29 | 15 |

3.6 Perencanaan Kolom

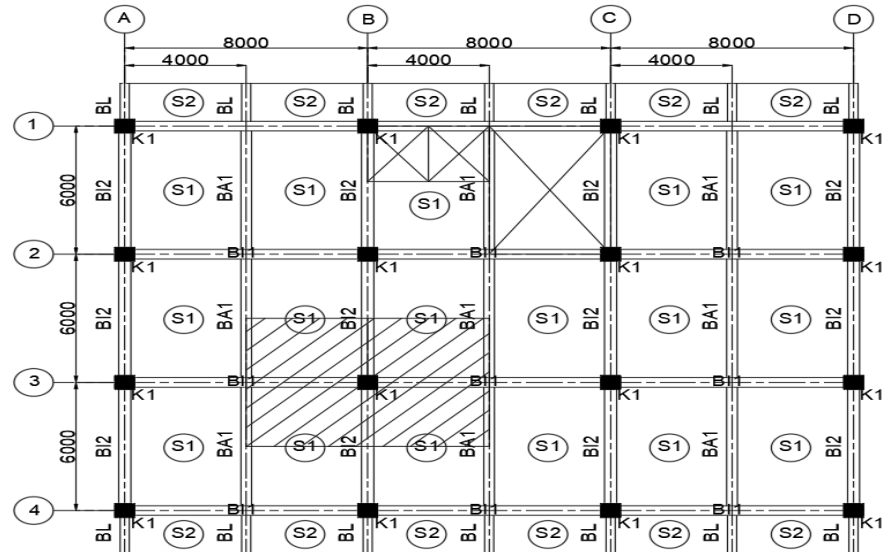
Perencanaan kolom akan direncanakan dengan tiga jenis dimensi kolom yang berbeda pada setiap rentang 5 lantai, yaitu :

- K1 untuk lantai 1 hingga 5.
- K2 untuk lantai 6 hingga 10.

3.6.1 Data Perencanaan

- Tebal Pelat = 15 cm
- Tinggi Setiap Lantai = 330 cm
- Dimensi Kolom Awal = 80 cm x 80 cm
- Mutu Beton (f'c) = 70 Mpa

Perencanaan dimensi kolom harus memperhitungkan semua beban aksial yang terjadi pada setiap kolom. Beban yang digunakan untuk penentuan dimensi kolom diambil dari beban terbesar pada seperempat bentang terpanjang di setiap lantai seperti yang ditunjukkan pada gambar 3.3.



Gambar 3.3 Luas Pembebanan Kolom

3.6.2 Pembebanan Kolom

Pembebanan pada kolom akan memperhitungkan dua beban aksial, yaitu beban mati struktur dan beban hidup struktur. Beban mati direncanakan sesuai dengan PPIUG 1983, sedangkan beban hidup akan direncanakan sesuai dengan SNI 1727:201X (2018). Beban mati dan hidup aksial pelat atap akan diuraikan pada tabel 3.5.

Tabel 3.5 Rekapitulasi Beban Mati Struktur

| Beban Mati Atap | | | | | | |
|-----------------|--------------------|-----------|------------|-------------|----------------------------------|----------------------------|
| No. | Keterangan | Lebar (m) | Tinggi (m) | Panjang (m) | Berat Jenis (kg/m ³) | Beban (kg/m ²) |
| 1. | BI 1 | 0.45 | 0.65 | 4.00 | 2400 | 2808 |
| 2. | BI 1 | 0.45 | 0.65 | 4.00 | 2400 | 2808 |
| 3. | BI 2 | 0.40 | 0.55 | 3.00 | 2400 | 1584 |
| 4. | BI 2 | 0.40 | 0.55 | 3.00 | 2400 | 1584 |
| 5. | BA 1 | 0.35 | 0.50 | 3.00 | 2400 | 1260 |
| 6. | BA 1 | 0.35 | 0.50 | 3.00 | 2400 | 1260 |
| 7. | BA 1 | 0.35 | 0.50 | 3.00 | 2400 | 1260 |
| 8. | BA 1 | 0.35 | 0.50 | 3.00 | 2400 | 1260 |
| 11. | Pelat Atap (16 cm) | 8 | 0.15 | 6 | 2400 | 17280 |
| 12. | Spesi (1 cm) | 8 | | 6 | 21 | 1008 |
| 13. | Plafon | 8 | | 6 | 11 | 528 |
| 14. | Penggantung | 8 | | 6 | 7 | 336 |
| 15. | Ducting & Plumbing | 8 | | 6 | 30 | 1440 |
| Total | | | | | | 34416 |

Beban Hidup Atap

| No. | Keterangan | Lebar (m) | Tinggi (m) | Panjang (m) | Berat Jenis (kg/m ³) | Beban (kg/m ²) | Berat (kg) |
|-----|---------------|-----------|------------|-------------|----------------------------------|----------------------------|------------|
| 1. | Atap Bangunan | 8 | | 6 | | 96 | 4608 |

- Beban Mati dan Hidup Pelat Lantai

Beban mati dan hidup aksial pelat Lantai akan diuraikan pada tabel 3.6.

Tabel 3.6 Rekapitulasi Beban Mati Struktur

| Beban Mati Lantai | | | | | | | |
|-------------------|--------------------|-----------|------------|-------------|----------------------------------|----------------------------|------------|
| No. | Keterangan | Lebar (m) | Tinggi (m) | Panjang (m) | Berat Jenis (kg/m ³) | Beban (kg/m ²) | Berat (kg) |
| 1. | BI 1 | 0.45 | 0.65 | 4.00 | 2400 | | 2808 |
| 2. | BI 1 | 0.45 | 0.65 | 4.00 | 2400 | | 2808 |
| 3. | BI 2 | 0.40 | 0.55 | 3.00 | 2400 | | 1584 |
| 4. | BI 2 | 0.40 | 0.55 | 3.00 | 2400 | | 1584 |
| 5. | BA 1 | 0.35 | 0.50 | 3.00 | 2400 | | 1260 |
| 6. | BA 1 | 0.35 | 0.50 | 3.00 | 2400 | | 1260 |
| 7. | BA 1 | 0.35 | 0.50 | 3.00 | 2400 | | 1260 |
| 8. | BA 1 | 0.35 | 0.50 | 3.00 | 2400 | | 1260 |
| 11. | Pelat Atap (16 cm) | 8 | 0.15 | 6 | 2400 | | 17280 |
| 12. | Spesi (1 cm) | 8 | | 6 | | 21 | 1008 |
| 13. | Plafon | 8 | | 6 | | 11 | 528 |
| 14. | Penggantung | 8 | | 6 | | 7 | 336 |
| 15. | Ducting & Plumbing | 8 | | 6 | | 30 | 1440 |
| 16. | Kolom | 0.80 | 0.80 | 3.40 | 2400 | | 5222.40 |
| 17. | Dinding | 8 | | 6 | | 200 | 9520 |
| 18. | Ubin | 8 | | 6 | | 24 | 1152 |
| Total | | | | | | | 50310.40 |
| No. | Keterangan | Lebar (m) | Tinggi (m) | Panjang (m) | Berat Jenis (kg/m ³) | Beban (kg/m ²) | Berat (kg) |
| 1. | Lantai Bangunan | 8 | | 6 | | 192 | 9216 |

3.6.3 Perhitungan Dimensi Kolom

- Lantai 1-5 (K1)

| | |
|---------------------------|----------------|
| Beban Mati pada 1 Lantai | : 50310.40 kg |
| Beban Mati pada 9 Lantai | : 452793.60 kg |
| Beban Hidup pada 1 Lantai | : 9216 kg |
| Beban Hidup pada 9 Lantai | : 82944 kg |
| Beban Mati pada Atap | : 34416 kg |
| Beban Hidup pada Atap | : 4608 kg |

Sehingga, beban kombinasi yang terjadi pada kolom K1, antara lain :

$$DL \text{ Total} = 452793.60 + 34416 = 487209.60 \text{ kg}$$

$$LL \text{ Total} = 82944 + 4608 = 87552 \text{ kg}$$

$$Wu = 1.2DL + 1.6LL = 724734.72 \text{ kg}$$

Luas kolom dapat dihitung menggunakan SNI 2847:2019 pasal 9.3.2.2. , sebagai berikut :

$$A = \frac{Wu}{0.3 \times f'c} = \frac{(724734.72)}{0.3 \times 700} = 3451.118 \text{ cm}^2$$

$$S = \sqrt{A} = \sqrt{3451.118} = 58.746 \text{ cm} = 65 \text{ cm}$$

Dimensi kolom K1 yang akan digunakan pada perencanaan tugas ini yaitu sebesar 65 x 65 cm.

- Lantai 6-10 (K2)

| | |
|---------------------------|----------------|
| Beban Mati pada 1 Lantai | : 50310.40 kg |
| Beban Mati pada 4 Lantai | : 201241.60 kg |
| Beban Hidup pada 1 Lantai | : 9216 kg |
| Beban Hidup pada 4 Lantai | : 36864 kg |
| Beban Mati pada Atap | : 34416 kg |
| Beban Hidup pada Atap | : 4608 kg |

Sehingga, beban kombinasi yang terjadi pada kolom K1, antara lain :

$$DL \ Total = 201241.60 + 34416 = 235657.60 \text{ kg}$$

$$LL \ Total = 36864 + 4608 = 41472 \text{ kg}$$

$$Wu = 1.2DL + 1.6LL = 349144.32 \text{ kg}$$

Luas kolom dapat dihitung menggunakan SNI 2847:2019 pasal 9.3.2.2. , sebagai berikut :

$$A = \frac{Wu}{0.3 \times f'c} = \frac{(349144.32)}{0.3 \times 700} = 1662.592 \text{ cm}^2$$

$$S = \sqrt{A} = \sqrt{1662.592} = 40.775 \text{ cm} = 45 \text{ cm}$$

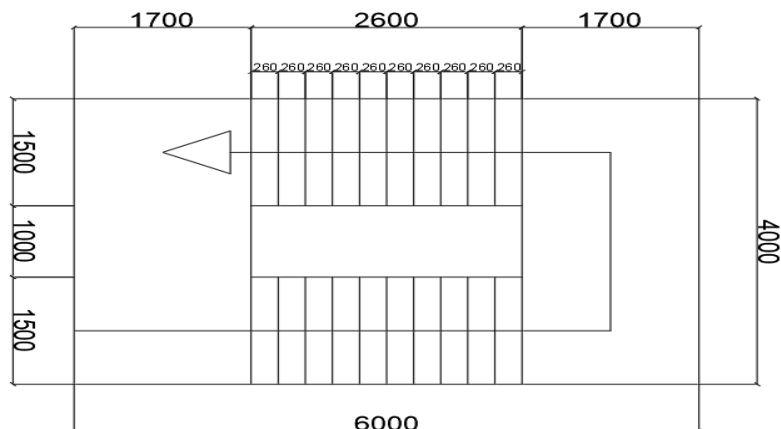
Dimensi kolom K2 yang akan digunakan pada perencanaan tugas ini yaitu sebesar 45 cm x 45 cm.

Rekapitulasi perhitungan dimensi kolom dapat dilihat pada tabel 3.7.

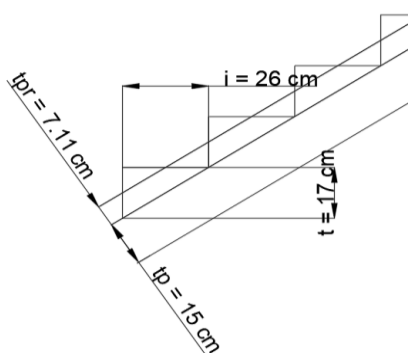
Tabel 3.7 Rekapitulasi Dimensi Kolom

| Kode Kolom | Dimensi | |
|------------|---------|--------|
| | B (cm) | H (cm) |
| K1 | 60 | 60 |
| K2 | 40 | 40 |

3.7 Perencanaan Tangga



Gambar 3.4 Denah Perencanaan Tangga



Gambar 3.5 Dimensi Pelat Anak Tangga

Data Perencanaan Tangga

- Tinggi Lantai : 340 cm
- Tinggi Injakan (t) : 17 cm
- Lebar Injakan (i) : 26 cm
- Lebar Tangga : 150 cm
- Tebal Pelat Tangga (tp) : 15 cm
- Jumlah Tanjakan : 20
- Jumlah Injakan : $20 - 1 = 19$
- Elevasi : 170 cm
- Tebal Pelat Bordes : 15 cm
- Lebar Bordes : 170 cm
- Panjang Bordes : 400 cm
- Panjang Horizontal Tangga : 600 cm
- Kemiringan Tangga : $\text{arc tan } \alpha \frac{17}{26} = 33.17^\circ$
- Tebal Pelat Rata-Rata (tp_r) : $\frac{i}{2} \sin \alpha = 7.11 \text{ cm}$
- Tebal Pelat Total : $t_{pr} + t_p = 23 \text{ cm}$

Perencanaan tangga harus memenuhi syarat standard kemiringan tangga dan ukuran dimensi anak tangga, sebagai berikut :

Syarat Kemiringan Tangga

$$\begin{aligned}25^\circ \leq \alpha &\leq 40^\circ \\25^\circ \leq 33.17^\circ &\leq 40^\circ (OK)\end{aligned}$$

Syarat Dimensi Anak Tangga

$$\begin{aligned}60 \leq (2t + i) &\leq 65 \\60 \leq (2(17) + 26) &\leq 65 \\60 \leq 60 &\leq 65 (OK)\end{aligned}$$

3.8 Perencanaan Lift

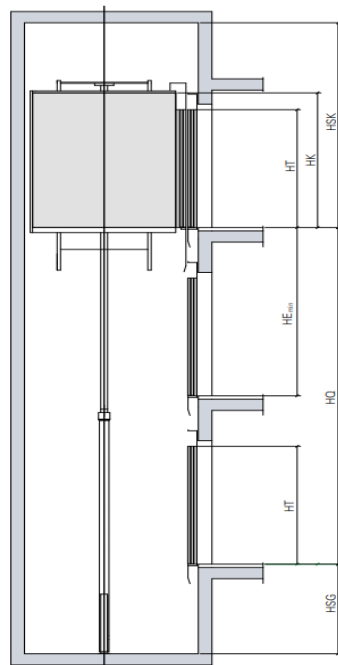
Perencanaan struktur pada buku ini akan menggunakan *lift* yang diproduksi oleh *Schindler 2600* dengan *drive hydraulic rucksack* tipe T2, seperti gambar 4.7 dan 4.8. Spesifikasi *lift* yang akan digunakan, antara lain :

- *Drive* : *Hydraulic Rucksack*
- *Load Capacity* : 1000 kg
- *Passangers* : 13 orang
- *Speed* : 0.63 m/s
- *Number of Entrances*: 1
- *Car* : BK : 1100 mm
TK : 2200 mm
HK : 2000 mm
- *Door* : BT : 1100 mm
HT : 2000 mm
Tipe : T2
- *Shaft* : BS : 2000 mm
TS : 2600 mm
HSG : 1350 mm
HSK : 3400 mm

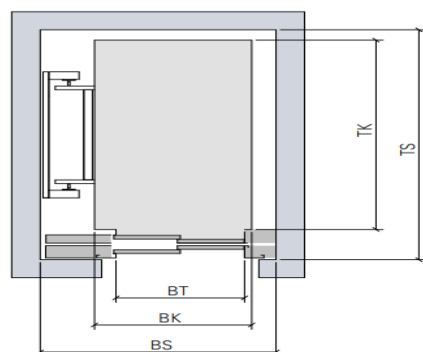
Pemilihan dimensi *lift* disesuaikan berdasarkan rentang ukuran yang disediakan oleh brosur *Schindler 2600*.

Keterangan :

- BK : *Car Width*
- TK : *Car Depth*
- HK : *Car Height*
- BT : *Door Width*
- HT : *Door Height*
- BS : *Shaft Width*
- TS : *Shaft Depth*
- HSG : *Shaft Pit Depth*
- HSK : *Clear Over Head*



Gambar 3.6 Dimensi Lift 1 Pintu dengan *Rucksack System*



Gambar 3.7 Dimensi Lift 1 Pintu dengan *Telescopic Door*

BAB IV

PERENCANAAN STRUKTUR SEKUNDER

4.1 Alur Perencanaan Struktur Sekunder

1. Menentukan penulangan yang dibutuhkan pada pelat anak tangga dan pelat bordes.
2. Menentukan penulangan yang dibutuhkan pada balok anak dan balok luivel.
3. Menentukan penulangan yang dibutuhkan pada pelat lantai, pelat atap, dan pelat luivel.

4.2 Perencanaan Tangga

1. Menghitung gaya geser dan gaya momen yang terjadi pada struktur pelat anak tangga dan pelat bordes.
2. Menghitung kebutuhan tulangan yang diperlukan untuk pelat anak tangga.
3. Menghitung kebutuhan tulangan yang diperlukan untuk pelat bordes.
4. Menghitung kebutuhan tulangan yang diperlukan untuk balok bordes.

4.2.1 Data Perencanaan Tangga

- Tinggi Lantai : 340 cm
- Tinggi Injakan (t) : 17 cm
- Lebar Injakan (i) : 26 cm
- Lebar Tangga : 150 cm
- Tebal Pelat Tangga (t_p) : 15 cm
- Jumlah Tanjakan : 20
- Jumlah Injakan : $20 - 1 = 19$
- Elevasi Bordes : 170 cm
- Tebal Pelat Bordes : 15 cm
- Lebar Bordes : 170 cm
- Panjang Bordes : 400 cm
- Panjang Horizontal Tangga : 600 cm
- Kemiringan Tangga : $\arctan \alpha \frac{17}{26} = 33.17^\circ$
- Tebal Pelat Rata-Rata (t_{pr}) : $\frac{i}{2} \sin \alpha = 7.11 \text{ cm}$
- Tebal Pelat Total : $t_{pr} + t_p = 23 \text{ cm}$

4.2.2 Pembebaan Pelat Tangga dan Bordes

4.2.2.1 Pembebaan Pelat Tangga

- Beban Mati

$$\text{Pelat Tangga} : \frac{0.23 \times 2400}{\cos 33.17} = 634.01 \text{ kg/m}$$

$$31 \text{ cm} : 2400 \times 0.01 = 24 \text{ kg/m}$$

$$\text{Spesi 2 cm} : 2100 \times 0.02 = 42 \text{ kg/m}$$

$$\text{Sandaran} : 50 \text{ kg/m}$$

$$\text{Tegel+Spesi Vertikal} : \frac{(24+42) \times 1.7}{2.6} = 43.15 \text{ kg/m}$$

$$q_D : 793.16 \text{ kg/m}$$

- Beban Hidup

$$q_L : 479 \text{ kg/m}$$

- Beban *Ultimate*

$$q_{U1} : 1.2q_D + 1.6q_L = 1718.19 \text{ kg/m}$$

4.2.2.2 Pembebanan Bordes

- Beban Mati

Pelat Bordes : $0.15 \times 2400 = 360 \text{ kg/m}$

Tegel 1 cm : $2400 \times 0.01 = 24 \text{ kg/m}$

Spesi 2 cm : $2100 \times 0.02 = 42 \text{ kg/m}$

q_D : 426 kg/m

- Beban Hidup

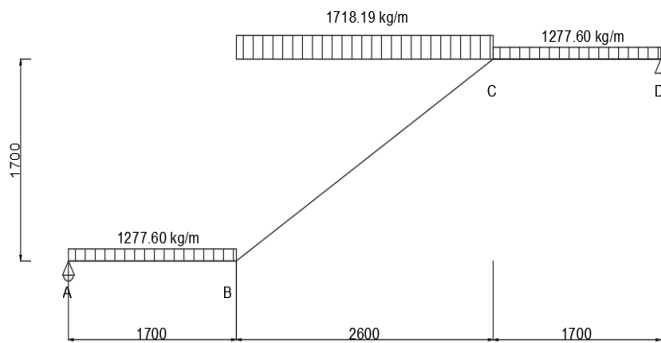
q_L : 479 kg/m

- Beban *Ultimate*

q_{U2} : $1.2q_D + 1.6q_L = 1277.60 \text{ kg/m}$

4.2.3 Perhitungan Gaya Tangga

Perhitungan gaya tangga pada tugas akhir ini akan dilakukan perhitungan dengan mekanika teknik dasar setengah lantai serta permasalahan perletakan sendi dan rol seperti pada gambar 4.1.



Gambar 4.1 Permodelan Tangga

4.2.3.1 Perhitungan Reaksi

- $\Sigma Ma = 0$

$$(R_d \times 6) - (q_{U2} \times 0.50 \times 1.70) - (q_{U1} \times 2.60 \times (2.60/2 + 1.70)) - (q_{U2} \times 1.70 \times (1.70/2 + 2.60 + 1.70)) = 0$$

$$R_d = 4405.57 \text{ kg}$$

- $\Sigma Md = 0$

$$(R_a \times 6) - (q_{U2} \times 0.50 \times 1.70) - (q_{U1} \times 2.60 \times (2.60/2 + 1.70)) - (q_{U2} \times 1.70 \times (1.70/2 + 2.60 + 1.70)) = 0$$

$$R_a = 4405.57 \text{ kg}$$

- Cek $\Sigma V = 0$

$$R_a + R_d - (q_{U1} \times 2.60) - (2 \times q_{U2} \times 1.70) = 0 \text{ (OK)}$$

4.2.3.2 Perhitungan Gaya Dalam

1. Gaya Normal

- a. Bordes AB

$$N = 0 \text{ kg}$$

b. Tangga BC

$$N_s = (-Ra + (q_{U2} \times 1.70) + q_{U1} \times s) \sin \alpha$$

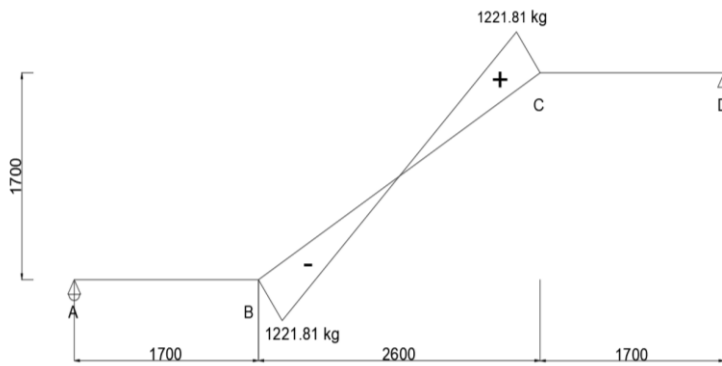
$$s = 0 \rightarrow N_{bkanan} = -1221.81 \text{ kg}$$

$$s = 2.60 \rightarrow N_{ckiri} = 1221.81 \text{ kg}$$

c. Bordes CD

$$N = 0 \text{ kg}$$

Dari perhitungan gaya normal tersebut, diagram gaya normal dapat dimodelkan seperti pada gambar 4.2.



Gambar 4.2 Diagram Gaya Normal Tangga

2. Gaya Lintang

a. Bordes AB

$$D_s = Ra - (q_{U2} \times s)$$

$$s = 0 \rightarrow D_a = 4405.57 \text{ kg}$$

$$s = 1.70 \rightarrow D_{bkanan} = 2233.65 \text{ kg}$$

b. Tangga BC

$$N_x = (Ra - (q_{U2} \times 1.70) + q_{U1} \times s) \cos \alpha$$

$$s = 0 \rightarrow D_{bkanan} = -1869.57 \text{ kg}$$

$$s = 2.60 \rightarrow D_{ckiri} = 1869.57 \text{ kg}$$

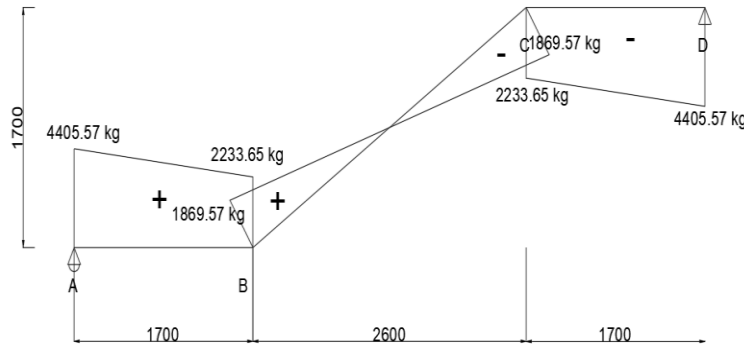
c. Bordes CD

$$D_s = -R_d - (q_{U2} \times s)$$

$$s = 0 \rightarrow D_d = -4405.57 \text{ kg}$$

$$s = 1.70 \rightarrow D_{ckanan} = -2233.65 \text{ kg}$$

Dari perhitungan gaya lintang tersebut, diagram gaya lintang dapat dimodelkan seperti pada gambar 4.3.



Gambar 4.3 Diagram Gaya Lintang Tangga

3. Gaya Momen

a. Bordes AB

$$M_s = Ra \times s - (\frac{1}{2} q_{U2} \times s^2)$$

$$s = 0 \rightarrow M_a = 0 \text{ kgm}$$

$$s = 1.70 \rightarrow M_{b\text{kiri}} = 5643.34 \text{ kgm}$$

b. Tangga BC

$$M_x = Ra (1.70 + s) - (q_{U2} \times 1.70 \times (1.70/2 + s)) - (\frac{1}{2} q_{U1} \times s^2)$$

$$s = 0 \rightarrow M_{b\text{kanan}} = 5643.34 \text{ kgm}$$

$$s = 2.60 \rightarrow M_{c\text{kanan}} = 5643.34 \text{ kgm}$$

c. Bordes CD

$$M_s = Rd \times s - (\frac{1}{2} q_{U2} \times s^2)$$

$$s = 0 \rightarrow M_d = 0 \text{ kgm}$$

$$s = 1.70 \rightarrow M_{c\text{kanan}} = 5643.34 \text{ kgm}$$

Momen maksimum yang terjadi pada tangga dapat dihitung jarak dan nilainya, sebagai berikut :

a. Jarak Momen Maksimum

$$D = 0 \text{ (Pada Tangga BC)}$$

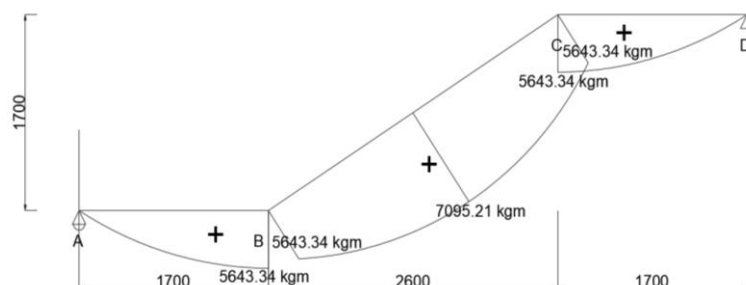
$$0 = (Ra - q_{U2} \times 1.70 - q_{U1} \times s) \cos \alpha$$

$$s = 1.30 \text{ m}$$

b. Nilai Momen Maksimum

$$M_{\max} = Ra (1.70 + s) - (q_{U2} \times 1.70 \times (1.70/2 + s)) - (\frac{1}{2} q_{U1} \times s^2) = 7095.21 \text{ kgm}$$

Dari perhitungan gaya momen tersebut, diagram gaya normal dapat dimodelkan seperti pada gambar 4.4.



Gambar 4.4 Diagram Momen Lintang Tangga

4.2.4 Perhitungan Penulangan Tangga

4.2.4.1 Penulangan Pelat Tangga

1. Data Perencanaan

- $F'c$: 40 MPa
- F_y : 420 Mpa
- Cover : 20 mm
- Tulangan (D) : D16
- D_x : $t_{tangga} - \text{cover} - (D/2)$
 $150 - 20 - (16/2) = 122 \text{ mm}$
- ρ_{\min} : 0.0273
- ρ_{\min} : 0.0033
- m : $\frac{f_y}{0.85 \times f'c} = 12.35$

2. – Tulangan Lentur

M_u : 7095.21 kgm
 69604032.46 Nmm
 M_n : $\frac{M_u}{\phi} = \frac{69604032.46}{0.90}$
 77337813.85
 R_n : $\frac{M_n}{bd^2} = \frac{77337813.85}{1000 \times 122}$
 5.19
 ρ : $\frac{1}{m} \left(1 - \sqrt{1 - \frac{2 \times m \times R_n}{f_y}} \right)$
 $\frac{1}{12.35} \left(1 - \sqrt{1 - \frac{2 \times 12.35 \times 5.19}{420}} \right)$
 0.013 (Digunakan)
 $A_s \text{ Perlu}$: $\rho \times b \times d$
 $0.013 \times 1000 \times 122 = 1646.59 \text{ mm}^2$
 $A_s \text{ Tul. (D16)}$: $\frac{1}{4} \pi D^2 = 201.06 \text{ mm}^2$
 $n \text{ Perlu}$: $\frac{A_s \text{ Perlu}}{A_s \text{ Tulangan}} = \frac{8.19}{10} = 10 \text{ Buah}$

Sesuai SNI 2847:2019 Pasal 7.7.2.3. spasi maksimum untuk tulangan ulir, antara lain :

S_{Min} : $3h = 450 \text{ mm}$ dan 450 mm
 S_{Perlu} : $\frac{1000}{10} = 100 \text{ mm}$ (OK)

Tulangan lentur pelat tangga yang akan digunakan adalah D16-100 mm.

– Tulangan Bagi

$A_s \text{ Pakai}$: $n \text{ Pakai} \times D16$
 $10 \times 201.06 = 2010.62 \text{ mm}^2$
 $A_s \text{ Tul. Bagi}$: $20\% A_s \text{ Pakai} = 402.12 \text{ mm}^2$
 $A_s \text{ Tul. (D10)}$: $\frac{1}{4} \pi D^2 = 78.54 \text{ mm}^2$
 $n \text{ Perlu}$: $\frac{A_s \text{ Perlu}}{A_s \text{ Tulangan}} = \frac{5.12}{6} = 6 \text{ Buah}$

Sesuai SNI 2847:2019 Pasal 7.7.2.3. spasi maksimum untuk tulangan ulir, antara lain :

S_{Min} : $3h = 450 \text{ mm}$ dan 450 mm
 S_{Perlu} : $\frac{1000}{6} = 166.67 \text{ mm} = 150 \text{ mm}$ (OK)

Tulangan bagi pelat tangga yang akan digunakan adalah D10-150 mm.

– Tulangan Susut

Sesuai SNI 2847:2019 Tabel 11.6.1. , ρ_{min} tulangan ulir susut dengan $f_y = 420 \text{ Mpa}$ menggunakan 0.002.

$$\begin{aligned}\rho_{min} &: 0.002 \\ \text{As Perlu} &: \rho \times b \times d \\ &0.002 \times 1000 \times 122 = 244 \text{ mm}^2 \\ \text{As Tul. (D10)} &: \frac{1}{4} \pi D^2 = 78.54 \text{ mm}^2 \\ n \text{ Perlu} &: \frac{\text{As Perlu}}{\text{As Tulangan}} = 3.11 = 4 \text{ Buah}\end{aligned}$$

Sesuai SNI 2847:2019 Pasal 7.7.2.3. spasi maksimum untuk tulangan ulir, antara lain :

$$\begin{aligned}S \text{ Min} &: 3h = 450 \text{ mm dan } 450 \text{ mm} \\ S \text{ Perlu} &: \frac{1000}{4} = 250 \text{ mm} = 250 \text{ mm (OK)}\end{aligned}$$

Tulangan susut pelat tangga yang akan digunakan adalah D10-250 mm.

4.2.4.2 Penulangan Pelat Bordes

1. Data Perencanaan

- $F'c$: 40 MPa
- F_y : 420 Mpa
- Cover : 20 mm
- Tulangan (D) : D16
- D_x : $t_{tangga} - \text{cover} - (D/2)$
 $150 - 20 - (16/2) = 122 \text{ mm}$
- ρ_{min} : 0.0273
- ρ_{min} : 0.0033
- m : $\frac{f_y}{0.85 \times f'c} = 12.35$

2. – Tulangan Lentur

$$\begin{aligned}\text{Mu} &: 5643.34 \text{ kgm} \\ &55361155.7 \text{ Nmm} \\ \text{Mn} &: \frac{\text{Mu}}{\phi} = \frac{55361155.7}{0.90} \\ &61512395.22 \\ \text{Rn} &: \frac{\text{Mn}}{bd^2} = \frac{61512395.22}{1000 \times 122} \\ &4.13 \\ \rho &: \frac{1}{m} \left(1 - \sqrt{1 - \frac{2 \times m \times Rn}{f_y}} \right) \\ &\frac{1}{12.35} \left(1 - \sqrt{1 - \frac{2 \times 12.35 \times 4.13}{420}} \right) \\ &0.011 \text{ (Digunakan)} \\ \text{As Perlu} &: \rho \times b \times d \\ &0.011 \times 1000 \times 122 = 1283.93 \text{ mm}^2 \\ \text{As Tul. (D16)} &: \frac{1}{4} \pi D^2 = 201.06 \text{ mm}^2 \\ n \text{ Perlu} &: \frac{\text{As Perlu}}{\text{As Tulangan}} = 6.38 = 8 \text{ Buah}\end{aligned}$$

Sesuai SNI 2847:2019 Pasal 7.7.2.3. spasi maksimum untuk tulangan ulir, antara lain :

$$S_{\text{Min}} : 3h = 450 \text{ mm dan } 450 \text{ mm}$$

$$S_{\text{Perlu}} : \frac{1000}{8} = 125 \text{ mm (OK)}$$

Tulangan lentur pelat tangga yang akan digunakan adalah D16-120 mm.

– Tulangan Bagi

$$As_{\text{Pakai}} : n_{\text{Pakai}} \times D16$$

$$8 \times 201.06 = 1608.49 \text{ mm}^2$$

$$As_{\text{Tul. Bagi}}$$

$$: 20\% As_{\text{Pakai}} = 321.69 \text{ mm}^2$$

$$As_{\text{Tul. (D10)}}$$

$$: \frac{1}{4} \pi D^2 = 78.54 \text{ mm}^2$$

$$n_{\text{Perlu}}$$

$$: \frac{As_{\text{Perlu}}}{As_{\text{Tulangan}}} = 4.09 = 5 \text{ Buah}$$

Sesuai SNI 2847:2019 Pasal 7.7.2.3. spasi maksimum untuk tulangan ulir, antara lain :

$$S_{\text{Min}} : 3h = 450 \text{ mm dan } 450 \text{ mm}$$

$$S_{\text{Perlu}} : \frac{1000}{5} = 200 \text{ mm} = 200 \text{ mm (OK)}$$

Tulangan bagi pelat tangga yang akan digunakan adalah D10-200 mm.

– Tulangan Susut

Sesuai SNI 2847:2019 Tabel 11.6.1., ρ_{\min} tulangan ulir susut dengan $f_y = 420 \text{ Mpa}$ menggunakan 0.002.

$$\rho_{\min} : 0.002$$

$$As_{\text{Perlu}} : \rho \times b \times d$$

$$0.002 \times 1000 \times 122 = 244 \text{ mm}^2$$

$$As_{\text{Tul. (D10)}} : \frac{1}{4} \pi D^2 = 78.54 \text{ mm}^2$$

$$n_{\text{Perlu}} : \frac{As_{\text{Perlu}}}{As_{\text{Tulangan}}} = 3.11 = 4 \text{ Buah}$$

Sesuai SNI 2847:2019 Pasal 7.7.2.3. spasi maksimum untuk tulangan ulir, antara lain :

$$S_{\text{Min}} : 3h = 450 \text{ mm dan } 450 \text{ mm}$$

$$S_{\text{Perlu}} : \frac{1000}{4} = 250 \text{ mm} = 250 \text{ mm (OK)}$$

Tulangan susut pelat tangga yang akan digunakan adalah D10-250 mm.

4.2.5 Perencanaan Balok Bordes

4.2.5.1 Perencanaan Dimensi Balok Bordes

Tinggi balok akan ditentukan berdasarkan SNI 2847:2019 Tabel 9.3.1.1. dengan kondisi perlekatan sederhana, yaitu :

$$h_{\min} = \frac{L}{16}$$

Lebar balok akan ditentukan berdasarkan SNI 2847:2019 Pasal 18.6.2.1., yaitu :

$$b = \frac{2}{3}h$$

Akan tetapi, lebar balok tidak boleh kurang dari nilai paling kecil di antara dua minimal yang ditentukan, yaitu :

$$b \text{ min } 1 = 0.3 \text{ h} \text{ dan } b \text{ min } 2 = 250 \text{ mm}$$

Keterangan :

h = Tinggi Minimum Balok (cm)

b = Lebar Balok (cm)

L = Panjang Bentang Balok (cm)

Balok bordes yang direncanakan memiliki bentang 4 m.

$$L = 4 \text{ m} = 400 \text{ cm}$$

$$h \text{ min } = \frac{L}{16} = \frac{400}{16} = 25 \text{ cm}$$

$$h \text{ pakai} = 30 \text{ cm}$$

dan

$$b \text{ min } 1 = 0.3 \text{ h} = 9 \text{ cm}$$

$$b \text{ min } 2 = 25 \text{ cm}$$

$$b \text{ pakai} = \frac{2}{3} h = 20 \text{ cm}$$

Ukuran diameter tulangan balok dan kolom akan diasumsikan untuk menghitung persyaratan balok sesuai SNI 2847:2019, yaitu :

Tulangan Longitudinal (dl) : 16 mm

Tulangan Sengkang (ds) : 10 mm

Ukuran Kolom (c1) : 600 mm

Ukuran Kolom (c2) : 600 mm

$$d = h - c - ds - \frac{dl}{2} = 23.20 \text{ cm}$$

$$4d = 92.80 \text{ cm}$$

$$Ln = L - \frac{c1}{2} - \frac{c2}{2}$$

$$Ln = 400 - \frac{60}{2} - \frac{60}{2} = 340 \text{ cm}$$

$$Ln > 4d (\text{OK})$$

Lebar balok pakai sudah memenuhi syarat sehingga dimensi balok bordes yang akan digunakan adalah (20/30).

1.1.1.1 Pembebanan Balok Bordes

- Beban Mati

q_D Bordes : $426 \times 1.70 = 724.20 \text{ kg/m}$

Berat Balok : $0.2 \times 0.3 \times 2400 = 144 \text{ kg/m}$

q_D : 868.20 kg/m

- Beban Hidup

q_L : 479 kg/m

- Beban *Ultimate*

q_{U2} : $1.2q_D + 1.6q_L = 2344.72 \text{ kg/m}$

1.1.1.2 Data Perencanaan Balok Bordes

- $F'c$: 40 MPa
- F_y : 420 Mpa
- Cover : 40 mm
- Tulangan Lentur (DL) : D16
- Tulang Geser (DS) : D10
- D_x : $t_{\text{pelatb}} - \text{cover} - (\text{DS}) - (\text{DL}/2)$
 $300 - 40 - (10) - (16/2) = 242 \text{ mm}$
- ρ_{\min} : 0.0273
- ρ_{\min} : 0.0033
- m : $\frac{f_y}{0.85 \times f'c} = 12.35$

1.1.1.3 Penulangan Balok Bordes

1. – Tulangan Lentur Tumpuan

$$\begin{aligned} Mu &: \frac{1}{12} qu \times L^2 \\ &\quad \frac{1}{12} 2344.72 \times 4^2 \\ &\quad 3126.29 \text{ kgm} \\ &\quad 30668937.60 \text{ Nmm} \\ Mn &: \frac{Mu}{\phi} = \frac{30668937.60}{0.90} \\ &\quad 34076597.33 \text{ Nmm} \\ Rn &: \frac{Mn}{bd^2} = \frac{34076597.33}{200 \times 242^2} \\ &\quad 2.91 \\ \rho &: \frac{1}{m} \left(1 - \sqrt{1 - \frac{2 \times m \times Rn}{f_y}} \right) \\ &\quad \frac{1}{12.35} \left(1 - \sqrt{1 - \frac{2 \times 12.35 \times 2.91}{420}} \right) \\ &\quad 0.0073 \text{ (Digunakan)} \end{aligned}$$

$$\begin{aligned} As \text{ Perlu} &: \rho \times b \times d \\ &\quad 0.0073 \times 200 \times 242 = 435.11 \text{ mm}^2 \end{aligned}$$

$$As \text{ Tul. (D16)} : \frac{1}{4} \pi D^2 = 201.06 \text{ mm}^2$$

$$n \text{ Perlu} : \frac{As \text{ Perlu}}{As \text{ Tulangan}} = 2.16 = 3 \text{ Buah}$$

Tulangan lentur tumpuan balok bordes yang akan digunakan adalah 3D16.

2. – Tulangan Lentur Lapangan

$$\begin{aligned} Mu &: 0.50 \times \left(\frac{1}{12} qu \times L^2 \right) \\ &\quad 0.50 \times \left(\frac{1}{12} 2344.72 \times 4^2 \right) \\ &\quad 1563.15 \text{ kgm} \\ &\quad 15334468.80 \text{ Nmm} \\ Mn &: \frac{Mu}{\phi} = \frac{15334468.80}{0.9} \\ &\quad 17038298.67 \text{ Nmm} \\ Rn &: \frac{Mn}{bd^2} = \frac{17038298.67}{200 \times 242^2} \\ &\quad 1.45 \end{aligned}$$

$$\rho : \frac{1}{m} \left(1 - \sqrt{1 - \frac{2 \times m \times Rn}{fy}} \right)$$

$$= \frac{1}{12.35} \left(1 - \sqrt{1 - \frac{2 \times 12.35 \times 1.45}{420}} \right)$$

$$= 0.0035 \text{ (Digunakan)}$$

As Perlu : $\rho \times b \times d$
 $0.0035 \times 200 \times 242 = 212.46 \text{ mm}^2$

As Tul. (D16) : $\frac{1}{4} \pi D^2 = 201.06 \text{ mm}^2$

n Perlu : $\frac{\text{As Perlu}}{\text{As Tulangan}} = 1.05 = 2 \text{ Buah}$

Tulangan lentur lapangan balok bordes yang akan digunakan adalah 2D16.

3. – Tulangan Geser

$$V_u : \left(\frac{1}{2} qu \times L \right)$$

$$= \left(\frac{1}{2} 2344.72 \times 4 \right)$$

$$= 4689.440 \text{ kg}$$

$$= 46003.41 \text{ N}$$

$$V_c : 0.17 \left(\sqrt{f'c} \times b \times d \right)$$

$$= 0.17 \left(\sqrt{40} \times 200 \times 300 \right)$$

$$= 64510.46 \text{ N}$$

ϕV_c : 0.75×64510.46
 $= 48382.85 \text{ N}$

$0.5\phi V_c$: $0.50 \times 0.75 \times 64510.46$
 $= 24191.42 \text{ N}$

Kuat geser tulangan mengalami kondisi $0.5\phi V_c < V_u < V_c$ sehingga digunakan tulangan geser minimum.

$$V_n : \left(\frac{Vu}{\phi} \right)$$

$$= \left(\frac{46003.41}{0.75} \right)$$

$$= 61337.88 \text{ N}$$

$$V_s = V_n : 61337.88 \text{ N}$$

$$A_v (\text{D10}) : \frac{1}{4} \pi D^2 = 157.08 \text{ mm}^2$$

$$s : \frac{A_v \times f_y \times d}{V_s}$$

$$= \frac{157.08 \times 420 \times 242}{61337.88}$$

$$= 260.29 \text{ mm}$$

Sesuai SNI 2847:2019 Tabel 9.7.6.2.2., spasi maksimum untuk tulangan geser ditentukan berdasarkan nilai V_s , yaitu :

$$0.33\sqrt{f'c}xbxd : 101015.80 \text{ N}$$

Nilai V_s didapatkan lebih kecil dari $0.33\sqrt{f'c}xbxd$ sehingga spasi maksimum tidak boleh melebihi dari nilai terendah batasan yang telah diatur pada SNI 2847:2019.

S Min 1 : $d/2 = 121 \text{ mm}$ (Dipilih)

S Min 2 : 600 mm

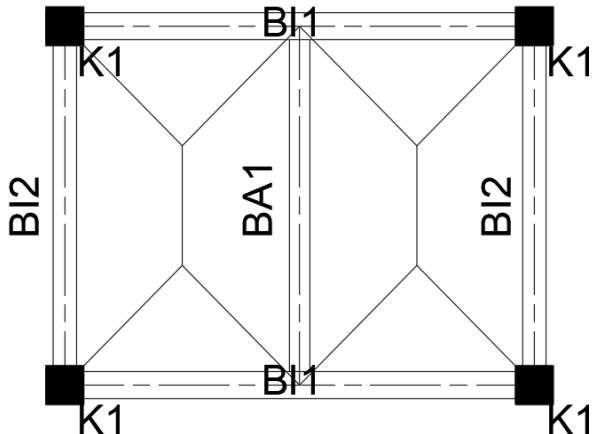
S Pakai : 120 mm

Tulangan geser balok bordes yang akan digunakan adalah D10-120 mm.

4.3 Perencanaan Balok Anak

1. Menentukan dan menghitung beban-beban yang terjadi pada balok anak, seperti beban pelat, spesi, lantai, dan beban gravitasi lainnya.
2. Menentukan kebutuhan tulangan longitudinal tumpuan dan lapangan yang masing-masing memiliki serat atas dan bawah. Lalu, dilakukan kontrol regangan pada masing-masing penentuan tulangan longitudinal.
3. Menentukan kebutuhan tulangan sengkang dan jarak spasi sengkang.

4.4 Perhitungan Pembebanan



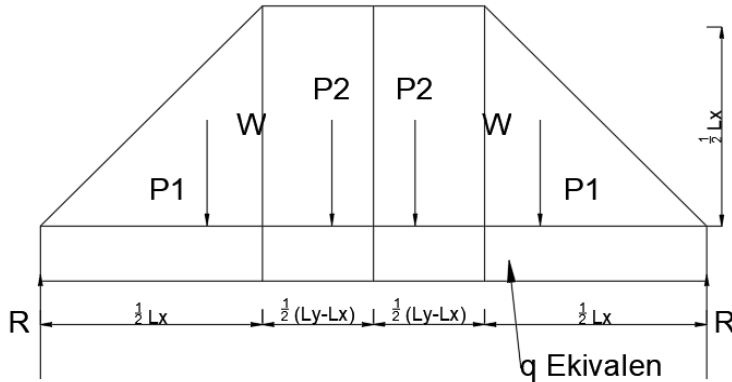
Gambar 4.5 Distribusi Beban Pelat 2 Arah terhadap Balok Anak.

- Perhitungan Beban Trapesium

$$\begin{aligned}
 W &= \frac{1}{2} \times q \times Lx \\
 P1 &= \frac{1}{8} \times q \times Lx^2 \\
 P2 &= \frac{1}{2}(Ly - Lx) \times \frac{1}{2} \times q \times Lx \\
 R &= P1 + P2 \\
 M_{\max} &= (R \times \frac{1}{2}Ly) - (P1 \times (\frac{1}{2}Ly - \frac{1}{3}Lx)) - (P2 \times \frac{1}{4}(Ly - Lx)) \\
 M_{\max} &= (R \times \frac{1}{2}Ly) - (\frac{1}{2}P1 \times Ly) + (\frac{1}{3}P1 \times Lx) - (\frac{1}{4} \times P2 \times Ly) + (\frac{1}{4} \times P2 \times \\
 &\quad Lx) \\
 M_{\max} &= (\frac{1}{2}P1 \times Ly) + (\frac{1}{2}P2 \times Ly) - (\frac{1}{2}P1 \times Ly) + (\frac{1}{3}P1 \times Lx) - (\frac{1}{4}P2 \times \\
 &\quad Ly) + (\frac{1}{4}P2 \times Lx) \\
 M_{\max} &= (\frac{1}{4}P2 \times Ly) + (\frac{1}{3}P1 \times Lx) + (\frac{1}{4}P2 \times Lx) \\
 M_{\max} &= (\frac{1}{16} \times q \times Lx \times Ly^2) - (\frac{1}{16} \times q \times Ly \times Lx^2) + (\frac{1}{24} \times q \times Lx^3) + (\frac{1}{16} \times \\
 &\quad q \times Ly \times Lx^2) - (\frac{1}{16} \times q \times Lx^3) \\
 M_{\max} &= (\frac{1}{16} \times q \times Lx \times Ly^2) - (\frac{1}{48} \times q \times Lx^3) \\
 M_{\max} &= \frac{1}{8} \times q \times Ly^2 ((\frac{1}{2}Lx) - (\frac{1}{6} \times \frac{Lx^3}{Ly^2})) \\
 M_{eq} &= \frac{1}{8} \times q_{eq} \times Ly^2 \\
 M_{\max} &= M_{eq} \\
 \frac{1}{8} \times q \times Ly^2 ((\frac{1}{2}Lx) - (\frac{1}{6} \times \frac{Lx^3}{Ly^2})) &= \frac{1}{8} \times q_{eq} \times Ly^2
 \end{aligned}$$

Sehingga, didapatkan rumus perhitungan pembebanan trapesium, yaitu :

$$\begin{aligned} q_{ek} &= \left(q \times \frac{1}{2} Lx \right) - \left(\frac{1}{6} \times \frac{Lx^3}{Ly^2} \right) \\ q_{ek} &= \frac{1}{2} \times q \times Lx \left(1 - \frac{1}{3} \left(\frac{Lx}{Ly} \right)^2 \right) \end{aligned}$$



Gambar 4.6 Beban Ekivalen Trapesium.

- Pembebanan

- Beban Mati (q_D)

$$\text{Berat Balok Anak} = 2400 \times 0.55 \times 0.35 = 420 \text{ kg/m}$$

$$\text{Berat Pelat} = \frac{1}{2} \times q \times Lx \left(1 - \frac{1}{3} \left(\frac{Lx}{Ly} \right)^2 \right)$$

$$= \frac{1}{2} \times 360 \times \left(1 - \frac{1}{3} \left(\frac{3.60}{5.50} \right)^2 \right)$$

$$= 1114.23 \text{ kg/m}$$

$$\text{Plafon} = 11 \times 4 = 44 \text{ kg/m}$$

$$\text{Penggantung} = 7 \times 4 = 28 \text{ kg/m}$$

$$\text{Ducting} = 30 \times 4 = 120 \text{ kg/m}$$

$$\text{Keramik} = 24 \times 4 = 96 \text{ kg/m}$$

$$\text{Spesi (1 cm)} = 21 \times 4 = 84 \text{ kg/m}$$

$$q_D = 2266.24 \text{ kg/m}$$

- Beban Hidup (q_L)

$$q_L = 479 \text{ kg/m}$$

- Kombinasi Beban (q_U)

$$q_U \text{ pakai} = 1,2qD + 1,6qL = 3485.89 \text{ kg/m}$$

4.4.1 Perhitungan Tulangan Balok Anak

- Perhitungan Momen dan Gaya Geser

$$\begin{aligned} \beta_1 &= 0.85 - \left(0.05 \frac{f'c - 28}{7} \right) \\ &= 0.85 - \left(0.05 \frac{40 - 28}{7} \right) \\ &= 0.76 \end{aligned}$$

$$\begin{aligned} \rho_{min1} &= 0.25 \times \frac{\sqrt{f'c}}{420} \\ &= 0.25 \times \frac{\sqrt{40}}{420} \\ &= 0.0038 \end{aligned}$$

$$\begin{aligned}
\rho_{min2} &= 1.4 f_y \\
&= 1.4 \times 420 \\
&= 0.0033 \\
m &= \frac{f_y}{0.85 f'c} \\
&= \frac{420}{0.85 \times 40} \\
&= 12.35 \\
d &= h_{balok} - \text{cover} - \phi_{sengkang} - 0.50 D_{tulangan} \\
&= 500 - 50 - 13 - 0.50(19) \\
&= 427.50 \text{ mm} \\
L_{n1} &= 6 - 0.5(0.45+0.45) = 5.55 \text{ m} \\
L_{n2} &= 6 - 0.5(0.45+0.45) = 5.55 \text{ m} \\
Ln &= \frac{L_{n1} + L_{n2}}{2} \\
&= \frac{5.55 + 5.55}{2} \\
&= 5.55 \text{ m} \\
M \text{ tumpuan} &= \frac{1}{10} \times qu \times Ln^2 \\
&= \frac{1}{10} \times 3485.89 \times 5.55^2 \\
&= 10737.40 \text{ kgm} \\
M \text{ lapangan} &= \frac{1}{14} \times qu \times Ln^2 \\
&= \frac{1}{14} \times 3485.89 \times 5.55^2 \\
&= 7669.57 \text{ kgm} \\
V &= 1.15 \times \frac{qu \times Ln}{2} \\
&= 1.15 \times \frac{3485.89 \times 5.55}{2} \\
&= 11124.33 \text{ kg}
\end{aligned}$$

- Perhitungan Tulangan Balok Anak
 - Tulangan Lentur Tumpuan Negatif

$$\begin{aligned}
 Mu &= 10737.40 \text{ kgm} \\
 \phi &= 0,90 \\
 R_n &= \frac{Mu}{\phi b d^2} \\
 &= \frac{10737.40 \times 10^4}{0.90 \times 350 \times 427.50^2} \\
 &= 1.83 \text{ N/mm}^2
 \end{aligned}$$

$$\begin{aligned}
 \rho \text{ perlu} &= \frac{1}{m} \left(1 - \sqrt{1 - \frac{2 \times m \times R_n}{f_y}} \right) \\
 &= \frac{1}{12.35} \left(1 - \sqrt{1 - \frac{2 \times 12.35 \times 1.83}{420}} \right) \\
 &= 0.0048
 \end{aligned}$$

$$\begin{aligned}
 \rho \text{ pakai} &= 0,0048 > \rho \text{ min} \\
 As \text{ perlu} &= \rho \text{ pakai} \times b \times d \\
 &= 0,0048 \times 350 \times 427.50 \\
 &= 670.39 \text{ mm}^2
 \end{aligned}$$

$$\begin{aligned}
 n \text{ pakai} &= \frac{As \text{ perlu}}{As \text{ tulangan}} \\
 &= \frac{670.39}{\frac{1}{4} \pi 19^2}
 \end{aligned}$$

$$= 2.36 \text{ buah} = 3 \text{ buah}$$

smin 1 = Dtulangan = 19 mm
 smin 2 = 25 mm (Terpilih)
 spakai = $\frac{b - npakai Dtulangan - 2 \text{ clear cover} - 2\phi sengkang}{npakai - 1}$
 $= \frac{350 - 3(19) - 2(50) - 2(13)}{npakai - 1}$
 $= 83.50 \text{ mm}$
 spakai > smin (OK)

Kontrol Regangan

a = $\frac{As \times fy}{0,85 \times f'c \times b}$
 $= \frac{670,39 \times 420}{0,85 \times 40 \times 350}$
 $= 23,66 \text{ mm}$
 c = $\frac{a}{\beta_1}$
 $= \frac{23,66}{0,76}$
 $= 30,96 \text{ mm}$
 et = $0,003 \frac{d-c}{c}$
 $= 0,003 \frac{427,50 - 30,96}{30,96}$
 $= 0,038 > 0,005 \text{ (OK)}$

Tulangan lentur tumpuan negatif didapatkan sebesar 3D19.

- Tulangan Lentur Tumpuan Positif

$$\mu_u = 0,50 \times M_{u \text{ negatif tumpuan}}$$

$\phi = 0,90$
 Rn = $\frac{\mu_u}{\phi b d^2}$
 $= \frac{0,50 \times 10737,40 \times 10^4}{0,90 \times 350 \times 427,50^2}$
 $= 0,91 \text{ N/mm}^2$

$\rho \text{ perlu} = \frac{1}{m} \left(1 - \sqrt{1 - \frac{2 \times m \times Rn}{f_y}} \right)$
 $= \frac{1}{12,35} \left(1 - \sqrt{1 - \frac{2 \times 12,35 \times 0,91}{420}} \right)$
 $= 0,0022$

$$\rho \text{ pakai} = 0,0038 > \rho \text{ min}$$

$As \text{ perlu} = \rho \text{ pakai} \times b \times d$
 $= 0,0038 \times 350 \times 427,50$
 $= 563,28 \text{ mm}^2$

$n \text{ pakai} = \frac{As \text{ perlu}}{As \text{ tulangan}}$
 $= \frac{563,28}{\frac{1}{4} \pi 19^2}$
 $= 1,99 \text{ buah} = 2 \text{ buah}$

smin 1 = Dtulangan = 19 mm
 smin 2 = 25 mm (Terpilih)
 spakai = $\frac{b - npakai Dtulangan - 2 \text{ clear cover} - 2\phi sengkang}{npakai - 1}$

$$\begin{aligned}
 &= \frac{350 - 2(19) - 2(50) - 2(13)}{2-1} \\
 &= 186 \text{ mm} \\
 \text{spakai} &> \text{smin (OK)}
 \end{aligned}$$

Kontrol Regangan

$$\begin{aligned}
 a &= \frac{As \times fy}{0,85 \times f'c \times b} \\
 &= \frac{563,28 \times 420}{0,85 \times 40 \times 350} \\
 &= 19,88 \text{ mm} \\
 c &= \frac{a}{\beta_1} \\
 &= \frac{19,88}{0,76} \\
 &= 26,01 \text{ mm} \\
 \epsilon_t &= 0,003 \frac{d-c}{c} \\
 &= 0,003 \frac{427,50 - 26,01}{26,01} \\
 &= 0,046 > 0,005 \text{ (OK)}
 \end{aligned}$$

Tulangan lentur tumpuan positif didapatkan sebesar 2D19.

- Tulangan Lentur Lapangan Positif

$$Mu = 7669,57$$

$$\phi = 0,90$$

$$\begin{aligned}
 R_n &= \frac{Mu}{\phi bd^2} \\
 &= \frac{7669,57 \times 10^4}{0,90 \times 350 \times 427,50^2} \\
 &= 1,31 \text{ N/mm}^2
 \end{aligned}$$

$$\begin{aligned}
 \rho \text{ perlu} &= \frac{1}{m} \left(1 - \sqrt{1 - \frac{2 \times m \times R_n}{fy}} \right) \\
 &= \frac{1}{12,35} \left(1 - \sqrt{1 - \frac{2 \times 12,35 \times 1,31}{420}} \right) \\
 &= 0,0032
 \end{aligned}$$

$$\rho \text{ pakai} = 0,0038 > \rho \text{ min}$$

$$As \text{ perlu} = \rho \text{ pakai} \times b \times d$$

$$\begin{aligned}
 &= 0,0038 \times 350 \times 427,50 \\
 &= 563,28 \text{ mm}^2
 \end{aligned}$$

$$\begin{aligned}
 n \text{ pakai} &= \frac{As \text{ perlu}}{As \text{ tulangan}} \\
 &= \frac{563,28}{\frac{1}{4} \pi 19^2}
 \end{aligned}$$

$$= 1,99 \text{ buah} = 2 \text{ buah}$$

$$smin 1 = Dtulangan = 19 \text{ mm}$$

$$smin 2 = 25 \text{ mm (Terpilih)}$$

$$\begin{aligned}
 \text{spakai} &= \frac{b - npakai Dtulangan - 2 \text{ clear cover} - 2\phi sengkang}{npakai - 1} \\
 &= \frac{350 - 2(19) - 2(50) - 2(13)}{2-1} \\
 &= 186 \text{ mm}
 \end{aligned}$$

spakai > smin (OK)

Kontrol Regangan

$$\begin{aligned}
 a &= \frac{As \times fy}{0,85 \times f'c \times b} \\
 &= \frac{563,28 \times 420}{0,85 \times 40 \times 350} \\
 &= 19,88 \text{ mm} \\
 c &= \frac{a}{\beta_1} \\
 &= \frac{19,88}{0,76} \\
 &= 26,01 \text{ mm} \\
 \epsilon_t &= 0,003 \frac{d-c}{c} \\
 &= 0,003 \frac{427,50 - 26,01}{26,01} \\
 &= 0,046 > 0,005 (\text{OK})
 \end{aligned}$$

Tulangan lentur lapangan positif didapatkan sebesar 2D19.

- Tulangan Lentur Lapangan Negatif

$$\begin{aligned}
 M_u &= 0,50 \times M_{u \text{ negatif tumpuan}} \\
 \phi &= 0,90 \\
 R_n &= \frac{M_u}{\phi b d^2} \\
 &= \frac{0,50 \times 7669,57 \times 10^4}{0,90 \times 350 \times 427,50^2} \\
 &= 0,65 \text{ N/mm}^2 \\
 \rho \text{ perlu} &= \frac{1}{m} \left(1 - \sqrt{1 - \frac{2 \times m \times R_n}{f_y}} \right) \\
 &= \frac{1}{12,35} \left(1 - \sqrt{1 - \frac{2 \times 12,35 \times 0,65}{420}} \right) \\
 &= 0,0015 \\
 \rho \text{ pakai} &= 0,0038 > \rho \text{ min} \\
 As \text{ perlu} &= \rho \text{ pakai} \times b \times d \\
 &= 0,0038 \times 350 \times 427,50 \\
 &= 563,28 \text{ mm}^2 \\
 n \text{ pakai} &= \frac{As \text{ perlu}}{As \text{ tulangan}} \\
 &= \frac{563,28}{\frac{1}{4} \pi 19^2} \\
 &= 1,99 \text{ buah} = 2 \text{ buah} \\
 s_{min 1} &= D_{tulangan} = 19 \text{ mm} \\
 s_{min 2} &= 25 \text{ mm (Terpilih)} \\
 spakai &= \frac{b - npakai D_{tulangan} - 2 \text{ clear cover} - 2\phi sengkang}{npakai - 1} \\
 &= \frac{350 - 2(19) - 2(50) - 2(13)}{2-1} \\
 &= 186 \text{ mm} \\
 spakai &> s_{min} (\text{OK})
 \end{aligned}$$

Kontrol Regangan

$$\begin{aligned}
 a &= \frac{As \times fy}{0,85 \times f'c \times b} \\
 &= \frac{563,28 \times 420}{0,85 \times 40 \times 350} \\
 &= 19,88 \text{ mm}
 \end{aligned}$$

$$\begin{aligned}
c &= \frac{a}{\beta_1} \\
&= \frac{19.88}{0.76} \\
&= 26.01 \text{ mm} \\
\varepsilon_t &= 0,003 \frac{d-c}{c} \\
&= 0,003 \frac{427.50 - 26.01}{26.01} \\
&= 0.046 > 0,005 (\text{OK})
\end{aligned}$$

Tulangan lentur lapangan negatif yang didapatkan sebesar 2D19.

- Tulangan Geser

| | |
|---------------|--|
| Vu | = 111243.33 N |
| Vc | = $0,17\sqrt{f'c} bd$ = 160872.97 N |
| ϕV_c | = 120654.73 N |
| $0,5\phi V_c$ | = 60327.36 N |
| Vs min | = $0,062\sqrt{f'c} bd$ = 58671.32 N |

Syarat Jarak Sengkang

Kondisi 1:

$$Vu \leq 0,5\phi V_c \quad (\text{Tidak Memenuhi})$$

Kondisi 2:

$$0,5\phi V_c \leq Vu \leq \phi V_c \quad (\text{Memenuhi})$$

Tulangan gaya geser sengkang telah memenuhi syarat sesuai kondisi dua sehingga tulangan geser yang diperlukan untuk kondisi balok anak ini, yaitu :

Sengkang yang digunakan adalah sengkang dengan satu kaki.

$$\begin{aligned}
A_v \text{ pakai} &= \frac{1}{4}\pi \times d \text{ sengkang}^2 \\
&= \frac{1}{4}\pi \times 13^2 \\
&= 132.73 \text{ mm}^2 \\
s \text{ pakai} &= \frac{A_v \times f_y \times d}{V_s} \\
&= \frac{132.73 \times 420 \times 427.50}{58671.32} \\
&= 406.20 \text{ mm}
\end{aligned}$$

Sesuai SNI 2847:2019 Tabel 9.7.6.2.2., spasi maksimum untuk tulangan geser ditentukan berdasarkan nilai V_s , yaitu :

$$0.33\sqrt{f'c} b x d : 312282.83 \text{ N}$$

Nilai V_s didapatkan lebih kecil dari $0.33\sqrt{f'c} b x d$ sehingga spasi maksimum tidak boleh melebihi dari nilai terendah batasan yang telah diatur pada SNI 2847:2019.

$$S \text{ Min } 1 : d/2 = 213.75 \text{ mm (Dipilih)}$$

$$S \text{ Min } 2 : 600 \text{ mm}$$

$$S \text{ pakai} : 200 \text{ mm}$$

Tulangan geser balok anak sesudah komposit yang akan digunakan adalah D13-150 mm.

Rekapitulasi perhitungan tulangan balok dengan berbagai bentang dapat dilihat pada tabel 4.1.

Tabel 4.1 Rekapitulasi Perhitungan Penulangan Balok

| Jenis Balok | M Tumpuan | | M Lapangan | | Geser |
|--------------|-----------|---------|------------|---------|---------|
| | Positif | Negatif | Positif | Negatif | |
| Balok Anak 1 | 3D19 | 2D19 | 2D19 | 2D19 | D13-200 |
| Balok Luivel | 2D19 | 2D19 | 2D19 | 2D19 | D13-150 |

4.5 Perencanaan Pelat

- Menentukan dan menghitung beban-beban yang terjadi pada pelat, seperti beban pelat, spesi, lantai, dan beban gravitasi lainnya.
- Menentukan kebutuhan tulangan tumpuan dan lapangan yang masing-masing memiliki serat atas dan bawah pada pelat lantai dan pelat atap. Lalu, dilakukan kontrol regangan pada masing-masing penentuan tulangan longitudinal.

4.5.1 Perencanaan Pelat Lantai

4.5.1.1 Pembebanan Pelat Lantai

- Beban Mati (q_D)

$$\begin{aligned} \text{Berat Pelat} &= 2400 \times 0.15 = 360 \text{ kg/m}^2 \\ \text{Plafon} &= 11 = 11 \text{ kg/m}^2 \\ \text{Penggantung} &= 7 = 7 \text{ kg/m}^2 \\ \text{Ducting} &= 30 = 30 \text{ kg/m}^2 \\ \text{Keramik} &= 24 = 24 \text{ kg/m}^2 \\ \text{Spesi (1 cm)} &= 21 = 21 \text{ kg/m}^2 \\ q_D &= 453 \text{ kg/m} \end{aligned}$$

- Beban Hidup (q_L)

$$q_L = 192 \text{ kg/m}$$

- Kombinasi Beban (q_U)

$$q_U \text{ pakai} = 1,2qD + 1,6qL = 850.80 \text{ kg/m}$$

4.5.1.2 Perhitungan Penulangan Pelat Lantai

- Perhitungan Momen

$$\begin{aligned} q_U \text{ pakai} &= 850.80 \text{ kg/m} \\ L_x &= 3.625 \text{ m} \\ L_y &= 5.550 \text{ m} \\ \beta &= 1.5 \end{aligned}$$

Sehingga, faktor momen pelat untuk 4 sisi terjepit, yaitu :

$$\begin{aligned} \text{Lapangan X} &= 36 \\ \text{Lapangan Y} &= 17 \\ \text{Tumpuan X} &= 76 \\ \text{Tumpuan Y} &= 57 \end{aligned}$$

$$\begin{aligned}
M \text{ Lapangan X} &= 0.001 \times q \times Lx^2 \times X \\
&= 0.001 \times 850.80 \times 3.625^2 \times 36 \\
&= 402.48 \text{ kgm} \\
M \text{ Lapangan Y} &= 0.001 \times q \times Lx^2 \times X \\
&= 0.001 \times 850.80 \times 3.625^2 \times 17 \\
&= 190.06 \text{ kgm} \\
M \text{ Tumpuan X} &= 0.001 \times q \times Lx^2 \times X \\
&= 0.001 \times 850.80 \times 3.625^2 \times 76 \\
&= 849.68 \text{ kgm} \\
M \text{ Tumpuan Y} &= 0.001 \times q \times Lx^2 \times X \\
&= 0.001 \times 850.80 \times 3.625^2 \times 57 \\
&= 637.26 \text{ kgm}
\end{aligned}$$

$$\begin{aligned}
D \text{ Tulangan} &= 13 \text{ mm} \\
Cover &= 20 \text{ mm} \\
\beta_1 &= 0.85 - \left(0.05 \frac{f'c - 28}{7} \right) \\
&= 0.85 - \left(0.05 \frac{40 - 28}{7} \right) \\
&= 0.76 \\
\rho_{\min 1} &= 0.25 \times \frac{\sqrt{f'c}}{420} \\
&= 0.25 \times \frac{\sqrt{40}}{420} \\
&= 0.0038 \\
\rho_{\min 2} &= 1.4 f_y \\
&= 1.4 \times 420 \\
&= 0.0033 \\
m &= \frac{f_y}{0.85 f'c} \\
&= \frac{420}{0.85 \times 40} \\
&= 12.35 \\
d &= t \text{ pelat} - \text{cover} - 0.50 D \text{ tulangan} \\
&= 150 - 20 - 0.50(13) \\
&= 123.50 \text{ mm}
\end{aligned}$$

- Tulangan Lapangan X

$$\begin{aligned}
Mu &= 402.48 \text{ kgm} \\
\phi &= 0.90 \\
R_n &= \frac{Mu}{\phi b d^2} \\
&= \frac{402.48 \times 10^4}{0.90 \times 1000 \times 123.50^2} \\
&= 0.29 \text{ N/mm}^2 \\
\rho \text{ perlu} &= \frac{1}{m} \left(1 - \sqrt{1 - \frac{2 \times m \times R_n}{f_y}} \right) \\
&= \frac{1}{12.35} \left(1 - \sqrt{1 - \frac{2 \times 12.35 \times 0.29}{420}} \right) \\
&= 0.00069
\end{aligned}$$

$$\begin{aligned}
\rho \text{ pakai} &= \rho \text{ min} = 0.0038 \\
As \text{ perlu} &= \rho \text{ pakai} \times b \times d
\end{aligned}$$

$$= 0,0038 \times 1000 \times 123.50 \\ = 464.93 \text{ mm}^2$$

smin 1 = $3h = 450 \text{ mm}$
 smin 2 = 450 mm (Terpilih)
 spakai = $\frac{As \text{ Tulangan} \times b}{As \text{ Perlu}}$
 $= 285.49 \text{ mm}$

Spasi tulangan yang akan digunakan untuk perencanaan pelat lantai lapangan X, yaitu 300 mm – D13.

Kontrol Regangan

$$a = \frac{As \times f_y}{0,85 \times f'c \times b} \\ = \frac{464.93 \times 420}{0,85 \times 40 \times 1000} \\ = 5.74 \text{ mm}$$

$$c = \frac{a}{\beta_1} \\ = \frac{5.74}{0.76} \\ = 7.51 \text{ mm}$$

$$\epsilon_t = 0,003 \frac{d-c}{c} \\ = 0,003 \frac{123.50 - 7.51}{7.51} \\ = 0.046 > 0,005 \text{ (OK)}$$

- Tulangan Lapangan Y

$$\mu = 190.06 \text{ kgm}$$

$$\phi = 0,90$$

$$R_n = \frac{\mu}{\phi b d^2} \\ = \frac{190.06 \times 10^4}{0.90 \times 1000 \times 123.50^2} \\ = 0.14 \text{ N/mm}^2$$

$$\rho_{\text{perlu}} = \frac{1}{m} \left(1 - \sqrt{1 - \frac{2 \times m \times R_n}{f_y}} \right) \\ = \frac{1}{12.35} \left(1 - \sqrt{1 - \frac{2 \times 12.35 \times 0.14}{420}} \right) \\ = 0.00032$$

$$\rho_{\text{pakai}} = \rho_{\text{min}} = 0.0038$$

$$As_{\text{perlu}} = \rho_{\text{pakai}} \times b \times d \\ = 0,0038 \times 1000 \times 123.50 \\ = 464.93 \text{ mm}^2$$

smin 1 = $3h = 450 \text{ mm}$
 smin 2 = 450 mm (Terpilih)
 spakai = $\frac{As \text{ Tulangan} \times b}{As \text{ Perlu}}$
 $= 285.49 \text{ mm}$

Spasi tulangan yang akan digunakan untuk perencanaan pelat lantai lapangan Y, yaitu 300 mm – D13.

Kontrol Regangan

$$\begin{aligned}
 a &= \frac{As \times fy}{0,85 \times f'c \times b} \\
 &= \frac{464,93 \times 420}{0,85 \times 40 \times 1000} \\
 &= 5,74 \text{ mm} \\
 c &= \frac{a}{\beta_1} \\
 &= \frac{5,74}{0,76} \\
 &= 7,51 \text{ mm} \\
 \epsilon_t &= 0,003 \frac{d-c}{c} \\
 &= 0,003 \frac{123,50 - 7,51}{7,51} \\
 &= 0,046 > 0,005 (\text{OK})
 \end{aligned}$$

- Tulangan Tumpuan X

$$\begin{aligned}
 Mu &= 849,68 \text{ kgm} \\
 \phi &= 0,90 \\
 R_n &= \frac{Mu}{\phi b d^2} \\
 &= \frac{849,68 \times 10^4}{0,90 \times 1000 \times 123,50^2} \\
 &= 0,61 \text{ N/mm}^2
 \end{aligned}$$

$$\begin{aligned}
 \rho_{\text{perlu}} &= \frac{1}{m} \left(1 - \sqrt{1 - \frac{2 \times m \times R_n}{f_y}} \right) \\
 &= \frac{1}{12,35} \left(1 - \sqrt{1 - \frac{2 \times 12,35 \times 0,61}{420}} \right) \\
 &= 0,0015
 \end{aligned}$$

$$\begin{aligned}
 \rho_{\text{pakai}} &= \rho_{\text{min}} = 0,0038 \\
 As_{\text{perlu}} &= \rho_{\text{pakai}} \times b \times d \\
 &= 0,0038 \times 1000 \times 123,50 \\
 &= 464,93 \text{ mm}^2
 \end{aligned}$$

$$s_{\text{min}} 1 = 3h = 450 \text{ mm}$$

$$s_{\text{min}} 2 = 450 \text{ mm (Terpilih)}$$

$$\begin{aligned}
 sp_{\text{pakai}} &= \frac{As_{\text{Tulangan}} \times b}{As_{\text{Perlu}}} \\
 &= 285,49 \text{ mm}
 \end{aligned}$$

Spasi tulangan yang akan digunakan untuk perencanaan pelat lantai tumpuan X, yaitu 300 mm – D13.

Kontrol Regangan

$$\begin{aligned}
 a &= \frac{As \times fy}{0,85 \times f'c \times b} \\
 &= \frac{464,93 \times 420}{0,85 \times 40 \times 1000} \\
 &= 5,74 \text{ mm} \\
 c &= \frac{a}{\beta_1} \\
 &= \frac{5,74}{0,76} \\
 &= 7,51 \text{ mm} \\
 \epsilon_t &= 0,003 \frac{d-c}{c}
 \end{aligned}$$

$$= 0,003 \frac{123,50 - 7,51}{7,51} \\ = 0,046 > 0,005 (\text{OK})$$

○ Tulangan Tumpuan Y

$$\text{Mu} = 637,26 \text{ kgm}$$

$$\phi = 0,90$$

$$R_n = \frac{\text{Mu}}{\phi b d^2}$$

$$= \frac{637,26 \times 10^4}{0,90 \times 1000 \times 123,50^2} \\ = 0,46 \text{ N/mm}^2$$

$$\rho_{\text{perlu}} = \frac{1}{m} \left(1 - \sqrt{1 - \frac{2 \times m \times R_n}{f_y}} \right) \\ = \frac{1}{12,35} \left(1 - \sqrt{1 - \frac{2 \times 12,35 \times 0,46}{420}} \right) \\ = 0,0011$$

$$\rho_{\text{pakai}} = \rho_{\text{min}} = 0,0038$$

$$A_s \text{ perlu} = \rho_{\text{pakai}} \times b \times d$$

$$= 0,0038 \times 1000 \times 123,50$$

$$= 464,93 \text{ mm}^2$$

$$s_{\text{min } 1} = 3h = 450 \text{ mm}$$

$$s_{\text{min } 2} = 450 \text{ mm (Terpilih)}$$

$$sp_{\text{pakai}} = \frac{A_s \text{ Tulangan} \times b}{A_s \text{ Perlu}}$$

$$= 285,49 \text{ mm}$$

Spasi tulangan yang akan digunakan untuk perencanaan pelat lantai tumpuan Y, yaitu 300 mm – D13.

Kontrol Regangan

$$a = \frac{A_s \times f_y}{0,85 \times f' c \times b} \\ = \frac{464,93 \times 420}{0,85 \times 40 \times 1000} \\ = 5,74 \text{ mm}$$

$$c = \frac{a}{\beta_1} \\ = \frac{5,74}{0,76} \\ = 7,51 \text{ mm}$$

$$\epsilon_t = 0,003 \frac{d - c}{c} \\ = 0,003 \frac{123,50 - 7,51}{7,51} \\ = 0,046 > 0,005 (\text{OK})$$

Rekapitulasi perhitungan tulangan pelat lantai dengan berbagai bentang dapat dilihat pada tabel 4.2.

Tabel 4.2 Rekapitulasi Perhitungan Penulangan Pelat Lantai

| Jenis Balok | M Tumpuan | | M Lapangan | |
|-----------------|------------|------------|------------|------------|
| | X | Y | X | Y |
| Pelat Lantai S1 | D13-300 mm | D13-300 mm | D13-300 mm | D13-300 mm |
| Pelat Lantai S2 | D13-300 mm | D13-300 mm | D13-300 mm | D13-300 mm |

4.5.2 Perencanaan Pelat Atap

4.5.2.1 Pembebaan Pelat Atap

- Beban Mati (q_D)

$$\begin{aligned} \text{Berat Pelat} &= 2400 \times 0.15 = 360 \text{ kg/m}^2 \\ \text{Plafon} &= 11 = 11 \text{ kg/m}^2 \\ \text{Penggantung} &= 7 = 7 \text{ kg/m}^2 \\ \text{Ducting} &= 30 = 30 \text{ kg/m}^2 \\ \text{Spesi (1 cm)} &= 21 = 21 \text{ kg/m}^2 \\ q_D &= 429 \text{ kg/m} \end{aligned}$$

- Beban Hidup (q_L)

$$q_L = 96 \text{ kg/m}$$

- Kombinasi Beban (q_U)

$$q_U \text{ pakai} = 1,2qD + 1,6qL = 668.40 \text{ kg/m}$$

4.5.2.2 Perhitungan Penulangan Pelat Atap

- Perhitungan Momen

$$\begin{aligned} q_U \text{ pakai} &= 668.40 \text{ kg/m} \\ L_x &= 3.625 \text{ m} \\ L_y &= 5.550 \text{ m} \\ \beta &= 1.5 \end{aligned}$$

Sehingga, faktor momen pelat untuk 4 sisi terjepit, yaitu :

$$\begin{aligned} \text{Lapangan X} &= 36 \\ \text{Lapangan Y} &= 17 \\ \text{Tumpuan X} &= 76 \\ \text{Tumpuan Y} &= 57 \end{aligned}$$

$$\begin{aligned} M \text{ Lapangan X} &= 0.001 \times q \times Lx^2 \times X \\ &= 0.001 \times 668.40 \times 3.625^2 \times 36 \\ &= 316.20 \text{ kgm} \end{aligned}$$

$$\begin{aligned} M \text{ Lapangan Y} &= 0.001 \times q \times Lx^2 \times X \\ &= 0.001 \times 668.40 \times 3.625^2 \times 17 \\ &= 149.31 \text{ kgm} \end{aligned}$$

$$\begin{aligned} M \text{ Tumpuan X} &= 0.001 \times q \times Lx^2 \times X \\ &= 0.001 \times 668.40 \times 76 \\ &= 667.52 \text{ kgm} \end{aligned}$$

$$\begin{aligned} M \text{ Tumpuan Y} &= 0.001 \times q \times Lx^2 \times X \\ &= 0.001 \times 668.40 \times 3.625^2 \times 57 \\ &= 500.64 \text{ kgm} \end{aligned}$$

$$D \text{ Tulangan} = 13 \text{ mm}$$

$$Cover = 20 \text{ mm}$$

$$\begin{aligned} \beta_1 &= 0.85 - \left(0.05 \frac{f'c-28}{7} \right) \\ &= 0.85 - \left(0.05 \frac{40-28}{7} \right) \\ &= 0.76 \end{aligned}$$

$$\begin{aligned}
\rho_{\min 1} &= 0.25 \times \frac{\sqrt{f'c}}{420} \\
&= 0.25 \times \frac{\sqrt{40}}{420} \\
&= 0.0038 \\
\rho_{\min 2} &= 1.4 f_y \\
&= 1.4 \times 420 \\
&= 0.0033 \\
m &= \frac{f_y}{0.85 f'c} \\
&= \frac{420}{0.85 \times 40} \\
&= 12.35 \\
d &= t_{\text{pelat}} - \text{cover} - 0.50 D_{\text{tulangan}} \\
&= 150 - 20 - 0.50(13) \\
&= 123.50 \text{ mm}
\end{aligned}$$

○ Tulangan Lapangan X

$$\begin{aligned}
M_u &= 316.20 \text{ kgm} \\
\phi &= 0.90 \\
R_n &= \frac{M_u}{\phi b d^2} \\
&= \frac{316.20 \times 10^4}{0.90 \times 1000 \times 123.50^2} \\
&= 0.23 \text{ N/mm}^2
\end{aligned}$$

$$\begin{aligned}
\rho_{\text{perlu}} &= \frac{1}{m} \left(1 - \sqrt{1 - \frac{2 \times m \times R_n}{f_y}} \right) \\
&= \frac{1}{12.35} \left(1 - \sqrt{1 - \frac{2 \times 12.35 \times 0.23}{420}} \right) \\
&= 0.00054
\end{aligned}$$

$$\rho_{\text{pakai}} = \rho_{\text{min}} = 0.0038$$

$$\begin{aligned}
A_s_{\text{perlu}} &= \rho_{\text{pakai}} \times b \times d \\
&= 0.0038 \times 1000 \times 123.50 \\
&= 464.93 \text{ mm}^2
\end{aligned}$$

$$s_{\min 1} = 3h = 450 \text{ mm}$$

$$s_{\min 2} = 450 \text{ mm (Terpilih)}$$

$$\begin{aligned}
s_{\text{pakai}} &= \frac{A_s \text{ Tulangan} \times b}{A_s \text{ Perlu}} \\
&= 285.49 \text{ mm}
\end{aligned}$$

Spasi tulangan yang akan digunakan untuk perencanaan pelat atap lapangan X, yaitu 300 mm – D13.

Kontrol Regangan

$$\begin{aligned}
a &= \frac{A_s \times f_y}{0.85 \times f'c \times b} \\
&= \frac{464.93 \times 420}{0.85 \times 40 \times 1000} \\
&= 5.74 \text{ mm}
\end{aligned}$$

$$\begin{aligned}
c &= \frac{a}{\beta_1} \\
&= \frac{5.74}{0.76} \\
&= 7.51 \text{ mm}
\end{aligned}$$

$$\begin{aligned}\epsilon_t &= 0,003 \frac{d-c}{c} \\ &= 0,003 \frac{123,50-7,51}{7,51} \\ &= 0,046 > 0,005 (\text{OK})\end{aligned}$$

- Tulangan Lapangan Y

$$Mu = 149,31 \text{ kgm}$$

$$\phi = 0,90$$

$$\begin{aligned}R_n &= \frac{Mu}{\phi bd^2} \\ &= \frac{149,31 \times 10^4}{0,90 \times 1000 \times 123,50^2} \\ &= 0,11 \text{ N/mm}^2\end{aligned}$$

$$\begin{aligned}\rho_{\text{perlu}} &= \frac{1}{m} \left(1 - \sqrt{1 - \frac{2 \times m \times R_n}{f_y}} \right) \\ &= \frac{1}{12,35} \left(1 - \sqrt{1 - \frac{2 \times 12,35 \times 0,11}{420}} \right) \\ &= 0,00025\end{aligned}$$

$$\rho_{\text{pakai}} = \rho_{\text{min}} = 0,0038$$

$$As_{\text{perlu}} = \rho_{\text{pakai}} \times b \times d$$

$$= 0,0038 \times 1000 \times 123,50$$

$$= 464,93 \text{ mm}^2$$

$$s_{\text{min}} 1 = 3h = 450 \text{ mm}$$

$$s_{\text{min}} 2 = 450 \text{ mm (Terpilih)}$$

$$\begin{aligned}sp_{\text{pakai}} &= \frac{As_{\text{Tulangan}} \times b}{As_{\text{Perlu}}} \\ &= 285,49 \text{ mm}\end{aligned}$$

Spasi tulangan yang akan digunakan untuk perencanaan pelat atap lapangan Y, yaitu 300 mm – D13.

Kontrol Regangan

$$\begin{aligned}a &= \frac{As \times f_y}{0,85 \times f'c \times b} \\ &= \frac{464,93 \times 420}{0,85 \times 40 \times 1000} \\ &= 5,74 \text{ mm}\end{aligned}$$

$$\begin{aligned}c &= \frac{a}{\beta_1} \\ &= \frac{5,74}{0,76} \\ &= 7,51 \text{ mm}\end{aligned}$$

$$\begin{aligned}\epsilon_t &= 0,003 \frac{d-c}{c} \\ &= 0,003 \frac{123,50-7,51}{7,51} \\ &= 0,046 > 0,005 (\text{OK})\end{aligned}$$

- Tulangan Tumpuan X

$$Mu = 667,52 \text{ kgm}$$

$$\phi = 0,90$$

$$\begin{aligned}R_n &= \frac{Mu}{\phi bd^2} \\ &= \frac{667,52 \times 10^4}{0,90 \times 1000 \times 123,50^2}\end{aligned}$$

$$\begin{aligned}
&= 0.48 \text{ N/mm}^2 \\
\rho_{\text{perlu}} &= \frac{1}{m} \left(1 - \sqrt{1 - \frac{2 \times m \times Rn}{f_y}} \right) \\
&= \frac{1}{12.35} \left(1 - \sqrt{1 - \frac{2 \times 12.35 \times 0.48}{420}} \right) \\
&= 0.0011 \\
\rho_{\text{pakai}} &= \rho_{\text{min}} = 0.0038 \\
As_{\text{perlu}} &= \rho_{\text{pakai}} \times b \times d \\
&= 0.0038 \times 1000 \times 123.50 \\
&= 464.93 \text{ mm}^2
\end{aligned}$$

$$\begin{aligned}
s_{\text{min } 1} &= 3h = 450 \text{ mm} \\
s_{\text{min } 2} &= 450 \text{ mm (Terpilih)} \\
sp_{\text{akai}} &= \frac{As_{\text{Tulangan}} \times b}{As_{\text{Perlu}}} \\
&= 285.49 \text{ mm}
\end{aligned}$$

Spasi tulangan yang akan digunakan untuk perencanaan pelat atap tumpuan X, yaitu 300 mm – D13.

Kontrol Regangan

$$\begin{aligned}
a &= \frac{As \times f_y}{0.85 \times f'c \times b} \\
&= \frac{464.93 \times 420}{0.85 \times 40 \times 1000} \\
&= 5.74 \text{ mm} \\
c &= \frac{a}{\beta_1} \\
&= \frac{5.74}{0.76} \\
&= 7.51 \text{ mm} \\
\epsilon_t &= 0.003 \frac{d-c}{c} \\
&= 0.003 \frac{123.50 - 7.51}{7.51} \\
&= 0.046 > 0.005 (\text{OK})
\end{aligned}$$

- Tulangan Tumpuan Y

$$\begin{aligned}
Mu &= 500.64 \text{ kgm} \\
\phi &= 0,90 \\
Rn &= \frac{Mu}{\phi bd^2} \\
&= \frac{500.64 \times 10^4}{0.90 \times 1000 \times 123.50^2} \\
&= 0.36 \text{ N/mm}^2
\end{aligned}$$

$$\begin{aligned}
\rho_{\text{perlu}} &= \frac{1}{m} \left(1 - \sqrt{1 - \frac{2 \times m \times Rn}{f_y}} \right) \\
&= \frac{1}{12.35} \left(1 - \sqrt{1 - \frac{2 \times 12.35 \times 0.36}{420}} \right) \\
&= 0.00086
\end{aligned}$$

$$\begin{aligned}
\rho_{\text{pakai}} &= \rho_{\text{min}} = 0.0038 \\
As_{\text{perlu}} &= \rho_{\text{pakai}} \times b \times d \\
&= 0.0038 \times 1000 \times 123.50 \\
&= 464.93 \text{ mm}^2
\end{aligned}$$

$$\begin{aligned}
 s_{min\ 1} &= 3h = 450\ mm \\
 s_{min\ 2} &= 450\ mm\ (\text{Terpilih}) \\
 spakai &= \frac{As\ Tulangan \times b}{As\ Perlu} \\
 &= 285.49\ mm
 \end{aligned}$$

Spasi tulangan yang akan digunakan untuk perencanaan pelat atap tumpuan Y, yaitu 300 mm – D13.

Kontrol Regangan

$$\begin{aligned}
 a &= \frac{As \times f_y}{0,85 \times f'c \times b} \\
 &= \frac{464.93 \times 420}{0,85 \times 40 \times 1000} \\
 &= 5.74\ mm \\
 c &= \frac{a}{\beta_1} \\
 &= \frac{5.74}{0.76} \\
 &= 7.51\ mm \\
 \epsilon_t &= 0,003 \frac{d-c}{c} \\
 &= 0,003 \frac{123.50 - 7.51}{7.51} \\
 &= 0.046 > 0,005\ (\text{OK})
 \end{aligned}$$

Rekapitulasi perhitungan tulangan pelat atap dengan berbagai bentang dapat dilihat pada tabel 4.3.

Tabel 4.3 Rekapitulasi Perhitungan Penulangan Pelat Atap

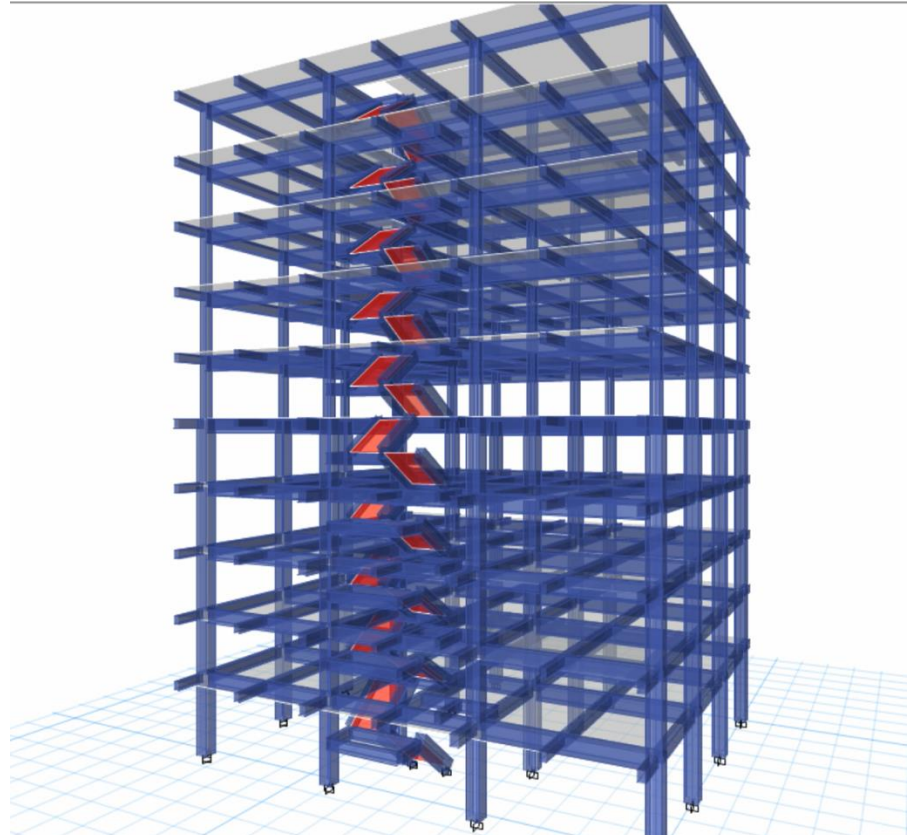
| Jenis Balok | M Tumpuan | | M Lapangan | |
|-----------------|------------|------------|------------|------------|
| | X | Y | X | Y |
| Pelat Lantai S1 | D13-300 mm | D13-300 mm | D13-300 mm | D13-300 mm |
| Pelat Lantai S2 | D13-300 mm | D13-300 mm | D13-300 mm | D13-300 mm |

BAB V

PEMODELAN DAN ANALISA STRUKTUR

5.1 Alur Pemodelan Struktur dan Analisis Struktur

1. Menghitung pembebanan struktur, yaitu beban gravitasi (hidup dan mati) serta beban hujan berdasarkan SNI 1727:2019 dan beban gempa yang mengacu pada SNI 1726:2019.
2. Memodelkan struktur pada ETABS dan menginput semua jenis beban.



Gambar 5.1 Tampak 3D Pemodelan Gedung pada Program ETABS

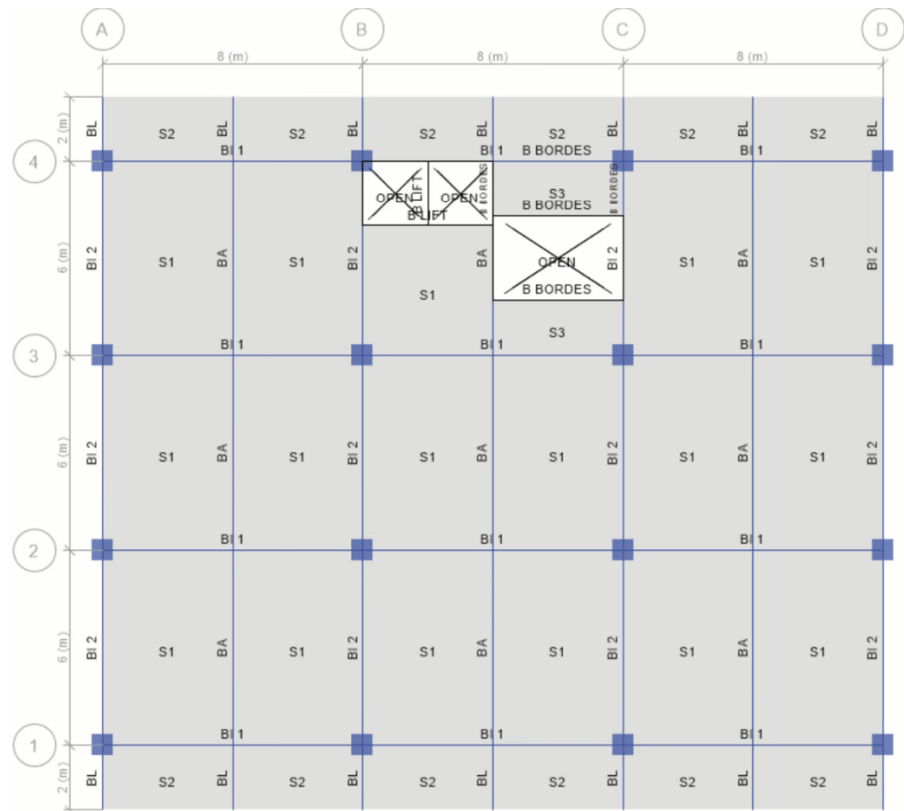
3. Menganalisis dan mengontrol struktur yang telah dimodelkan pada ETABS yang disesuaikan pada persyaratan yang ditetapkan oleh SNI 1726:2019.

5.2 Pembebaan Struktur

5.2.1 Pembebaan Gravitasi

5.2.1.1 Beban Mati

Beban mati struktur pada tugas pengganti kerja praktik ini mengacu berdasarkan PPIUG 1983. Rekapitulasi beban mati struktur dilampirkan perlantai dan dibagi menjadi 3 jenis, yaitu beban mati struktur lantai 1—5 pada tabel 5.1., beban mati struktur lantai 6—10 pada tabel 5.2., dan beban mati atap pada tabel 5.3.



Gambar 5.2 Pemodelan Denah Gedung pada Program ETABS

Tabel 5.1 Rekapitulasi Beban Mati Lantai 1

| No. | Keterangan | Lebar | Tinggi | Panjang | Berat Jenis | Beban | Berat |
|---------------------|-------------------------------|-------|--------|---------|----------------------|----------------------|----------|
| | | (m) | (m) | (m) | (kg/m ³) | (kg/m ²) | (kg) |
| 1 | BI 1 | 0,55 | 0,75 | 96 | 2400 | | 67392 |
| 2 | BI 2 | 0,5 | 0,65 | 72 | 2400 | | 38016 |
| 3 | BA 1 | 0,35 | 0,55 | 54 | 2400 | | 24948 |
| 4 | BL | 0,3 | 0,4 | 6 | 2400 | | 1728 |
| 5 | Balok Lift | 0,35 | 0,55 | 6 | 2400 | | 2772 |
| 6 | Balok Bordes | 0,35 | 0,55 | 8 | 2400 | | 3696 |
| 7 | Plat Lantai + Bordes + Luivel | 0,15 | | 508 | 2400 | | 182880 |
| 8 | Plat Anak Tangga | 0,15 | | 54,49 | 2400 | | 19616,4 |
| 9 | Spesi (1 cm) | | | 508 | | 21 | 10668 |
| 10 | Plafon | | | 508 | | 11 | 5588 |
| 11 | Penggantung | | | 508 | | 7 | 3556 |
| 12 | Ducting dan Plumbing | | | 508 | | 30 | 15240 |
| 13 | K1 | 0,75 | 4,3 | 0,65 | 2400 | | 4360,2 |
| 14 | Dinding | 222 | 4,3 | | | 230 | 219558 |
| 15 | Ubin | | | 508 | | 24 | 12192 |
| Beban Mati Lantai 1 | | | | | | | 612210,6 |

Tabel 5.2 Rekapitulasi Beban Mati Lantai 2—5

| No. | Keterangan | Lebar | Tinggi | Panjang | Berat Jenis | Beban | Berat |
|-----------------------|----------------------|-------|--------|---------|----------------------|----------------------|----------|
| | | (m) | (m) | (m) | (kg/m ³) | (kg/m ²) | (kg) |
| 1 | BI 1 | 0,55 | 0,75 | 96 | 2400 | | 67392 |
| 2 | BI 2 | 0,5 | 0,65 | 72 | 2400 | | 38016 |
| 3 | BA 1 | 0,35 | 0,55 | 54 | 2400 | | 24948 |
| 4 | BL | 0,3 | 0,4 | 16 | 2400 | | 4608 |
| 5 | Balok Lift | 0,35 | 0,55 | 6 | 2400 | | |
| 6 | Balok Bordes | 0,35 | 0,55 | 8 | 2400 | | |
| 7 | Plat Lantai + Bordes | 0,15 | | 508 | 2400 | | 182880 |
| 8 | Plat Anak Tangga | 0,15 | | 46,89 | 2400 | | |
| 9 | Spesi (1 cm) | | | 508 | | 21 | 10668 |
| 10 | Plafon | | | 508 | | 11 | 5588 |
| 11 | Penggantung | | | 508 | | 7 | 3556 |
| 12 | Ducting dan Plumbing | | | 508 | | 30 | 15240 |
| 13 | K1 | 0,75 | 3,3 | 0,65 | 2400 | | 3346,2 |
| 14 | Dinding | 222 | 3,3 | | | 230 | 168498 |
| 15 | Ubin | | | 508 | | 24 | 12192 |
| Beban Mati Lantai 2-5 | | | | | | | 536932,2 |

Tabel 5.3 Rekapitulasi Beban Mati Lantai 6—9

| No. | Keterangan | Lebar | Tinggi | Panjang | Berat Jenis | Beban | Berat |
|-----------------------|----------------------|-------|--------|---------|----------------------|----------------------|----------|
| | | (m) | (m) | (m) | (kg/m ³) | (kg/m ²) | (kg) |
| 1 | BI 1 | 0,55 | 0,75 | 96 | 2400 | | 67392 |
| 2 | BI 2 | 0,5 | 0,65 | 72 | 2400 | | 38016 |
| 3 | BA 1 | 0,35 | 0,55 | 54 | 2400 | | 24948 |
| 4 | BL | 0,3 | 0,4 | 16 | 2400 | | 4608 |
| 5 | Balok Lift | 0,35 | 0,55 | 6 | 2400 | | 2772 |
| 6 | Balok Bordes | 0,35 | 0,55 | 8 | 2400 | | 3696 |
| 7 | Plat Lantai + Bordes | 0,15 | | 508 | 2400 | | 182880 |
| 8 | Plat Anak Tangga | 0,15 | | 46,89 | 2400 | | 16880,4 |
| 9 | Spesi (1 cm) | | | 508 | | 21 | 10668 |
| 10 | Plafon | | | 508 | | 11 | 5588 |
| 11 | Penggantung | | | 508 | | 7 | 3556 |
| 12 | Ducting dan Plumbing | | | 508 | | 30 | 15240 |
| 13 | K2 | 0,55 | 3,3 | 0,45 | 2400 | | 1603,8 |
| 14 | Dinding | 222 | 3,3 | | | 230 | 168498 |
| 15 | Ubin | | | 508 | | 24 | 12192 |
| Beban Mati Lantai 6-9 | | | | | | | 558538,2 |

Tabel 5.4 Rekapitulasi Beban Mati Lantai Atap

| No. | Keterangan | Lebar | Tinggi | Panjang | Berat Jenis | Beban | Berat |
|-----------------|----------------------|-------|--------|---------|----------------------|----------------------|----------|
| | | (m) | (m) | (m) | (kg/m ³) | (kg/m ²) | (kg) |
| 1 | BI 1 | 0,55 | 0,75 | 96 | 2400 | | 67392 |
| 2 | BI 2 | 0,5 | 0,65 | 72 | 2400 | | 38016 |
| 3 | BA 1 | 0,35 | 0,55 | 54 | 2400 | | 24948 |
| 4 | BL | 0,3 | 0,4 | 16 | 2400 | | 4608 |
| 5 | Balok Lift | 0,35 | 0,55 | 6 | 2400 | | 2772 |
| 6 | Balok Bordes | 0,35 | 0,55 | 8 | 2400 | | 3696 |
| 7 | Plat Lantai + Bordes | 0,15 | | 508 | 2400 | | 182880 |
| 8 | Plat Anak Tangga | 0,15 | | 46,89 | 2400 | | 16880,4 |
| 9 | Spesi (1 cm) | | | 508 | | 21 | 10668 |
| 10 | Plafon | | | 508 | | 11 | 5588 |
| 11 | Penggantung | | | 508 | | 7 | 3556 |
| 12 | Ducting dan Plumbing | | | 508 | | 30 | 15240 |
| 13 | K2 | 0,55 | 3,3 | 0,45 | 2400 | | 1603,8 |
| 14 | Dinding | 222 | 3,3 | | | 230 | 168498 |
| Beban Mati Atap | | | | | | | 546346,2 |

5.2.1.2 Beban Hidup

Beban hidup struktur pada tugas pengganti kerja praktik ini mengacu berdasarkan SNI 1727:2019. Rekapitulasi beban hidup struktur dilampirkan menjadi 2 jenis, yaitu beban hidup struktur lantai 1—10 pada tabel 5.4. dan beban hidup atap pada tabel 5.5.

Tabel 5.5 Rekapitulasi Beban Hidup Bangunan

| No. | Keterangan | Luas (m) | Beban (kg/m ²) | Berat (kg) |
|----------------------|----------------------------------|----------|----------------------------|------------|
| 1 | Lantai 1—9 | 508 | 192 | 97536 |
| 2 | Lantai Atap | 508 | 96 | 48768 |
| 3 | Tangga + Pegangan (Lantai Dasar) | 54,49 | 529 | 28825,21 |
| 4 | Tangga + Pegangan (Lantai 2-10) | 46,89 | 529 | 24804,81 |
| Beban Hidup Bangunan | | | | 146304 |

5.2.2 Beban Hujan

Beban hujan struktur akan direncanakan berdasarkan SNI 1727:2019 pasal 8.3. tentang beban desain hujan. Pada tugas akhir ini diasumsikan nilai tinggi air d_s dan d_h sebesar 50 mm.

$$R = 0,0098 (d_s + d_h) = 0,0098 (50 + 50)$$

$$R = 0,99 \text{ kN/m}^2 \approx 10 \text{ kg/m}^2$$

5.2.3 Beban Gempa

Beban gempa yang akan digunakan dalam perhitungan tugas pengganti kerja praktik ini mengacu berdasarkan SNI 1726:2019 tentang Tata Cara Perencanaan Ketahanan Gempa untuk Struktur Bangunan Gedung dan Nongedung.

5.2.3.1 Faktor Keutamaan Gempa

Faktor keutamaan gempa dipilih berdasarkan jenis dan fungsi gedung yang akan direncanakan. Pada tugas pengganti kerja praktik ini, gedung yang direncanakan adalah gedung pertokoan. Sesuai dengan SNI 1726:2019 Tabel 4, gedung pertokoan dikategorikan pada kategori risiko II dengan nilai faktor keutamaan gempa (I_e) sebesar 1.

5.2.3.2 Kelas Situs

Penentuan kelas situs didapatkan berdasarkan hasil pencarian melalui website resmi Dinas Penanaman Modal dan Pelayanan Terpadu Satu Pintu Surabaya yang menyebutkan sebagian besar tanah Kota Surabaya adalah tanah aluvial atau tanah lempung. Tanah lempung dikategorikan pada golongan kelas situs SE.

5.2.3.3 Parameter Respons Spektral

Data respons spektral didapatkan dari langkah-langkah perhitungan yang disesuaikan berdasarkan SNI 1726:2019. Pada tugas pengganti kerja praktik ini, gedung yang direncanakan berada di wilayah Surabaya, Jawa Timur. Berdasarkan lokasi gedung, nilai S_s yang ditentukan sesuai SNI 1726:2019 Gambar 15, didapatkan sebesar 0,750, sedangkan nilai S_1 yang ditentukan berdasarkan SNI 1726:2019 Gambar 16, diperoleh sebesar 0,350. Rekapitulasi data respons spektral disajikan pada Tabel 5.6.

| Kelas situs | Parameter respons spektral percepatan gempa maksimum yang dipertimbangkan risiko-tertarget (MCE _R) terpetakan pada periode 1 detik, S_1 | | | | | |
|-------------|---|-------------|--------------|-------------|--------------|----------------|
| | $S_1 \leq 0,1$ | $S_1 = 0,2$ | $S_1 = 0,3$ | $S_1 = 0,4$ | $S_1 = 0,5$ | $S_1 \geq 0,6$ |
| SE | 4,2 | 3,3 | 2,8 | 2,4 | 2,2 | 2,0 |
| Kelas situs | Parameter respons spektral percepatan gempa maksimum yang dipertimbangkan risiko-tertarget (MCE _R) terpetakan pada periode pendek, $T = 0,2$ detik, S_s | | | | | |
| | $S_s \leq 0,25$ | $S_s = 0,5$ | $S_s = 0,75$ | $S_s = 1,0$ | $S_s = 1,25$ | $S_s \geq 1,5$ |
| SE | 2,4 | 1,7 | 1,3 | 1,1 | 0,9 | 0,8 |

Gambar 5.3 Tabel Koefisien F_a dan F_v

Sumber: SNI 1729 Tabel 7 dan Tabel 8

Tabel 5.6 Data Respons Spektral

| Variabel | Nilai | Variabel | Nilai |
|----------|-----------------------------------|----------|--|
| S_s | = 0,75 | S_{M1} | = $F_v S_1 = (2,6)(0,35) = 0,910$ |
| S_1 | = 0,35 | S_{DS} | = $\frac{2}{3} S_{MS} = \frac{2}{3}(0,975) = 0,650$ |
| F_a | = 1,3 | S_{D1} | = $\frac{2}{3} S_{MS} = \frac{2}{3}(0,975) = 0,606$ |
| F_v | = 2,6 | T_0 | = $0,2 \frac{S_{D1}}{S_{DS}} = 0,2 \frac{0,606}{0,65} = 0,186$ |
| S_{MS} | = $F_a S_s = (1,3)(0,75) = 0,975$ | T_s | = $\frac{S_{D1}}{S_{DS}} = \frac{0,606}{0,65} = 0,933$ |

5.2.3.4 Parameter Struktur

Nilai parameter struktur untuk rangka beton bertulang dengan sistem rangka pemikul momen khusus maka didapatkan nilai parameter struktur yaitu:

| Sistem pemikul gaya seismik | Koefisien modifikasi respons, R^a | Faktor kuat lebih sistem, Ω_0^b | Faktor pembesaran defleksi, C_d^c | Batasan sistem struktur dan batasan tinggi struktur, h_n (m) ^d | | | | |
|---|-------------------------------------|--|-------------------------------------|---|----|-----------------|-----------------|-----------------|
| | | | | Kategori desain seismik | | | | |
| | | | | B | C | D ^e | E ^e | F ^f |
| C. Sistem rangka pemikul momen | | | | | | | | |
| 1. Rangka baja pemikul momen khusus | 8 | 3 | 5½ | TB | TB | TB | TB | TB |
| 2. Rangka batang baja pemikul momen khusus | 7 | 3 | 5½ | TB | TB | 48 | 30 | TI |
| 3. Rangka baja pemikul momen menengah | 4½ | 3 | 4 | TB | TB | 10 ^k | TI ^k | TI ^k |
| 4. Rangka baja pemikul momen biasa | 3½ | 3 | 3 | TB | TB | TI' | TI' | TI' |
| 5. Rangka beton bertulang pemikul momen khusus ^m | 8 | 3 | 5½ | TB | TB | TB | TB | TB |

Gambar 5.4 Tabel Koefisien dan Faktor Sistem Pemikul Gaya Seismik

Sumber: SNI 1729 Tabel 12

5.2.3.5 Kategori Desain Seismik

Pada tugas pengganti kerja praktik ini, gedung apartemen yang direncanakan termasuk pada kategori risiko bangunan IV dengan nilai $S_{DS} \geq 0.5$ dan $S_{D1} \geq 0.2$ sehingga kategori desain seismik gedung ini, yaitu kategori D.

| Nilai S_{DS} | Kategori risiko | |
|--------------------|--------------------|----|
| | I atau II atau III | IV |
| $0,50 \leq S_{DS}$ | D | D |

| Nilai S_{D1} | Kategori risiko | |
|--------------------|--------------------|----|
| | I atau II atau III | IV |
| $0,20 \leq S_{D1}$ | D | D |

Gambar 5.5 Tabel Kategori Desain Seismik berdasarkan S_{DS} dan S_{D1}

Sumber: SNI 1729 Tabel 8 dan Tabel 9

5.2.3.6 Respon Spektrum Desain

Respon spektrum desain dihitung berdasarkan ketentuan SNI 1726:2019 Pasal 6.4. Rekapitulasi hasil perhitungan respon spektrum desain setiap periode tertera pada Tabel 5.7. Nilai respon spektrum yang telah didapatkan harus dikalikan dengan *scale factor* yang besarnya:

$$SF = g \frac{I_e}{R} = \frac{9,81(1)}{8} = 1,23$$

Dimana:

g = Percepatan gravitasi (9,81 m/s)

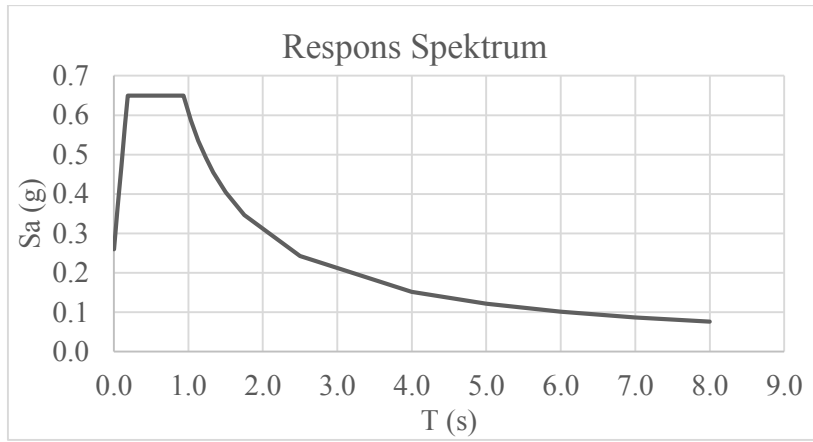
I_e = Faktor Keutamaan Gempa berdasarkan kategori resiko gempa

R = Koefisien modifikasi respon

Tabel 5.7 Respon Spektrum Desain

| Variabel | T | Sa | Variabel | T | Sa |
|-----------------------|-------|-------|-----------|-------|-------|
| $T < T_0$ | 0.000 | 0.260 | $T > T_s$ | 1.333 | 0.455 |
| $T < T_0$ | 0.050 | 0.364 | $T > T_s$ | 1.500 | 0.404 |
| $T < T_0$ | 0.100 | 0.469 | $T > T_s$ | 1.750 | 0.347 |
| $T < T_0$ | 0.150 | 0.573 | $T > T_s$ | 2.500 | 0.243 |
| T_0 | 0.187 | 0.650 | $T > T_s$ | 4.000 | 0.152 |
| $T_0 \geq T \geq T_0$ | 0.287 | 0.650 | $T > T_s$ | 5.000 | 0.121 |
| T_s | 0.933 | 0.650 | $T > T_s$ | 6.000 | 0.101 |
| $T > T_s$ | 1.033 | 0.587 | $T > T_s$ | 7.000 | 0.087 |
| $T > T_s$ | 1.133 | 0.535 | $T > T_s$ | 8.000 | 0.076 |

Berdasarkan perhitungan respons spektrum desain setiap periode yang tertera pada tabel 5.7., grafik respon spektrum desain yang dihasilkan yaitu ditunjukkan sesuai pada gambar 5.1.



Gambar 5.6 Grafik Respon Spektrum Desain

5.2.3.7 Arah Pembebaan

Beban gempa pada permodelan struktur tugas pengganti kerja praktik ini direncanakan dengan asumsi pada masing-masing arah sumbu X dan arah sumbu Y yang memiliki persentase 100% pengaruh untuk arah sumbu utama dan 30% pengaruh untuk sumbu yang memiliki arah tegak lurus terhadap arah sumbu utama.

5.2.3.8 Berat Total Bangunan

Berat dari beban bangunan merupakan total dari beban mati yang terdiri dari berat sendiri material-material konstruksi dan elemen-elemen struktur, serta beban hidup berasal dari penggunaan fungsi bangunan. Berat bangunan tersaji dalam Tabel 5.x.

Tabel 5.8 Berat Bangunan Hasil Program ETABS

| TABLE: Base Reactions | | | |
|-----------------------|-------------|----------|------------|
| OutputCase | CaseType | GlobalFY | GlobalFZ |
| | | kgf | kgf |
| Beban Mati | Combination | 0 | 3647628,89 |
| Beban Mati Tambahan | Combination | 0 | 2245358,89 |
| Beban Hidup | Combination | 0 | 1020715,99 |

Tabel 5.9 Berat Bangunan Perhitungan Manual

| Lantai | Berat (kg) | | |
|--------|----------------------------|-------------|-----------|
| | Beban Mati + Mati Tambahan | Beban Hidup | Total |
| 1 | 612210,6 | 126361,21 | 738571,81 |
| 2 | 536932,2 | 122340,81 | 659273,01 |
| 3 | 536932,2 | 122340,81 | 659273,01 |
| 4 | 536932,2 | 122340,81 | 659273,01 |
| 5 | 536932,2 | 122340,81 | 659273,01 |
| 6 | 558538,2 | 122340,81 | 680879,01 |
| 7 | 558538,2 | 122340,81 | 680879,01 |
| 8 | 558538,2 | 122340,81 | 680879,01 |
| 9 | 558538,2 | 122340,81 | 680879,01 |
| Atap | 546346,2 | 73572,81 | 619919,01 |
| Jumlah | | | 6719098,9 |

Dari hasil analisa ETABS didapatkan total berat bangunan sebesar:

- $W_{mati} + W_{mati\ tambahan} + W_{hidup}$
 $3647628 + 2245358 + 1020715 = 6913703,7\ kg$

Dengan maksimal selisih 5% dari hasil perhitungan manual dibandingkan dengan perhitungan ETABS, sebagai berikut:

Selisih perhitungan antara manual dan ETABS:

- $\Delta_w = W_{total\ manual} - W_{total\ ETABS}$
 $\Delta_w = 6719098,9 - 6913703,77 = 194604,87\ kg$
- $\Delta = \frac{\Delta_w}{W_{total\ manual}} \times 100\%$
 $\Delta = \frac{194604,872}{6719098,9} \times 100\%$
- $\Delta = 2,896\% \leq \Delta_{kontrol} = 5\% \rightarrow OK$

Maka pemodelan bangunan dianggap mendekati bangunan aslinya.

5.2.3.9 Kombinasi Pembebanan

Setelah memperhitungkan beban akibat gempa dan gravitasi, maka seluruh beban tersebut dihitung dengan faktor kombinasi yang mengacu pada SNI-1726-2019 sebagai berikut:

$$S_{DS} = 0,65g$$

$$\rho = 1$$

$$(1,2 + 0,2S_{DS})D = 1,33D$$

$$(0,9 - 0,2S_{DS})D = 0,77D$$

1. $1,4 D$
2. $1,2 D + 1,6 L + 0,5 (L_r \text{ atau } R)$
3. $1,2 D + 1,6 (L_r \text{ atau } R) + (1,0 L \text{ atau } 0,5 W)$
4. $1,33 D + 1,0 L \pm 1,0 EQ_x \pm 0,3 EQ_y$
5. $1,33 D + 1,0 L \pm 0,3 EQ_x \pm 1,0 EQ_y$
6. $0,77 D \pm 1,0 EQ_x \pm 0,3 EQ_y$
7. $0,77 D \pm 0,3 EQ_x \pm 1,0 EQ_y$

Keterangan:

D = Beban mati

L = Beban hidup

EQ_x = Beban gempa yang dinyatakan dalam arah x

EQ_y = Beban gempa yang dinyatakan dalam arah y

W = Beban angin

L_r = Beban hidup atap

R = Beban hidup hujan

5.3 Kontrol Desain

Setelah dilakukan pemodelan struktur 3 dimensi dengan program bantu ETABS, hasil analisis struktur harus dikontrol terhadap suatu batasan-batasan tertentu sesuai dengan peraturan SNI 1726:2019 untuk menentukan kelayakan sistem struktur tersebut. Adapun hal-hal yang harus dikontrol adalah sebagai berikut:

- Kontrol partisipasi massa
- Kontrol waktu getar alami fundamental
- Kontrol nilai akhir respon spektrum
- Kontrol batas simpangan (*drift*)

Dari analisis tersebut juga diambil gaya dalam yang terjadi pada masing-masing elemen struktur untuk dilakukan pengecekan kapasitas penampang.

5.3.1 Kontrol Partisipasi Massa

Perhitungan respon dinamik struktur harus sedemikian agar partisipasi massa terkombinasi paling sedikit sebesar 90% dari massa asli dari masing-masing arah. Karenanya digunakan bantuan program ETABS untuk mengeluarkan partisipasi massa seperti Gambar 5.7 berikut ini

| Case | Mode | Period sec | Sum UX | Sum UY |
|-------|------|------------|--------|--------|
| Modal | 1 | 1.795 | 0 | 0.8308 |
| Modal | 2 | 1.701 | 0.8273 | 0.8308 |
| Modal | 3 | 0.685 | 0.8273 | 0.9588 |
| Modal | 4 | 0.656 | 0.9586 | 0.9588 |
| Modal | 5 | 0.394 | 0.9586 | 0.9804 |
| Modal | 6 | 0.379 | 0.9799 | 0.9804 |
| Modal | 7 | 0.288 | 0.9799 | 0.9932 |
| Modal | 8 | 0.275 | 0.9929 | 0.9932 |
| Modal | 9 | 0.223 | 0.9929 | 0.9974 |
| Modal | 10 | 0.215 | 0.9973 | 0.9974 |
| Modal | 11 | 0.16 | 0.9973 | 1 |
| Modal | 12 | 0.153 | 1 | 1 |

Gambar 5.7 Tabel Output ETABS Rasio Partisipasi Massa

Dari Gambar di atas didapat partisipasi massa untuk arah X sebesar 95,86% pada modal ke 4 dan partisipasi massa arah Y sebesar 95,88% pada modal ke 3. Maka dapat disimpulkan analisis struktur yang sudah dilakukan telah memenuhi syarat yang terdapat pada SNI-1726-2019 pasal 7.9.1.

| | Case | Item Type | Item | Static % | Dynamic % |
|---|-------|--------------|------|----------|-----------|
| | Modal | Acceleration | UX | 100 | 100 |
| | Modal | Acceleration | UY | 100 | 100 |
| ▶ | Modal | Acceleration | UZ | 0 | 0 |

Gambar 5.8 Tabel Output ETABS Prosentase Partisipasi Beban Gempa Statik dan Dinamik

5.3.2 Kontrol Waktu Getar Alami

Untuk mencegah penggunaan struktur gedung yang terlalu fleksibel, nilai waktu getar alami fundamental (T) dari struktur gedung harus dibatasi. Berdasarkan SNI-1726-2019, periode fundamental struktur harus ditentukan dari $T_a = C_t h_n$. Nilai T_a adalah batas bawah periode struktur yang ditinjau. Untuk batas atasnya dikalikan dengan koefisien batas. Besarnya koefisien tersebut tergantung dari nilai S_{D1} .

| Tipe struktur | C_t | x |
|--|--------|-----|
| Sistem rangka pemikul momen di mana rangka memikul 100 % gaya seismik yang disyaratkan dan tidak dilingkupi atau dihubungkan dengan komponen yang lebih kaku dan akan mencegah rangka dari defleksi jika dikenai gaya seismik: | | |
| • Rangka baja pemikul momen | 0,0724 | 0,8 |
| • Rangka beton pemikul momen | 0,0466 | 0,9 |

Gambar 5.9 Nilai parameter periode pendekatan C_t dan x

Sumber: SNI 1729 Tabel 18

- Menghitung Periode Fundamental Perkiraan :

$$h_n = 34 \text{ m}$$

$$T_a = C_t h_n = 0,0466 \times 34^{0,9} = 1,113 \text{ s}$$

$$C_u = 1,4$$

(Tabel 14 SNI-1726-2019)

- Menghitung Batas Atas Periode Struktur

$$C_u T_a = 1,4 \times 1,113 = 1,559 \text{ s}$$

Menurut SNI 1726:2019 pasal 7.9.4.1, Periode fundamental struktur (T) yang digunakan:

- Jika $T_c > C_u T_a$ maka digunakan $T_c = C_u T_a$
- Jika $T_a < C_u < C_u T_a$ maka digunakan $T = T_c$
- Jika $T_c < T_a$ maka digunakan $T = T_a$

Dari hasil analisa program bantu ETABS maka didapat $T_c = 1,795 \text{ s}$, $T_a = 1,113 \text{ s}$, $C_u T_a = 1,559 \text{ s}$ karena $T_c > C_u T_a$ maka periode fundamental struktur yang digunakan adalah $T_c = C_u T_a = 1,559 \text{ s}$

5.3.3 Kontrol Nilai Akhir Respon Spektrum

Menurut SNI 1726:2019 Pasal 7.8.1 nilai akhir respon dinamik struktur gedung dalam arah yang ditetapkan tidak boleh kurang dari 85% nilai respon statik.

- $C_s = \frac{S_{DS}}{\frac{R}{I_e}}$
- $C_s = \frac{0,65}{8/1} = 0,0813$

Nilai C_s tidak perlu diambil lebih besar dari:

- $C_{s1} = \frac{S_{D1}}{T(\frac{R}{I_e})} = \frac{0,606}{1,559(\frac{8}{1})} = 0,0486$
- $C_{s2} = 0,044 S_{DS} I_e \geq 0,01$
- $C_{s2} = 0,044(0,65)(1) = 0,0286 \geq 0,01 \rightarrow C_{s2} = 0,0286$
- Kontrol:

$$C_s \leq C_{s1} = 0,0813 > 0,0486 \rightarrow \text{digunakan } C_s = 0,0486$$

$$C_s \geq C_{s2} = 0,0813 \geq 0,0286 \rightarrow \text{digunakan } C_s = 0,0813$$

Dari kedua hasil perhitungan diatas, apabila digunakan $C_s = 0,0813$ maka kontrol 1 tidak OK. Sehingga digunakan $C_s = 0,0486 \text{ s}$

5.3.4 Kontrol Akhir Base Reaction

Pada analisis yang sudah dilakukan, didapatkan nilai berat total struktur gedung 6913703,77 kg. Maka:

- $V_{statik} = C_s W$
 $V_{statik} = (0,0486)(6913703,77) = 336006 \text{ kg}$

Pada analisis ETABS didapatkan nilai gaya geser (*base shear*)

| | Load Case/Combo | FX kN | FY kN |
|---|-----------------|------------|------------|
| | Seismic X 1 | -5483.2823 | 0 |
| | Seismic X 2 | -5483.2823 | 0 |
| ► | Seismic X 3 | -5483.2823 | 0 |
| | Seismic Y 1 | 0 | -5483.2823 |
| | Seismic Y 2 | 0 | -5483.2823 |
| | Seismic Y 3 | 0 | -5483.2823 |
| | RSP X Max | 2614.1289 | 1.319E-05 |
| | RSP Y Max | 1.309E-05 | 2500.9241 |

Gambar 5.10 Output ETABS Gaya Geser Dasar Akibat Beban Gempa Sebelum Dikali Faktor

Selanjutnya dilakukan kontrol untuk arah X dan Y:

- Untuk gempa arah X

$$V_{dinamik} \geq 85\% V_{statik}$$

$$2614,13 \geq 85\% (5483,28)$$

$$2614,13 \text{ kN} < 4660,78 \text{ kN} \rightarrow \text{NOT OK}$$

- Untuk gempa arah Y

$$V_{dinamik} \geq 85\% V_{statik}$$

$$2500,92 \geq 85\% (5483,28)$$

$$2500,92 \text{ kN} < 4660,78 \text{ kN} \rightarrow \text{NOT OK}$$

Dari hasil kontrol gempa arah X dan Y masih belum memenuhi syarat nilai akhir respon. Menurut Pasal 11.1.4 SNI 1726:2019 pasal 7.9.4.2 dijelaskan jika gaya geser dasar hasil analisi kurang dari 85%, maka harus diperbesar dengan faktor skala arah X dan Y sebagai berikut:

- Gempa arah X

$$\text{Faktor} = \frac{85\% V_{statik}}{V_{dinamik}} = \frac{4660,78}{2614,13} = 1,84$$

$$U_1 = g \left(\frac{l_e}{R} \right) 1,84 = 9,81 \left(\frac{1}{8} \right) 1,84 = 2,256$$

$$U_2 = 30\% g \left(\frac{l_e}{R} \right) 1,84 = 0,9,81 \left(\frac{1}{8} \right) 1,84 = 0,3 (9,81) \left(\frac{1}{8} \right) 1,84 = 0,677$$

- Gempa arah Y

$$\text{Faktor} = \frac{85\% V_{statik}}{V_{dinamik}} = \frac{4660,78}{2500,92} = 2,38$$

$$U_1 = g \left(\frac{l_e}{R} \right) 2,38 = 9,81 \left(\frac{1}{8} \right) 2,38 = 2,92$$

$$U_2 = 30\% g \left(\frac{l_e}{R} \right) 2,38 = 0,3 (9,81) \left(\frac{1}{8} \right) 2,38 = 0,876$$

Setelah mendapatkan faktor skala, maka dimasukan kembali faktor U1 dan U2 arah X dan Y, lalu di running ulang maka didapatkan gaya seperti pada Gambar 5.7

| | Load Case/Combo | FX kN | FY kN |
|---|-----------------|------------|------------|
| | Seismic X 1 | -5483.2823 | 0 |
| | Seismic X 2 | -5483.2823 | 0 |
| | Seismic X 3 | -5483.2823 | 0 |
| ▶ | Seismic Y 1 | 0 | -5483.2823 |
| | Seismic Y 2 | 0 | -5483.2823 |
| | Seismic Y 3 | 0 | -5483.2823 |
| | RSP X Max | 4660.7896 | 2.351E-05 |
| | RSP Y Max | 2.44E-05 | 4660.7898 |

Gambar 5.11 Output ETABS Gaya Geser Dasar Akibat Beban Gempa Setelah Dikali Faktor

Dilakukan kontrol ulang terhadap gempa arah X dan Y sebagai berikut:

- Untuk gempa arah X
 $V_{dinamik} \geq 85\% V_{statik}$
 $4660,78 \geq 85\% (5483,28)$
 $4660,78 \text{ kN} < 4660,78 \text{ kN} \rightarrow \text{NOT OK}$
- Untuk gempa arah Y
 $V_{dinamik} \geq 85\% V_{statik}$
 $4660,78 \geq 85\% (5483,28)$
 $4660,78 \text{ kN} < 4660,78 \text{ kN} \rightarrow \text{NOT OK}$

Dari hasil kontrol diatas didapatkan bahwa analisis struktur memenuhi syarat SNI 1726:2019 Pasal 7.8.

5.3.5 Kontrol Batas Simpangan Antar Lantai (*Drift*)

Berdasarkan SNI-1726-2019 Pasal 7.8.6 untuk memenuhi persyaratan simpangan digunakan rumus :

$$\delta_x = \frac{C_d \delta_{xe}}{I_e} \leq \Delta_a$$

Dimana :

δ_{xe} = Defleksi pada lantai ke x yang ditentukan dengan analisis elastis

C_d = Faktor pembesaran defleksi

I_e = Faktor keutamaan gedung

Δ_a = Simpangan ijin

| Struktur | Kategori risiko | | |
|------------------------|-----------------|----------------|----------------|
| | I atau II | III | IV |
| Semua struktur lainnya | 0,020 h_{sx} | 0,015 h_{sx} | 0,010 h_{sx} |

Gambar 5.12 Tabel Simpangan Antar Tingkat Ijin

Sumber: SNI 1729 Tabel 20

Besar simpangan ijin lantai tingkat paling bawah:

- $h_{sx} = 4,3 \text{ m}$
- $\Delta_a = 0,020 h_{sx} = 0,020(4,3) = 0,086 \text{ m}$

Besar simpangan ijin lantai tipikal:

- $h_{sx} = 3,3 \text{ m}$

$$- \Delta_a = 0,020 \quad h_{sx} = 0,020(3,3) = 0,066 \text{ m}$$

Contoh perhitungan simpangan akibat gempa arah x pada lantai 10:

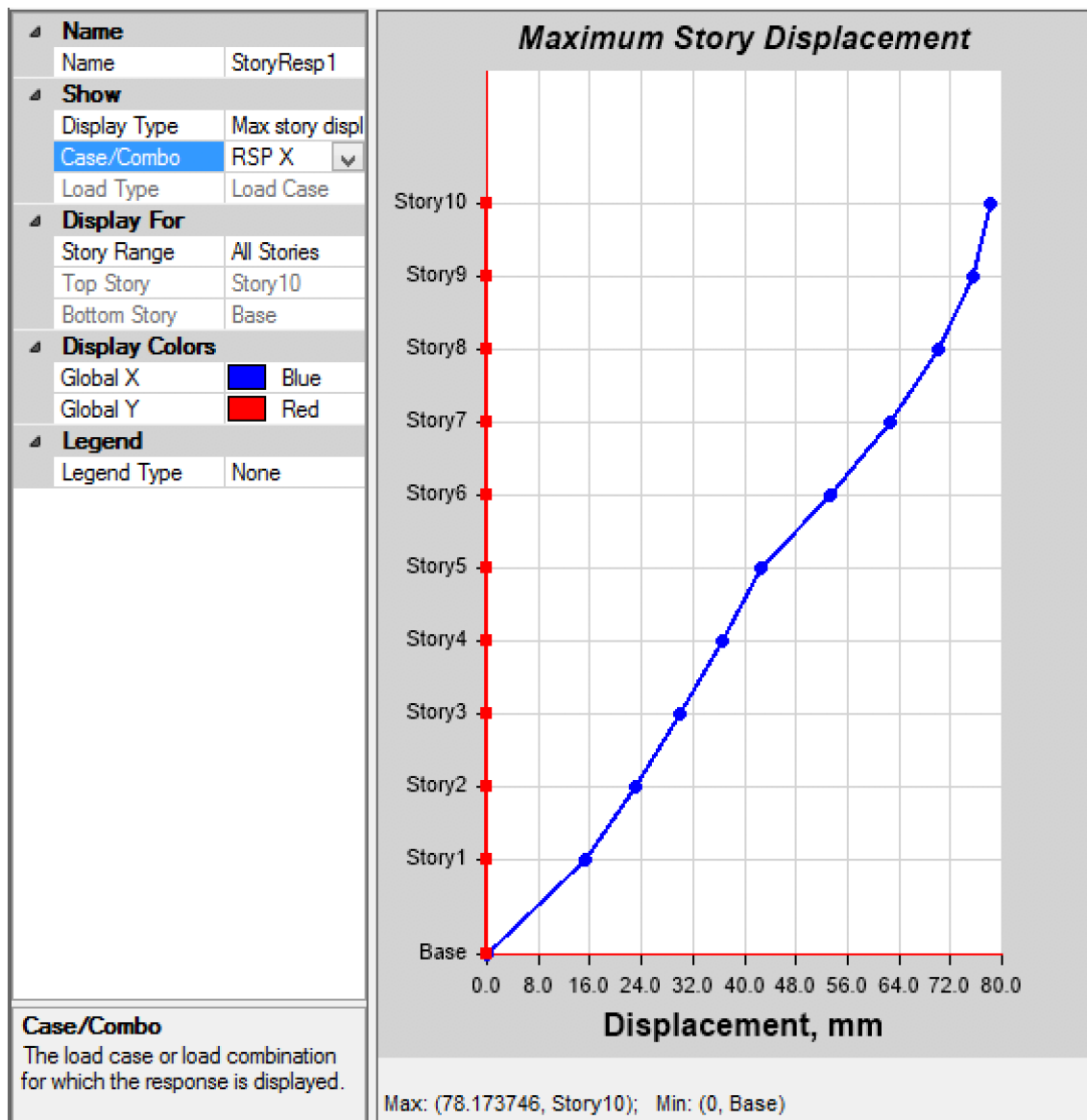
- $C_d = 5,5$
- $I_e = 1,0$
- $\delta_{xe_{atas}} = 0,05277 \text{ m}$
- $\delta_{xe_{bawah}} = 0,0489 \text{ m}$
- $\delta_{x_{atas}} = \frac{C_d \delta_{xe}}{I_e} = \frac{(5,5)(0,05277)}{(1)} = 0,2902 \text{ m}$
- $\delta_{x_{bawah}} = \frac{C_d \delta_{xe}}{I_e} = \frac{(5,5)(0,0489)}{(1)} = 0,2689 \text{ m}$
- $\Delta_a = \delta_{x_{atas}} - \delta_{x_{bawah}} = 0,2902 - 0,2689 = 0,0213 \text{ m}$
- $\Delta = 0,0213 \text{ m} < \Delta_a = 0,066 \text{ m} \rightarrow OK$

Tabel 5.10 Defleksi Tiap Lantai Akibat Beban Gempa Respon Spektrum Arah X

| TABLE: Story Response | | | | | | |
|------------------------------|-----------------------|-----------------|-------------------|--|-------------------|--|
| Story | Elevation m | Location | X-Dir m | | Y-Dir m | |
| Story10 | 34 | Top | 0,0527714 | | 0,006515 | |
| Story9 | 30,7 | Top | 0,0489714 | | 0,005865 | |
| Story8 | 27,4 | Top | 0,0444714 | | 0,005215 | |
| Story7 | 24,1 | Top | 0,0391714 | | 0,004565 | |
| Story6 | 20,8 | Top | 0,0342714 | | 0,003915 | |
| Story5 | 17,5 | Top | 0,0285714 | | 0,003265 | |
| Story4 | 14,2 | Top | 0,0221714 | | 0,002615 | |
| Story3 | 10,9 | Top | 0,0186714 | | 0,001965 | |
| Story2 | 7,6 | Top | 0,0131714 | | 0,001315 | |
| Story1 | 4,3 | Top | 0,0071714 | | 0,000665 | |
| Base | 0 | Top | 0 | | 0 | |

Tabel 5.11 Kontrol Simpangan Antar Lantai Arah X

| Lantai | δ_{xe} | δ_x | Δ_x | h_{sx} | Δ_a | |
|---------------|---------------------------------|------------------------------|------------------------------|----------------------------|------------------------------|----|
| | m | m | m | m | m | m |
| 10 | 0,0452 | 0,226 | 0,018 | 3,3 | 0,066 | OK |
| 9 | 0,0417 | 0,209 | 0,020 | 3,3 | 0,066 | OK |
| 8 | 0,0377 | 0,189 | 0,025 | 3,3 | 0,066 | OK |
| 7 | 0,0327 | 0,164 | 0,023 | 3,3 | 0,066 | OK |
| 6 | 0,0282 | 0,141 | 0,028 | 3,3 | 0,066 | OK |
| 5 | 0,0227 | 0,114 | 0,030 | 3,3 | 0,066 | OK |
| 4 | 0,0167 | 0,084 | 0,015 | 3,3 | 0,066 | OK |
| 3 | 0,0137 | 0,069 | 0,025 | 3,3 | 0,066 | OK |
| 2 | 0,0087 | 0,044 | 0,033 | 3,3 | 0,066 | OK |
| 1 | 0,0022 | 0,011 | 0,011 | 4,3 | 0,086 | OK |



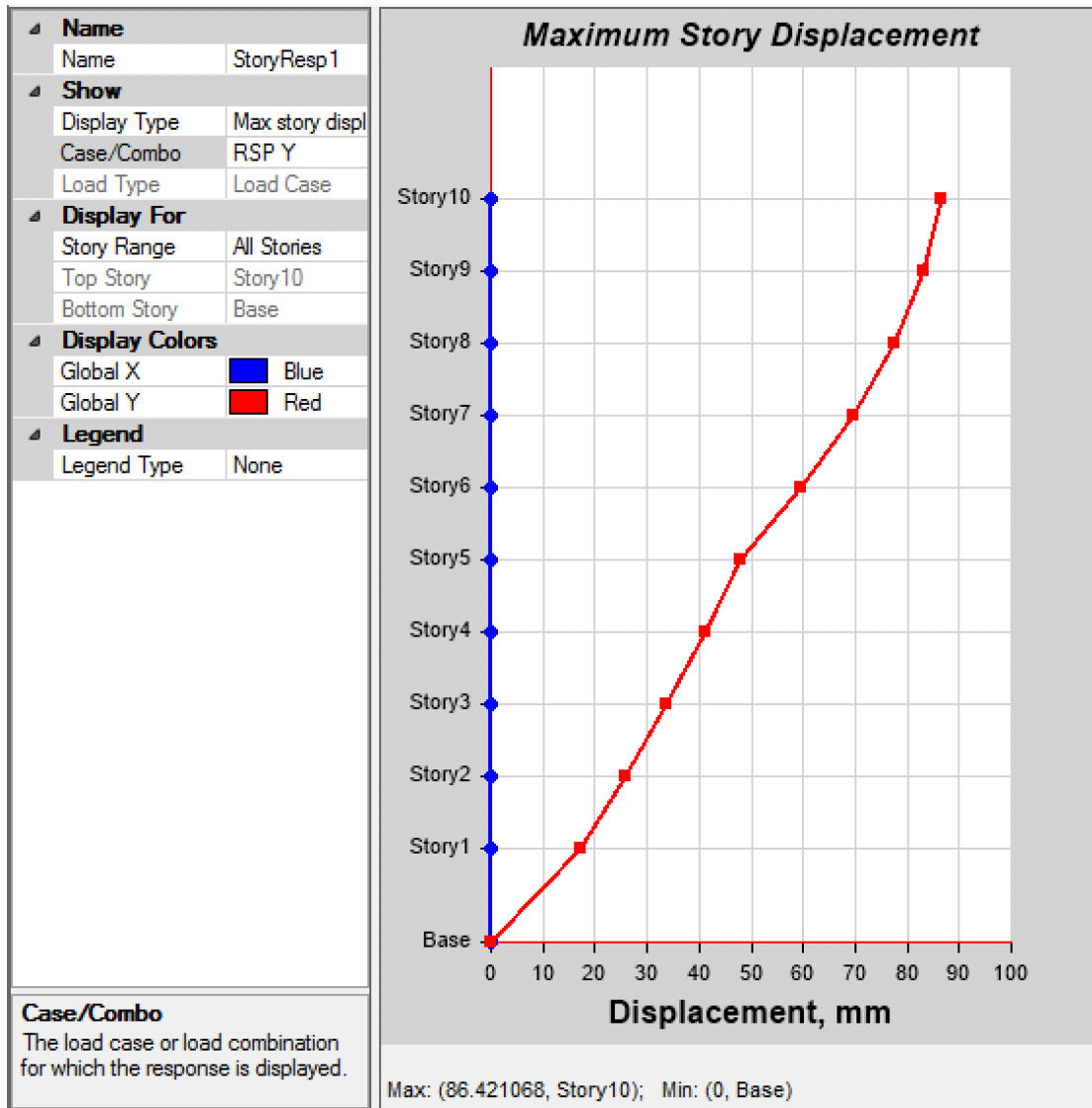
Gambar 5.13 Hasil Output ETABS Kurva Simpangan Akibat Beban Gempa Arah X

Tabel 5.12 Defleksi Tiap Lantai Akibat Beban Gempa Respon Spektrum Arah Y

| TABLE: Story Response Response | | | | |
|--------------------------------|----------------|----------|------------|------------|
| Story | Elevation m | Location | X-Dir m | Y-Dir m |
| Story10 | 34 | Top | 0,0060584 | 0,0452084 |
| Story9 | 30,7 | Top | 0,0054084 | 0,0417084 |
| Story8 | 27,4 | Top | 0,0047584 | 0,0377084 |
| Story7 | 24,1 | Top | 0,0041084 | 0,0327084 |
| Story6 | 20,8 | Top | 0,0034584 | 0,0282084 |
| Story5 | 17,5 | Top | 0,0028084 | 0,0227084 |
| Story4 | 14,2 | Top | 0,0021584 | 0,0167084 |
| Story3 | 10,9 | Top | 0,0015084 | 0,0137084 |
| Story2 | 7,6 | Top | 0,0008584 | 0,0087084 |
| Story1 | 4,3 | Top | 0,0002084 | 0,0022084 |

Tabel 5.13 Kontrol Simpangan Antar Lantai Arah -Y

| Lantai | δ_{xe} | δ_x | Δ_x | h_{sx} | Δ_a | |
|--------|---------------|------------|------------|----------|------------|-----------|
| | m | m | m | m | m | m |
| 10 | 0,0528 | 0,264 | 0,019 | 3,3 | 0,066 | OK |
| 9 | 0,0490 | 0,245 | 0,023 | 3,3 | 0,066 | OK |
| 8 | 0,0445 | 0,222 | 0,027 | 3,3 | 0,066 | OK |
| 7 | 0,0392 | 0,196 | 0,025 | 3,3 | 0,066 | OK |
| 6 | 0,0343 | 0,171 | 0,029 | 3,3 | 0,066 | OK |
| 5 | 0,0286 | 0,143 | 0,032 | 3,3 | 0,066 | OK |
| 4 | 0,0222 | 0,111 | 0,018 | 3,3 | 0,066 | OK |
| 3 | 0,0187 | 0,093 | 0,028 | 3,3 | 0,066 | OK |
| 2 | 0,0132 | 0,066 | 0,030 | 3,3 | 0,066 | OK |
| 1 | 0,0072 | 0,036 | 0,036 | 4,3 | 0,086 | OK |



Gambar 5.14 Hasil Output ETABS Kurva Simpangan Akibat Beban Gempa Arah X

BAB VI

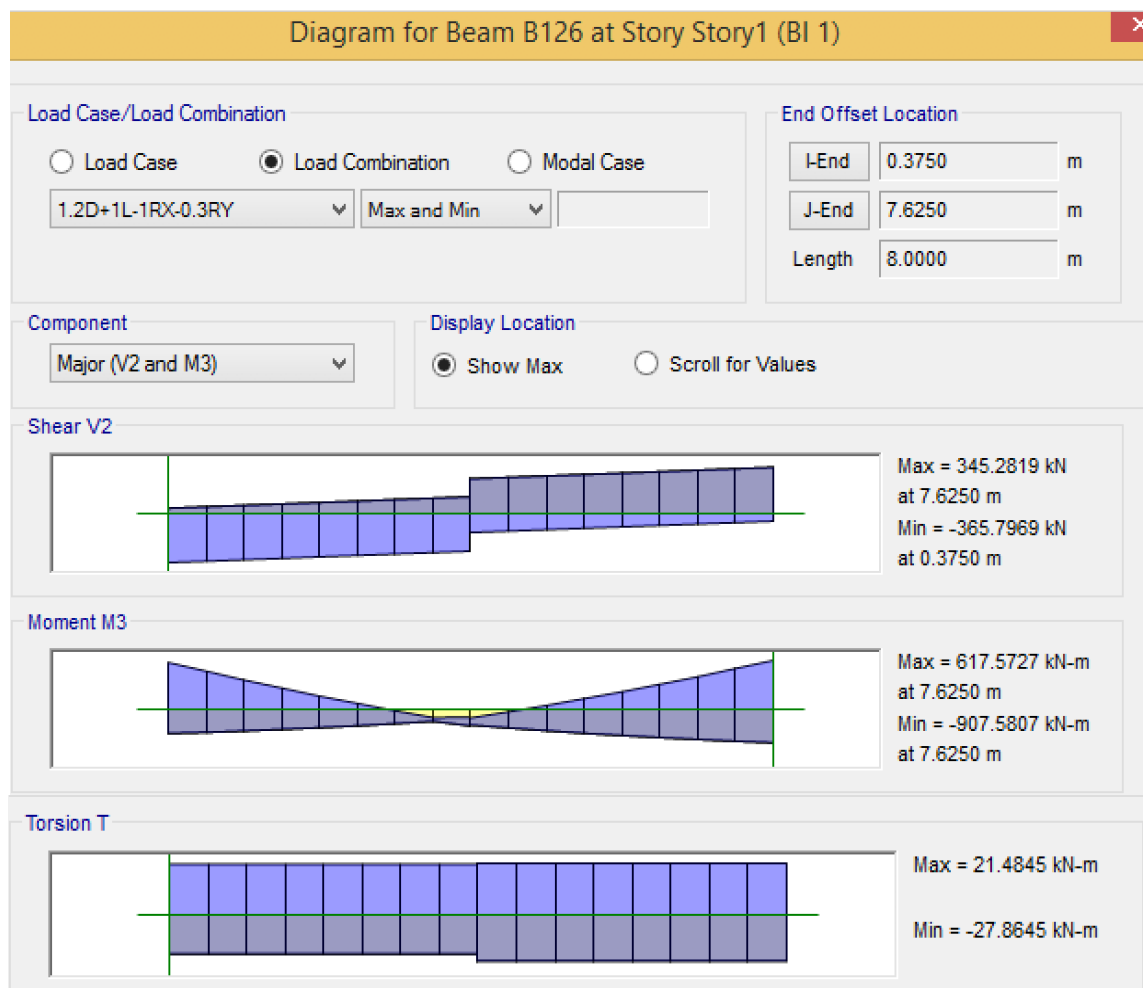
PERENCANAAN STRUKTUR PRIMER

6.1 Balok

6.1.1 Balok BI 1

A. Hasil Program Bantu

Dari ETABS didapatkan momen, tegangan geser dan momen torsi akibat beban terfaktor yaitu:



Gambar 6.1 Diagram Momen, Geser dan Torsi Balok Induk Tipe BI 1

- $M_u^+ = 617,57 \text{ kN.m}$
- $M_u^- = 907,58 \text{ kN.m}$
- $V_u = 365,79 \text{ kN.m}$
- $T_u = 27,864 \text{ kN.m}$

B. Data Perencanaan Balok BI 1:

- $L = 8000 \text{ mm}$
- $b = 550 \text{ mm}$
- $h = 750 \text{ mm}$
- $\text{cover} = 50 \text{ mm}$ (SNI 2847-2019, Tabel 20.6.1.3.1)
- $f'_c = 40 \text{ MPa}$ (SNI 2847-2019, Ps.19.2.2.1)
- $E_c = 4700\sqrt{f'_c}$ (SNI 2847-2019, Ps. 19.2.2.1.b)

$$E_c = 4700\sqrt{40} = 30351,54 \text{ MPa}$$

- $E_s = 200000 \text{ MPa}$
- $\beta_1 = 0,85 - \frac{0,05(f'_c - 28)}{7}$ (SNI 2847-2019, Ps.22.2.2.4.3)
- $$\beta_1 = 0,85 - \frac{0,05(40 - 28)}{7} = 0,76$$
- $\lambda = 1$ (*Beton Normal*) (SNI 2847-2019, Tabel.19.2.4.2)

C. Tulangan Lapangan Perlu

1. Tulangan Lentur Atas :

- $D = 25 \text{ mm}$
- $d = h - \text{cover} - \emptyset - \frac{D}{2} = 650 - 50 - 13 - \frac{25}{2}$
- $d = 574,5 \text{ mm}$
- $A_s = 491,07 \text{ mm}^2$

Mutu Tulangan Longitudinal (BJTS 420) :

- $f_y = 420 \text{ MPa}$
- $f_u = 525 \text{ MPa}$
- $n_{lapis} = 1 \text{ lapis}$
- $n = 2 \text{ buah}$
- $A'_s = 982,142 \text{ mm}^2$

- Cek Luas Tulangan Minimum:

- $$A_{s \min 1} = \frac{0,25 \sqrt{f'_c}}{f_y} b_w d$$
 (SNI 2847-2019, Ps. 9.6.1.2)
- $$A_{s \min 1} = \frac{0,25 \sqrt{35}}{420} (450)(574,5) = 910,39 \text{ mm}^2$$
- $$A_{s \min 2} = \frac{1,4}{f_y} b_w d$$
 (SNI 2847-2019, Ps. 9.6.1.2)
- $$A_{s \min 2} = \frac{1,4}{420} (450)(574,5) = 861,75 \text{ mm}^2$$

Maka dipakai $A_{s \min} = 910,39 \text{ mm}^2$

- $A'_s = 1473,21 \text{ mm}^2 > A_{s \min} = 910,39 \text{ mm}^2 \rightarrow OK$

- Cek Rasio Tulangan Maksimum:

- $\rho_{max} = 0,025$ (SNI 2847-2019, Ps. 18.6.3.1)
- Maka $A_{s maks} = 0,025 b_w d$
- $A_{s maks} = 0,025(450)(574,5) = 6463,125 \text{ mm}^2$
- $A'_s = 1473,21 \text{ mm}^2 < A_{s maks} = 6463,125 \text{ mm}^2 \rightarrow OK$

2. Tulangan Lentur Bawah :

- $D = 25 \text{ mm}$
- $d = h - \text{cover} - \emptyset - \frac{D}{2} = 650 - 50 - 13 - \frac{25}{2}$
- $$d = 574,5 \text{ mm}$$
- $A_s = 491,071 \text{ mm}^2$

Mutu Tulangan Longitudinal (BJTS 420) :

- $f_y = 420 \text{ MPa}$
- $f_u = 525 \text{ MPa}$
- $n_{lapis} = 1 \text{ lapis}$
- $n = 3 \text{ buah}$
- $A'_s = 1473,21 \text{ mm}^2$

- Cek Luas Tulangan Susut dan Suhu Minimum:

- $A_{s \min 3} = \frac{0,0018 \times 420}{f_y} b_w d$ (SNI 2847-2019, Tabel 24.4.3.2)

$$A_{s \min 3} = \frac{0,0018 \times 420}{420} (450)(574,5)$$

$$A_{s \min 3} = 465,345 \text{ mm}^2$$

- $A_{s \min 4} = 0,0014 b_w d$ (SNI 2847-2019, Tabel 24.4.3.2)

$$A_{s \min 4} = 0,0014(450)(574,5) = 361,935$$

Maka dipakai $A_{s \min} = 465,345 \text{ mm}^2$

- $A'_s = 982,142 \text{ mm}^2 > A_{s \min} = 465,345 \text{ mm}^2 \rightarrow OK$

- Cek Rasio Tulangan Maksimum:

- $\rho_{\max} = 0,025$ (SNI 2847-2019, Ps. 18.6.3.1)

Maka $A_{s \max} = 0,025 b_w d$

- $A_{s \max} = 0,025(450)(574,5)$

- $A_{s \max} = 6463,125 \text{ mm}^2$

- $A'_s = 982,142 \text{ mm}^2 < A_{s \max} = 6463,125 \text{ mm}^2 \rightarrow OK$

3. Tulangan Longitudinal Torsi :

- $\theta = 45^\circ$

(SNI 2847-2019, Ps. 22.7.6.1.2)

- $T_u = 4153,12 \text{ kg.m} \approx 423355,76 \text{ N.mm}$

- $T_n = \frac{\phi T_u}{\phi} = \frac{423355,76}{0,8} = 52994,7 \text{ N.mm}$

- $A_g = b h = (450)(650) = 292500 \text{ mm}^2$

- $A_{cp} = A_g = 292500 \text{ mm}^2$

- $A_{oh} = A_{cp} = 292500 \text{ mm}^2$

- $P_{cp} = 2(b + h) = 2(450 + 650) = 2200 \text{ mm}$

- $A_o = 0,85 A_{oh}$

(SNI 2847-2019, Ps. 22.7.6.1.1)

- $A_o = 0,85(292500) = 248625 \text{ mm}^2$

- $p_h = \left(b - 2c - 2 \frac{D}{2} \right) + \left(h - 2c - 2 \frac{D}{2} \right)$

- $p_h = \left(450 - 2(50) - 2 \frac{(25)}{2} \right) + \left(650 - 2(50) - 2 \frac{(25)}{2} \right)$

- $p_h = 170625 \text{ mm}$

- $A_l = \frac{T_n p_h}{2 A_o f_y \cot \theta}$ (SNI 2847-2019, Ps. 22.7.6.1)

- $A_l = \frac{(52994,7)(170625)}{2(248625)(420)\cot(45^\circ)} = 0,216 \text{ mm}^2$

- Kontrol Luas Tulangan Longitudinal Torsi :

$0,01 A_g < A_{sl} < 0,06 A_g$ (SNI 2847-2019, Ps. 18.7.4.2)

$0,01 (292500) < 43,96 < 0,06 (292500)$

$2925 \text{ mm}^2 < 0,216 \text{ mm}^2 < 17550 \text{ mm}^2 \rightarrow$ Tidak butuh tulangan torsi

4. Kebutuhan Tulangan Bawah :

- Kebutuhan Tulangan dicari dengan metode doubly reinforced

- $\phi = 0,9$ Tension Controlled (SNI 2847-2019, Tabel 21.2.1)

- $\epsilon_t \geq 0,005$ (SNI 2847-2019, Tabel 21.2.2)

- $\epsilon_{t \min} \geq 0,004$ (SNI 2847-2019, Ps. 9.3.3.1)

- Cek Asumsi $f'_s = f_y$

- $d = h - \text{cover} - \emptyset - \frac{D}{2} = 650 - 50 - 13 - \frac{25}{2}$

$$d = 574,5 \text{ mm}$$

- $d' = \text{cover} + \emptyset + \frac{D}{2} = 50 + 13 + \frac{25}{2} = 75,5$
- $c = \frac{(A'_s - A_s) f_y}{0,85 f'_c \beta_1 b} = \frac{(1473,21 - 491,07)(420)}{0,85(35)(0,8)(450)} = 19,25 \text{ mm}$
- $a = \beta_1 c = (0,8)(19,25) = 15,4 \text{ mm}$
- $\epsilon_y = \frac{f_y}{E_s} = \frac{420}{200000} = 0,0021$
- $\epsilon'_s = \frac{c-d'}{c} (0,003) = \frac{19,25 - 75,5}{19,25} (0,003) = -0,00876 00$

Karena $\epsilon'_s = -0,00876 < \epsilon_y = 0,0021$ maka $f'_s \neq f_y$

- Cek Asumsi $\phi = 0,9$

- $A'_s f_y = 0,85 f'_c \beta_1 c b + A_s \left(\frac{c-d}{c} \right) 0,003 E_s$
 $(1473,21)(420) = 0,85(35)(0,8)c(450) + 491,07 \left(\frac{c-574,5}{c} \right) (0,003)(200000)$
- $c = 131,34 \text{ mm}$
- $a = \beta_1 c = (0,8)(131,34) = 105,07 \text{ mm}$
- $\epsilon'_s = \frac{c-d'}{c} (0,003) = \frac{131,34 - 75,5}{131,34} (0,003) = 0,001275$
- $f'_s = \epsilon'_s E_s = (0,001275)(200000) = 255 \text{ MPa}$
- $A_{s2} = A_s \frac{f'_s}{f_y} = (491,07) \frac{255}{420} = 298,15 \text{ mm}^2$
- $A_{s1} = A'_s - A_{s2} = 982,14 - 298,15 = 638,99 \text{ mm}^2$
- $\epsilon_t = 0,003 \frac{d-c}{c} = 0,003 \frac{(574,5 - 19,25)}{19,25} = 0,0865 > 0,005 \rightarrow \text{Asumsi } \phi = 0,9 \text{ Benar}$

- Kuat lentur nominal balok B1 yaitu:

- $\phi M_n = \phi \left(A'_s f_y \left(d - \frac{a}{2} \right) + A_s f'_s (d - d') \right)$
- $\phi M_n = 0,9 \left((638,99)(420) \left(574,5 - \frac{105,07}{2} \right) + (491,07)(255)(574,5 - 75,5) \right)$
- $\phi M_n = 834731 \text{ N.mm} \approx 834,73 \text{ kN.m}$

- Cek terhadap single reinforcement:

- $a = \frac{A'_s f_y}{0,85 f'_c b} = \frac{982,14(420)}{0,85(35)(450)} = 30,81 \text{ mm}$
- $\phi M_n = \phi \left(A_s f_y \left(d - \frac{a}{2} \right) \right) = 0,9(491,071)(420) \left(574,5 - \frac{30,81}{2} \right)$
 $\phi M_n \text{ single} = 702338998 \text{ N.mm} \approx 702,3 \text{ kN.m}$

- Cek Kapasitas Balok BI 1:

- $M_u^+ = 617,57 \text{ kN.m} < \phi M_n \text{ single} = 702,3 \text{ kN.m} \rightarrow OK$
- $M_u^+ = 617,57 \text{ kN.m} < \phi M_n = 834,7 \text{ kN.m} \rightarrow OK$

• Tulangan Tumpuan Perlu

1. Tulangan Lentur Bawah :

- $D = 25 \text{ mm}$
- $d = h - \text{cover} - \emptyset - \frac{D}{2} = 650 - 50 - 13 - \frac{25}{2} = 574,5 \text{ mm}$
- $A_s = 491,071 \text{ mm}^2$

Mutu Tulangan Longitudinal (BJTS 420) :

- $f_y = 420 \text{ MPa}$
 - $f_u = 525 \text{ MPa}$
 - $n_{lapis} = 1 \text{ lapis}$
 - $n = 3 \text{ buah}$
 - $A'_s = 1473,21 \text{ mm}^2$
- Cek Luas Tulangan Minimum:
- $A_{s \min 1} = \frac{0,25 \sqrt{f_c'}}{f_y} b_w d$ (SNI 2847-2019, Ps. 9.6.1.2)
$$A_{s \min 1} = \frac{0,25 \sqrt{35}}{420} (450)(574,5) = 910,39 \text{ mm}^2$$
 - $A_{s \min 2} = \frac{1,4}{f_y} b_w d$ (SNI 2847-2019, Ps. 9.6.1.2)
$$A_{s \min 2} = \frac{1,4}{420} (450)(574,5) = 861,75 \text{ mm}^2$$
- Maka dipakai $A_{s \min} = 910,39 \text{ mm}^2$
- $A'_s = 1473,21 \text{ mm}^2 > A_{s \min} = 910,39 \text{ mm}^2 \rightarrow OK$
- Cek Rasio Tulangan Maksimum:
- $\rho_{max} = 0,025$ (SNI 2847-2019, Ps. 18.6.3.1)
- Maka $A_{s maks} = 0,025 b_w d$
- $A_{s maks} = 0,025(450)(574,5) = 6463,125 \text{ mm}^2$
 - $A'_s = 1473,21 \text{ mm}^2 < A_{s maks} = 6463,125 \text{ mm}^2 \rightarrow OK$

2. Tulangan Lentur Atas :

- $D = 25 \text{ mm}$
 - $d = h - cover - \emptyset - \frac{D}{2} = 650 - 50 - 13 - \frac{25}{2}$
 $d = 574,5 \text{ mm}$
 - $A_s = 491,07 \text{ mm}^2$
- Mutu Tulangan Longitudinal (BJTS 420) :
- $f_y = 420 \text{ MPa}$
 - $f_u = 525 \text{ MPa}$
 - $n_{lapis} = 1 \text{ lapis}$
 - $n = 5 \text{ buah}$
 - $A'_s = 2454,37 \text{ mm}^2$
- Cek Luas Tulangan Susut dan Suhu Minimum:
- $A_{s \min 3} = \frac{0,0018 x 420}{f_y} b_w d$ (SNI 2847-2019, Tabel 24.4.3.2)
$$A_{s \min 3} = \frac{0,0018 x 420}{420} (450)(574,5)$$

$$A_{s \min 3} = 465,345 \text{ mm}^2$$
 - $A_{s \min 4} = 0,0014 b_w d$ (SNI 2847-2019, Tabel 24.4.3.2)
$$A_{s \min 4} = 0,0014(450)(574,5) = 361,935$$
- Maka dipakai $A_{s \min} = 465,345 \text{ mm}^2$
- $A'_s = 2454,37 \text{ mm}^2 > A_{s \min} = 465,345 \text{ mm}^2 \rightarrow OK$
- Cek Rasio Tulangan Maksimum:
- $\rho_{max} = 0,025$ (SNI 2847-2019, Ps. 18.6.3.1)
- Maka $A_{s maks} = 0,025 b_w d$
- $A_{s maks} = 0,025(450)(574,5) = 6463,125 \text{ mm}^2$
 - $A'_s = 2454,37 \text{ mm}^2 < A_{s maks} = 6463,125 \text{ mm}^2 \rightarrow OK$

3. Kebutuhan Tulangan Torsi

- $\lambda = 1$ (Beton Normal)
- $T_{th} = 0,083\lambda\sqrt{f'_c}\left(\frac{A_{cp}^2}{P_{cp}}\right)$ (SNI 2847-2019, Tabel 22.7.4.1)
- $A_{cp} = (450)(650) = 292500 \text{ mm}^2$
- $P_{cp} = 2(450 + 650) = 2200 \text{ mm}$
- $T_{th} = 0,083(1)\sqrt{35}\left(\frac{292500^2}{2200}\right)$
 $T_{th} = 19095945,85 \text{ N.mm}$
- $\phi T_{th} = 0,8(19095945,85) = 15276756,7 \text{ N.mm}$
 $\phi T_{th} = 149864,98 \text{ kg.m}$
- $T_u = 4153,12 < \phi T_{th} = 149864,98 \text{ kg.m} \rightarrow \text{Tidak butuh tulangan torsi}$

4. Kebutuhan Tulangan Atas :

- Kebutuhan Tulangan dicari dengan metode doubly reinforced
 - $\phi = 0,9$ Tension Controlled (SNI 2847-2019, Tabel 21.2.1)
 - $\epsilon_t \geq 0,005$ (SNI 2847-2019, Tabel 21.2.2)
 - $\epsilon_{t min} \geq 0,004$ (SNI 2847-2019, Ps. 9.3.3.1)
- Cek Asumsi $f'_s = f_y$
 - $d = h - cover - \emptyset - \frac{D}{2} = 650 - 50 - 13 - \frac{25}{2}$
 $d = 574,5 \text{ mm}$
 - $d' = cover + \emptyset + \frac{D}{2} = 50 + 13 + \frac{25}{2} = 75,5$
 - $c = \frac{(A'_s - A_s)f_y}{0,85 f'_c \beta_1 b} = \frac{(2454,37 - 491,07)(420)}{0,85 (35) (0,8) (450)} = 76,99 \text{ mm}$
 - $a = \beta_1 c = (0,8)(76,99) = 61,59 \text{ mm}$
 - $\epsilon_y = \frac{f_y}{E_s} = \frac{420}{200000} = 0,0021$
 - $\epsilon'_s = \frac{c-d'}{c} (0,003) = \frac{19,25 - 75,5}{76,99} (0,003) = -0,00219$

Karena $\epsilon'_s = -0,00219 < \epsilon_y = 0,0021$ maka $f'_s \neq f_y$
- Cek Asumsi $\phi = 0,9$
 - $A'_s f_y = 0,85 f'_c \beta_1 c b + A_s \left(\frac{c-d}{c}\right) 0,003 E_s$
 $(2454,37)(420) = 0,85(35)(0,8)c(450) + 491,07 \left(\frac{c-574,5}{c}\right)(0,003)(200000)$
 - $c = 164,7 \text{ mm}$
 - $a = \beta_1 c = (0,8)(164,7) = 131,76 \text{ mm}$
 - $\epsilon'_s = \frac{c-d'}{c} (0,003) = \frac{164,7 - 75,5}{164,7} (0,003) = 0,001624$
 - $f'_s = \epsilon'_s E_s = (0,001275)(200000) = 255 \text{ MPa}$
 - $A_{s2} = A_s \frac{f'_s}{f_y} = (491,07) \frac{255}{420} = 298,15 \text{ mm}^2$
 - $A_{s1} = A'_s - A_{s2} = 2454,37 - 298,15 = 2156,22 \text{ mm}^2$
 - $\epsilon_t = 0,003 \frac{d-c}{c} = 0,003 \frac{(574,5 - 164,7)}{164,7}$
 - $\epsilon_t = 0,00746 > 0,005 \rightarrow \text{Asumsi } \phi = 0,9 \text{ Benar}$
- Kuat lentur nominal balok B1 yaitu:
 - $\phi M_n = \phi \left(A_{s1} f_y \left(d - \frac{a}{2} \right) + A_s f'_s (d - d') \right)$

$$\phi M_n = 0,9 \left((2156,22)(420) \left(574,5 - \frac{131,76}{2} \right) + (491,07)(255)(574,5 - 75,5) \right)$$

$$\phi M_n = 965,2 \text{ N.mm} \approx 965,2 \text{ kN.m}$$

- Cek terhadap single reinforcement:

- $a = \frac{A'_s f_y}{0,85 f'_c b} = \frac{(2156,22)(420)}{0,85(35)(450)} = 67,65 \text{ mm}$
- $\phi M_n = \phi \left(A_s f_y \left(d - \frac{a}{2} \right) \right) = 0,9(491,071)(420) \left(574,5 - \frac{67,65}{2} \right)$
 $\phi M_{n \text{ single}} = 1003627093 \text{ N.mm} \approx 1003,6 \text{ kN.m}$

- Cek Kapasitas Balok BI 1:

- $M_u^- = 907,58 \text{ kN.m} < \phi M_n = 965,2 \text{ kN.m} \rightarrow OK$
- $M_u^- = 907,58 \text{ kN.m} < \phi M_{n \text{ single}} = 1003,6 \text{ kN.m} \rightarrow OK$

5. Kebutuhan Tulangan Bawah

- $0,5 A'_{s \text{ atas}} < A'_{s \text{ bawah}}$ (SNI 2847-2019, Ps. 18.6.3.2)
- $0,5 A'_{s \text{ atas}} = 0,5 (2454,37) = 1227,2 \text{ mm}^2$
- $A'_{s \text{ bawah}} = 1473,21 \text{ mm}^2$

Maka $0,5 A'_{s \text{ atas}} = 1227,2 \text{ mm}^2 < A'_{s \text{ bawah}} = 1473,21 \text{ mm}^2 \rightarrow OK$

6. Perencanaan Tulangan Sengkang

- $\emptyset = 13 \text{ mm}$
- $A_v = 132,785 \text{ mm}^2$

Mutu Tulangan Geser (BJTP 280) :

- $f_{yt} = 280 \text{ MPa}$
- $f_{ut} = 350 \text{ MPa}$
- $d = h - \text{cover} - \emptyset - \frac{D}{2} = 650 - 50 - 13 - \frac{25}{2}$
 $d = 574,5 \text{ mm}$

- $V_u \geq \phi V_c$

- $\phi_s = 0,6$

(SNI 2847-2019, Ps. 21.2.4)

- Cek kebutuhan tulangan geser

- $A_{v \text{ min}} \text{ harus disediakan apabila } V_u \geq 0,5 \phi V_c$ (SNI 2847-2019, Ps. 7.6.3.1)
- $V_c = \phi 0,17 \sqrt{f'_c} b_w d$ (SNI 2847-2019, Pers. 22.5.5.1)
- $V_c = (0,6) 0,17 \sqrt{35} (450)(574,5)$
 $V_c = 156004,36 \text{ N} \approx 15902 \text{ kg}$
- $0,5 \phi V_c = 0,5 (0,6)(15902) = 4770,6 \text{ kg}$
- $V_u = 22332,61 \text{ kg} > 4770,6 \text{ kg} \rightarrow \text{Butuh tulangan geser}$

- Tulangan Transversal

V_s harus disediakan apabila $V_u \geq \phi V_c$ (SNI 2847-2019, Ps. 22.5.10)

- $V_s = \frac{V_u}{\phi} - V_c$
- $V_s = \frac{22332,61}{0,6} - 15902$
- $V_s = 21319,02 \text{ kg} \approx 2173,19 \text{ N}$
- $V_s = \frac{A_v f_{yt} d}{s}$ (SNI 2847-2019, Ps. 22.5.10.5.3)
- $\frac{A_v}{s} = \frac{V_s}{f_{yt} d} = \frac{2173,19}{(280)(574,5)} = 0,0135 \text{ mm}^2/\text{mm}$

- Cek spasi minimum
 - $\frac{A_{v\min}}{s} = 0,062\sqrt{f'_c} \frac{b_w}{d}$ (SNI 2847-2019,Tabel 9.6.3.3)
 - $\frac{A_{v\min 1}}{s} = 0,062\sqrt{35} \frac{450}{574,5} = 0,287 \text{ mm}^2/\text{mm}$
 - $\frac{A_{v\min}}{s} = 0,35 \frac{b_w}{f_{yt}}$ (SNI 2847-2019 Tabel 9.6.3.3)
 - $\frac{A_{v\min 2}}{s} = \frac{0,35(450)}{280} = 0,563 \text{ mm}^2/\text{mm}$
 - $\frac{A_v}{s} = 0,0135 \text{ mm}^2/\text{mm} < \frac{A_{v\min}}{s} = 0,563 \text{ mm}^2/\text{mm} \rightarrow$ Dipakai $\frac{A_{v\min}}{s}$
 - $\frac{A_v}{s} = \frac{132,785}{s}$
 $0,563 \text{ mm}^2/\text{mm} = \frac{132,785}{s}$
 $s = \frac{132,785}{0,563} = 235,85 \text{ mm}$

- Cek Kondisi V_s
 - $0,33\sqrt{f'_c} b_w d = 0,33\sqrt{35} (450)(574,5) = 504719,9 \text{ N}$
 - $V_s < 0,33\sqrt{f'_c} b_w d \rightarrow 2173,19 \text{ N} < 504719,9 \text{ N}$

Maka;

- $s_{maks} = \frac{d}{2}$ (SNI 2847-2019 Tabel 9.6.3.3)
- $s_{maks 1} = \frac{574,5}{2} = 287,25 \text{ mm}$
- $s_{maks} = 600 \text{ mm}$ (SNI 2847-2019 Tabel 9.6.3.3)
- $s_{maks 2} = 600 \text{ mm}$

Maka dipakai $s_{maks} = 287,25 \approx 300 \text{ mm}$

- $s = 235,85 > s_{maks} = 287,25 \rightarrow$ Dipakai $s = 235,85 \text{ mm} \approx 250 \text{ mm}$

6.1.2 Pendetailan Tulangan

1. Penentuan selimut Beton (SNI 10.7.1.1) mengacu (Tabel 20.6.1.3.1) SNI 2847 2019
Karena digunakan tulangan D13 maka tebal selimut beton (Cc) adalah 40 mm.
2. Panjang penyaluran tulangan ulir sesuai pasal 25.4 SNI 2847 2019
3. Pasal 25.4.1.4 Nilai $\sqrt{f'_c}$ yang digunakan untuk menghitung panjang penyaluran tidak boleh lebih dari 8,3 MPa.
 $\sqrt{f'_c} = \sqrt{35} = 5.92 \text{ Mpa}$ (OK)

Pasal 25.4.2.1 Penyaluran tulangan tarik lentur harus memiliki panjang penyaluran ld

$$\Psi_e = 1 \quad (\text{Tabel 25.4.2.4})$$

$$\Psi_s = 0,8 \quad (\text{Tabel 25.4.2.4})$$

$$\Psi_t = 1,3 \quad (\text{Tabel 25.4.2.4})$$

$$\lambda = 1$$

$$f'_c = 35 \text{ MPa}$$

$$f_y = 420 \text{ MPa}$$

$$d_b = 25 \text{ mm}$$

$$K_{tr} = 0 \quad (\text{Pasal 25.4.2.3})$$

Maka, Panjang penyaluran batang ulir dalam kondisi Tarik (ld):

- Dihitung berdasarkan (Tabel 25.4.2.2. SNI 2847 2019)

$$a. \frac{f_y \varphi t \varphi e}{2,1 \lambda \sqrt{f'c}} db = \frac{420 \times 1,3 \times 1}{2,1 \times 1 \times \sqrt{35}} \times 25 = 1098,70 \text{ mm}$$

b. 300 mm

- Dihitung berdasarkan Pasal 25.4.2.3

$$\frac{f'c}{1,1 \lambda \sqrt{f'c}} \frac{\varphi t \varphi e \varphi s}{\frac{cb+Ktr}{db}} db = \frac{35}{1,1 \times 1 \times \sqrt{35}} \frac{1,3 \times 0,8 \times 1}{\frac{46,5+0}{25}} \times 25 = 902,16 \text{ mm}$$

ld max = 1098,70 mm

Maka, diambil panjang penyaluran batang ulir dalam kondisi Tarik (ld) sebesar 1100 mm

- Pasal 25.4.3.1 Panjang penyaluran tarik ldh batang ulir yang diakhiri dengan suatu "kait" standar harus diambil terbesar dari perhitungan ldh berikut:

$$\Psi_c = 0,7 \quad (\text{Tabel 25.4.3.2})$$

$$\Psi_r = 1$$

$$f'_c = 35 \text{ MPa}$$

$$f_y = 420 \text{ MPa}$$

$$db = 25 \text{ mm}$$

Panjang penyaluran Tarik "ldh" dihitung berdasarkan Pasal 25.4.3.1.

$$a. \frac{0,24 f_y \varphi e \varphi c \varphi r}{\lambda \sqrt{f'c}} \times db = \frac{0,24 \times 420 \times 1 \times 0,7 \times 0,8}{1 \sqrt{35}} \times 25 = 298,17 \text{ mm}$$

$$b. 8db = 8 \times 25 = 200 \text{ mm}$$

$$c. 150 \text{ mm}$$

Maka, panjang penyaluran "kait" kondisi tarik (ldh) adalah 298,17 mm

- Pasal 25.4.3.3 Jarak sengkang sepanjang penyaluran ldh:

Diketahui:

$$db = 22 \text{ mm}$$

- Kait harus dilingkupi sepanjang ldh dengan Sengkang ikat atau sengkang dengan spasi $S \leq 3db$

$$S \leq 3 \times 25 = 75 \text{ mm}$$

- Sengkang ikat atau Sengkang pertama harus dipasang sejarak $2db$ disisi terluar lengkokan

$$S = 2db = 2 \times 25 = 50 \text{ mm}$$

- Ψ_r harus diambil sebesar 1 dalam perhitungan ldh sesuai Pasal 25.4.3.1.(a)

Berdasarkan hasil perhitungan Pasal 25.4.3.1.(a) didapat ldh = 298,17 mm

- Pasal 25.4.9 Panjang penyaluran ldc untuk batang ulir dalam kondisi "tekan" harus yang terbesar dari perhitungan berikut:

$$\Psi_r = 0,75$$

Panjang penyaluran tulangan ulir "tekan" dihitung berdasarkan:

- Pasal 25.4.9.1.

- Hasil dari Pasal 25.4.9.2.

- 200mm

- Pasal 25.4.9.2

$$a. \frac{0,24 f_y \varphi_r}{\lambda \sqrt{f'_c}} db = \frac{0,24 \times 420 \times 0,75}{1 \times \sqrt{35}} \times 25 = 319,47 \text{ mm}$$

$$b. 0,043 f_y \varphi_r db = 0,043 \times 420 \times 0,75 \times 25 = 338,63 \text{ mm}$$

Maka, nilai Panjang penyaluran tekan “ldc” adalah 338,63 mm, digunakan 340 mm

- Spasi minimum tulangan longitudinal sesuai pasal 25.2.3 SNI 2847 2019 adalah nilai terbesar dari:

a. 40 mm

b. 1,5 db = 1,5 x 25 = 37,5 mm

c. 4/3 d agregat = 4/3 x 20 = 26,67 mm (asumsi d agregat = 20 mm)

- Panjang sambungan lewatan batang ulir sesuai pasal 25.5

- Pasal 25.5.2.1 Panjang sambungan lewatan batang ulir dalam kondisi Tarik (lst)

Diketahui:

$$\text{As terpasang} = 5887,5 \text{ mm}^2$$

$$\text{As perlu} = 3600 \text{ mm}^2$$

$$\frac{A_{st}}{A_{sp}} = \frac{5887,5}{3600} = 1,64 < 2$$

Digunakan tipe sambungan lewatan kelas B, maka lst adalah nilai terbesar dari:

a. 1.3 ld = 1,3 x 1098,70 = 1428,3 mm

b. 300 mm

Maka nilai lst adalah 1428,3 mm.

- Pasal 25.5.5.1 Panjang sambungan lewatan batang ulir kondisi tekan ($f_y = 420$) adalah nilai terbesar dari:

a. 0.071 f.y.db = 0.071 x 420 x 25 = 745,5 mm

b. 300 mm

Maka nilai lsc adalah 745,5 mm.

Pasal 10.7.5.2.1 Faktor pengurangan sambungan lewatan kondisi tekan:

$$\text{Spasi sengkang} = 150 \text{ mm}$$

$$0,0015 \cdot h \cdot s = 0,0015 \times 600 \times 150 = 135 \text{ mm}^2$$

$$Ab (\text{luas sengkang}) = 530,66 \text{ mm}^2$$

Kontrol Ab > 0,0015 h.s (OK)

Faktor pengurangan sambungan lewatan adalah 0,83, sehingga:

$$\text{Panjang lsc terfaktor} = 0,83 \times 745,5 = 618,765 \text{ mm}$$

- Pasal 25.5.7.1 Sambungan las atau mekanis harus mampu mengembangkan tarik/tekan paling sedikit:

$$1,25 f_y = 1,25 \times 420 \text{ MPa} = 525 \text{ MPa}$$

Pasal 25.5.7.4 Sambungan pada tulangan yang bersebelahan harus dibuat berselang-seling paling sedikit 750 mm.

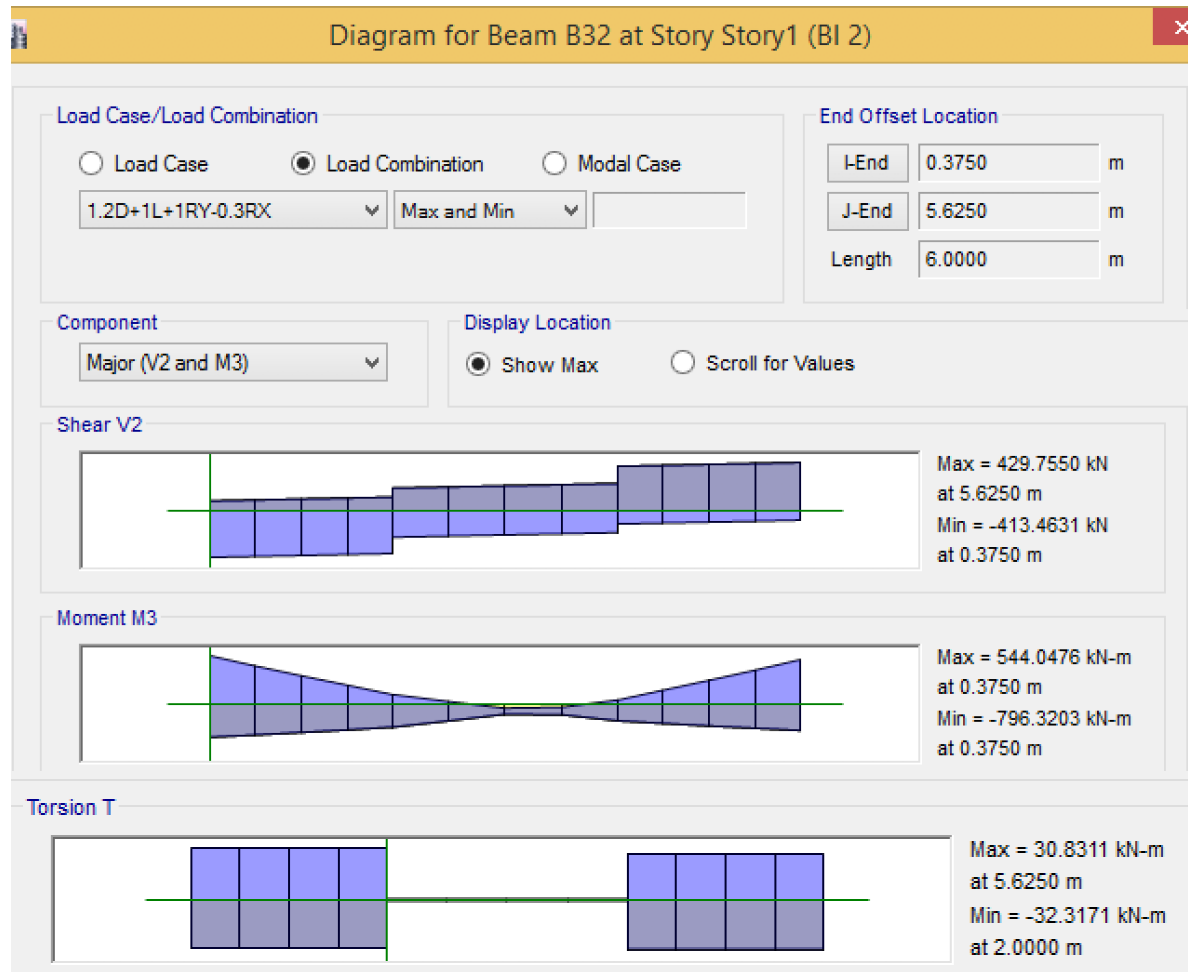
- SNI 2847-2019 Pasal 18.7.4.3

Lap splices hanya boleh dipasang di tengah tinggi kolom, dan harus diikat dengan tulangan sengkang (confinement). Sepanjang lap splices (sambungan lewatan), spasi tulangan transversal dipasang sesuai spasi tulangan confinement yaitu = 100 mm

6.1.3 Balok BI 2

A. Hasil Program Bantu

Dari ETABS didapatkan momen, tegangan geser dan momen torsi akibat beban terfaktor yaitu:



Gambar 6.2 Diagram Momen, Geser dan Torsi Balok Induk Tipe BI 2

- $M_u^+ = 544,05 \text{ kN.m}$
- $M_u^- = -796,32 \text{ kN.m}$
- $V_u = 429,75 \text{ kN.m}$
- $T_u = 32,31 \text{ kN.m}$

- Data Perencanaan Balok BI 1:

- $L = 6000 \text{ mm}$
- $b = 500 \text{ mm}$
- $h = 650 \text{ mm}$
- $\text{cover} = 50 \text{ mm}$ (SNI 2847-2019, Tabel 20.6.1.3.1)
- $f'_c = 40 \text{ MPa}$ (SNI 2847-2019, Ps.19.2.2.1)
- $E_c = 4700\sqrt{f'_c}$ (SNI 2847-2019, Ps. 19.2.2.1.b)
- $E_c = 4700\sqrt{40} = 30351,54 \text{ MPa}$
- $E_s = 200000 \text{ MPa}$
- $\beta_1 = 0,85 - \frac{0,05(f'_c-28)}{7}$ (SNI 2847-2019, Ps.22.2.2.4.3)
- $\beta_1 = 0,85 - \frac{0,05(40-28)}{7} = 0,76$

- $\lambda = 1$ (*Beton Normal*) (SNI 2847-2019, Tabel.19.2.4.2)

- Tulangan Lapangan Perlu

1. Tulangan Lentur Atas :

- $D = 25 \text{ mm}$
- $d = h - \text{cover} - \emptyset - \frac{D}{2} = 650 - 50 - 13 - \frac{25}{2}$
- $d = 574,5 \text{ mm}$
- $A_s = 491,07 \text{ mm}^2$

Mutu Tulangan Longitudinal (BJTS 420) :

- $f_y = 420 \text{ MPa}$
- $f_u = 525 \text{ MPa}$
- $n_{lapis} = 1 \text{ lapis}$
- $n = 2 \text{ buah}$
- $A'_s = 982,142 \text{ mm}^2$

- Cek Luas Tulangan Minimum:

- $A_{s \min 1} = \frac{0,25 \sqrt{f_c'}}{f_y} b_w d$ (SNI 2847-2019, Ps. 9.6.1.2)

$$A_{s \min 1} = \frac{0,25 \sqrt{35}}{420} (450)(574,5) = 910,39 \text{ mm}^2$$

- $A_{s \min 2} = \frac{1,4}{f_y} b_w d$ (SNI 2847-2019, Ps. 9.6.1.2)

$$A_{s \min 2} = \frac{1,4}{420} (450)(574,5) = 861,75 \text{ mm}^2$$

Maka dipakai $A_{s \min} = 910,39 \text{ mm}^2$

- $A'_s = 1473,21 \text{ mm}^2 > A_{s \min} = 910,39 \text{ mm}^2 \rightarrow OK$

- Cek Rasio Tulangan Maksimum:

- $\rho_{max} = 0,025$ (SNI 2847-2019, Ps. 18.6.3.1)

Maka $A_{s maks} = 0,025 b_w d$

- $A_{s maks} = 0,025(450)(574,5) = 6463,125 \text{ mm}^2$

- $A'_s = 1473,21 \text{ mm}^2 < A_{s maks} = 6463,125 \text{ mm}^2 \rightarrow OK$

1. Tulangan Lentur Bawah :

- $D = 25 \text{ mm}$
- $d = h - \text{cover} - \emptyset - \frac{D}{2} = 650 - 50 - 13 - \frac{25}{2}$
 $d = 574,5 \text{ mm}$
- $A_s = 491,071 \text{ mm}^2$

Mutu Tulangan Longitudinal (BJTS 420) :

- $f_y = 420 \text{ MPa}$
- $f_u = 525 \text{ MPa}$
- $n_{lapis} = 1 \text{ lapis}$
- $n = 3 \text{ buah}$
- $A'_s = 1473,21 \text{ mm}^2$

- Cek Luas Tulangan Susut dan Suhu Minimum:

- $A_{s \min 3} = \frac{0,0018 \times 420}{f_y} b_w d$ (SNI 2847-2019, Tabel 24.4.3.2)

$$A_{s \min 3} = \frac{0,0018 \times 420}{420} (450)(574,5)$$

$$A_{s \min 3} = 465,345 \text{ mm}^2$$

- $A_{s \min 4} = 0,0014 b_w d$ (SNI 2847-2019, Tabel 24.4.3.2)

$$A_{s \min 4} = 0,0014(450)(574,5) = 361,935$$
 Maka dipakai $A_{s \min} = 465,345 \text{ mm}^2$
- $A'_s = 982,142 \text{ mm}^2 > A_{s \min} = 465,345 \text{ mm}^2 \rightarrow OK$
- Cek Rasio Tulangan Maksimum:
 - $\rho_{\max} = 0,025$ (SNI 2847-2019, Ps. 18.6.3.1)
 - Maka $A_{s maks} = 0,025 b_w d$
 - $A_{s maks} = 0,025(450)(574,5)$
 - $A_{s maks} = 6463,125 \text{ mm}^2$
 - $A'_s = 982,142 \text{ mm}^2 < A_{s maks} = 6463,125 \text{ mm}^2 \rightarrow OK$
- 2. Tulangan Longitudinal Torsi :
 - $\theta = 45^\circ$ (SNI 2847-2019, Ps. 22.7.6.1.2)
 - $T_u = 4153,12 \text{ kg.m} \approx 423355,76 \text{ N.mm}$
 - $T_n = \frac{\phi T_u}{\phi} = \frac{423355,76}{0,8} = 52994,7 \text{ N.mm}$
 - $A_g = b h = (450)(650) = 292500 \text{ mm}^2$
 - $A_{cp} = A_g = 292500 \text{ mm}^2$
 - $A_{oh} = A_{cp} = 292500 \text{ mm}^2$
 - $P_{cp} = 2(b + h) = 2(450 + 650) = 2200 \text{ mm}$
 - $A_o = 0,85 A_{oh}$ (SNI 2847-2019, Ps. 22.7.6.1.1)
 - $A_o = 0,85(292500) = 248625 \text{ mm}^2$
 - $p_h = \left(b - 2c - 2\frac{D}{2}\right) + \left(h - 2c - 2\frac{D}{2}\right)$
 - $p_h = \left(450 - 2(50) - 2\frac{(25)}{2}\right) + \left(650 - 2(50) - 2\frac{(25)}{2}\right)$
 - $p_h = 170625 \text{ mm}$
 - $A_l = \frac{T_n p_h}{2 A_o f_y \cot \theta}$ (SNI 2847-2019, Ps. 22.7.6.1)
 - $A_l = \frac{(52994,7)(170625)}{2(248625)(420)\cot(45^\circ)} = 0,216 \text{ mm}^2$
- Kontrol Luas Tulangan Longitudinal Torsi :

$$0,01 A_g < A_{sl} < 0,06 A_g$$
 (SNI 2847-2019, Ps. 18.7.4.2)

$$0,01 (292500) < 43,96 < 0,06 (292500)$$

$$2925 \text{ mm}^2 < 0,216 \text{ mm}^2 < 17550 \text{ mm}^2 \rightarrow \text{Tidak butuh tulangan torsi}$$

3. Kebutuhan Tulangan Bawah :
 - Kebutuhan Tulangan dicari dengan metode doubly reinforced
 - $\phi = 0,9$ Tension Controlled (SNI 2847-2019, Tabel 21.2.1)
 - $\epsilon_t \geq 0,005$ (SNI 2847-2019, Tabel 21.2.2)
 - $\epsilon_{t \min} \geq 0,004$ (SNI 2847-2019, Ps. 9.3.3.1)
 - Cek Asumsi $f'_s = f_y$
 - $d = h - \text{cover} - \emptyset - \frac{D}{2} = 650 - 50 - 13 - \frac{25}{2}$
 $d = 574,5 \text{ mm}$
 - $d' = \text{cover} + \emptyset + \frac{D}{2} = 50 + 13 + \frac{25}{2} = 75,5$
 - $c = \frac{(A'_s - A_s)f_y}{0,85 f'_c \beta_1 b} = \frac{(1473,21 - 491,07)(420)}{0,85(35)(0,8)(450)} = 19,25 \text{ mm}$
 - $a = \beta_1 c = (0,8)(19,25) = 15,4 \text{ mm}$

- $\epsilon_y = \frac{f_y}{E_s} = \frac{420}{200000} = 0,0021$
- $\epsilon'_s = \frac{c-d'}{c} (0,003) = \frac{19,25-75,5}{19,25} (0,003) = -0,00876 00$
Karena $\epsilon'_s = -0,00876 < \epsilon_y = 0,0021$ maka $f'_s \neq f_y$

- Cek Asumsi $\phi = 0,9$
 - $A'_s f_y = 0,85 f'_c \beta_1 c b + A_s \left(\frac{c-d}{c} \right) 0,003 E_s$
 $(1473,21)(420) = 0,85(35)(0,8) c (450) + 491,07 \left(\frac{c-574,5}{c} \right) (0,003)(200000)$
 - $c = 131,34 \text{ mm}$
 - $a = \beta_1 c = (0,8)(131,34) = 105,07 \text{ mm}$
 - $\epsilon'_s = \frac{c-d'}{c} (0,003) = \frac{131,34-75,5}{131,34} (0,003) = 0,001275$
 - $f'_s = \epsilon'_s E_s = (0,001275)(200000) = 255 \text{ MPa}$
 - $A_{s2} = A_s \frac{f'_s}{f_y} = (491,07) \frac{255}{420} = 298,15 \text{ mm}^2$
 - $A_{s1} = A'_s - A_{s2} = 982,14 - 298,15 = 638,99 \text{ mm}^2$
 - $\epsilon_t = 0,003 \frac{d-c}{c} = 0,003 \frac{(574,5-19,25)}{19,25} = 0,0865 > 0,005 \rightarrow \text{Asumsi } \phi = 0,9 \text{ Benar}$
- Kuat lentur nominal balok B1 yaitu:
 - $\phi M_n = \phi \left(A_{s1} f_y \left(d - \frac{a}{2} \right) + A_s f'_s (d - d') \right)$
 - $\phi M_n = 0,9 \left((638,99)(420) \left(574,5 - \frac{105,07}{2} \right) + (491,07)(255)(574,5 - 75,5) \right)$
 - $\phi M_n = 1002343143 \text{ N.mm} \approx 1002,3 \text{ kN.m}$

- Cek terhadap single reinforcement:
 - $a = \frac{A'_s f_y}{0,85 f'_c b} = \frac{982,14(420)}{0,85(35)(450)} = 30,81 \text{ mm}$
 - $\phi M_n = \phi \left(A_s f_y \left(d - \frac{a}{2} \right) \right) = 0,9(491,071)(420) \left(574,5 - \frac{30,81}{2} \right)$
 $\phi M_{n\ singel} = 702338998 \text{ N.mm} \approx 702,3 \text{ kN.m}$

- Cek Kapasitas Balok BI 1:
 - $M_u^+ = 617,57 \text{ kN.m} < \phi M_{n\ singel} = 702,3 \text{ kN.m} \rightarrow OK$
 - $M_u^+ = 617,57 \text{ kN.m} < \phi M_n = 1002,3 \text{ kN.m} \rightarrow OK$

- Tulangan Tumpuan Perlu

1. Tulangan Lentur Bawah :

- $D = 25 \text{ mm}$
- $d = h - \text{cover} - \emptyset - \frac{D}{2} = 650 - 50 - 13 - \frac{25}{2} = 574,5 \text{ mm}$
- $A_s = 491,071 \text{ mm}^2$

Mutu Tulangan Longitudinal (BJTS 420) :

- $f_y = 420 \text{ MPa}$
- $f_u = 525 \text{ MPa}$
- $n_{lapis} = 1 \text{ lapis}$
- $n = 3 \text{ buah}$
- $A'_s = 1473,21 \text{ mm}^2$

- Cek Luas Tulangan Minimum:

- $A_{s \min 1} = \frac{0,25 \sqrt{f_{c'}}}{f_y} b_w d$ (SNI 2847-2019, Ps. 9.6.1.2)

$$A_{s \min 1} = \frac{0,25 \sqrt{35}}{420} (450)(574,5) = 910,39 \text{ mm}^2$$

- $A_{s \min 2} = \frac{1,4}{f_y} b_w d$ (SNI 2847-2019, Ps. 9.6.1.2)

$$A_{s \min 2} = \frac{1,4}{420} (450)(574,5) = 861,75 \text{ mm}^2$$

Maka dipakai $A_{s \min} = 910,39 \text{ mm}^2$

- $A'_s = 1473,21 \text{ mm}^2 > A_{s \min} = 910,39 \text{ mm}^2 \rightarrow OK$

- Cek Rasio Tulangan Maksimum:

- $\rho_{\max} = 0,025$ (SNI 2847-2019, Ps. 18.6.3.1)

Maka $A_{s \max} = 0,025 b_w d$

- $A_{s \max} = 0,025(450)(574,5) = 6463,125 \text{ mm}^2$

- $A'_s = 1473,21 \text{ mm}^2 < A_{s \max} = 6463,125 \text{ mm}^2 \rightarrow OK$

2. Tulangan Lentur Atas :

- $D = 25 \text{ mm}$

- $d = h - \text{cover} - \emptyset - \frac{D}{2} = 650 - 50 - 13 - \frac{25}{2}$
 $d = 574,5 \text{ mm}$

- $A_s = 491,07 \text{ mm}^2$

Mutu Tulangan Longitudinal (BJTS 420) :

- $f_y = 420 \text{ MPa}$

- $f_u = 525 \text{ MPa}$

- $n_{lapis} = 1 \text{ lapis}$

- $n = 5 \text{ buah}$

- $A'_s = 2454,37 \text{ mm}^2$

- Cek Luas Tulangan Susut dan Suhu Minimum:

- $A_{s \min 3} = \frac{0,0018 x 420}{f_y} b_w d$ (SNI 2847-2019, Tabel 24.4.3.2)

$$A_{s \min 3} = \frac{0,0018 x 420}{420} (450)(574,5)$$

$$A_{s \min 3} = 465,345 \text{ mm}^2$$

- $A_{s \min 4} = 0,0014 b_w d$ (SNI 2847-2019, Tabel 24.4.3.2)

$$A_{s \min 4} = 0,0014(450)(574,5) = 361,935$$

Maka dipakai $A_{s \min} = 465,345 \text{ mm}^2$

- $A'_s = 2454,37 \text{ mm}^2 > A_{s \min} = 465,345 \text{ mm}^2 \rightarrow OK$

- Cek Rasio Tulangan Maksimum:

- $\rho_{\max} = 0,025$ (SNI 2847-2019, Ps. 18.6.3.1)

Maka $A_{s \max} = 0,025 b_w d$

- $A_{s \max} = 0,025(450)(574,5) = 6463,125 \text{ mm}^2$

- $A'_s = 2454,37 \text{ mm}^2 < A_{s \max} = 6463,125 \text{ mm}^2 \rightarrow OK$

3. Kebutuhan Tulangan Torsi

- $\lambda = 1$ (Beton Normal)

- $T_{th} = 0,083 \lambda \sqrt{f'_c} \left(\frac{A_{cp}^2}{P_{cp}} \right)$ (SNI 2847-2019, Tabel 22.7.4.1)

- $A_{cp} = (450)(650) = 292500 \text{ mm}^2$

- $P_{cp} = 2(450 + 650) = 2200 \text{ mm}$

- $T_{th} = 0,083(1)\sqrt{35} \left(\frac{292500^2}{2200} \right)$
 $T_{th} = 19095945,85 \text{ N.mm}$
- $\phi T_{th} = 0,8(19095945,85) = 15276756,7 \text{ N.mm}$
 $\phi T_{th} = 149864,98 \text{ kg.m}$
- $T_u = 4153,12 < \phi T_{th} = 149864,98 \text{ kg.m} \rightarrow \text{Tidak butuh tulangan torsi}$

4. Kebutuhan Tulangan Atas :

- Kebutuhan Tulangan dicari dengan metode doubly reinforced
 - $\phi = 0,9$ Tension Controlled (SNI 2847-2019, Tabel 21.2.1)
 - $\epsilon_t \geq 0,005$ (SNI 2847-2019, Tabel 21.2.2)
 - $\epsilon_{t min} \geq 0,004$ (SNI 2847-2019, Ps. 9.3.3.1)
- Cek Asumsi $f'_s = f_y$
 - $d = h - cover - \emptyset - \frac{D}{2} = 650 - 50 - 13 - \frac{25}{2}$
 $d = 574,5 \text{ mm}$
 - $d' = cover + \emptyset + \frac{D}{2} = 50 + 13 + \frac{25}{2} = 75,5$
 - $c = \frac{(A'_s - A_s)f_y}{0,85 f'_c \beta_1 b} = \frac{(2454,37 - 491,07)(420)}{0,85 (35) (0,8) (450)} = 76,99 \text{ mm}$
 - $a = \beta_1 c = (0,8)(76,99) = 61,59 \text{ mm}$
 - $\epsilon_y = \frac{f_y}{E_s} = \frac{420}{200000} = 0,0021$
 - $\epsilon'_s = \frac{c-d'}{c} (0,003) = \frac{19,25 - 75,5}{76,99} (0,003) = -0,00219$
Karena $\epsilon'_s = -0,00219 < \epsilon_y = 0,0021$ maka $f'_s \neq f_y$
- Cek Asumsi $\phi = 0,9$
 - $A'_s f_y = 0,85 f'_c \beta_1 c b + A_s \left(\frac{c-d}{c} \right) 0,003 E_s$
 $(2454,37)(420) = 0,85(35)(0,8)c(450) + 491,07 \left(\frac{c-574,5}{c} \right) (0,003)(200000)$
 - $c = 164,7 \text{ mm}$
 - $a = \beta_1 c = (0,8)(164,7) = 131,76 \text{ mm}$
 - $\epsilon'_s = \frac{c-d'}{c} (0,003) = \frac{164,7 - 75,5}{164,7} (0,003) = 0,001624$
 - $f'_s = \epsilon'_s E_s = (0,001275)(200000) = 255 \text{ MPa}$
 - $A_{s2} = A_s \frac{f'_s}{f_y} = (491,07) \frac{255}{420} = 298,15 \text{ mm}^2$
 - $A_{s1} = A'_s - A_{s2} = 2454,37 - 298,15 = 2156,22 \text{ mm}^2$
 - $\epsilon_t = 0,003 \frac{d-c}{c} = 0,003 \frac{(574,5 - 164,7)}{164,7}$
 - $\epsilon_t = 0,00746 > 0,005 \rightarrow \text{Asumsi } \phi = 0,9 \text{ Benar}$
- Kuat lentur nominal balok B2 yaitu:
 - $\phi M_n = \phi \left(A_{s1} f_y \left(d - \frac{a}{2} \right) + A_s f'_s (d - d') \right)$
 $\phi M_n = 0,9 \left((2156,22)(420) \left(574,5 - \frac{131,76}{2} \right) + (491,07)(255)(574,5 - 75,5) \right)$
 - $\phi M_n = 812817653 \text{ N.mm} \approx 812,87 \text{ kN.m}$
- Cek terhadap single reinforcement:
 - $a = \frac{A'_s f_y}{0,85 f'_c b} = \frac{(2156,22)(420)}{0,85(35)(450)} = 67,65 \text{ mm}$

- $\phi M_n = \phi \left(A_s f_y \left(d - \frac{a}{2} \right) \right) = 0,9(491,071)(420) \left(574,5 - \frac{67,65}{2} \right)$
 $\phi M_{n\ single} = 965767865 \text{ N.mm} \approx 965,76 \text{ kN.m}$
- Cek Kapasitas Balok BI 1:
 - $M_u^- = 796,32 \text{ kN.m} < \phi M_n = 812,87 \text{ kN.m} \rightarrow OK$
 - $M_u^- = 796,32 \text{ kN.m} < \phi M_{n\ single} = 965,7 \text{ kN.m} \rightarrow OK$
- 5. Kebutuhan Tulangan Bawah
 - $0,5 A'_{s\ atas} < A'_{s\ bawah}$ (SNI 2847-2019, Ps. 18.6.3.2)
 - $0,5 A'_{s\ atas} = 0,5 (2454,37) = 1227,2 \text{ mm}^2$
 - $A'_{s\ bawah} = 1473,21 \text{ mm}^2$

Maka $0,5 A'_{s\ atas} = 1227,2 \text{ mm}^2 < A'_{s\ bawah} = 1473,21 \text{ mm}^2 \rightarrow OK$
- 6. Perencanaan Tulangan Sengkang
 - $\emptyset = 13 \text{ mm}$
 - $A_v = 132,785 \text{ mm}^2$

Mutu Tulangan Geser (BJTP 280) :

 - $f_{yt} = 280 \text{ MPa}$
 - $f_{ut} = 350 \text{ MPa}$
 - $d = h - cover - \emptyset - \frac{D}{2} = 650 - 50 - 13 - \frac{25}{2}$
 $d = 574,5 \text{ mm}$
 - $V_u \geq \phi V_c$
 - $\phi_s = 0,6$ (SNI 2847-2019, Ps. 21.2.4)
- Cek kebutuhan tulangan geser
 - $A_{v\ min}$ harus disediakan apabila $V_u \geq 0,5 \phi V_c$ (SNI 2847-2019, Ps. 7.6.3.1)
 - $V_c = \phi 0,17 \sqrt{f'_c} b_w d$ (SNI 2847-2019, Pers. 22.5.5.1)
 - $V_c = (0,6) 0,17 \sqrt{35} (450)(574,5)$
 $V_c = 156004,36 \text{ N} \approx 15902 \text{ kg}$
 - $0,5 \phi V_c = 0,5 (0,6)(15902) = 4770,6 \text{ kg}$
 - $V_u = 22332,61 \text{ kg} > 4770,6 \text{ kg} \rightarrow$ Butuh tulangan geser
- Tulangan Transversal

V_s harus disediakan apabila $V_u \geq \phi V_c$ (SNI 2847-2019, Ps. 22.5.10)

 - $V_s = \frac{V_u}{\phi} - V_c$
 - $V_s = \frac{22332,61}{0,6} - 15902$
 $V_s = 21319,02 \text{ kg} \approx 2173,19 \text{ N}$
 - $V_s = \frac{A_v f_{yt} d}{s}$ (SNI 2847-2019, Ps. 22.5.10.5.3)
 - $\frac{A_v}{s} = \frac{V_s}{f_{yt} d} = \frac{2173,19}{(280)(574,5)} = 0,0135 \text{ mm}^2/\text{mm}$
- Cek spasi minimum
 - $\frac{A_{v\ min}}{s} = 0,062 \sqrt{f'_c} \frac{b_w}{d}$ (SNI 2847-2019, Tabel 9.6.3.3)
 - $\frac{A_{v\ min\ 1}}{s} = 0,062 \sqrt{35} \frac{450}{574,5} = 0,287 \text{ mm}^2/\text{mm}$

- $\frac{A_{v\min}}{s} = 0,35 \frac{b_w}{f_{yt}}$ (SNI 2847-2019 Tabel 9.6.3.3)
- $\frac{A_{v\min 2}}{s} = \frac{0,35(450)}{280} = 0,563 \text{ mm}^2/\text{mm}$
- $\frac{A_v}{s} = 0,0135 \text{ mm}^2/\text{mm} < \frac{A_{v\min}}{s} = 0,563 \text{ mm}^2/\text{mm} \rightarrow$ Dipakai $\frac{A_{v\min}}{s}$
- $\frac{A_v}{s} = \frac{132,785}{s}$
 $0,563 \text{ mm}^2/\text{mm} = \frac{132,785}{s}$
 $s = \frac{132,785}{0,563} = 235,85 \text{ mm}$

- Cek Kondisi V_s
 - $0,33\sqrt{f'_c} b_w d = 0,33\sqrt{35} (450)(574,5) = 504719,9 \text{ N}$
 - $V_s < 0,33\sqrt{f'_c} b_w d \rightarrow 2173,19 \text{ N} < 504719,9 \text{ N}$

Maka;

- $s_{maks} = \frac{d}{2}$ (SNI 2847-2019 Tabel 9.6.3.3)
- $s_{maks 1} = \frac{574,5}{2} = 287,25 \text{ mm}$
- $s_{maks} = 600 \text{ mm}$ (SNI 2847-2019 Tabel 9.6.3.3)
- $s_{maks 2} = 600 \text{ mm}$

Maka dipakai $s_{maks} = 287,25 \approx 300 \text{ mm}$

- $s = 235,85 > s_{maks} = 287,25 \rightarrow$ Dipakai $s = 235,85 \text{ mm} \approx 250 \text{ mm}$

6.1.4 Pendetailan Tulangan

1. Penentuan selimut Beton (SNI 10.7.1.1) mengacu (Tabel 20.6.1.3.1) SNI 2847 2019
Karena digunakan tulangan D13 maka tebal selimut beton (Cc) adalah 40 mm.
2. Panjang penyaluran tulangan ulir sesuai pasal 25.4 SNI 2847 2019
3. Pasal 25.4.1.4 Nilai $\sqrt{f'_c}$ yang digunakan untuk menghitung panjang penyaluran tidak boleh lebih dari 8,3 MPa.
 $\sqrt{f'_c} = \sqrt{35} = 5.92 \text{ Mpa}$ (OK)

Pasal 25.4.2.1 Penyaluran tulangan tarik lentur harus memiliki panjang penyaluran ld

$$\Psi_e = 1 \quad (\text{Tabel 25.4.2.4})$$

$$\Psi_s = 0,8 \quad (\text{Tabel 25.4.2.4})$$

$$\Psi_t = 1,3 \quad (\text{Tabel 25.4.2.4})$$

$$\lambda = 1$$

$$f'_c = 35 \text{ MPa}$$

$$f_y = 420 \text{ MPa}$$

$$db = 25 \text{ mm}$$

$$Ktr = 0 \quad (\text{Pasal 25.4.2.3})$$

Maka, Panjang penyaluran batang ulir dalam kondisi Tarik (ld):

- Dihitung berdasarkan (Tabel 25.4.2.2. SNI 2847 2019)

$$\text{a. } \frac{f_y \varphi_t \varphi_e}{2,1 \lambda \sqrt{f'_c}} db = \frac{420 \times 1,3 \times 1}{2,1 \times 1 \times \sqrt{35}} \times 25 = 1098,70 \text{ mm}$$

- b. 300 mm
- Dihitung berdasarkan Pasal 25.4.2.3
- $$\frac{f'c}{1,1 \lambda \sqrt{f'c}} \frac{\varphi t \varphi e \varphi s}{\frac{cb+Ktr}{db}} db = \frac{35}{1,1 \times 1 \times \sqrt{35}} \frac{1,3 \times 0,8 \times 1}{\frac{46,5+0}{25}} \times 25 = 902,16 \text{ mm}$$
- $$ld_{max} = 1098,70 \text{ mm}$$
- Maka, diambil panjang penyaluran batang ulir dalam kondisi Tarik (ld) sebesar 1100 mm

4. Pasal 25.4.3.1 Panjang penyaluran tarik ldh batang ulir yang diakhiri dengan suatu "kait" standar harus diambil terbesar dari perhitungan ldh berikut:

$$\Psi_c = 0,7 \quad (\text{Tabel 25.4.3.2})$$

$$\Psi_r = 1$$

$$f'c = 35 \text{ MPa}$$

$$f_y = 420 \text{ MPa}$$

$$db = 25 \text{ mm}$$

Panjang penyaluran Tarik "ldh" dihitung berdasarkan Pasal 25.4.3.1.

$$a. \frac{0,24 f_y \varphi e \varphi c \varphi r}{\lambda \sqrt{f'c}} \times db = \frac{0,24 \times 420 \times 1 \times 0,7 \times 0,8}{1 \times \sqrt{35}} \times 25 = 298,17 \text{ mm}$$

$$b. 8db = 8 \times 25 = 200 \text{ mm}$$

$$c. 150 \text{ mm}$$

Maka, panjang penyaluran "kait" kondisi tarik (ldh) adalah 298,17 mm

5. Pasal 25.4.3.3 Jarak sengkang sepanjang penyaluran ldh:

Diketahui:

$$db = 22 \text{ mm}$$

- a. Kait harus dilingkupi sepanjang ldh dengan Sengkang ikat atau sengkang dengan spasi $S \leq 3db$

$$S \leq 3 \times 25 = 75 \text{ mm}$$

- b. Sengkang ikat atau Sengkang pertama harus dipasang sejarak $2db$ disisi terluar bengkokan

$$S = 2db = 2 \times 25 = 50 \text{ mm}$$

- c. Ψ_r harus diambil sebesar 1 dalam perhitungan ldh sesuai Pasal 25.4.3.1.(a)

Berdasarkan hasil perhitungan Pasal 25.4.3.1.(a) didapat ldh = 298,17 mm

6. Pasal 25.4.9 Panjang penyaluran ldc untuk batang ulir dalam kondisi "tekan" harus yang terbesar dari perhitungan berikut:

$$\Psi_r = 0,75$$

Panjang penyaluran tulangan ulir "tekan" dihitung berdasarkan:

- Pasal 25.4.9.1.

- a. Hasil dari Pasal 25.4.9.2.

- b. 200mm

- Pasal 25.4.9.2

$$a. \frac{0,24 f_y \varphi r}{\lambda \sqrt{f'c}} db = \frac{0,24 \times 420 \times 0,75}{1 \times \sqrt{35}} \times 25 = 319,47 \text{ mm}$$

$$b. 0,043 f_y \varphi r db = 0,043 \times 420 \times 0,75 \times 25 = 338,63 \text{ mm}$$

Maka, nilai Panjang penyaluran tekan “ldc” adalah 338,63 mm, digunakan 340 mm

7. Spasi minimum tulangan longitudinal sesuai pasal 25.2.3 SNI 2847 2019 adalah nilai terbesar dari:

- a. 40 mm
- b. $1,5 \text{ db} = 1,5 \times 25 = 37,5 \text{ mm}$
- c. $4/3 \text{ d agregat} = 4/3 \times 20 = 26,67 \text{ mm}$ (asumsi d agregat = 20 mm)

8. Panjang sambungan lewatan batang ulir sesuai pasal 25.5

- Pasal 25.5.2.1 Panjang sambungan lewatan batang ulir dalam kondisi Tarik (lst)

Diketahui:

$$As \text{ terpasang} = 5887,5 \text{ mm}^2$$

$$As \text{ perlu} = 3600 \text{ mm}^2$$

$$\frac{Ast}{Asp} = \frac{5887,5}{3600} = 1,64 < 2$$

Digunakan tipe sambungan lewatan kelas B, maka lst adalah nilai terbesar dari:

- a. $1,3 \text{ ld} = 1,3 \times 1098,70 = 1428,3 \text{ mm}$
- b. 300 mm

Maka nilai lst adalah 1428,3 mm.

- Pasal 25.5.5.1 Panjang sambungan lewatan batang ulir kondisi tekan ($f_y = 420$) adalah nilai terbesar dari:

- a. $0,071 f_y \cdot db = 0,071 \times 420 \times 25 = 745,5 \text{ mm}$
- b. 300 mm

Maka nilai lsc adalah 745,5 mm.

Pasal 10.7.5.2.1 Faktor pengurangan sambungan lewatan kondisi tekan:

$$Spasi \text{ sengkang} = 150 \text{ mm}$$

$$0,0015 \cdot h \cdot s = 0,0015 \times 600 \times 150 = 135 \text{ mm}^2$$

$$Ab \text{ (luas sengkang)} = 530,66 \text{ mm}^2$$

Kontrol $Ab > 0,0015 h \cdot s$ (OK)

Faktor pengurangan sambungan lewatan adalah 0,83, sehingga:

$$\text{Panjang lsc terfaktor} = 0,83 \times 745,5 = 618,765 \text{ mm}$$

9. Pasal 25.5.7.1 Sambungan las atau mekanis harus mampu mengembangkan tarik/tekan paling sedikit:

$$1,25 f_y = 1,25 \times 420 \text{ MPa} = 525 \text{ MPa}$$

Pasal 25.5.7.4 Sambungan pada tulangan yang bersebelahan harus dibuat berselang-seling paling sedikit 750 mm.

10. SNI 2847-2019 Pasal 18.7.4.3

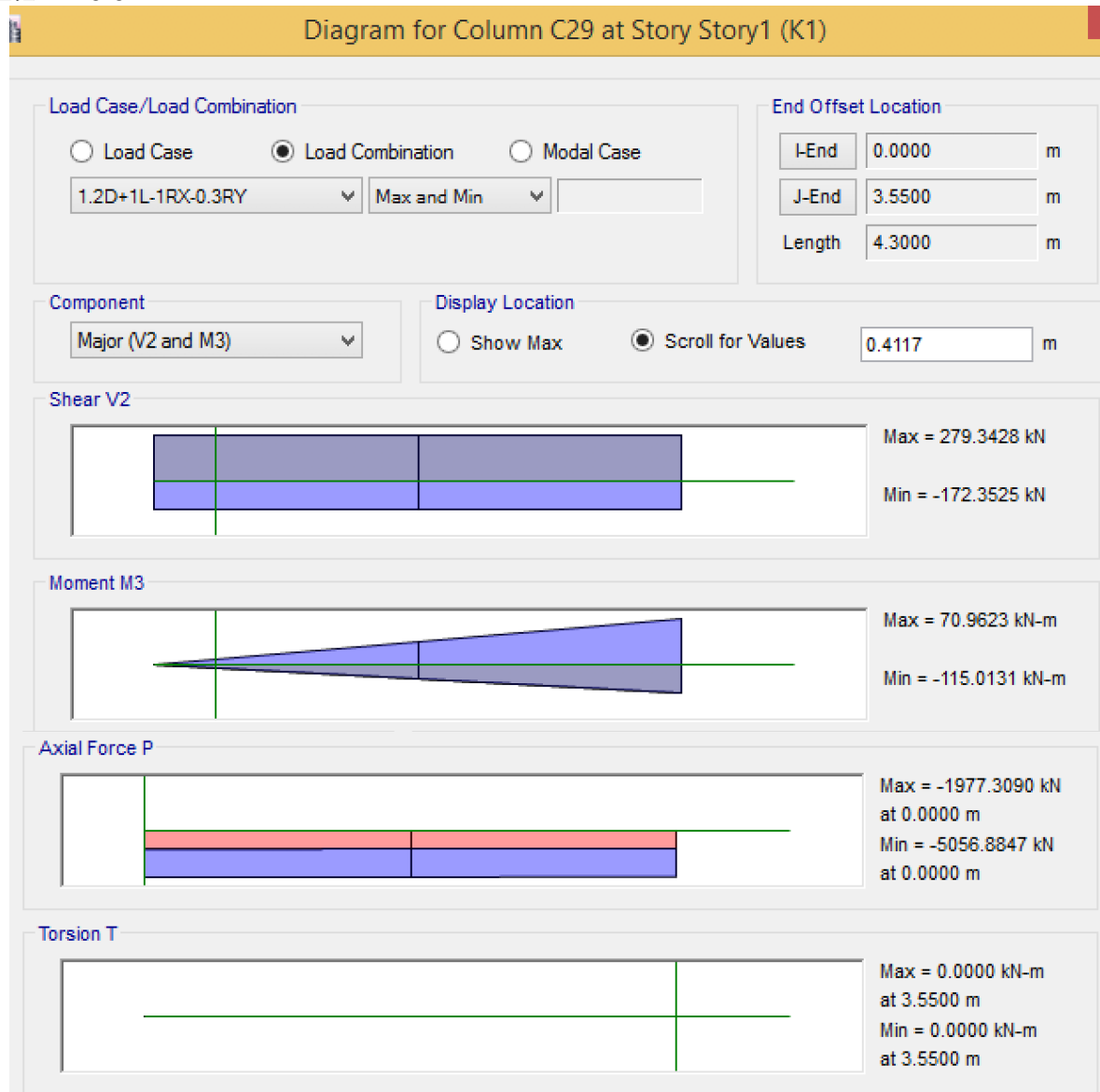
Lap splices hanya boleh dipasang di tengah tinggi kolom, dan harus di ikat dengan tulangan sengkang (confinement). Sepanjang lap splices (sambungan lewatan), spasi tulangan transversal dipasang sesuai spasi tulangan confinement yaitu = 100 mm

Tabel 6.1 Rekapitulasi Penulangan Balok Induk

| Tipe Balok | Bentang | Dimensi | Lokasi | Tulangan Longitudinal | | Tulangan Geser |
|------------|---------|-----------|----------|-----------------------|-------|----------------|
| | (mm) | (mm x mm) | | Atas | Bawah | |
| BI 1 | 8000 | 550 x 750 | Tumpuan | 4D25 | 5D25 | Ø 13 - 100 |
| | | | Lapangan | 3D25 | 3D25 | Ø 13 - 100 |
| B I2 | 6000 | 500 x 650 | Tumpuan | 3D25 | 4D25 | Ø 13 - 200 |
| | | | Lapangan | 2D25 | 2D25 | Ø 13 - 200 |

6.2 Kolom

6.2.1 Kolom K1



Gambar 6.3 Diagram Momen, Geser dan Torsi Kolom Tipe K1

Dari hasil permodelan ETABS didapatkan beban pada kolom lantai 1 sebagai berikut :

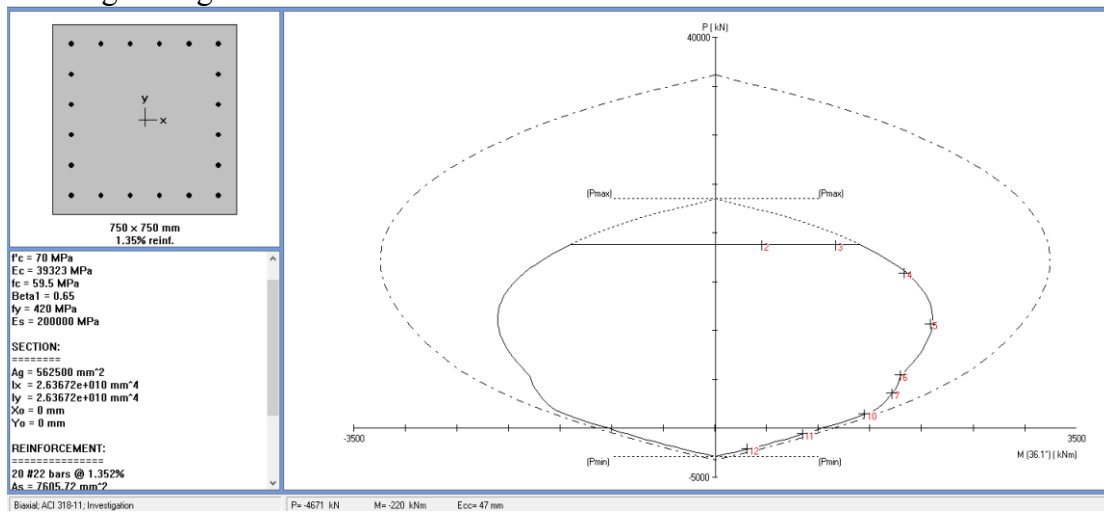
- $P_u = 5056,88 \text{ kN}$
- $V_u = 279,34 \text{ kN}$
- $T_u = 0 \text{ kN}$

Diketahui data-data kolom sebagai berikut :

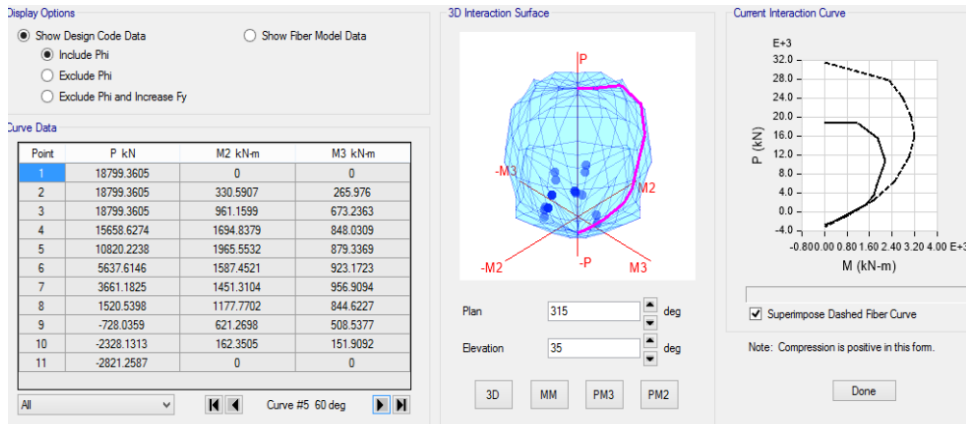
- $L = 4300 \text{ mm}$
 - $b = 750 \text{ mm}$
 - $h = 750 \text{ mm}$
 - $\text{cover} = 50 \text{ mm}$
 - $f'_c = 70 \text{ MPa}$
 - $E_c = 4700\sqrt{f'_c}$
 - $E_c = 4700\sqrt{70} = 39323,02 \text{ MPa}$
 - $E_s = 200000 \text{ MPa}$
 - $f_y = 420 \text{ MPa}$
 - $f_{yt} = 700 \text{ MPa}$
 - $\beta_1 = 0,65$
 - $\lambda = 1 (\text{Beton Normal})$
 - $h_n = L - \left(\frac{h_{balok \ atas}}{2} + \frac{h_{balok \ bawah}}{2} \right)$
 - $h_n = 4300 - \left(\frac{750}{2} + \frac{750}{2} \right) = 3550 \text{ mm}$
 - $d = h - \text{cover} - \emptyset - \frac{D}{2}$
 - $d = 750 - 50 - 16 - \frac{22}{2} = 673 \text{ mm}$
 - $A_g = bh = (750)(750) = 562500 \text{ mm}^2$
 - $A_{cp} = A_g = 562500 \text{ mm}^2$
 - $P_{cp} = 2(b + h) = 2(750 + 750) = 3000 \text{ mm}$
- (SNI 2847-2019, Tabel 20.6.1.3.1)
(SNI 2847-2019, Ps. 20.2.2.2)
(SNI 2847-2019, Ps.22.2.2.4.3)
(SNI 2847-2019, Tabel.19.2.4.2)

Perhitungan Tulangan Lentur

Pada perhitungan tulangan lentur menggunakan program bantu SPColumn dengan menginput gaya aksial dan momen dari ETABS, dan direncanakan menggunakan dimensi 750 x 750 mm dengan tulangan longitudinal 20D22.



Gambar 6.4 Hasil SPColumn kurva interaksi kolom tipe K1



Gambar 6.5 Hasil ETABS kurva interaksi kolom tipe K1

Didapatkan hasil input beban untuk arah x, arah y dan biaxial pada SPColumn sebagai berikut :

| Factored Loads and Moments with Corresponding Capacities: | | | | | | | | | | | |
|---|----------------------|------------------------|------------------------|---------------------------|---------------------------|-----------------------------|-------------|----------------|-------------|------------------|-----|
| No. | P _u kN | M _{ux} kNm | M _{uy} kNm | PhiM _{nx} kNm | PhiM _{ny} kNm | PhiM _n /Mu NA | depth mm | D _t | depth mm | eps _t | Phi |
| 1 | 18799,36 | 0,00 | 0,00 | 1397,67 | 0,00 | 999,999 | 926 | 673 | -0,00082 | 0,650 | |
| 2 | 18799,40 | 363,67 | 265,54 | 1136,95 | 830,15 | 3,126 | 1110 | 930 | -0,00049 | 0,650 | |
| 3 | 18799,40 | 941,19 | 687,21 | 1136,95 | 830,14 | 1,208 | 1110 | 930 | -0,00049 | 0,650 | |
| 4 | 15917,53 | 1479,79 | 1080,48 | 1493,43 | 1090,44 | 1,009 | 975 | 941 | -0,00011 | 0,650 | |
| 5 | 10708,02 | 1682,60 | 1228,56 | 1700,44 | 1241,59 | 1,011 | 774 | 947 | 0,00067 | 0,650 | |
| 6 | 5472,88 | 1447,67 | 1057,02 | 1455,37 | 1062,64 | 1,005 | 555 | 936 | 0,00206 | 0,650 | |
| 7 | 3581,12 | 1384,11 | 1010,61 | 1385,86 | 1011,89 | 1,001 | 442 | 929 | 0,00331 | 0,754 | |
| 8 | 1505,65 | 1166,99 | 852,08 | 1177,31 | 859,62 | 1,009 | 329 | 922 | 0,00542 | 0,900 | |
| 9 | 3581,12 | 248,08 | 497,54 | 801,89 | 1608,28 | 3,232 | 386 | 878 | 0,00384 | 0,800 | |
| 10 | 1505,65 | 1166,99 | 852,08 | 1177,31 | 859,62 | 1,009 | 329 | 922 | 0,00542 | 0,900 | |
| 11 | -560,34 | 681,42 | 497,54 | 696,80 | 508,77 | 1,023 | 214 | 893 | 0,00958 | 0,900 | |
| 12 | -2076,28 | 248,08 | 181,13 | 268,11 | 195,76 | 1,081 | 88 | 778 | 0,02403 | 0,900 | |
| 13 | -2821,26 | 0,00 | 0,00 | 20,09 | 0,00 | 999,999 | 2 | 673 | 0,97922 | 0,900 | |

Gambar 6.6 Hasil input beban untuk arah biaxial pada SPColumn

Didapatkan:

- $\phi M_{n_x} = 1700,44 \text{ kN.m}$
- $M_{nc_x} = \frac{\phi M_{n_x}}{\phi} = \frac{1700,44}{0,65} = 2616,06 \text{ kN.m}$
- $\phi M_{n_y} = 1700,44 \text{ kN.m}$
- $M_{nc_y} = \frac{\phi M_{n_y}}{\phi} = \frac{1608,28}{0,65} = 2474,28 \text{ kN.m}$

Tulangan Longitudinal

- $D_l = 22 \text{ mm}$
- $A_l = \pi \frac{D_l^2}{4} = \frac{\pi}{4} (22^2) = 390,28 \text{ mm}^2$
- $n_l = 20 \text{ buah}$
- $A_{sl} = n A_l = 20(390,28)$
- $A_{sl} = 7805,6 \text{ mm}^2$
- $A_{oh} = \left(b - 2c - 2 \frac{D_t}{2} \right) \left(h - 2c - 2 \frac{D_t}{2} \right)$
- $A_{oh} = \left(750 - 2(50) - 2 \frac{(16)}{2} \right) \left(750 - 2(50) - 2 \frac{(16)}{2} \right)$
- $A_{oh} = 401956 \text{ mm}^2$
- $A_o = 0,85 A_{oh}$
- $A_o = 401956 = 401956 \text{ mm}^2$
- $P_h = \left(b - 2c - 2 \frac{D}{2} \right) + \left(h - 2c - 2 \frac{D}{2} \right)$

(SNI 2847-2019, Ps. 22.7.6.1.1)

- $P_h = 2 \left(\left(750 - 2(50) - 2 \frac{(16)}{2} \right) + \left(750 - 2(50) - 2 \frac{(16)}{2} \right) \right)$
- $P_h = 2536 \text{ mm}$

Kontrol Luas Tulangan Longitudinal Torsi :

- $0,01 A_g < A_{sl} < 0,06 A_g$ (SNI 2847-2019, Ps. 18.7.4.2)
- $0,01 (562500) < 7805,6 < 0,06 (562500)$
- $5625 \text{ mm}^2 < 7805,6 \text{ mm}^2 < 33750 \text{ mm}^2 \rightarrow OK$

Kontrol Akibat Beban P_u (SNI 2847-2019, Ps. 22.4.2.2)

- $D_t = 13 \text{ mm}$
- $P_o = 0,85 f'_c (A_g - A_{sl}) + f_y A_{sl}$
- $P_o = 0,85(70)((562500) - (7805,6)) + (420)(7805,6)$
- $P_o = 36282669 \text{ N} \approx 36282 \text{ kN}$
- $P_{n \max} = 0,8 P_o = 0,8(36282) = 29025,6 \text{ kN} > P_u = 5056,88 \text{ kN} (OK)$

- Perhitungan Tulangan Torsi

- $\phi T_{th} = \phi 0,083 \lambda \sqrt{f'_c} \left(\frac{A_{cp}^2}{P_{cp}} \right) \sqrt{1 + \frac{P_u}{0,33 A_g \lambda \sqrt{f'_c}}} \quad (\text{SNI 2847:2019 Ps 22.7.1.1})$
- $\phi T_{th} = (0,8)0,083(1)\sqrt{70} \left(\frac{562500^2}{3000} \right) \sqrt{1 + \frac{5056880}{0,33 (562500)(1)\sqrt{70}}} = 240,37 \text{ kN.m}$
- $T_u = 0 \text{ kN.m} < \phi T_{th} = 240,37 \text{ kN.m} \rightarrow \text{tidak butuh tulangan torsi minimum}$

Column Hinging

$$- V_{sway_1} = \frac{M_{ncx} + M_{ncy}}{h_n} = \frac{(2616+2474)}{3,55} = 1433 \text{ kN} \quad (\text{SNI 2847:2019 Pasal 18.7.6.1.1})$$

Beam Hinging

- $M_{pr_1} = -907,58 \text{ kN.m}$
- $M_{pr_2} = 617,57 \text{ kN.m}$
- $V_{sway_2} = \frac{M_{pr_1} + M_{pr_2}}{h_n} = \frac{907,58 + 617,57}{3,55} = 429 \text{ kN}$

Nilai V_c dianggap 0 jika memenuhi syarat berikut menurut Pasal

- $V_{sway_2} \geq 0,5V_u$ (SNI 2847:2019 Ps 18.7.6.2.1)
- $429 \geq 0,5(279,34)$
- $429 \text{ kN} \geq 139,67 \text{ kN} \rightarrow OK$
- $0,05f'_c A_g \geq P_u$
- $0,05(70)(562500) \geq 5056,88 \text{ kN}$
- $1968,75 \text{ kN} \geq 5056,88 \text{ kN} \rightarrow NOT OK$

Perhitungan Tulangan Geser

- $\phi V_c = \phi 0,17 \left(1 + \frac{N_u}{14A_g} \right) \lambda \sqrt{f'_c} b_w d$ (SNI 2847:2019 Ps 22.5.6.1)
- $\phi V_c = (0,75)0,17 \left(1 + \frac{5056880}{14(562500)} \right) (1)(\sqrt{70})(750)(673)$
- $\phi V_c = 884192 \text{ N} \approx 884,2 \text{ kN}$

- $V_s = \frac{V_u - \phi V_c}{\phi}$ (SNI 2847-2019, Ps. 22.5.10)
- $V_s = \frac{279,3 - 884,2}{0,75} = -806,53 \text{ kN} \approx -806530 \text{ N}$
- $A_v = n \frac{\pi}{4} D_l^2$
- $A_v = (4) \frac{\pi}{4} (13)^2 = 804,57 \text{ mm}^2$
- $V_s = \frac{A_v f_{yt} d}{s}$ (SNI 2847-2019, Ps. 22.5.10.5.3)
- $s = \frac{A_v f_{yt} d}{V_s}$
- $s = \frac{(804,6)(700)(673)}{806530} = -469,93 \text{ mm}$

Spasi minimum untuk seluruh bentang kolom

- $s_{min1} = \frac{A_v f_y}{0,062 \sqrt{f'_c b_w}}$ (SNI 2847:2019 Ps 10.6.2.2)
- $s_{min1} = \frac{(804,6)(700)}{0,062(\sqrt{70})(750)} = 1447,69 \text{ mm}$
- $s_{min2} = \frac{A_v f_y}{0,35 b_w}$
- $s_{min2} = \frac{(804,6)(700)}{0,35(750)} = 2145,6 \text{ mm}$
- $s_{min3} = 6 D_l = 6(22) = 132 \text{ mm}$ (SNI 2847:2019 Ps 18.7.5.5)
- $s_{min4} = 150 \text{ mm}$
- $s_{min} = 132 \text{ mm} \approx 100 \text{ mm}$

Lokasi sendi plastis l_o

- $l_o = h = 650 \text{ mm} \rightarrow$ menentukan
- $l_o = \frac{1}{6} h_n = \frac{1}{6} (3550) = 591,67 \text{ mm}$ (SNI 2847:2019 Ps. 18.7.5.1)
- $l_o = 450 \text{ mm}$

Spasi tulangan geser diluar sendi plastis

- $s = \frac{1}{4} h = \frac{1}{4} (750) = 187,5 \text{ mm}$
- $s = 6 D_l = 6(22) = 132 \text{ mm}$
- $s = 132 \text{ mm} \approx 100 \text{ mm}$
- $h_x = \frac{d_c - 2D_l c}{5} = \frac{762 - 2(22)}{5} = 139,67 \text{ mm}$
- $s_o = 100 + \left(\frac{350 - h_x}{3} \right)$
- $s_o = 100 + \left(\frac{350 - 139,67}{3} \right) = 170,11 \text{ mm}$
- $s_o = 170,11 > s = 100 \text{ mm} \rightarrow s_o = 100 \text{ mm}$

Spasi minimum untuk kolom SRPMK sepanjang sendi plastis

- $b_c = b - 2c - 2 \frac{D_{tc}}{2}$
- $b_c = 750 - 2(50) - 2 \frac{(16)}{2} = 634 \text{ mm}$
- $A_{ch} = (b_c - 2cover_c)(h_c - 2cover_c)$

- $A_{ch} = (750 - 2(50))(750 - 2(50)) = 422500 \text{ mm}^2$
- $k_f = \frac{f'_c}{175} + 0,6 \geq 0,1$ (SNI 2847:2019 Ps. 18.7.5.4)
- $k_f = \frac{70}{175} + 0,6 \geq 0,1$
- $1 \geq 0,1 \rightarrow k_f = 1$
- $k_n = \frac{n_{l_c}}{n_{l_c}-2}$
- $k_n = \frac{20}{20-2} = 1,1$
- $s_1 \leq \frac{A_{sh} f_{yt}}{b_c 0,3 \left(\frac{A_g}{A_{ch}} - 1 \right) f'_c}$ (SNI 2847:2019 Tabel 18.7.5.4)
- $s_1 \leq \frac{(530,93)(700)}{(634) 0,3 \left(\frac{562500}{422500} - 1 \right) (70)} = 88,24 \text{ mm}$
- $s_2 \leq \frac{A_{sh} f_{yt}}{0,09 b_c f'_c}$
- $s_2 \leq \frac{(530,93)(700)}{0,09(634)(70)} = 93,05 \text{ mm}$
- $s_3 \leq \frac{A_{sh} f_{yt} A_{ch}}{b_c 0,2 k_f k_n P_u}$
- $s_3 \leq \frac{(530,93)(700)(422500)}{(634)(0,2)(1)(1,1)(5056880)} = 222,62 \text{ mm}$
- $s = 222,62 \text{ mm} \approx 200 \text{ mm}$

Kontrol Batasan Penampang

- $\sqrt{\left(\frac{V_u}{b_w d_c} \right)^2 + \left(\frac{T_u P_h}{1,7 A_{oh}^2} \right)^2} \leq \phi \left(\frac{V_c}{b_w d} + 0,66\sqrt{f'_c} \right)$ (SNI 2847:2019 Ps 22.7.7.1)
- $\sqrt{\left(\frac{279340}{(750)(762)} \right)^2 + \left(\frac{(0)(2536)}{1,7(401956)^2} \right)^2} \leq 0,75 \left(\frac{279340}{(750)(762)} + 0,66\sqrt{70} \right)$
- $0,488 \leq 4,508 \rightarrow \text{OK}$

6.2.2 Pendetaian Tulangan

1. Penentuan selimut Beton (SNI 10.7.1.1) mengacu (Tabel 20.6.1.3.1) SNI 2847 2019
Karena digunakan tulangan D13 maka tebal selimut beton (Cc) adalah 40 mm.

2. Panjang penyaluran tulangan ulir sesuai pasal 25.4 SNI 2847 2019

Pasal 25.4.1.4 Nilai $\sqrt{f'_c}$ yang digunakan untuk menghitung panjang penyaluran tidak boleh lebih dari 8,3 MPa.

$$\sqrt{f'_c} = \sqrt{35} = 5.92 \text{ Mpa} \quad (\text{OK})$$

Pasal 25.4.2.1 Penyaluran tulangan tarik lentur harus memiliki panjang penyaluran ld

$$\Psi_e = 1 \quad (\text{Tabel 25.4.2.4})$$

$$\Psi_s = 0,8 \quad (\text{Tabel 25.4.2.4})$$

$$\Psi_t = 1,3 \quad (\text{Tabel 25.4.2.4})$$

$$\lambda = 1$$

$$f'_c = 35 \text{ MPa}$$

$$f_y = 420 \text{ MPa}$$

$$d_b = 25 \text{ mm}$$

$$Ktr = 0 \quad (\text{Pasal 25.4.2.3})$$

Maka, Panjang penyaluran batang ulir dalam kondisi Tarik (ld):

- Dihitung berdasarkan (Tabel 25.4.2.2. SNI 2847 2019)

c. $\frac{f_y \varphi_e}{2,1 \lambda \sqrt{f'_c}} db = \frac{420 \times 1,3 \times 1}{2,1 \times 1 \times \sqrt{35}} \times 25 = 1098,70 \text{ mm}$

d. 300 mm

- Dihitung berdasarkan Pasal 25.4.2.3

$$\frac{f'_c}{1,1 \lambda \sqrt{f'_c}} \frac{\varphi_e \varphi_s}{\frac{cb+Ktr}{db}} db = \frac{35}{1,1 \times 1 \times \sqrt{35}} \frac{1,3 \times 0,8 \times 1}{\frac{46,5+0}{25}} \times 25 = 902,16 \text{ mm}$$

$ld_{max} = 1098,70 \text{ mm}$

Maka, diambil panjang penyaluran batang ulir dalam kondisi Tarik (ld) sebesar 1100 mm

3. Pasal 25.4.3.1 Panjang penyaluran tarik ldh batang ulir yang diakhiri dengan suatu "kait" standar harus diambil terbesar dari perhitungan ldh berikut:

$$\Psi_c = 0,7 \quad (\text{Tabel 25.4.3.2})$$

$$\Psi_r = 1$$

$$f'_c = 35 \text{ MPa}$$

$$f_y = 420 \text{ MPa}$$

$$db = 25 \text{ mm}$$

Panjang penyaluran Tarik "ldh" dihitung berdasarkan Pasal 25.4.3.1.

a. $\frac{0,24 f_y \varphi_e \varphi_c \varphi_r}{\lambda \sqrt{f'_c}} \times db = \frac{0,24 \times 420 \times 1 \times 0,7 \times 0,8}{1 \sqrt{35}} \times 25 = 298,17 \text{ mm}$

b. $8db = 8 \times 25 = 200 \text{ mm}$

c. 150 mm

Maka, panjang penyaluran "kait" kondisi tarik (ldh) adalah 298,17 mm

4. Pasal 25.4.3.3 Jarak sengkang sepanjang penyaluran ldh:

Diketahui:

$$db = 22 \text{ mm}$$

- a. Kait harus dilingkupi sepanjang ldh dengan Sengkang ikat atau sengkang dengan spasi $S \leq 3db$

$$S \leq 3 \times 25 = 75 \text{ mm}$$

- b. Sengkang ikat atau Sengkang pertama harus dipasang sejarak $2db$ disisi terluar bengkokan

$$S = 2db = 2 \times 25 = 50 \text{ mm}$$

- c. Ψ_r harus diambil sebesar 1 dalam perhitungan ldh sesuai Pasal 25.4.3.1.(a)
Berdasarkan hasil perhitungan Pasal 25.4.3.1.(a) didapat $ldh = 298,17 \text{ mm}$

5. Pasal 25.4.9 Panjang penyaluran ldc untuk batang ulir dalam kondisi "tekan" harus yang terbesar dari perhitungan berikut:

$$\Psi_r = 0,75$$

Panjang penyaluran tulangan ulir "tekan" dihitung berdasarkan:

- Pasal 25.4.9.1.

- a. Hasil dari Pasal 25.4.9.2.

b. 200mm

- Pasal 25.4.9.2

$$a. \frac{0,24 f_y \varphi r}{\lambda \sqrt{f'c}} db = \frac{0,24 \times 420 \times 0,75}{1 \times \sqrt{35}} \times 25 = 319,47 \text{ mm}$$

$$b. 0,043 f_y \varphi r db = 0,043 \times 420 \times 0,75 \times 25 = 338,63 \text{ mm}$$

Maka, nilai Panjang penyaluran tekan “ldc” adalah 338,63 mm, digunakan 340 mm

6. Spasi minimum tulangan longitudinal sesuai pasal 25.2.3 SNI 2847 2019 adalah nilai terbesar dari:

a. 40 mm

b. 1,5 db = 1,5 x 25 = 37,5 mm

c. 4/3 d agregat = 4/3 x 20 = 26,67 mm (asumsi d agregat = 20 mm)

7. Panjang sambungan lewatan batang ulir sesuai pasal 25.5

Sambungan lewatan untuk kolom

Kondisi Tarik

- $l_{st} = 1,3 l_d$ (SNI 2847:2019 Ps 25.5.2.1)

- $l_{st} = 1,3 \times 793,45 = 1031,5 \text{ mm}$

- $l_{st} = 300 \text{ mm}$

Kondisi Tekan

- $l_{sc} = 0,071 f_y d_b$ (SNI 2847:2019 Ps 25.5.5.1)

- $l_{sc} = 0,071 \times 420 \times 19 = 566,58 \text{ mm}$

- Maka $l_s = 300 \text{ mm}$

8. Pasal 25.5.7.1 Sambungan las atau mekanis harus mampu mengembangkan tarik/tekan paling sedikit:

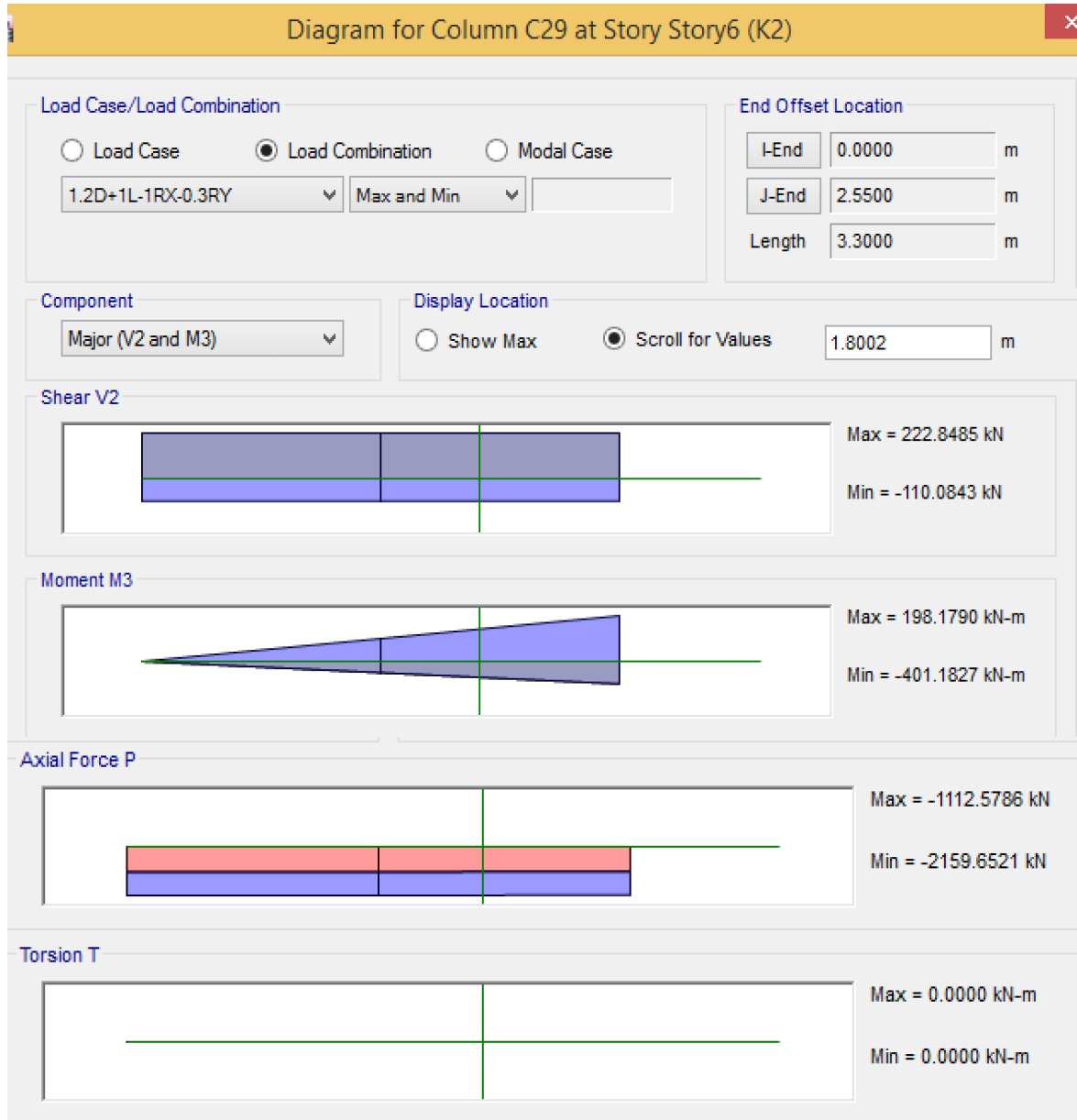
$$1,25 f_y = 1,25 \times 420 \text{ MPa} = 525 \text{ MPa}$$

Pasal 25.5.7.4 Sambungan pada tulangan yang bersebelahan harus dibuat berselang-seling paling sedikit 750 mm.

9. SNI 2847-2019 Pasal 18.7.4.3

Lap splices hanya boleh dipasang di tengah tinggi kolom, dan harus di ikat dengan tulangan sengkang (confinement). Sepanjang lap splices (sambungan lewatan), spasi tulangan transversal dipasang sesuai spasi tulangan confinement yaitu = 100 mm

6.2.3 Kolom K2



Gambar 6.7 Diagram Momen, Geser dan Torsi Kolom Tipe K2

Dari hasil permodelan ETABS didapatkan beban pada kolom lantai 1 sebagai berikut :

- $P_u = 2159,65 \text{ kN}$
- $V_u = 222,85 \text{ kN}$
- $T_u = 0 \text{ kN}$

Diketahui data-data kolom sebagai berikut :

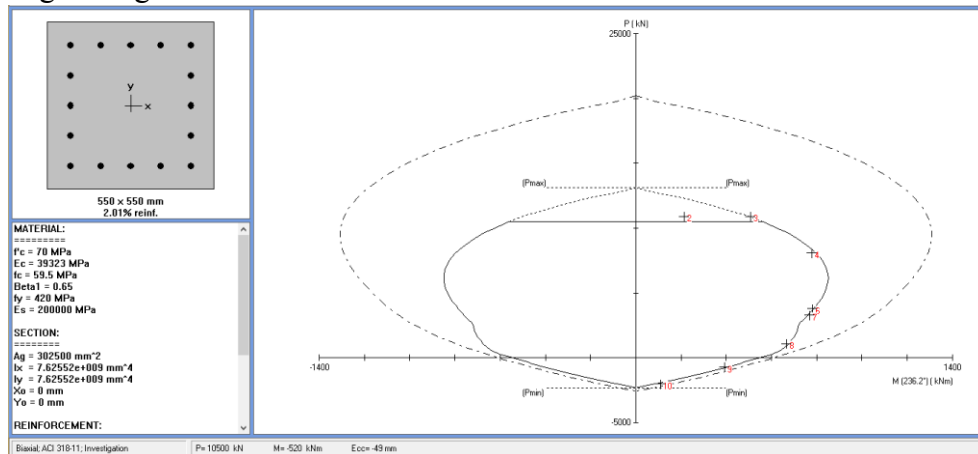
- $L = 3300 \text{ mm}$
 - $b = 550 \text{ mm}$
 - $h = 550 \text{ mm}$
 - $\text{cover} = 50 \text{ mm}$
 - $f'_c = 70 \text{ MPa}$
 - $E_c = 4700\sqrt{f'_c}$
 - $E_c = 4700\sqrt{70} = 39323,02 \text{ MPa}$
 - $E_s = 200000 \text{ MPa}$
- (SNI 2847-2019, Tabel 20.6.1.3.1)
- (SNI 2847-2019, Ps. 20.2.2.2)

- $f_y = 420 \text{ MPa}$
- $f_{yt} = 700 \text{ MPa}$
- $\beta_1 = 0,65$
- $\lambda = 1 (\text{Beton Normal})$
- $h_n = L - \left(\frac{h_{balok\ atas}}{2} + \frac{h_{balok\ bawah}}{2} \right)$
- $h_n = 3300 - \left(\frac{750}{2} + \frac{750}{2} \right) = 3550 \text{ mm}$
- $d = h - \text{cover} - \emptyset - \frac{D}{2}$
- $d = 550 - 50 - 16 - \frac{22}{2} = 673 \text{ mm}$
- $A_g = bh = (550)(550) = 302500 \text{ mm}^2$
- $A_{cp} = A_g = 562500 \text{ mm}^2$
- $P_{cp} = 2(b + h) = 2(550 + 550) = 3000 \text{ mm}$

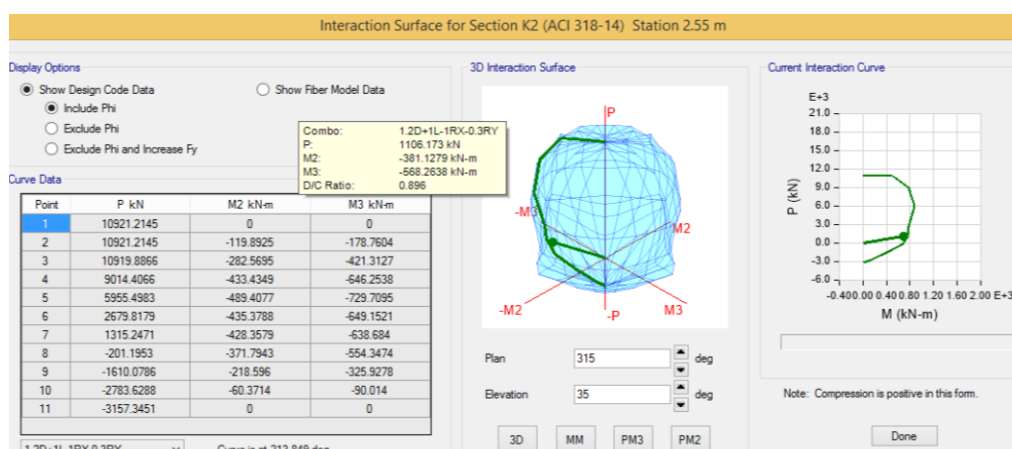
(SNI 2847-2019, Ps.22.2.2.4.3)
(SNI 2847-2019, Tabel.19.2.4.2)

Perhitungan Tulangan Lentur

Pada perhitungan tulangan lentur menggunakan program bantu SPColumn dengan menginput gaya aksial dan momen dari ETABS, dan direncanakan menggunakan dimensi 550 x 550 mm dengan tulangan longitudinal 16D22.



Gambar 6.8 Hasil SPColumn kurva interaksi kolom tipe K2



Gambar 6.9 Hasil ETABS kurva interaksi kolom tipe K2

Didapatkan hasil input beban untuk arah x, arah y dan biaxial pada SPColumn sebagai berikut :

| Factored Loads and Moments with Corresponding Capacities: | | | | | | | | | | | | |
|---|----------|------------|------------|---------------|---------------|----------|-----|-------------|----------|-------------|-------|-----|
| No. | Pu kN | Mux kNm | Muy kNm | PhiMnx kNm | PhiMny kNm | PhiMn/Mu | NA | depth mm | Dt mm | depth mm | eps_t | Phi |
| 1 | 10421,21 | 0,00 | 0,00 | 571,91 | 0,00 | 999,999 | 675 | 473 | -0,00090 | 0,650 | | |
| 2 | 10421,21 | -119,89 | -178,76 | -318,28 | -474,55 | 2,655 | 808 | 649 | -0,00059 | 0,650 | | |
| 3 | 10421,21 | -282,57 | -421,31 | -318,28 | -474,56 | 1,126 | 808 | 649 | -0,00059 | 0,650 | | |
| 4 | 8014,41 | -433,43 | -646,25 | -445,98 | -664,96 | 1,029 | 667 | 660 | -0,00003 | 0,650 | | |
| 5 | 5955,50 | -489,41 | -500,71 | -587,39 | -600,96 | 1,200 | 568 | 666 | 0,00052 | 0,650 | | |
| 6 | 3879,82 | -435,38 | -649,15 | -439,66 | -655,53 | 1,010 | 452 | 657 | 0,00136 | 0,650 | | |
| 7 | 3315,25 | -428,36 | -638,68 | -423,55 | -631,51 | 0,989 | 421 | 655 | 0,00167 | 0,650 | | |
| 8 | 1100,20 | -371,79 | -554,35 | -376,85 | -561,89 | 1,014 | 279 | 645 | 0,00394 | 0,809 | | |
| 9 | -761,01 | -218,60 | -325,93 | -218,21 | -325,35 | 0,998 | 160 | 617 | 0,00857 | 0,900 | | |
| 10 | -2083,63 | -60,37 | -90,01 | -37,73 | -56,26 | 0,625 | 48 | 537 | 0,04144 | 0,900 | | |
| 11 | -2157,34 | 0,00 | 0,00 | 38,87 | 0,00 | 999,999 | 7 | 473 | 0,18750 | 0,900 | | |

Gambar 6.10 Hasil input beban untuk arah biaxial pada SPColumn

Didapatkan:

$$\phi M_{n_x} = 1700,44 \text{ kN.m}$$

$$M_{nc_x} = \frac{\phi M_{n_x}}{\phi} = \frac{1700,44}{0,65} = 2616,06 \text{ kN.m}$$

$$\phi M_{n_y} = 1700,44 \text{ kN.m}$$

$$M_{nc_y} = \frac{\phi M_{n_y}}{\phi} = \frac{1608,28}{0,65} = 2474,28 \text{ kN.m}$$

Tulangan Longitudinal

$$D_l = 22 \text{ mm}$$

$$A_l = \pi \frac{D_l^2}{4} = \frac{\pi}{4} (22^2) = 390,28 \text{ mm}^2$$

$$n_l = 20 \text{ buah}$$

$$A_{sl} = n A_l = 20(390,28)$$

$$A_{sl} = 7805,6 \text{ mm}^2$$

$$A_{oh} = \left(b - 2c - 2 \frac{D_t}{2} \right) \left(h - 2c - 2 \frac{D_t}{2} \right)$$

$$A_{oh} = \left(750 - 2(50) - 2 \frac{(16)}{2} \right) \left(750 - 2(50) - 2 \frac{(16)}{2} \right)$$

$$A_{oh} = 401956 \text{ mm}^2$$

$$A_o = 0,85 A_{oh}$$

(SNI 2847-2019, Ps. 22.7.6.1.1)

$$A_o = 401956 = 401956 \text{ mm}^2$$

$$P_h = \left(b - 2c - 2 \frac{D}{2} \right) + \left(h - 2c - 2 \frac{D}{2} \right)$$

$$P_h = 2 \left(\left(750 - 2(50) - 2 \frac{(16)}{2} \right) + \left(750 - 2(50) - 2 \frac{(16)}{2} \right) \right)$$

$$P_h = 2536 \text{ mm}$$

Kontrol Luas Tulangan Longitudinal Torsi :

$$0,01 A_g < A_{sl} < 0,06 A_g$$

(SNI 2847-2019, Ps. 18.7.4.2)

$$0,01 (562500) < 7805,6 < 0,06 (562500)$$

$$5625 \text{ mm}^2 < 7805,6 \text{ mm}^2 < 33750 \text{ mm}^2 \rightarrow OK$$

Kontrol Akibat Beban P_u

(SNI 2847-2019, Ps. 22.4.2.2)

$$D_t = 16 \text{ mm}$$

$$P_o = 0,85 f'_c (A_g - A_{sl}) + f_y A_{sl}$$

$$P_o = 0,85(70)((562500) - (7805,6)) + (420)(7805,6)$$

$$P_o = 36282669 \text{ N} \approx 36282 \text{ kN}$$

$$P_{n\max} = 0,8 P_o = 0,8(36282) = 29025,6 \text{ kN} > P_u = 5056,88 \text{ kN} (OK)$$

Perhitungan Tulangan Torsi

$$\phi T_{th} = \phi 0,083 \lambda \sqrt{f'_c} \left(\frac{A_{cp}^2}{P_{cp}} \right) \sqrt{1 + \frac{P_u}{0,33 A_g \lambda \sqrt{f'_c}}} \quad (\text{SNI 2847:2019 Ps 22.7.1.1})$$

$$\phi T_{th} = (0,8)0,083(1)\sqrt{70} \left(\frac{562500^2}{3000} \right) \sqrt{1 + \frac{5056880}{0,33(562500)(1)\sqrt{70}}} = 240,37 \text{ kN.m}$$

$T_u = 0 \text{ kN.m} < \phi T_{th} = 240,37 \text{ kN.m} \rightarrow$ tidak butuh tulangan torsi minimum

Perhitungan Tulangan Geser

Column Hinging

- $V_{sway_1} = \frac{M_{ncx} + M_{ncy}}{h_n} = \frac{(2616+2474)}{3,55} = 1433 \text{ kN} \quad (\text{SNI 2847:2019 Pasal 18.7.6.1.1})$

Beam Hinging

- $M_{pr_1} = -907,58 \text{ kN.m}$
- $M_{pr_2} = 617,57 \text{ kN.m}$
- $V_{sway_2} = \frac{M_{pr_1} + M_{pr_2}}{h_n} = \frac{907,58 + 617,57}{3,55} = 429 \text{ kN}$

Nilai V_c dianggap 0

- $V_{sway_2} \geq 0,5V_u \quad (\text{SNI 2847:2019 Ps 18.7.6.2.1})$
- $429 \geq 0,5(279,34)$
- $429 \text{ kN} \geq 139,67 \text{ kN} \rightarrow \text{OK}$
- $0,05f'_c A_g \geq P_u$
- $0,05(70)(562500) \geq 5056,88 \text{ kN}$
- $1968,75 \text{ kN} \geq 5056,88 \text{ kN} \rightarrow \text{NOT OK}$

- $\phi V_c = \phi 0,17 \left(1 + \frac{N_u}{14A_g} \right) \lambda \sqrt{f'_c} b_w d \quad (\text{SNI 2847:2019 Ps 22.5.6.1})$
- $\phi V_c = (0,75)0,17 \left(1 + \frac{5056880}{14(562500)} \right) (1)(\sqrt{70})(750)(673)$
- $\phi V_c = 884192 \text{ N} \approx 884,2 \text{ kN}$
- $V_s = \frac{V_u - \phi V_c}{\phi} \quad (\text{SNI 2847-2019, Ps. 22.5.10})$
- $V_s = \frac{279,3 - 884,2}{0,75} = -806,53 \text{ kN} \approx -806530 \text{ N}$

Direncanakan menggunakan 4 kaki dengan Ø16

- $A_v = n \frac{\pi}{4} D_t^2$
- $A_v = (4) \frac{\pi}{4} (16)^2 = 804,57 \text{ mm}^2$
- $V_s = \frac{A_v f_{yt} d}{s} \quad (\text{SNI 2847-2019, Ps. 22.5.10.5.3})$
- $s = \frac{A_v f_{yt} d}{V_s}$
- $s = \frac{(804,6)(700)(673)}{806530} = -469,93 \text{ mm}$

Spasi minimum diluar sendi plastis l_o

- $s_{min1} = \frac{A_v f_y}{0,062 \sqrt{f'_c} b_w} \quad (\text{SNI 2847:2019 Ps 10.6.2.2})$
- $s_{min1} = \frac{(804,6)(700)}{0,062(\sqrt{70})(750)} = 1447,69 \text{ mm}$

- $s_{min2} = \frac{A_v f_y}{0,35 b_w}$
- $s_{min2} = \frac{(804,6)(700)}{0,35(750)} = 2145,6 \text{ mm}$
- $s_{min3} = 6 D_l = 6(22) = 132 \text{ mm}$
- $s_{min4} = 150 \text{ mm}$
- $s_{min} = 132 \text{ mm} \approx 100 \text{ mm}$
- $h_x = \frac{d_c - 2D_l c}{5} = \frac{762 - 2(22)}{5} = 139,67 \text{ mm}$
- $s_o = 100 + \left(\frac{350 - h_x}{3}\right)$
- $s_o = 100 + \left(\frac{350 - 139,67}{3}\right) = 170,11 \text{ mm}$
- $s_o = 170,11 > s = 100 \text{ mm} \rightarrow s_o = 100 \text{ mm}$

Spasi minimum untuk kolom SRPMK disepanjang sendi plastis

- $b_c = b - 2c - 2 \frac{D_{tc}}{2}$
- $b_c = 750 - 2(50) - 2 \frac{(16)}{2} = 634 \text{ mm}$
- $A_{ch} = (b_c - 2\text{cover}_c)(h_c - 2\text{cover}_c)$
- $A_{ch} = (750 - 2(50))(750 - 2(50)) = 422500 \text{ mm}^2$
- $k_f = \frac{f'_c}{175} + 0,6 \geq 0,1$
- $k_f = \frac{70}{175} + 0,6 \geq 0,1$
- $1 \geq 0,1 \rightarrow k_f = 1$
- $k_n = \frac{n_{l_c}}{n_{l_c} - 2}$
- $k_n = \frac{20}{20 - 2} = 1,1$
- $s_1 \leq \frac{A_{sh} f_{yt}}{b_c 0,3 \left(\frac{A_g}{A_{ch}} - 1\right) f'_c}$
- $s_1 \leq \frac{(530,93)(700)}{(634) 0,3 \left(\frac{562500}{422500} - 1\right) (70)} = 88,24 \text{ mm}$
- $s_2 \leq \frac{A_{sh} f_{yt}}{0,09 b_c f'_c}$
- $s_2 \leq \frac{(530,93)(700)}{0,09(634)(70)} = 93,05 \text{ mm}$
- $s_3 \leq \frac{A_{sh} f_{yt} A_{ch}}{b_c 0,2 k_f k_n P_u}$
- $s_3 \leq \frac{(530,93)(700)(422500)}{(634)(0,2)(1)(1,1)(5056880)} = 222,62 \text{ mm}$
- $s = 222,62 \text{ mm} \approx 200 \text{ mm}$

Lokasi sendi plastis, l_o

- $l_o = h = 650 \text{ mm}$
- $l_o = \frac{1}{6} h_n = \frac{1}{6} (3550) = 591,67 \text{ mm}$
- $l_o = 450 \text{ mm} \rightarrow \text{menentukan}$

Spasi minimum pada sendi plastis l_o

- $s = \frac{1}{4} h = \frac{1}{4} (750) = 187,5 \text{ mm}$
- $s = 6 D_l = 6(22) = 132 \text{ mm}$

(SNI 2847:2019 Ps 18.7.5.5)

- $s = 132 \text{ mm} \approx 100 \text{ mm}$

Kontrol Batasan Penampang

- $\sqrt{\left(\frac{V_u}{b_w d_c}\right)^2 + \left(\frac{T_u P_h}{1,7 A_{oh}^2}\right)^2} \leq \phi \left(\frac{V_c}{b_w d} + 0,66\sqrt{f'_c}\right)$ (SNI 2847:2019 Ps 22.7.7.1)
- $\sqrt{\left(\frac{279340}{(750)(762)}\right)^2 + \left(\frac{(0)(2536)}{1,7(401956)^2}\right)^2} \leq 0,75 \left(\frac{279340}{(750)(762)} + 0,66\sqrt{70}\right)$
- $0,488 \leq 4,508 \rightarrow \text{OK}$

6.2.4 Pendetailan Tulangan

1. Penentuan selimut Beton (SNI 10.7.1.1) mengacu (Tabel 20.6.1.3.1) SNI 2847 2019
Karena digunakan tulangan D13 maka tebal selimut beton (Cc) adalah 40 mm.
2. Panjang penyaluran tulangan ulir sesuai pasal 25.4 SNI 2847 2019
3. Pasal 25.4.1.4 Nilai $\sqrt{f'_c}$ yang digunakan untuk menghitung panjang penyaluran tidak boleh lebih dari 8,3 MPa.
 $\sqrt{f'_c} = \sqrt{35} = 5,92 \text{ Mpa}$ (OK)

Pasal 25.4.2.1 Penyaluran tulangan tarik lentur harus memiliki panjang penyaluran ld

$$\Psi_e = 1 \quad (\text{Tabel 25.4.2.4})$$

$$\Psi_s = 0,8 \quad (\text{Tabel 25.4.2.4})$$

$$\Psi_t = 1,3 \quad (\text{Tabel 25.4.2.4})$$

$$\lambda = 1$$

$$f'_c = 35 \text{ MPa}$$

$$f_y = 420 \text{ MPa}$$

$$d_b = 25 \text{ mm}$$

$$K_{tr} = 0 \quad (\text{Pasal 25.4.2.3})$$

Maka, Panjang penyaluran batang ulir dalam kondisi Tarik (ld):

- Dihitung berdasarkan (Tabel 25.4.2.2. SNI 2847 2019)

$$c. \frac{f_y \varphi_t \varphi_e}{2,1 \lambda \sqrt{f'_c}} d_b = \frac{420 \times 1,3 \times 1}{2,1 \times 1 \times \sqrt{35}} \times 25 = 1098,70 \text{ mm}$$

$$d. 300 \text{ mm}$$

- Dihitung berdasarkan Pasal 25.4.2.3

$$\frac{f'_c}{1,1 \lambda \sqrt{f'_c}} \frac{\varphi_t \varphi_e \varphi_s}{\frac{c_b + K_{tr}}{d_b}} d_b = \frac{35}{1,1 \times 1 \times \sqrt{35}} \frac{1,3 \times 0,8 \times 1}{\frac{46,5+0}{25}} \times 25 = 902,16 \text{ mm}$$

$$ld \max = 1098,70 \text{ mm}$$

Maka, diambil panjang penyaluran batang ulir dalam kondisi Tarik (ld) sebesar 1100 mm

4. Pasal 25.4.3.1 Panjang penyaluran tarik ldh batang ulir yang diakhiri dengan suatu "kait" standar harus diambil terbesar dari perhitungan ldh berikut:

$$\Psi_c = 0,7 \quad (\text{Tabel 25.4.3.2})$$

$$\begin{aligned}
 \Psi_r &= 1 \\
 f'_c &= 35 \text{ MPa} \\
 f_y &= 420 \text{ MPa} \\
 d_b &= 25 \text{ mm}
 \end{aligned}$$

Panjang penyaluran Tarik "ldh" dihitung berdasarkan Pasal 25.4.3.1.

$$a. \frac{0,24 f_y \varphi_e \varphi_c \varphi_r}{\lambda \sqrt{f'_c}} \times d_b = \frac{0,24 \times 420 \times 1 \times 0,7 \times 0,8}{1 \times \sqrt{35}} \times 25 = 298,17 \text{ mm}$$

$$b. 8d_b = 8 \times 25 = 200 \text{ mm}$$

$$c. 150 \text{ mm}$$

Maka, panjang penyaluran "kait" kondisi tarik (ldh) adalah 298,17 mm

5. Pasal 25.4.3.3 Jarak sengkang sepanjang penyaluran ldh:

Diketahui:

$$d_b = 22 \text{ mm}$$

- a. Kait harus dilingkupi sepanjang ldh dengan Sengkang ikat atau sengkang dengan spasi $S \leq 3d_b$

$$S \leq 3 \times 25 = 75 \text{ mm}$$

- b. Sengkang ikat atau Sengkang pertama harus dipasang sejarak $2d_b$ disisi terluar bengkokan

$$S = 2d_b = 2 \times 25 = 50 \text{ mm}$$

- c. Ψ_r harus diambil sebesar 1 dalam perhitungan ldh sesuai Pasal 25.4.3.1.(a)

Berdasarkan hasil perhitungan Pasal 25.4.3.1.(a) didapat ldh = 298,17 mm

6. Pasal 25.4.9 Panjang penyaluran ldc untuk batang ulir dalam kondisi "tekan" harus yang terbesar dari perhitungan berikut:

$$\Psi_r = 0,75$$

Panjang penyaluran tulangan ulir "tekan" dihitung berdasarkan:

- Pasal 25.4.9.1.

- c. Hasil dari Pasal 25.4.9.2.

- d. 200mm

- Pasal 25.4.9.2

$$c. \frac{0,24 f_y \varphi_r}{\lambda \sqrt{f'_c}} d_b = \frac{0,24 \times 420 \times 0,75}{1 \times \sqrt{35}} \times 25 = 319,47 \text{ mm}$$

$$d. 0,043 f_y \varphi_r d_b = 0,043 \times 420 \times 0,75 \times 25 = 338,63 \text{ mm}$$

Maka, nilai Panjang penyaluran tekan "ldc" adalah 338,63 mm, digunakan 340 mm

7. Spasi minimum tulangan longitudinal sesuai pasal 25.2.3 SNI 2847 2019 adalah nilai terbesar dari:

$$a. 40 \text{ mm}$$

$$b. 1,5 d_b = 1,5 \times 25 = 37,5 \text{ mm}$$

$$c. 4/3 d \text{ agregat} = 4/3 \times 20 = 26,67 \text{ mm} \quad (\text{asumsi } d \text{ agregat} = 20 \text{ mm})$$

8. Panjang sambungan lewatan batang ulir sesuai pasal 25.5

Sambungan lewatan untuk kolom

Kondisi Tarik

$$- l_{st} = 1,3 l_d \quad (\text{SNI 2847:2019 Ps 25.5.2.1})$$

- $l_{st} = 1,3 \times 793,45 = 1031,5 \text{ mm}$
- $l_{st} = 300 \text{ mm}$
Kondisi Tekan
- $l_{sc} = 0,071 f_y d_b$ (SNI 2847:2019 Ps 25.5.5.1)
- $l_{sc} = 0,071 \times 420 \times 19 = 566,58 \text{ mm}$
- Maka $l_s = 300 \text{ mm}$

9. Pasal 25.5.7.1 Sambungan las atau mekanis harus mampu mengembangkan tarik/tekan paling sedikit:

$$1.25 f_y = 1,25 \times 420 \text{ MPa} = 525 \text{ MPa}$$

Pasal 25.5.7.4 Sambungan pada tulangan yang bersebelahan harus dibuat berselang-seling paling sedikit 750 mm.

10. SNI 2847-2019 Pasal 18.7.4.3

Lap splices hanya boleh dipasang di tengah tinggi kolom, dan harus di ikat dengan tulangan sengkang (confinement). Sepanjang lap splices (sambungan lewatan), spasi tulangan transversal dipasang sesuai spasi tulangan confinement yaitu = 100 mm

Tabel 6.2 Rekapitulasi Penulangan Kolom

| Tipe Kolom | Tinggi | Dimensi | Tulangan Longitudinal | Lokasi | Tulangan Geser |
|------------|--------|-----------|-----------------------|-----------------|------------------|
| | (mm) | (mm x mm) | | | |
| K1 | 4300 | 750 x 750 | 20 D22 | Sepanjang l_o | 5 kaki D13 - 200 |
| | | | | Diluar l_o | 5 kaki D13 - 100 |
| K2 | 3300 | 550 x 550 | 16 D22 | Sepanjang l_o | 4 kaki D13 - 200 |
| | | | | Diluar l_o | 4 kaki D13 - 100 |

6.3 Hubungan Balok Kolom

6.3.1 Hubungan Balok Kolom Interior

6.3.1.1 Hubungan Balok Kolom Interior Arah X

Dimensi Balok BI 1 :

- $b_b = 550 \text{ mm}$
- $h_b = 750 \text{ mm}$
- $L = 8000 \text{ mm}$
- $c = 50 \text{ mm}$

Tulangan Lentur Atas :

- $D_{lb} = 25 \text{ mm}$
- $A_{sl} = 491,07 \text{ mm}^2$
- $n_{lapis} = 1 \text{ lapis}$
- $n_{lb} = 2 \text{ buah}$
- $d = h - \text{cover} - \emptyset - \frac{D}{2} = 650 - 50 - 13 - \frac{25}{2}$
- $d = 574,5 \text{ mm}$
- $A'_{sl} = 982,142 \text{ mm}^2$
- $f_y = 420 \text{ MPa}$
- $M_{nb_{ka}} = 1002,3 \text{ kN.m}$
- $M_{nb_{ki}} = M_{nb_{ka}} = 1002,3 \text{ kN.m}$
- $\alpha_{pr_{ka}} = \frac{A'_{sl}(1,25f_y)}{0,85 f'_c b} = \frac{982,142(1,25(420))}{0,85(40)(550)} = 27,57$
- $M_{pr_1} = 1,25 A'_{sl} f_y \left(d - \frac{\alpha_{pr}}{2}\right) = 1,25(982,142)(420) \left(574,5 - \frac{27,57}{2}\right) = 289,12 \text{ kN.m}$
- $M_{pr_2} = M_{pr_1} = 289,12 \text{ kN.m}$

Tulangan Sengkang Balok BI 1

- $\emptyset = 13 \text{ mm}$
- $A_v = 132,785 \text{ mm}^2$
- $f_{yt} = 280 \text{ MPa}$
- $f_{ut} = 350 \text{ MPa}$

Kolom di Atas HBK

- $L = 3300 \text{ mm}$
- $b = 550 \text{ mm}$
- $h = 550 \text{ mm}$
- $A_g = bh = (550)(550) = 302500 \text{ mm}^2$
- Tulangan Longitudinal
- $D_l = 22 \text{ mm}$
- Tulangan Tranversal
- $D_t = 16 \text{ mm}$
- $M_{ncx_1} = 912 \text{ kN.m}$

Kolom di Bawah HBK

- $L = 4300 \text{ mm}$
- $b_c = 750 \text{ mm}$
- $h_c = 750 \text{ mm}$

- $c_c = 50 \text{ mm}$
- $A_g = bh = (750)(750) = 562500 \text{ mm}^2$

Tulangan Longitudinal

- $D_{l_c} = 22 \text{ mm}$

- $n_{l_c} = 20 \text{ buah}$

Tulangan Tranversal

- $D_{t_c} = 16 \text{ mm}$

$$- d_c = h_c - \text{cover} - \emptyset - \frac{D_{l_c}}{2}$$

$$- d_c = 750 - 50 - 16 - \frac{22}{2} = 762 \text{ mm}$$

$$- M_{ncx_2} = 2616,06 \text{ kN.m}$$

Panjang Penyaluran Balok

- $\Psi_t = 1$ (SNI 2847:2019 Ps 25.4.2.4)

- $\Psi_e = 1$ (SNI 2847:2019 Ps 25.4.2.4)

- $\Psi_c = 1$ (SNI 2847:2019 Ps 25.4.3.2)

- $\Psi_r = 1$ (SNI 2847:2019 Ps 25.4.3.2)

- $l_d = \left(\frac{f_y \Psi_t \Psi_e}{1,7 \lambda \sqrt{f'_c}} \right) d_b = \left(\frac{(420)(1)(1)}{1,7(1)\sqrt{40}} \right) (13) = 507 \text{ mm} \rightarrow \text{menentukan}$

- $l_d = \left(\frac{0,24 f_y \Psi_e \Psi_c \Psi_r}{\lambda \sqrt{f'_c}} \right) d_b = \left(\frac{0,24(420)(1)(1)(1)}{(1)(\sqrt{40})} \right) (13) = 207,19 \text{ mm}$

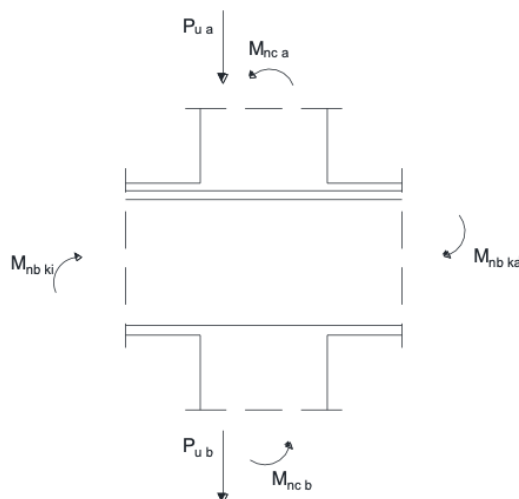
Perhitungan Strong Column Weak Beam

- Momen Nominal Kolom di Atas HBK

$$M_{nc_1} = 912 \text{ kN.m}$$

- Momen Nominal Kolom di Bawah HBK

$$M_{nc_2} = 854 \text{ kN.m}$$

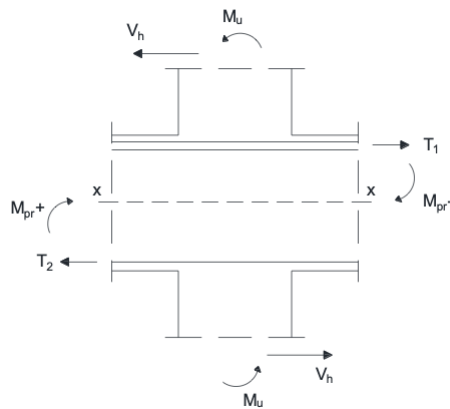


Gambar 6.11 Ilustrasi momen pada *joint* balok-kolom

- $$\sum M_{nc} > 1,2 \sum M_{nb}$$
- $M_{nc_1} + M_{nc_2} > 1,2 (M_{nb_1} + M_{nb_2}) = 1002,3 \text{ kN.m} \rightarrow (\text{OK})$

Perhitungan Kekuatan Geser pada HBK

- $\chi = \frac{b_{kolom} - b_{balok}}{2} = \frac{750 - 550}{2} = 100$
- $b_{e1} = b_{balok} + h_{kolom} = 550 + 750 = 1300 \text{ mm}$
- $b_{e2} = b_{balok} + 2\chi = 550 + 2(100) = 750 \text{ mm}$
- $b_{e1} = 1300 \text{ mm} > b_{e2} = 750 \text{ mm} \rightarrow b_e = 750 \text{ mm}$
- $A_j = b_e h = (750)(750) = 562500 \text{ mm}^2 \quad (\text{SNI 2847:2019 Ps 18.8.4.3})$
- $V_n = 1,7 \lambda \sqrt{f'_c} A_j \quad (\text{SNI 2847:2019 Ps 18.8.4.1})$
- $V_n = 1,7(1)(\sqrt{70})(562500) = 8000561,4 \text{ N} \approx 8000 \text{ kN}$
- $\emptyset V_n = 0,75(8000) = 6000 \text{ kN}$



Gambar 6.12 Ilustrasi gaya geser pada *joint* balok-kolom

- $M_{ju} = \frac{M_{pr+} + M_{pr-}}{2} = \frac{617,57 + 907,58}{2}$
- $M_{ju} = 762,58 \text{ kN.m}$
- $V_h = 2 \frac{M_u}{L} = \frac{2(289,12)}{4,3} = 134 \text{ kN}$
- $T_{1_{ki}} = 1,25 f_y A_{s1} = 1,25(420)(982,142) = 1289,0625$
- $T_{2_{ki}} = 1546,875 \text{ kn}$
- $T_{1_{ka}} = T_{1_{ki}} = 1546,875 \text{ kn}$
- $T_{2_{ka}} = C_{1_{ki}} = 1546,875 \text{ kn}$
- $V_{ju} = (V_h - T_{1_{ki}} - T_{2_{ka}}) = 2726,332317$
- Cek $\emptyset V_n \geq V_{ju}$ (OK)

6.3.1.2 Hubungan Balok Kolom Interior Arah Y

Dimensi Balok BI 2:

- $b_b = 500 \text{ mm}$
- $h_b = 650 \text{ mm}$
- $L = 6000 \text{ mm}$
- $c = 50 \text{ mm}$

Tulangan Lentur Atas :

- $D_{lb} = 25 \text{ mm}$
- $A_{sl} = 491,07 \text{ mm}^2$
- $n_{lapis} = 1 \text{ lapis}$
- $n_{lb} = 2 \text{ buah}$
- $d = h - \text{cover} - \emptyset - \frac{D}{2} = 650 - 50 - 13 - \frac{25}{2}$
- $d = 574,5 \text{ mm}$
- $A'_{sl} = 982,142 \text{ mm}^2$
- $f_y = 420 \text{ MPa}$
- $M_{nb_{ka}} = 1002,3 \text{ kN.m}$
- $M_{nb_{ki}} = M_{nb_{ka}} = 1002,3 \text{ kN.m}$
- $\alpha_{pr_{ka}} = \frac{A'_{sl}(1,25f_y)}{0,85 f'_c b} = \frac{982,142(1,25(420))}{0,85(40)(550)} = 27,57$
- $M_{pr_1} = 1,25 A'_{sl} f_y \left(d - \frac{\alpha_{pr}}{2}\right) = 1,25(982,142)(420) \left(574,5 - \frac{27,57}{2}\right) = 289,12 \text{ kN.m}$
- $M_{pr_2} = M_{pr_1} = 289,12 \text{ kN.m}$

Tulangan Sengkang Balok BI 2

- $\emptyset = 13 \text{ mm}$
- $A_v = 132,785 \text{ mm}^2$
- $f_{yt} = 280 \text{ MPa}$
- $f_{ut} = 350 \text{ MPa}$

Kolom di Atas HBK

- $L = 3300 \text{ mm}$
- $b = 550 \text{ mm}$
- $h = 550 \text{ mm}$
- $A_g = bh = (550)(550) = 302500 \text{ mm}^2$
- Tulangan Longitudinal
- $D_l = 22 \text{ mm}$
- Tulangan Tranversal
- $D_t = 16 \text{ mm}$
- $M_{ncx_1} = 912 \text{ kN.m}$

Kolom di Bawah HBK

- $L = 4300 \text{ mm}$
- $b_c = 750 \text{ mm}$
- $h_c = 750 \text{ mm}$
- $c_c = 50 \text{ mm}$
- $A_g = bh = (750)(750) = 562500 \text{ mm}^2$

Tulangan Longitudinal

- $D_{lc} = 22 \text{ mm}$
- $n_{lc} = 20 \text{ buah}$

Tulangan Tranversal

- $D_{tc} = 16 \text{ mm}$
- $d_c = h_c - \text{cover} - \emptyset - \frac{D_{lc}}{2}$

- $d_c = 750 - 50 - 16 - \frac{22}{2} = 762 \text{ mm}$
- $M_{ncx_2} = 2616,06 \text{ kN.m}$

Panjang Penyaluran Balok

- $\Psi_t = 1$ (SNI 2847:2019 Ps 25.4.2.4)
- $\Psi_e = 1$ (SNI 2847:2019 Ps 25.4.2.4)
- $\Psi_c = 1$ (SNI 2847:2019 Ps 25.4.3.2)
- $\Psi_r = 1$ (SNI 2847:2019 Ps 25.4.3.2)
- $l_d = \left(\frac{f_y \Psi_t \Psi_e}{1,7 \lambda \sqrt{f'_c}} \right) d_b = \left(\frac{(420)(1)(1)}{1,7(1)\sqrt{40}} \right) (13) = 507 \text{ mm} \rightarrow \text{menentukan}$
- $l_d = \left(\frac{0,24 f_y \Psi_e \Psi_c \Psi_r}{\lambda \sqrt{f'_c}} \right) d_b = \left(\frac{0,24(420)(1)(1)(1)}{(1)(\sqrt{40})} \right) (13) = 207,19 \text{ mm}$

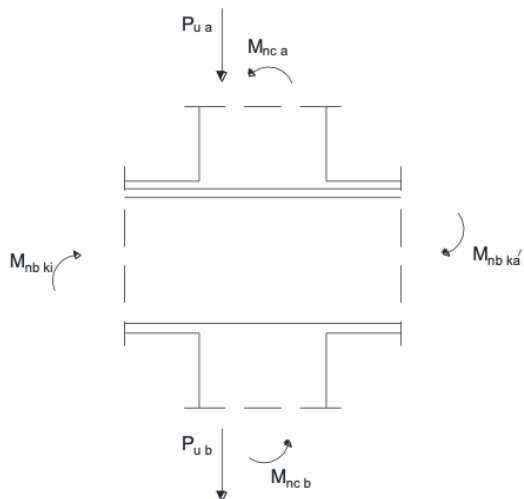
Perhitungan Strong Column Weak Beam

- Momen Nominal Kolom di Atas HBK

$$M_{nc_1} = 912 \text{ kN.m}$$

- Momen Nominal Kolom di Bawah HBK

$$M_{nc_2} = 854 \text{ kN.m}$$



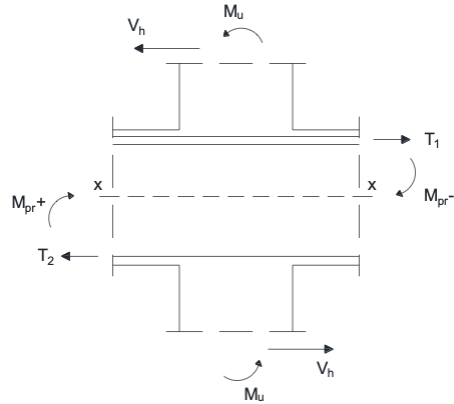
Gambar 6.13 Ilustrasi momen pada *joint* balok-kolom

- $$\sum M_{nc} > 1,2 \sum M_{nb}$$
- $M_{nc_1} + M_{nc_2} > 1,2 (M_{nb_1} + M_{nb_2}) = 1002,3 \text{ kN.m} \rightarrow (\text{OK})$

Perhitungan Kekuatan Geser pada HBK

- $x = \frac{b_{kolom} - b_{balok}}{2} = \frac{750 - 550}{2} = 100$
- $b_{e1} = b_{balok} + h_{kolom} = 550 + 750 = 1300 \text{ mm}$
- $b_{e2} = b_{balok} + 2x = 550 + 2(100) = 750 \text{ mm}$

- $b_{e_1} = 1300 \text{ mm} > b_{e_2} = 750 \text{ mm} \rightarrow b_e = 750 \text{ mm}$
- $A_j = b_e h = (750)(750) = 562500 \text{ mm}^2$ (SNI 2847:2019 Ps 18.8.4.3)
- $V_n = 1,7 \lambda \sqrt{f'_c} A_j$ (SNI 2847:2019 Ps 18.8.4.1)
- $V_n = 1,7(1)(\sqrt{70})(562500) = 8000561,4 \text{ N} \approx 8000 \text{ kN}$
- $\emptyset V_n = 0,75(8000) = 6000 \text{ kN}$



Gambar 6.14 Ilustrasi gaya geser pada *joint* balok-kolom

- $M_{ju} = \frac{M_{pr+}^+ + M_{pr-}^-}{2} = \frac{617,57 + 907,58}{2}$
- $M_{ju} = 762,58 \text{ kN.m}$
- $V_h = 2 \frac{M_u}{L} = \frac{2(289,12)}{4,3} = 134 \text{ kN}$
- $T_{1_{ki}} = 1,25 f_y A_{s1} = 1,25(420)(982,142) = 1289,0625$
- $T_{2_{ki}} = 1546,875 \text{ kn}$
- $T_{1_{ka}} = T_{1_{ki}} = 1546,875 \text{ kn}$
- $T_{2_{ka}} = C_{1_{ki}} = 1546,875 \text{ kn}$
- $V_{ju} = (V_h - T_{1_{ki}} - T_{2_{ka}}) = 2726,332317$
- Cek $\emptyset V_n \geq V_{ju}$ (OK)

6.3.2 Kolom K1 Mutu Normal

Diketahui data-data kolom sebagai berikut :

$$f'_c = 35 \text{ MPa}$$

$$W_c = 2400 \frac{\text{kg}}{\text{m}^3}$$

$$E_c = W_c^{1,5} \cdot 0,043\sqrt{f'_c}$$

$$E_c = 2400^{1,5} \cdot 0,043\sqrt{35} = 29910,2 \text{ MPa}$$

$$E_s = 200000 \text{ MPa}$$

$$f_{yp} = 280 \text{ MPa}$$

$$f_{yd} = 420 \text{ MPa}$$

$$f'_c = 35 \text{ MPa}$$

$$28 \text{ MPa} < f'_c < 55 \text{ MPa}$$

$$\beta_1 = 0,85 - \frac{0,05 \cdot (f'_c - 28)}{7} = 0,8$$

$\lambda = 1$ (Beton Normal)

Tipe Kolom : Kolom Lantai 1

- $L = 4300 \text{ mm}$

- $b = 750 \text{ mm}$

- $h = 750 \text{ mm}$

- $h_n = L - \left(\frac{h_{balok \ atas}}{2} + \frac{h_{balok \ bawah}}{2} \right)$

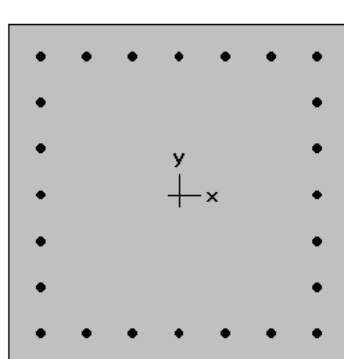
- $h_n = 4300 - \left(\frac{750}{2} + \frac{750}{2} \right) = 3550 \text{ mm}$

Dari hasil permodelan SAP2000 didapatkan beban pada kolom lantai 1 sebagai berikut :

- $P_u = 5313,67 \text{ kN}$
- $V_u = 250,422 \text{ kN}$
- $T_u = 5,9798 \text{ kN.m}$

- Perhitungan Tulangan Lentur

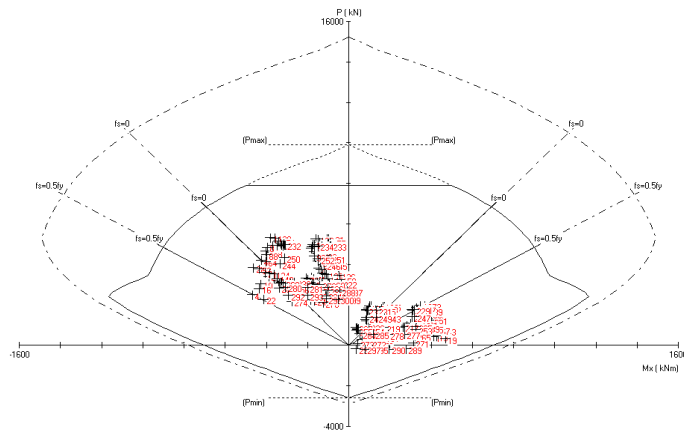
Pada perhitungan tulangan lentur menggunakan program bantu SPColumn dengan menginput gaya aksial dan momen dari ETABS, dan direncanakan menggunakan dimensi 750 X 750 mm dengan tulangan longitudinal 24D19.



Gambar 6.15 Penampang Kolom Lantai 1

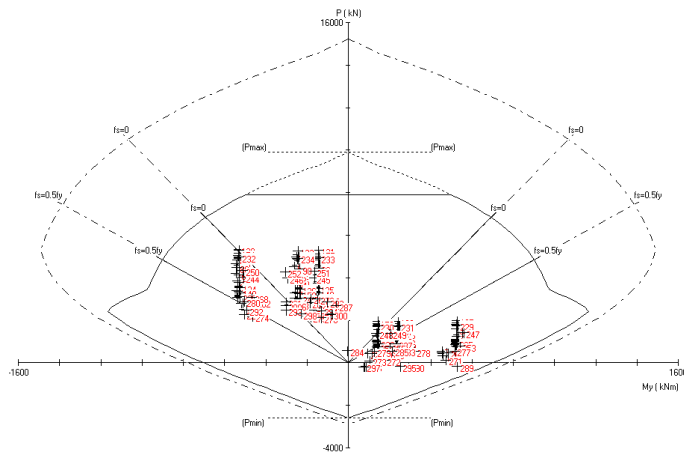
Didapatkan hasil input beban untuk arah x, arah y dan biaxial pada SPColumn sebagai berikut :

- Arah X



Gambar 6.16 Hasil SPColumn Arah X Kolom Lantai 1
Didapatkan M_{nc} Kolom Arah X = 854 kN.m

- Arah Y



Didapatkan M_{nc} Kolom Arah Y = 840 kN.m

- Biaxial

Digunakan dimensi kolom sebagai berikut :

$$A_g = b \times h = 750 \times 750 = 562500 \text{ mm}^2$$

$$A_{cp} = A_g = 562500 \text{ mm}^2$$

$$P_{cp} = 2 \times (b + h) = 2 \times (750 + 750) = 2600 \text{ mm}$$

Diameter Tul. Longitudinal (D_l) = 22 mm

$$A_l = \frac{\pi}{4} 22^2 = 380,08 \text{ mm}^2$$

Jumlah Tul. Longitudinal = 24 buah

Diameter Tul. Transversal (D_t) = 16 mm

$$A_{sl} = 24 \cdot \frac{\pi}{4} 16^2 = 62,26 \text{ mm}^2$$

$$A_{oh} = \left(b - 2c - 2 \frac{D_t}{2} \right) x \left(h - 2c - 2 \frac{D_t}{2} \right)$$

$$A_{oh} = \left(650 - 2 \cdot 40 - 2 \frac{16}{2} \right) x \left(650 - 2 \cdot 40 - 2 \frac{16}{2} \right) = 310249 \text{ mm}^2$$

$$A_o = 0,85 \times A_{oh} = 0,85 \times 310249 = 263711,65 \text{ mm}^2$$

$$P_h = \left(b - 2c - 2 \frac{D_t}{2} \right) + \left(h - 2c - 2 \frac{D_t}{2} \right)$$

$$P_h = 2 \times \left(\left(650 - 2 \cdot 40 - 2 \frac{16}{2} \right) + \left(650 - 2 \cdot 40 - 2 \frac{16}{2} \right) \right) = 2228 \text{ mm}$$

Kontrol Luas Tulangan menurut SNI 2847:2019 Pasal 18.7.4.2, sebagai berikut :

$$0,01 A_g < A_{sl} < 0,06 A_g$$

$$4225 \text{ mm}^2 < 6804,69 \text{ mm}^2 < 25350 \text{ mm}^2 (\text{OK})$$

Kontrol Manual akibat beban Pu menurut SNI 2847:2019 Pasal 22.4.2.2. Dengan menggunakan Sengkang persegi, perhitungan control manual adalah sebagai berikut :

$$P_o = 0,85 \cdot f'_c (A_g - A_{sl}) + f_y \cdot A_{sl}$$

$$P_o = 0,85 \cdot 35 (422500 - 6804,69) + 420 \cdot 6804,69 = 15224905,27 \text{ N} = 15224,9 \text{ kN}$$

$$P_o = 15224,9 \text{ kN}$$

$$P_{n\ max} = 0,8 P_o = 0,8 \times 15224,9 = 12179,92 \text{ kN} > P_u = 5313,67 \text{ kN} (\text{OK})$$

- Perhitungan Tulangan Torsi

Perhitungan tulangan torsi pada kolom dihitung menggunakan SNI 2847:2019 Pasal 22.7.1.1.

Berikut perhitungan kebutuhan tulangan torsi kolom :

$$\phi T_{th} = \phi 0,083 \lambda \sqrt{f'_c} \left(\frac{A_{cp}^2}{P_{cp}} \right) \sqrt{1 + \frac{P_u}{0,33 A_g \lambda \sqrt{f'_c}}} \\ \phi T_{th} = 0,75 \cdot 0,083 \cdot 1 \sqrt{35} \left(\frac{422500^2}{2600} \right) \sqrt{1 + \frac{5313669}{0,33 \cdot 422500 \cdot 1 \cdot \sqrt{35}}} = 68,995 \text{ kN}$$

$$T_u = 5,9798 \text{ kN.m} < \phi T_{th} = 68,995 \text{ kN.m}$$

Jika $T_u < \phi T_{th}$ maka digunakan tulangan torsi minimum sebagai berikut :

$$A_l \text{ akibat Torsi} = \frac{T_u P_h}{2 A_o f_y} = \frac{5979800 \cdot 2228}{2 \cdot 263771,65 \cdot 420} = 80,192 \text{ mm}^2 < 283,53 \text{ mm}^2 (\text{OK})$$

- Perhitungan Tulangan Geser

Gaya geser desain V_c harus ditentukan dari peninjauan terhadap gaya gaya maksimum yang terjadi pada muka joint dengan sesuai dengan SNI 2847:2019 Pasal 18.7.6.1.1.

- Column Hinging

$$V_{sway1} = \frac{2M_{nc}}{h_n} = \frac{2 \times 854}{3,9} = 437,95 \text{ kN}$$

- Beam Hinging

$$M_{c1} = M_{prb} = 826,69 \text{ kN.m}$$

$M_{c2} = 0$ (karena tidak ada balok di bawah kolom lantai dasar)

$$V_{sway1} = \frac{M_{c1} + M_{c2}}{h_n} = \frac{826,69 + 0}{3,9} = 211,97 \text{ kN} (\text{Menentukan!!})$$

Nilai V_c dianggap 0 jika memenuhi syarat berikut menurut Pasal 18.7.6.2.1

- $V_{sway} \geq 0,5 V_u$

$$211,97 \text{ kN} \geq 0,5 \times 250,422$$

$$211,97 \text{ kN} \geq 125,211 \text{ kN} (\text{OK})$$

- $0,05 f'_c A_g \geq P_u$

$$0,05 \times 35 \times 650 \times 650 \geq 5313,67 \text{ kN}$$

$$739,375 \text{ kN} \geq 5313,67 \text{ kN} (\text{NOT OK})$$

Sehingga nilai V_c diperhitungkan dalam perencanaan tulangan transversal berdasarkan SNI 2847:2019 Pasal 22.5.6.1

$$\phi V_c = \phi 0,17x \left(1 + \frac{N_u}{14A_g} \right) \lambda \sqrt{f'_c} b_w d$$

$$\phi V_c = 0,75 \times 0,17 \times \left(1 + \frac{5313,67 \times 10^3}{14 \times 650 \times 650} \right) \times 1 \times \sqrt{35} \times 650 \times 603,5 = 561705,15 \text{ N}$$

$$\phi V_c = 561,705 \text{ kN}$$

$$V_s = \frac{Vu - \phi V_c}{\phi}$$

$$V_s = \frac{250,422 - 561,705}{0,75} = -415,04 \text{ kN}$$

$$\frac{A_v}{s} = \frac{V_s}{f_y d}$$

$$s = \frac{A_v \cdot f_y \cdot d}{V_s}$$

Direncanakan menggunakan 4 kaki dengan Ø13

$$A_v = 4 \cdot \frac{\pi}{4} \cdot 13^2 = 530,93 \text{ mm}^2$$

$$s = \frac{530,93 \cdot 420 \cdot 603,5}{-415044} = -324,24 \text{ mm} \text{ (Pakai } s \text{ minimum)}$$

Spasi minimum untuk seluruh bentang kolom menurut SNI 2847:2019 Pasal 10.6.2.2 dan 18.7.5.5 adalah sebagai berikut :

- $s_{min1} = \frac{A_v \times f_y}{0,062 \sqrt{f'_c} b_w}$
- $s_{min1} = \frac{530,93 \times 420}{0,062 \sqrt{35} 650} = 935,3 \text{ mm}$
- $s_{min2} = \frac{A_v \times f_y}{0,35 b_w}$
- $s_{min2} = \frac{530,93 \times 420}{0,35 650} = 980,177 \text{ mm}$
- $s_{min3} = 6 D_l = 6 \times 19 = 114 \text{ mm}$
- $s_{min4} = 150 \text{ mm}$

$$s_{min} = 114 \text{ mm} \approx 100 \text{ mm}$$

Spasi minimum sepanjang sendi plastis (lo) menurut SNI 2847:2019 Pasal 18.7.5.1 adalah sebagai berikut :

Panjang sendi plastis (lo) untuk bentang kolom :

- $l_o = h = 650 \text{ mm}$
- $l_o = \frac{1}{6} h_n = \frac{1}{6} 3900 = 650 \text{ mm} \text{ (Menentukan)}$
- $l_o = 450 \text{ mm}$

Spasi minimum pada sendi plastis (lo) :

Spasi minimum untuk kolom dengan sistem pemikul momen khusus menurut SNI 2847:2019 Pasal 18.7.5.4 adalah sebagai berikut :

$$b_c = b - 2c - 2 \frac{D_t}{2}$$

$$b_c = 650 - 2 \times 40 - 2 \frac{19}{2} = 557 \text{ mm}$$

$$A_{ch} = (b - 2c)x(h - 2c)$$

$$A_{ch} = (650 - 2 \times 40)x(750 - 2 \times 40) = 324900 \text{ mm}^2$$

Dengan $f'_c < 70 \text{ MPa}$, maka digunakan rumus sebagai berikut :

- $s_1 \leq \frac{A_{sh} \times f_y}{0,3 b_c f'_c \left(\frac{A_g}{A_{ch}} - 1 \right)}$
- $s_1 \leq \frac{530,93 \times 420}{0,3 557 35 \left(\frac{422500}{324900} - 1 \right)} = 126,92 \text{ mm} \text{ (Menentukan)}$
- $s_2 \leq \frac{A_{sh} \times f_y}{0,09 b_c f'_c}$

- $s_2 \leq \frac{530,93 \times 420}{0,09 \cdot 557,35} = 127,09 \text{ mm}$
- $s = \frac{1}{4} \text{ Dimensi terkecil penampang kolom} = \frac{1}{4} 650 = 162,5 \text{ mm}$
- $s = 6 D_l = 6 \times 22 = 114 \text{ mm (Menentukan)}$
- $s_o = 100 + \left(\frac{350-h_x}{3} \right), h_x = , \text{ maka } s_o = 100 + \left(\frac{350-87,5}{3} \right) = 187,5 \text{ mm}$

Sehingga, digunakan $s = 200 \text{ mm}$ sepanjang kolom untuk memenuhi kebutuhan akibat sistem rangka pemikul momen khusus.

- Kontrol Batasan Penampang menurut SNI 2847:2019 Pasal 22.7.7.1

$$\sqrt{\left(\frac{V_u}{b_w d}\right)^2 + \left(\frac{T_u P_h}{1,7 A_{oh}^2}\right)^2} \leq \phi \left(\frac{V_c}{b_w d} + 0,66\sqrt{f'_c} \right)$$

$$\sqrt{\left(\frac{250422}{650 \cdot 603,5}\right)^2 + \left(\frac{597980 \times 2228}{1,7 \cdot 310249^2}\right)^2} \leq 0,75 \left(\frac{561,705}{0,75 \times 650 \times 603,5} + 0,66\sqrt{35} \right)$$

$$0,64355 \leq 4,36 \text{ (OK)}$$

6.3.3 Pendetailan Tulangan

1. Penentuan selimut Beton (SNI 10.7.1.1) mengacu (Tabel 20.6.1.3.1) SNI 2847 2019
Karena digunakan tulangan D13 maka tebal selimut beton (Cc) adalah 40 mm.
2. Panjang penyaluran tulangan ulir sesuai pasal 25.4 SNI 2847 2019
3. Pasal 25.4.1.4 Nilai $\sqrt{f'_c}$ yang digunakan untuk menghitung panjang penyaluran tidak boleh lebih dari 8,3 MPa.

$$\sqrt{f'_c} = \sqrt{35} = 5,92 \text{ Mpa} \quad (\text{OK})$$

Pasal 25.4.2.1 Penyaluran tulangan tarik lentur harus memiliki panjang penyaluran ld

$$\Psi_e = 1 \quad (\text{Tabel 25.4.2.4})$$

$$\Psi_s = 0,8 \quad (\text{Tabel 25.4.2.4})$$

$$\Psi_t = 1,3 \quad (\text{Tabel 25.4.2.4})$$

$$\lambda = 1$$

$$f'_c = 35 \text{ MPa}$$

$$f_y = 420 \text{ MPa}$$

$$d_b = 25 \text{ mm}$$

$$K_{tr} = 0 \quad (\text{Pasal 25.4.2.3})$$

Maka, Panjang penyaluran batang ulir dalam kondisi Tarik (ld):

- Dihitung berdasarkan (Tabel 25.4.2.2. SNI 2847 2019)

$$\text{a. } \frac{f_y \Psi_t \Psi_e}{2,1 \lambda \sqrt{f'_c}} d_b = \frac{420 \times 1,3 \times 1}{2,1 \times 1 \times \sqrt{35}} \times 25 = 1098,70 \text{ mm}$$

$$\text{b. } 300 \text{ mm}$$

- Dihitung berdasarkan Pasal 25.4.2.3

$$\frac{f'c}{1,1 \lambda \sqrt{f'c}} \frac{\varphi t \varphi e \varphi s}{\frac{cb+Ktr}{db}} db = \frac{35}{1,1 \times 1 \times \sqrt{35}} \frac{1,3 \times 0,8 \times 1}{\frac{46,5+0}{25}} \times 25 = 902,16 \text{ mm}$$

$$ld \ max = 1098,70 \text{ mm}$$

Maka, diambil panjang penyaluran batang ulir dalam kondisi Tarik (ld) sebesar 1100 mm

4. Pasal 25.4.3.1 Panjang penyaluran tarik ldh batang ulir yang diakhiri dengan suatu "kait" standar harus diambil terbesar dari perhitungan ldh berikut:

$$\Psi_c = 0,7 \quad (\text{Tabel 25.4.3.2})$$

$$\Psi_r = 1$$

$$f'c = 35 \text{ MPa}$$

$$f_y = 420 \text{ MPa}$$

$$db = 25 \text{ mm}$$

Panjang penyaluran Tarik "ldh" dihitung berdasarkan Pasal 25.4.3.1.

$$a. \frac{0,24 f_y \varphi e \varphi c \varphi r}{\lambda \sqrt{f'c}} \times db = \frac{0,24 \times 420 \times 1 \times 0,7 \times 0,8}{1 \sqrt{35}} \times 25 = 298,17 \text{ mm}$$

$$b. 8db = 8 \times 25 = 200 \text{ mm}$$

$$c. 150 \text{ mm}$$

Maka, panjang penyaluran "kait" kondisi tarik (ldh) adalah 298,17 mm

5. Pasal 25.4.3.3 Jarak sengkang sepanjang penyaluran ldh:

Diketahui:

$$db = 22 \text{ mm}$$

- a. Kait harus dilingkupi sepanjang ldh dengan Sengkang ikat atau sengkang dengan spasi $S \leq 3db$

$$S \leq 3 \times 25 = 75 \text{ mm}$$

- b. Sengkang ikat atau Sengkang pertama harus dipasang sejarak $2db$ disisi terluar bengkokan

$$S = 2db = 2 \times 25 = 50 \text{ mm}$$

- c. Ψ_r harus diambil sebesar 1 dalam perhitungan ldh sesuai Pasal 25.4.3.1.(a)
Berdasarkan hasil perhitungan Pasal 25.4.3.1.(a) didapat ldh = 298,17 mm

6. Pasal 25.4.9 Panjang penyaluran ldc untuk batang ulir dalam kondisi "tekan" harus yang terbesar dari perhitungan berikut:

$$\Psi_r = 0,75$$

Panjang penyaluran tulangan ulir "tekan" dihitung berdasarkan:

- Pasal 25.4.9.1.

- e. Hasil dari Pasal 25.4.9.2.

- f. 200mm

- Pasal 25.4.9.2

$$e. \frac{0,24 f_y \varphi r}{\lambda \sqrt{f'c}} db = \frac{0,24 \times 420 \times 0,75}{1 \times \sqrt{35}} \times 25 = 319,47 \text{ mm}$$

$$f. 0,043 f_y \varphi r db = 0,043 \times 420 \times 0,75 \times 25 = 338,63 \text{ mm}$$

Maka, nilai Panjang penyaluran tekan "ldc" adalah 338,63 mm, digunakan 340 mm

7. Spasi minimum tulangan longitudinal sesuai pasal 25.2.3 SNI 2847 2019 adalah nilai terbesar dari:

- a. 40 mm
- b. $1,5 \text{ db} = 1,5 \times 25 = 37,5 \text{ mm}$
- c. $\frac{4}{3} d \text{ agregat} = \frac{4}{3} \times 20 = 26,67 \text{ mm}$ (asumsi $d \text{ agregat} = 20 \text{ mm}$)

8. Panjang sambungan lewatan batang ulir sesuai pasal 25.5

- Pasal 25.5.2.1 Panjang sambungan lewatan batang ulir dalam kondisi Tarik (lst) Diketahui:

$$As \text{ terpasang} = 5887,5 \text{ mm}^2$$

$$As \text{ perlu} = 3600 \text{ mm}^2$$

$$\frac{Ast}{Asp} = \frac{5887,5}{3600} = 1,64 < 2$$

Digunakan tipe sambungan lewatan kelas B, maka lst adalah nilai terbesar dari:

- a. $1,3 ld = 1,3 \times 1098,70 = 1428,3 \text{ mm}$
- b. 300 mm

Maka nilai lst adalah 1428,3 mm.

- Pasal 25.5.5.1 Panjang sambungan lewatan batang ulir kondisi tekan ($f_y = 420$) adalah nilai terbesar dari:
 - a. $0,071 f_y \cdot db = 0,071 \times 420 \times 25 = 745,5 \text{ mm}$
 - b. 300 mm

Maka nilai lsc adalah 745,5 mm.

Pasal 10.7.5.2.1 Faktor pengurangan sambungan lewatan kondisi tekan:

$$Spasi \text{ sengkang} = 150 \text{ mm}$$

$$0,0015 \cdot h \cdot s = 0,0015 \times 600 \times 150 = 135 \text{ mm}^2$$

$$Ab \text{ (luas sengkang)} = 530,66 \text{ mm}^2$$

Kontrol $Ab > 0,0015 h \cdot s$ (OK)

Faktor pengurangan sambungan lewatan adalah 0,83, sehingga:

$$\text{Panjang lsc terfaktor} = 0,83 \times 745,5 = 618,765 \text{ mm}$$

9. Pasal 25.5.7.1 Sambungan las atau mekanis harus mampu mengembangkan tarik/tekan paling sedikit:

$$1,25 f_y = 1,25 \times 420 \text{ MPa} = 525 \text{ MPa}$$

Pasal 25.5.7.4 Sambungan pada tulangan yang bersebelahan harus dibuat berselang-seling paling sedikit 750 mm.

10. SNI 2847-2019 Pasal 18.7.4.3

Lap splices hanya boleh dipasang di tengah tinggi kolom, dan harus di ikat dengan tulangan sengkang (confinement). Sepanjang lap splices (sambungan lewatan), spasi tulangan transversal dipasang sesuai spasi tulangan confinement yaitu = 100 mm

6.3.4 Kolom Lantai 2

Diketahui data-data kolom sebagai berikut :

$$f'_c = 35 \text{ MPa}$$

$$W_c = 2400 \frac{\text{kg}}{\text{m}^3}$$

$$E_c = W_c^{1,5} \cdot 0,043 \sqrt{f'_c}$$

$$E_c = 2400^{1,5} \cdot 0,043 \sqrt{35} = 29910,2 \text{ MPa}$$

$$E_s = 200000 \text{ MPa}$$

$$f_{yp} = 280 \text{ MPa}$$

$$f_{yd} = 420 \text{ MPa}$$

$$f'_c = 35 \text{ MPa}$$

$$28 \text{ MPa} < f'_c < 55 \text{ MPa}$$

$$\beta_1 = 0,85 - \frac{0,05 \cdot (f'_c - 28)}{7} = 0,8$$

$\lambda = 1$ (Beton Normal)

Tipe Kolom : Kolom Lantai 2

$$- h_n = L - \left(\frac{h_{balok\ atas}}{2} + \frac{h_{balok\ bawah}}{2} \right)$$

$$- h_n = 3300 - \left(\frac{750}{2} + \frac{750}{2} \right) = 3550 \text{ mm}$$

$$h_n = Tinggi\ Kolom - \left(\frac{h_{Balok}}{2} + \frac{h_{Balok}}{2} \right)$$

$$h_n = 4 - \left(\frac{600}{2} + \frac{600}{2} \right) = 3,4 \text{ m}$$

Dari hasil permodelan ETABS didapatkan beban pada kolom lantai 2 sebagai berikut :

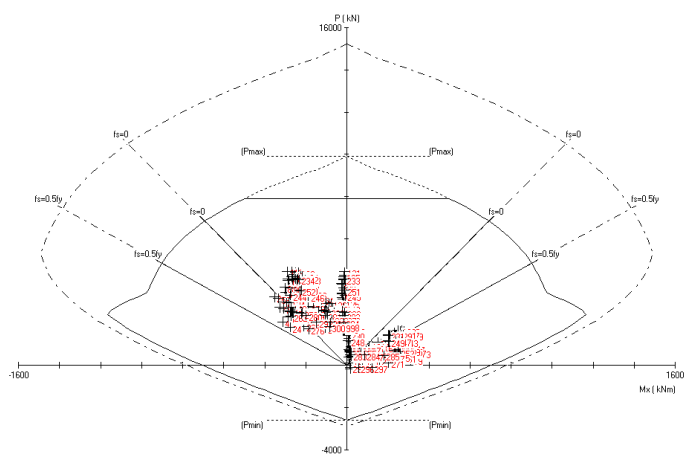
- $P_u = 4457,625 \text{ kN}$
- $V_u = 253,32 \text{ kN}$
- $T_u = 11,15 \text{ kN.m}$

- Perhitungan Tulangan Lentur

Pada perhitungan tulangan lentur menggunakan program bantu SPColumn dengan menginput gaya aksial dan momen dari ETABS, dan direncanakan menggunakan dimensi 550 X550 mm dengan tulangan longitudinal 24D19.

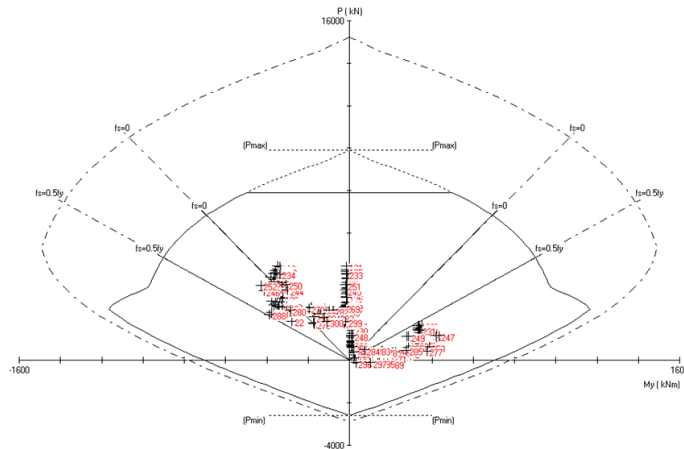
Didapatkan hasil input beban untuk arah x, arah y dan biaxial pada SPColumn sebagai berikut :

- Arah X



Gambar 6.18 Hasil SPColumn Arah X Kolom Lantai 2
Didapatkan M_{nc} Kolom Arah X = 912 kN.m

- Arah Y



Didapatkan Mnc Kolom Arah Y = 908 kN.m

- Biaxial

Digunakan dimensi kolom sebagai berikut :

$$b = 550 \text{ mm}$$

$$h = 550 \text{ mm}$$

$$A_g = b \times h = 550 \times 550 = 422500 \text{ mm}^2$$

$$A_{cp} = A_g = 422500 \text{ mm}^2$$

$$P_{cp} = 2 \times (b + h) = 2 \times (550 + 550) = 2600 \text{ mm}$$

$$\text{Diameter Tul. Longitudinal } (D_l) = 22 \text{ mm}$$

$$A_l = \frac{\pi}{4} 19^2 = 283,53 \text{ mm}^2$$

Jumlah Tul. Longitudinal = 24 buah

$$\text{Diameter Tul. Transversal } (D_t) = 16 \text{ mm}$$

$$A_{sl} = 24 \cdot \frac{\pi}{4} 19^2 = 6804,69 \text{ mm}^2$$

$$A_{oh} = \left(b - 2c - 2 \frac{D_t}{2} \right) \times \left(h - 2c - 2 \frac{D_t}{2} \right)$$

$$A_{oh} = \left(650 - 2 \cdot 40 - 2 \frac{16}{2} \right) \times \left(550 - 2 \cdot 40 - 2 \frac{16}{2} \right) = 310249 \text{ mm}^2$$

$$A_o = 0,85 \times A_{oh} = 0,85 \times 310249 = 263711,65 \text{ mm}^2$$

$$P_h = \left(b - 2c - 2 \frac{D_t}{2} \right) + \left(h - 2c - 2 \frac{D_t}{2} \right)$$

$$P_h = 2 \times \left(\left(550 - 2 \cdot 40 - 2 \frac{16}{2} \right) + \left(550 - 2 \cdot 40 - 2 \frac{16}{2} \right) \right) = 2228 \text{ mm}$$

Kontrol Luas Tulangan menurut SNI 2847:2019 Pasal 18.7.4.2, sebagai berikut :

$$0,01 A_g < A_{sl} < 0,06 A_g$$

$$4225 \text{ mm}^2 < 6804,69 \text{ mm}^2 < 25350 \text{ mm}^2 (\text{OK})$$

Kontrol Manual akibat beban Pu menurut SNI 2847:2019 Pasal 22.4.2.2. Dengan menggunakan Sengkang persegi, perhitungan control manual adalah sebagai berikut :

$$P_o = 0,85 \cdot f'_c (A_g - A_{sl}) + f_y \cdot A_{sl}$$

$$P_o = 0,85 \cdot 35 (422500 - 6804,69) + 420 \cdot 6804,69 = 15224905,27 \text{ N} = 15224,9 \text{ kN}$$

$$P_o = 15224,9 \text{ kN}$$

$$P_{n\ max} = 0,8 P_o = 0,8 \times 15224,9 = 12179,92 \text{ kN} > P_u = 4457,625 \text{ kN (\text{OK})}$$

- Perhitungan Tulangan Torsi

Perhitungan tulangan torsi pada kolom dihitung menggunakan SNI 2847:2019 Pasal 22.7.1.1.
Berikut perhitungan kebutuhan tulangan torsi kolom :

$$\phi T_{th} = \phi 0.083 \lambda \sqrt{f'_c} \left(\frac{A_{cp}}{P_{cp}} \right)^2 \sqrt{1 + \frac{P_u}{0,33 A_g \lambda \sqrt{f'_c}}} \\ \phi T_{th} = 0,75 \cdot 0,083 \cdot 1 \sqrt{35} \left(\frac{422500^2}{2600} \right) \sqrt{1 + \frac{4457625}{0,33 \cdot 422500 \cdot 1 \cdot \sqrt{35}}} = 63,985 \text{ kN}$$

$$T_u = 11,15 \text{ kN.m} < \phi T_{th} = 63,985 \text{ kN.m}$$

Jika $T_u < \phi T_{th}$ maka digunakan tulangan torsi minimum sebagai berikut :

$$A_l \text{ akibat Torsi} = \frac{T_u P_h}{2 A_o f_y} = \frac{11150600 \cdot 2228}{2 \cdot 263771,65 \cdot 420} = 149,53 \text{ mm}^2 < 283,53 \text{ mm}^2 (\text{OK})$$

- Perhitungan Tulangan Geser

Gaya geser desain V_e harus ditentukan dari peninjauan terhadap gaya gaya maksimum yang terjadi pada muka joint dengan sesuai dengan SNI 2847:2019 Pasal 18.7.6.1.1.

$$V_{sway1} = \frac{2M_{nc}}{h_n} = \frac{2 \times 912}{3,4} = 536,47 \text{ kN}$$

- Beam Hinging

$$M_{c1} = M_{prb} = 826,69 \text{ kN.m}$$

$$M_{c2} = 0 \text{ (karena tidak ada balok di bawah kolom lantai dasar)}$$

$$V_{sway1} = \frac{Mc1+Mc2}{Hn} = \frac{826,69+0}{3,4} = 243,14 \text{ kN} \text{ (Menentukan)}$$

Nilai V_c dianggap 0 jika memenuhi syarat berikut menurut Pasal 18.7.6.2.1

- $V_{sway} \geq 0,5 V_u$

$$243,14 \text{ kN} \geq 0,5 \times 253,318$$

$$243,14 \text{ kN} \geq 126,66 \text{ kN} \text{ (OK)}$$

- $0,05 f'_c A_g \geq P_u$

$$0,05 \times 35 \times 650 \times 650 \geq 4457,625 \text{ kN}$$

$$739,375 \text{ kN} \geq 4457,625 \text{ kN} \text{ (NOT OK)}$$

Sehingga nilai V_c diperhitungkan dalam perencanaan tulangan transversal berdasarkan SNI 2847:2019 Pasal 22.5.6.1

$$\phi V_c = \phi 0,17x \left(1 + \frac{N_u}{14A_g} \right) \sqrt{f'_c} b_w d$$

$$\phi V_c = 0,75 \times 0,17x \left(1 + \frac{4457,625 \times 10^3}{14 \times 650 \times 650} \right) \sqrt{35} \times 650 \times 603,5 = 518882,2 \text{ N}$$

$$\phi V_c = 518,882 \text{ kN}$$

$$V_s = \frac{V_u - \phi V_c}{\phi}$$

$$V_s = \frac{253,318 - 518,882}{0,75} = -354,08 \text{ kN}$$

$$\frac{A_v}{s} = \frac{V_s}{f_y d}$$

$$s = \frac{A_v \cdot f_y \cdot d}{V_s}$$

Direncanakan menggunakan 4 kaki dengan Ø13

$$A_v = 4 \cdot \frac{\pi}{4} \cdot 13^2 = 530,93 \text{ mm}^2$$

$$s = \frac{530,93 \cdot 420 \cdot 603,5}{-354085} = -380,064 \text{ mm} \text{ (Pakai s minimum)}$$

Spasi minimum untuk seluruh bentang kolom menurut SNI 2847:2019 Pasal 10.6.2.2 dan 18.7.5.5 adalah sebagai berikut :

- $s_{min1} = \frac{A_v x f_y}{0,062 \sqrt{f'_c} b_w}$
- $s_{min1} = \frac{530,93 x 420}{0,062 \sqrt{35} 650} = 935,3 \text{ mm}$
- $s_{min2} = \frac{A_v x f_y}{0,35 b_w}$
- $s_{min2} = \frac{530,93 x 420}{0,35 650} = 980,177 \text{ mm}$
- $s_{min3} = 6 D_l = 6 x 19 = 114 \text{ mm}$
- $s_{min4} = 150 \text{ mm}$

$$s_{min} = 114 \text{ mm}$$

Spasi minimum sepanjang sendi plastis (lo) menurut SNI 2847:2019 Pasal 18.7.5.1 adalah sebagai berikut :

Panjang sendi plastis (lo) untuk bentang kolom :

- $l_o = h = 650 \text{ mm (Menentukan)}$
- $l_o = \frac{1}{6} h_n = \frac{1}{6} 3400 = 566,67 \text{ mm}$
- $l_o = 450 \text{ mm}$

Spasi minimum pada sendi plastis (lo) :

- $s = \frac{1}{4} \text{ Dimensi terkecil penampang kolom} = \frac{1}{4} 650 = 162,5 \text{ mm}$
- $s = 6 D_l = 6 x 22 = 114 \text{ mm (Menentukan)}$
- $s_o = 100 + \left(\frac{350-h_x}{3} \right), h_x = , \text{ maka } s_o = 100 + \left(\frac{350-87,5}{3} \right) = 187,5 \text{ mm}$

$$s_o > 150, s_o = 150 \text{ mm}$$

Spasi minimum untuk kolom dengan sistem pemikul momen khusus menurut SNI 2847:2019 Pasal 18.7.5.4 adalah sebagai berikut :

$$b_c = b - 2c - 2 \frac{D_t}{2}$$

$$b_c = 650 - 2x40 - 2 \frac{16}{2} = 557 \text{ mm}$$

$$A_{ch} = (b - 2c)x(h - 2c)$$

$$A_{ch} = (650 - 2x40)x(650 - 2x40) = 324900 \text{ mm}^2$$

Dengan $f'_c < 70 \text{ MPa}$, maka digunakan rumus sebagai berikut :

- $s_1 \leq \frac{A_{sh} x f_y}{0,3 b_c f'_c \left(\frac{A_g}{A_{ch}} - 1 \right)}$
- $s_1 \leq \frac{530,93 x 420}{0,3 557 35 \left(\frac{422500}{324900} - 1 \right)} = 126,92 \text{ mm (Menentukan)}$
- $s_2 \leq \frac{A_{sh} x f_y}{0,09 b_c f'_c}$
- $s_2 \leq \frac{530,93 x 420}{0,09 557 35} = 127,09 \text{ mm}$

Sehingga, digunakan $s = 100 \text{ mm}$ sepanjang kolom untuk memenuhi kebutuhan akibat sistem rangka pemikul momen khusus.

- Kontrol Batasan Penampang menurut SNI 2847:2019 Pasal 22.7.7.1

$$\sqrt{\left(\frac{V_u}{b_w d}\right)^2 + \left(\frac{T_u P_h}{1,7 A_{oh}^2}\right)^2} \leq \phi \left(\frac{V_c}{b_w d} + 0,66\sqrt{f'_c} \right)$$

$$\sqrt{\left(\frac{253318}{650 \cdot 603,5}\right)^2 + \left(\frac{11150,6 \cdot 2228}{1,7 \cdot 310249^2}\right)^2} \leq 0,75 \left(\frac{518882,2}{0,75 \cdot 650 \cdot 603,5} + 0,66\sqrt{35} \right)$$

$$0,663 \leq 4,25 \text{ (OK)}$$

6.3.5 Pendetailan Tulangan

1. Penentuan selimut Beton (SNI 10.7.1.1) mengacu (Tabel 20.6.1.3.1) SNI 2847 2019
Karena digunakan tulangan D13 maka tebal selimut beton (Cc) adalah 40 mm.
2. Panjang penyaluran tulangan ulir sesuai pasal 25.4 SNI 2847 2019
3. Pasal 25.4.1.4 Nilai $\sqrt{f'_c}$ yang digunakan untuk menghitung panjang penyaluran tidak boleh lebih dari 8,3 MPa.

$$\sqrt{f'_c} = \sqrt{35} = 5,92 \text{ Mpa} \quad (\text{OK})$$

Pasal 25.4.2.1 Penyaluran tulangan tarik lentur harus memiliki panjang penyaluran ld

$$\Psi_e = 1 \quad (\text{Tabel 25.4.2.4})$$

$$\Psi_s = 0,8 \quad (\text{Tabel 25.4.2.4})$$

$$\Psi_t = 1,3 \quad (\text{Tabel 25.4.2.4})$$

$$\lambda = 1$$

$$f'_c = 35 \text{ MPa}$$

$$f_y = 420 \text{ MPa}$$

$$db = 25 \text{ mm}$$

$$Ktr = 0 \quad (\text{Pasal 25.4.2.3})$$

Maka, Panjang penyaluran batang ulir dalam kondisi Tarik (ld):

- Dihitung berdasarkan (Tabel 25.4.2.2. SNI 2847 2019)

$$\text{a. } \frac{f_y \phi t \phi e}{2,1 \lambda \sqrt{f'_c}} db = \frac{420 \times 1,3 \times 1}{2,1 \times 1 \times \sqrt{35}} \times 25 = 1098,70 \text{ mm}$$

$$\text{b. } 300 \text{ mm}$$

- Dihitung berdasarkan Pasal 25.4.2.3

$$\frac{f'_c}{1,1 \lambda \sqrt{f'_c}} \frac{\phi t \phi e \phi s}{\frac{cb+Ktr}{db}} db = \frac{35}{1,1 \times 1 \times \sqrt{35}} \frac{1,3 \times 0,8 \times 1}{\frac{46,5+0}{25}} \times 25 = 902,16 \text{ mm}$$

$$ld \max = 1098,70 \text{ mm}$$

Maka, diambil panjang penyaluran batang ulir dalam kondisi Tarik (ld) sebesar 1100 mm

4. Pasal 25.4.3.1 Panjang penyaluran tarik ldh batang ulir yang diakhiri dengan suatu "kait" standar harus diambil terbesar dari perhitungan ldh berikut:

$$\Psi_c = 0,7 \quad (\text{Tabel 25.4.3.2})$$

$$\Psi_r = 1$$

$$f'_c = 35 \text{ MPa}$$

$$f_y = 420 \text{ MPa}$$

$$db = 25 \text{ mm}$$

Panjang penyaluran Tarik "ldh" dihitung berdasarkan Pasal 25.4.3.1.

$$\text{a. } \frac{0,24 f_y \varphi e \varphi c \varphi r}{\lambda \sqrt{f'_c}} \times db = \frac{0,24 \times 420 \times 1 \times 0,7 \times 0,8}{1 \times \sqrt{35}} \times 25 = 298,17 \text{ mm}$$

$$\text{b. } 8db = 8 \times 25 = 200 \text{ mm}$$

$$\text{c. } 150 \text{ mm}$$

Maka, panjang penyaluran "kait" kondisi tarik (ldh) adalah 298,17 mm

5. Pasal 25.4.3.3 Jarak sengkang sepanjang penyaluran ldh:

Diketahui:

$$db = 22 \text{ mm}$$

- a. Kait harus dilingkupi sepanjang ldh dengan Sengkang ikat atau sengkang dengan spasi $S \leq 3db$

$$S \leq 3 \times 25 = 75 \text{ mm}$$

- b. Sengkang ikat atau Sengkang pertama harus dipasang sejarak $2db$ disisi terluar bengkokan

$$S = 2db = 2 \times 25 = 50 \text{ mm}$$

- c. Ψ_r harus diambil sebesar 1 dalam perhitungan ldh sesuai Pasal 25.4.3.1.(a)

Berdasarkan hasil perhitungan Pasal 25.4.3.1.(a) didapat ldh = 298,17 mm

6. Pasal 25.4.9 Panjang penyaluran ldc untuk batang ulir dalam kondisi "tekan" harus yang terbesar dari perhitungan berikut:

$$\Psi_r = 0,75$$

Panjang penyaluran tulangan ulir "tekan" dihitung berdasarkan:

- Pasal 25.4.9.1.

- g. Hasil dari Pasal 25.4.9.2.

- h. 200mm

- Pasal 25.4.9.2

$$\text{g. } \frac{0,24 f_y \varphi r}{\lambda \sqrt{f'_c}} db = \frac{0,24 \times 420 \times 0,75}{1 \times \sqrt{35}} \times 25 = 319,47 \text{ mm}$$

$$\text{h. } 0,043 f_y \varphi r db = 0,043 \times 420 \times 0,75 \times 25 = 338,63 \text{ mm}$$

Maka, nilai Panjang penyaluran tekan "ldc" adalah 338,63 mm, digunakan 340 mm

7. Spasi minimum tulangan longitudinal sesuai pasal 25.2.3 SNI 2847 2019 adalah nilai terbesar dari:

$$\text{a. } 40 \text{ mm}$$

$$\text{b. } 1,5 db = 1,5 \times 25 = 37,5 \text{ mm}$$

$$\text{c. } 4/3 d \text{ agregat} = 4/3 \times 20 = 26,67 \text{ mm} \quad (\text{asumsi } d \text{ agregat} = 20 \text{ mm})$$

8. Panjang sambungan lewatan batang ulir sesuai pasal 25.5

- Pasal 25.5.2.1 Panjang sambungan lewatan batang ulir dalam kondisi Tarik (lst)

Diketahui:

$$\text{As terpasang} = 5887,5 \text{ mm}^2$$

$$\text{As perlu} = 3600 \text{ mm}^2$$

$$\frac{Ast}{Asp} = \frac{5887,5}{3600} = 1,64 < 2$$

Digunakan tipe sambungan lewatan kelas B, maka l_{st} adalah nilai terbesar dari:

- a. $1.3 \cdot l_d = 1,3 \times 1098,70 = 1428,3 \text{ mm}$
- b. 300 mm

Maka nilai l_{st} adalah 1428,3 mm.

- Pasal 25.5.5.1 Panjang sambungan lewatan batang ulir kondisi tekan ($f_y = 420$) adalah nilai terbesar dari:
 - a. $0,071 \cdot f_y \cdot d_b = 0,071 \times 420 \times 25 = 745,5 \text{ mm}$
 - b. 300 mm

Maka nilai l_{sc} adalah 745,5 mm.

Pasal 10.7.5.2.1 Faktor pengurangan sambungan lewatan kondisi tekan:

$$\begin{aligned} \text{Spasi sengkang} &= 150 \text{ mm} \\ 0,0015 \cdot h \cdot s &= 0,0015 \times 600 \times 150 = 135 \text{ mm}^2 \\ A_b (\text{luas sengkang}) &= 530,66 \text{ mm}^2 \end{aligned}$$

Kontrol $A_b > 0,0015 \cdot h \cdot s$ (OK)

Faktor pengurangan sambungan lewatan adalah 0,83, sehingga:

$$\text{Panjang lsc terfaktor} = 0,83 \times 745,5 = 618,765 \text{ mm}$$

- 9. Pasal 25.5.7.1 Sambungan las atau mekanis harus mampu mengembangkan tarik/tekan paling sedikit:

$$1,25 \cdot f_y = 1,25 \times 420 \text{ MPa} = 525 \text{ MPa}$$

Pasal 25.5.7.4 Sambungan pada tulangan yang bersebelahan harus dibuat berselang-seling paling sedikit 750 mm.

- 10. SNI 2847-2019 Pasal 18.7.4.3

Lap splices hanya boleh dipasang di tengah tinggi kolom, dan harus di ikat dengan tulangan sengkang (confinement). Sepanjang lap splices (sambungan lewatan), spasi tulangan transversal dipasang sesuai spasi tulangan confinement yaitu = 100 mm

KESIMPULAN

- Rekapitulasi hasil perbedaan dari perencanaan kolom dengan tulangan geser mutu tinggi dan tulangan mutu normal didapatkan, sebagai berikut :

| Perbedaan | Kolom | Mutu Tinggi | Mutu Normal | Penjelasan |
|----------------------|-------|-----------------|---------------------|--|
| Tinggi (mm) | K1 | 4300 | 4300 | Tinggi kolom sama agar dapat melihat perbedaan antara kolom mutu normal dengan mutu tinggi. |
| | K2 | 4300 | 4300 | |
| Dimensi (mm x mm) | K1 | 750 | 750 | Dimensi kolom sama agar dapat melihat perbedaan antara kolom mutu normal dengan mutu tinggi. |
| | K2 | 750 | 750 | |
| Tulangan Transversal | K1 | Sepanjang l_o | 5 kaki D13 - 200 | 5 kaki D16 - 200 |
| | | Diluar l_o | 5 kaki D13 - 100 | 5 kaki D16 - 100 |
| | K2 | Sepanjang l_o | 4 kaki D13 - 200 | 4 kaki D16 - 200 |
| | | Diluar l_o | 4 kaki D13 - 100 | 4 kaki D16 - 100 |

- Rekapitulasi volume dari masing-masing kolom per 1 m antara tulangan geser mutu tinggi dengan mutu normal.

| Mutu Tinggi | | | | | |
|------------------|-----------------------|-----------------|-------------------------|-------------------------|-----------------------|
| Tul. Longi | 1 (mm) | n | D (mm) | Luas (mm ²) | V (mm ³) |
| | 1000 | 20 | 22 | 380,285714 | 7605714,286 |
| Tul. Transversal | D (mm) | n | Luas (mm ²) | 1 kaki | Av (mm ²) |
| | 13 | 18 | 132,785714 | 5800 | 770157,143 |
| V kolom | L (mm) | B (mm) | H (mm) | V (mm ³) | |
| | 1000 | 750 | 750 | 562500000 | |
| Total | 584161082 | mm ³ | | | |
| % V Baja | 21661082,1 | mm ³ | 3,71% | | |
| Mutu Normal | | | | | |
| Tul. Longi | L (mm) | n | D (mm) | Luas (mm ²) | V (mm ³) |
| | 1000 | 24 | 22 | 380,285714 | 9126857,143 |
| Tul. Transversal | Av (mm ²) | D (mm) | n | Luas (mm ²) | 1 kaki |
| | 1166628,57 | 16 | 18 | 201,142857 | 5800 |
| V kolom | L (mm) | B (mm) | H (mm) | V (mm ³) | |
| | 1000 | 750 | 750 | 562500000 | |
| Total | 592917829 | mm ³ | | | |
| % V Baja | 30417828,6 | mm ³ | 5,13% | | |

LAMPIRAN GAMBAR



INSTITUT
TEKNOLOGI
SEPULUH NOPEMBER

JURUSAN TEKNIK SIPIL S-1
FAKULTAS TEKNIK SIPIL LINGKUNGAN DAN
KEBUMIAN

STRUKTUR BANGUNAN BETON

NAMA MAHASISWA

I A PUTU EKA C. S.
03111740000023

HILDA IMAMA ROFIQ
03111740000060

DOSEN ASISTEN

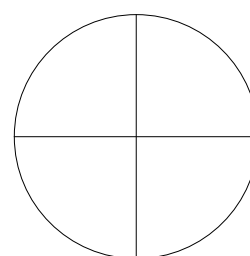
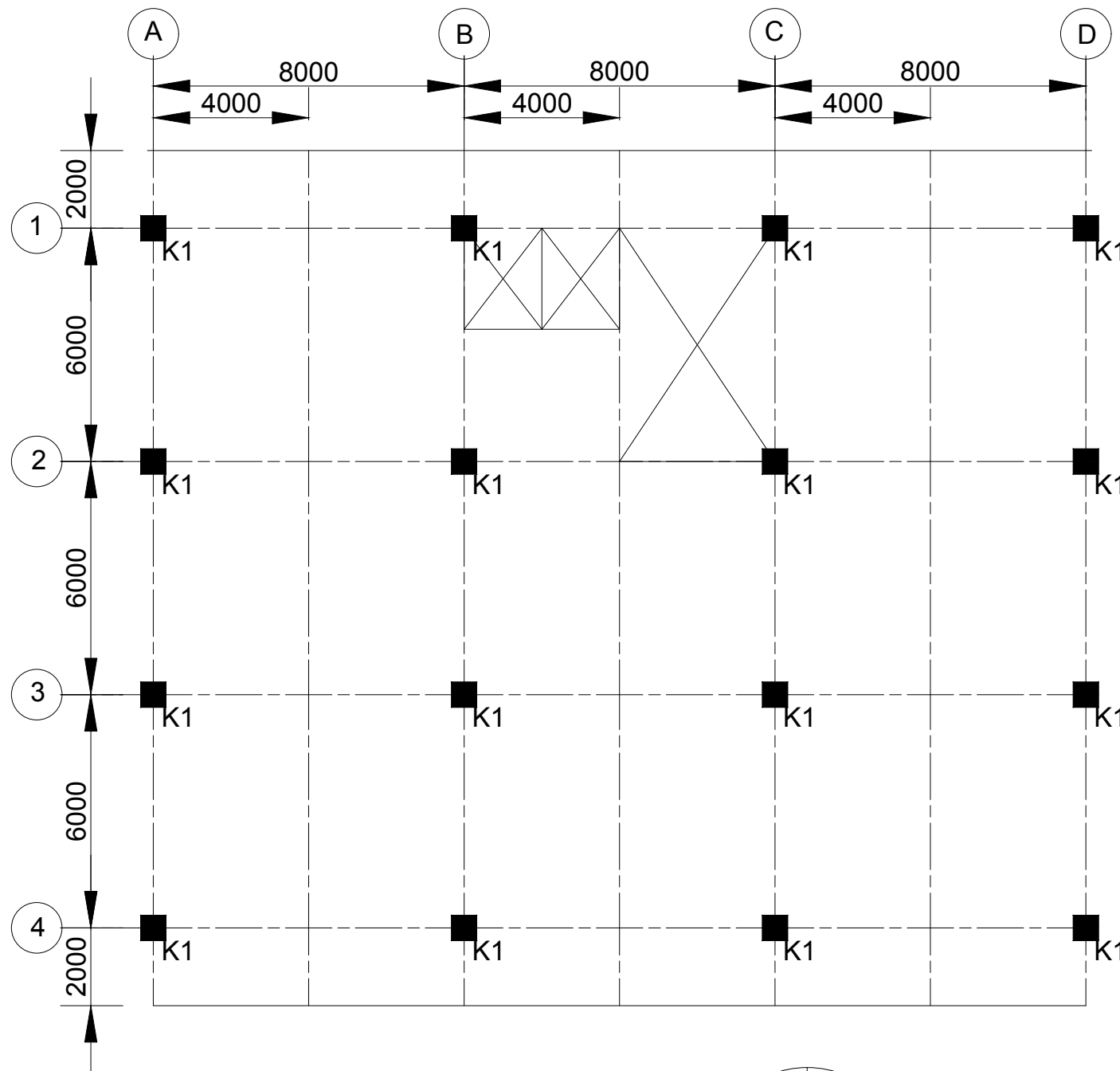
BAMBANG PISCESA,
S.T., M.T.

NOMOR HALAMAN

1

JUMLAH HALAMAN

22



Denah Kolom K1

1 : 125



INSTITUT
TEKNOLOGI
SEPULUH NOPEMBER

JURUSAN TEKNIK SIPIL S-1
FAKULTAS TEKNIK SIPIL LINGKUNGAN DAN
KEBUMIAN

**STRUKTUR
BANGUNAN BETON**

NAMA MAHASISWA

I A PUTU EKA C. S.
03111740000023

HILDA IMAMA ROFIQ
03111740000060

DOSEN ASISTEN

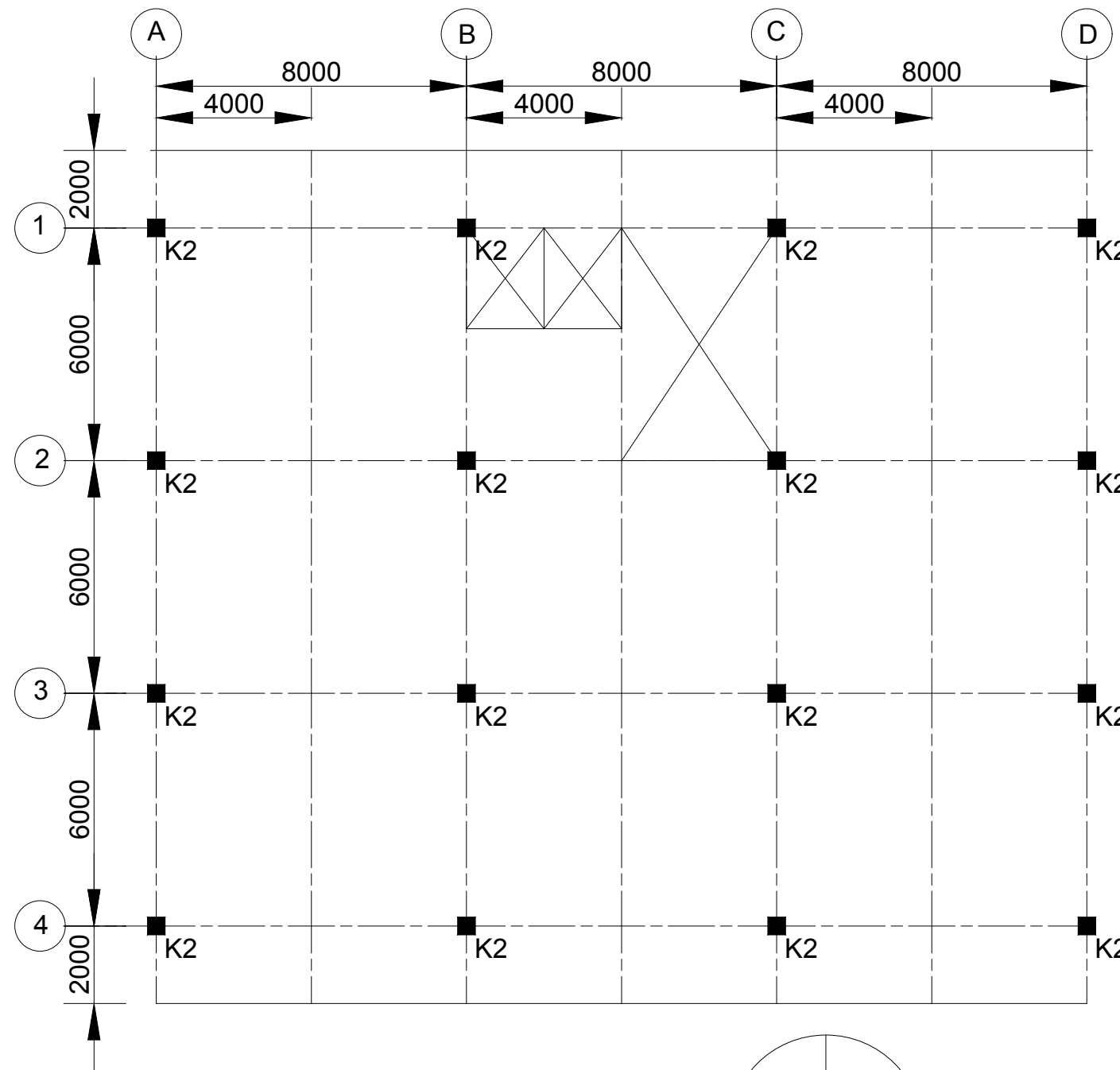
BAMBANG PISCESA,
S.T., M.T.

NOMOR HALAMAN

2

JUMLAH HALAMAN

22



Denah Kolom K2
1 : 125



INSTITUT
TEKNOLOGI
SEPULUH NOPEMBER

JURUSAN TEKNIK SIPIL S-1
FAKULTAS TEKNIK SIPIL LINGKUNGAN DAN
KEBUMIAN

STRUKTUR
BANGUNAN BETON

NAMA MAHASISWA

I A PUTU EKA C. S.
03111740000023

HILDA IMAMA ROFIQ
03111740000060

DOSEN ASISTEN

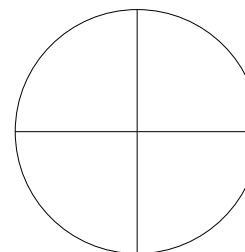
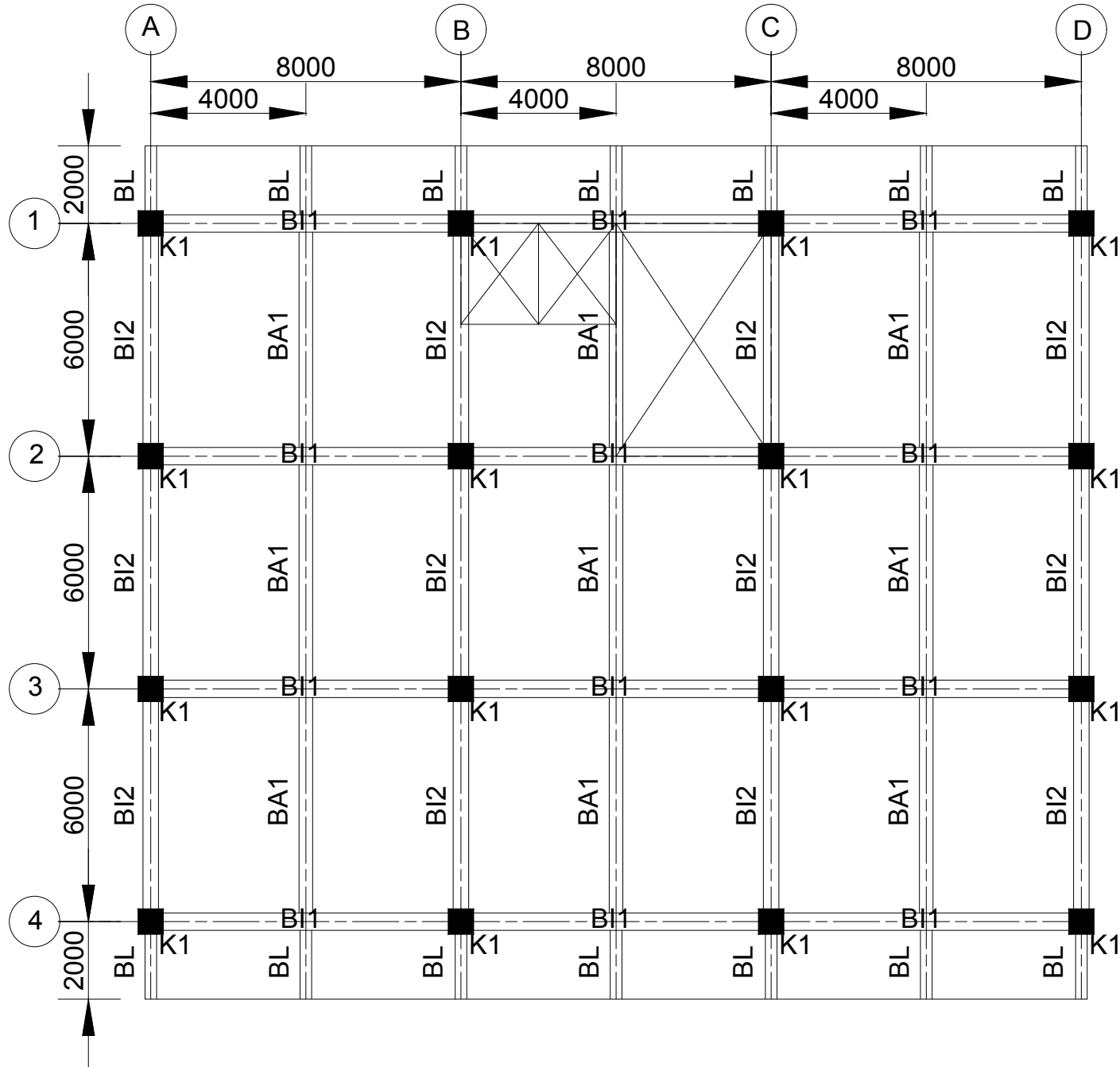
BAMBANG PISCESA,
S.T., M.T.

NOMOR HALAMAN

3

JUMLAH HALAMAN

22



Denah Balok K1

1 : 125



INSTITUT
TEKNOLOGI
SEPULUH NOPEMBER

JURUSAN TEKNIK SIPIL S-1
FAKULTAS TEKNIK SIPIL LINGKUNGAN DAN
KEBUMIAN

STRUKTUR BANGUNAN BETON

NAMA MAHASISWA

I A PUTU EKA C. S.
03111740000023

HILDA IMAMA ROFIQ
03111740000060

DOSEN ASISTEN

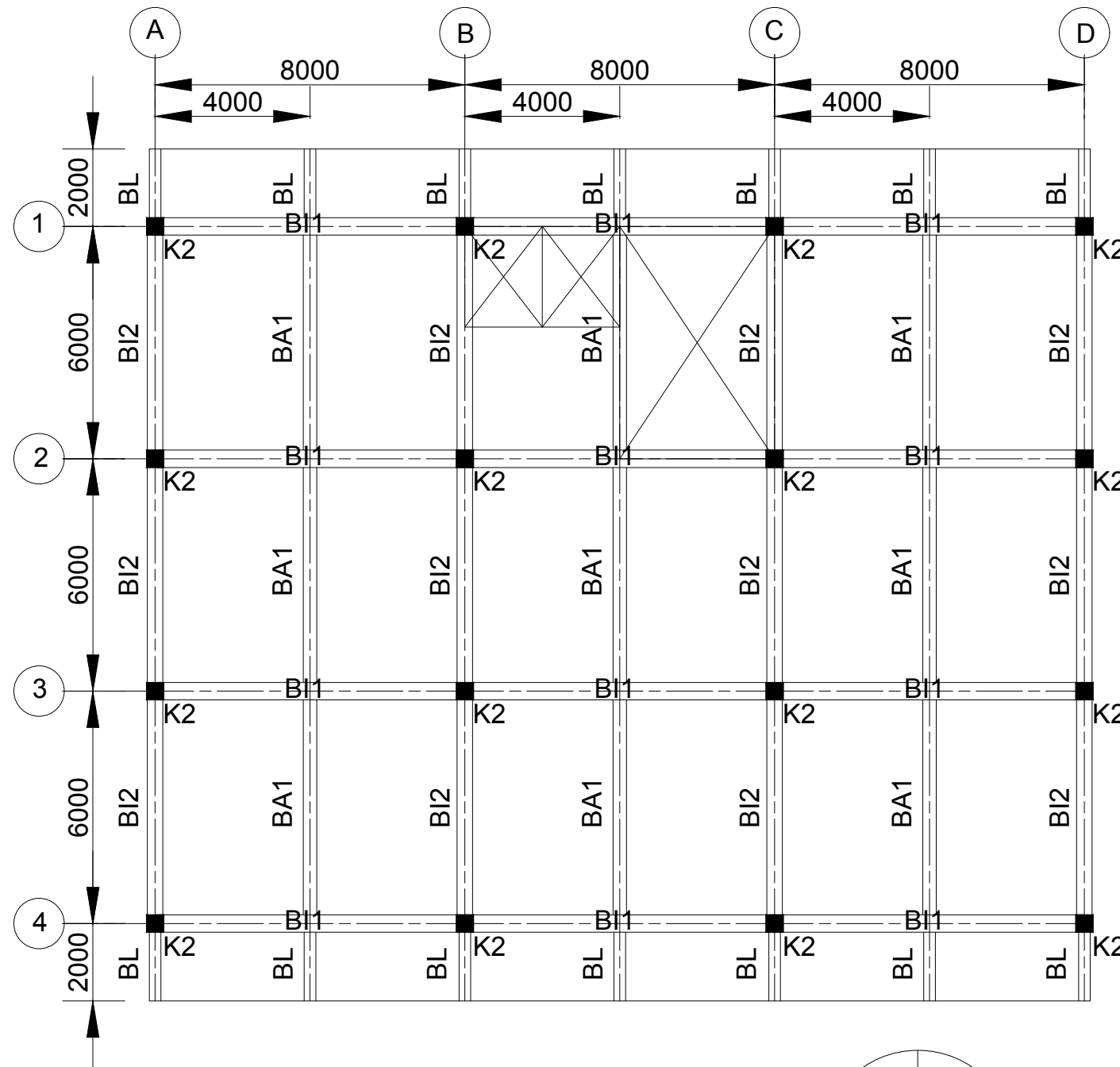
BAMBANG PISCESA,
S.T., M.T.

NOMOR HALAMAN

4

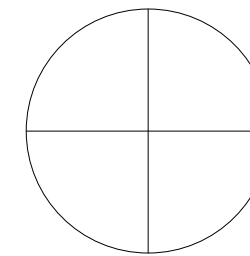
JUMLAH HALAMAN

22



Denah Balok K2

1 : 125





INSTITUT
TEKNOLOGI
SEPULUH NOPEMBER

JURUSAN TEKNIK SIPIL S-1
FAKULTAS TEKNIK SIPIL LINGKUNGAN DAN
KEBUMIAN

STRUKTUR BANGUNAN BETON

NAMA MAHASISWA

I A PUTU EKA C. S.
03111740000023

HILDA IMAMA ROFIQ
03111740000060

DOSEN ASISTEN

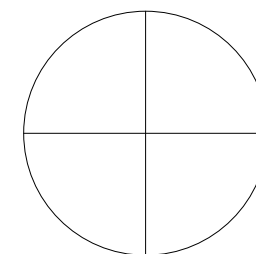
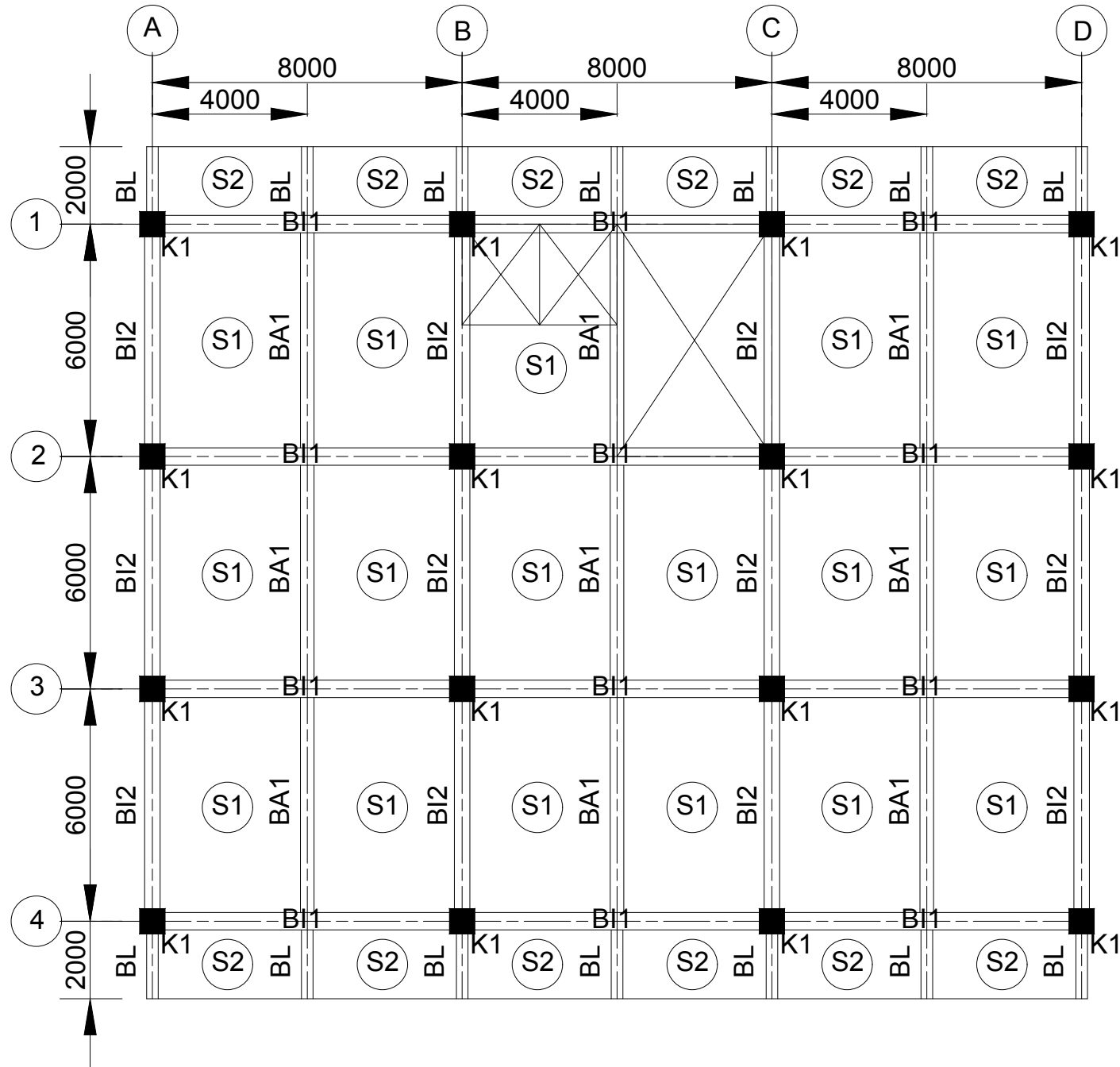
BAMBANG PISCESA,
S.T., M.T.

NOMOR HALAMAN

5

JUMLAH HALAMAN

22



Denah Pelat Lantai K1

1 : 125



INSTITUT
TEKNOLOGI
SEPULUH NOPEMBER

JURUSAN TEKNIK SIPIL S-1
FAKULTAS TEKNIK SIPIL LINGKUNGAN DAN
KEBUMIAN

STRUKTUR BANGUNAN BETON

NAMA MAHASISWA

I A PUTU EKA C. S.
03111740000023

HILDA IMAMA ROFIQ
03111740000060

DOSEN ASISTEN

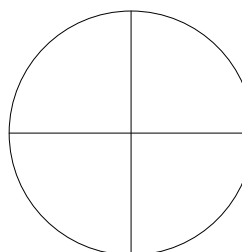
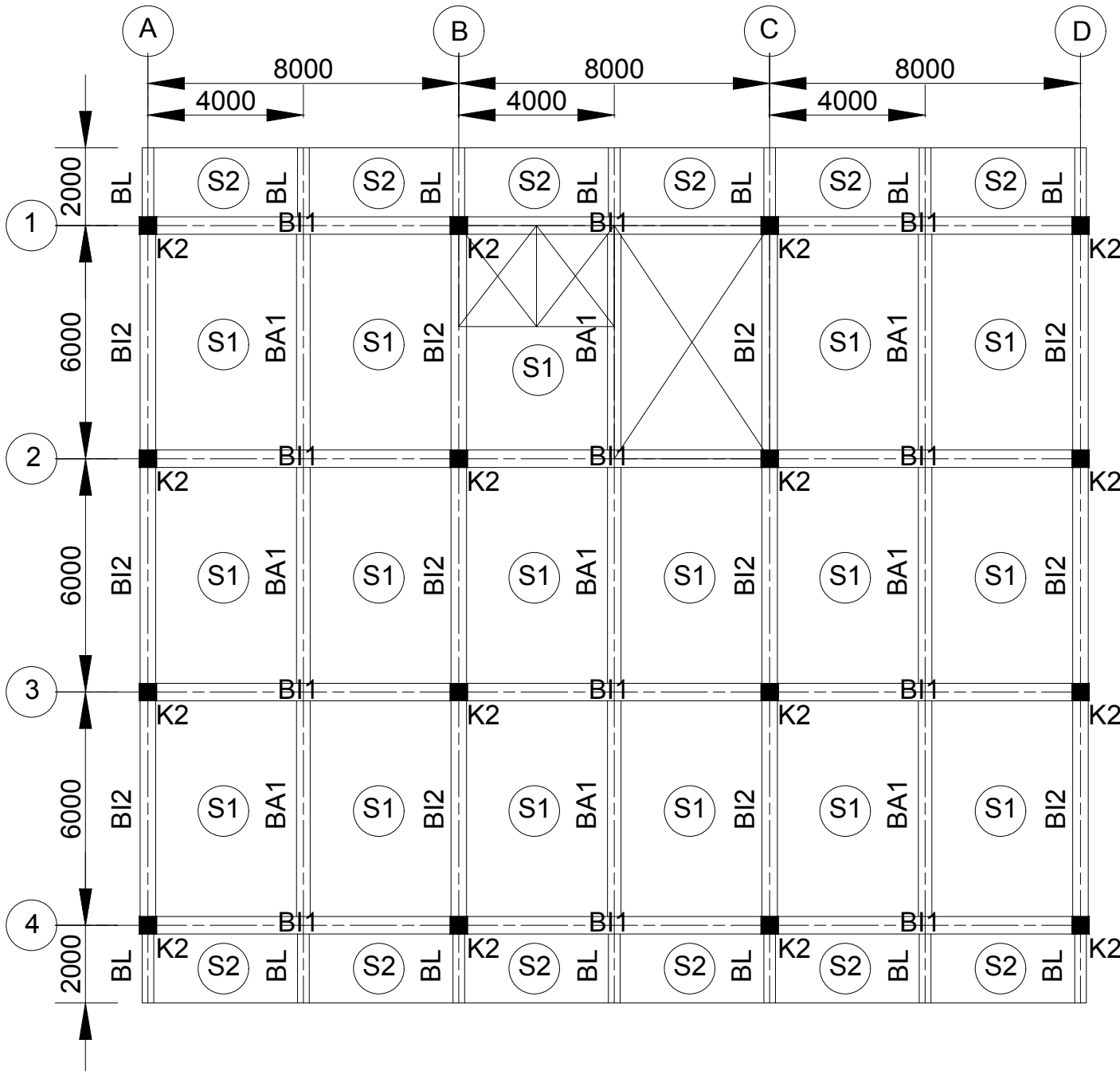
BAMBANG PISCESA,
S.T., M.T.

NOMOR HALAMAN

6

JUMLAH HALAMAN

22





INSTITUT
TEKNOLOGI
SEPULUH NOPEMBER

JURUSAN TEKNIK SIPIL S-1
FAKULTAS TEKNIK SIPIL LINGKUNGAN DAN
KEBUMIAN

STRUKTUR BANGUNAN BETON

NAMA MAHASISWA

I A PUTU EKA C. S.
03111740000023

HILDA IMAMA ROFIQ
03111740000060

DOSEN ASISTEN

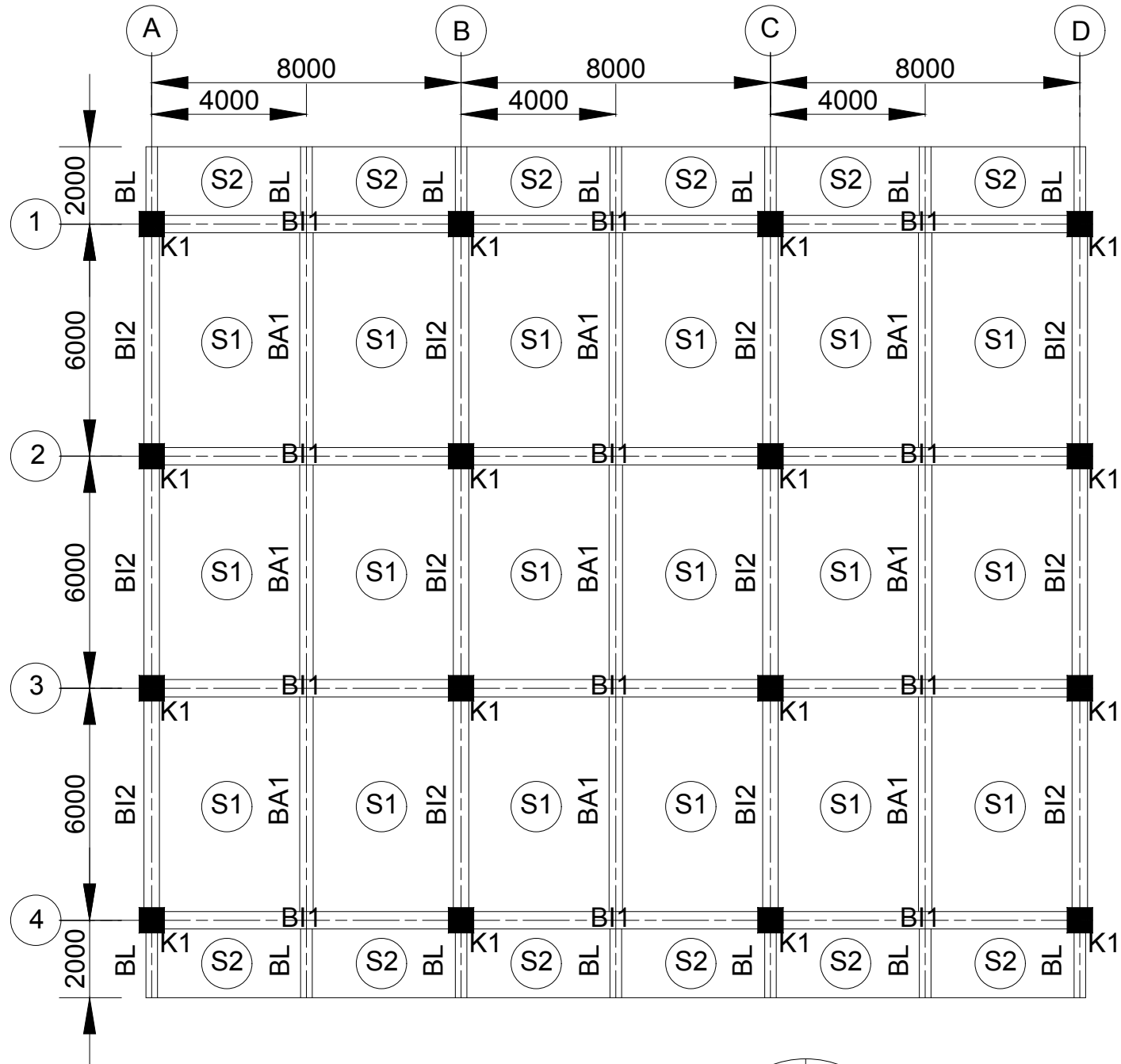
BAMBANG PISCESA,
S.T., M.T.

NOMOR HALAMAN

7

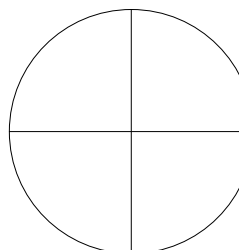
JUMLAH HALAMAN

22



Denah Pelat Atap K1

1 : 125





INSTITUT
TEKNOLOGI
SEPULUH NOPEMBER

JURUSAN TEKNIK SIPIL S-1
FAKULTAS TEKNIK SIPIL LINGKUNGAN DAN
KEBUMIAN

**STRUKTUR
BANGUNAN BETON**

NAMA MAHASISWA

I A PUTU EKA C. S.
03111740000023

HILDA IMAMA ROFIQ
03111740000060

DOSEN ASISTEN

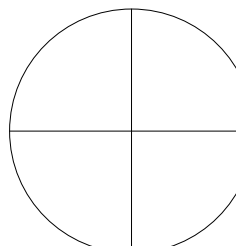
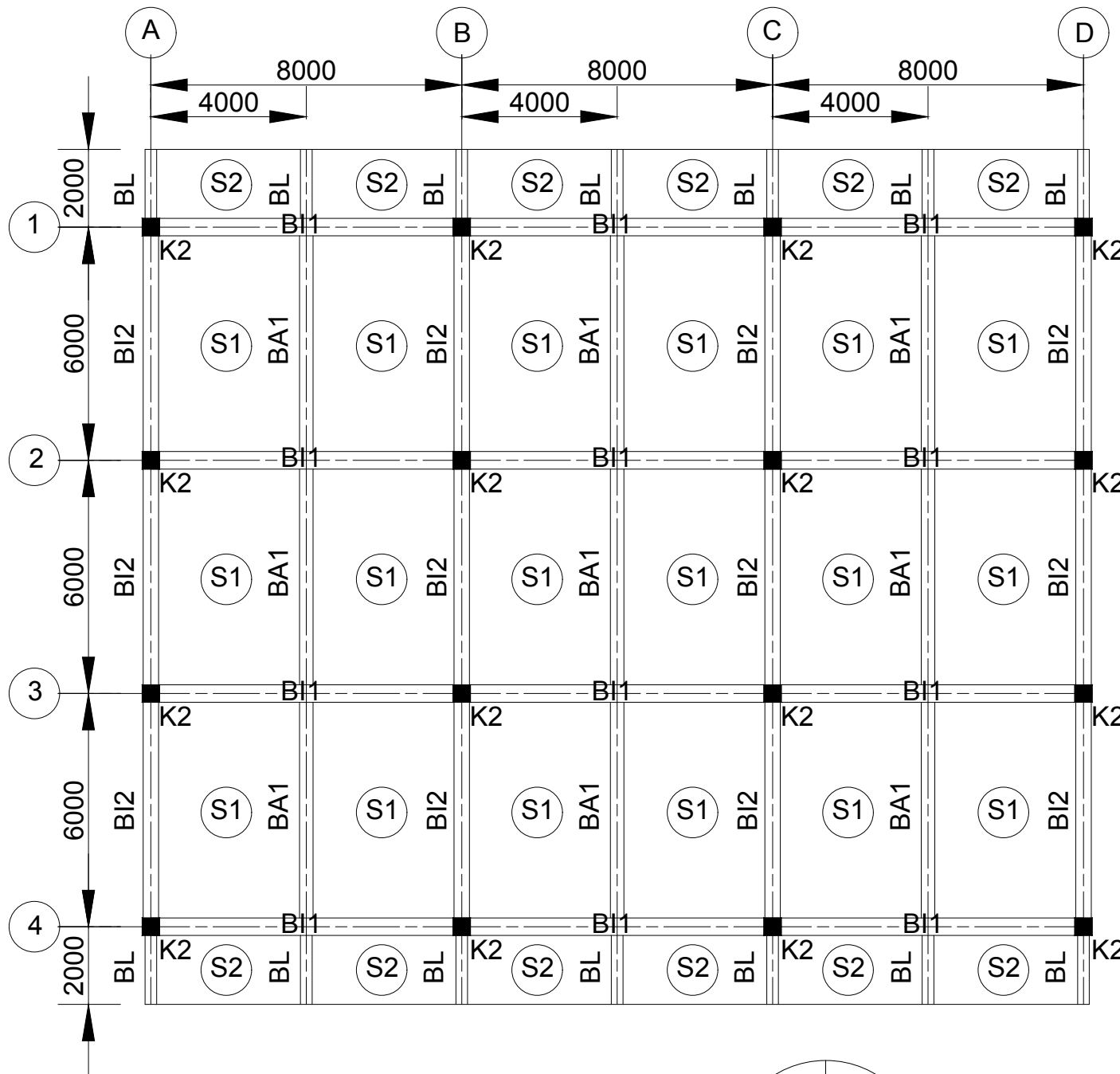
BAMBANG PISCESA,
S.T., M.T.

NOMOR HALAMAN

8

JUMLAH HALAMAN

22



Denah Pelat Atap K2

1 : 125



INSTITUT
TEKNOLOGI
SEPULUH NOPEMBER

JURUSAN TEKNIK SIPIL S-1
FAKULTAS TEKNIK SIPIL LINGKUNGAN DAN
KEBUMIAN

STRUKTUR BANGUNAN BETON

NAMA MAHASISWA

I A PUTU EKA C. S.
03111740000023

HILDA IMAMA ROFIQ
03111740000060

DOSEN ASISTEN

BAMBANG PISCESA,
S.T., M.T.

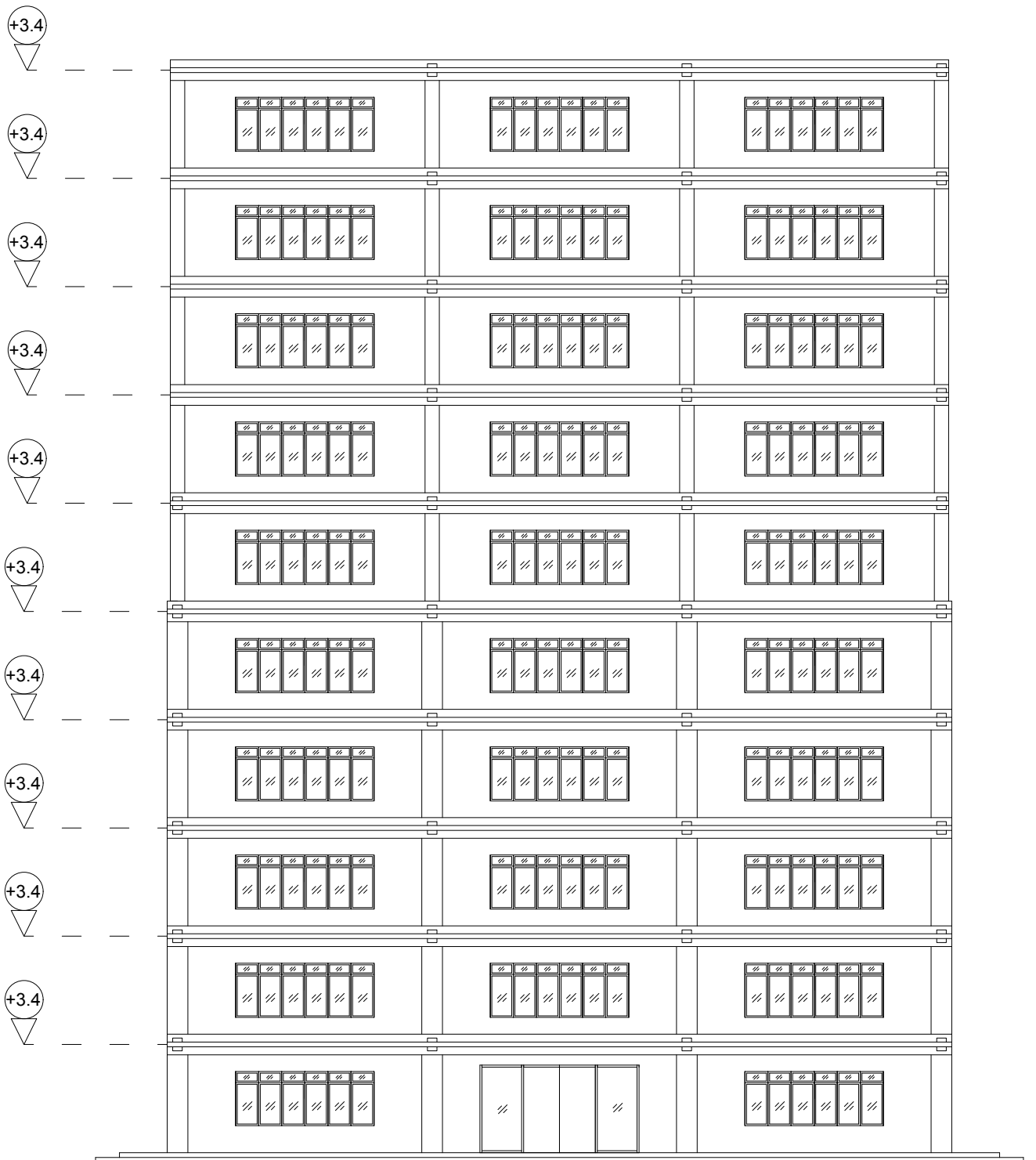
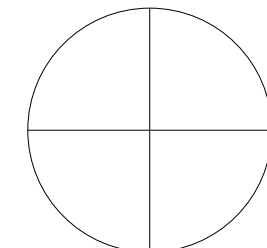
NOMOR HALAMAN

9

JUMLAH HALAMAN

22

Tampak Depan
1 : 150





INSTITUT
TEKNOLOGI
SEPULUH NOPEMBER

JURUSAN TEKNIK SIPIL S-1
FAKULTAS TEKNIK SIPIL LINGKUNGAN DAN
KEBUMIAN

STRUKTUR BANGUNAN BETON

NAMA MAHASISWA

I A PUTU EKA C. S.
03111740000023

HILDA IMAMA ROFIQ
03111740000060

DOSEN ASISTEN

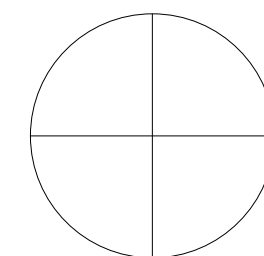
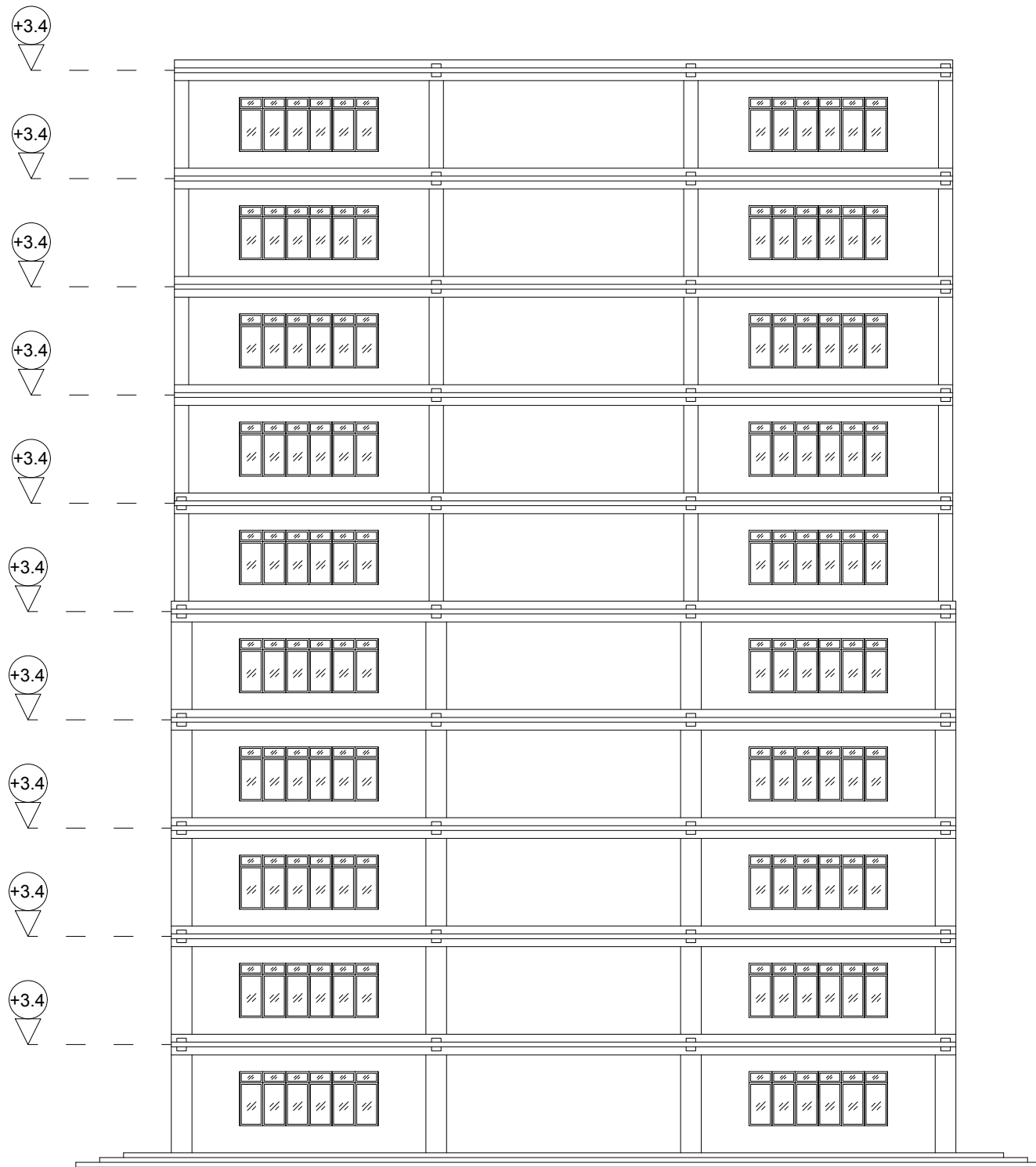
BAMBANG PISCESA,
S.T., M.T.

NOMOR HALAMAN

10

JUMLAH HALAMAN

22



Tampak Belakang
1 : 150



INSTITUT
TEKNOLOGI
SEPULUH NOPEMBER

JURUSAN TEKNIK SIPIL S-1
FAKULTAS TEKNIK SIPIL LINGKUNGAN DAN
KEBUMIAN

STRUKTUR BANGUNAN BETON

NAMA MAHASISWA

I A PUTU EKA C. S.
03111740000023

HILDA IMAMA ROFIQ
03111740000060

DOSEN ASISTEN

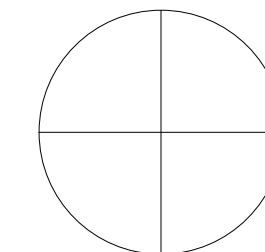
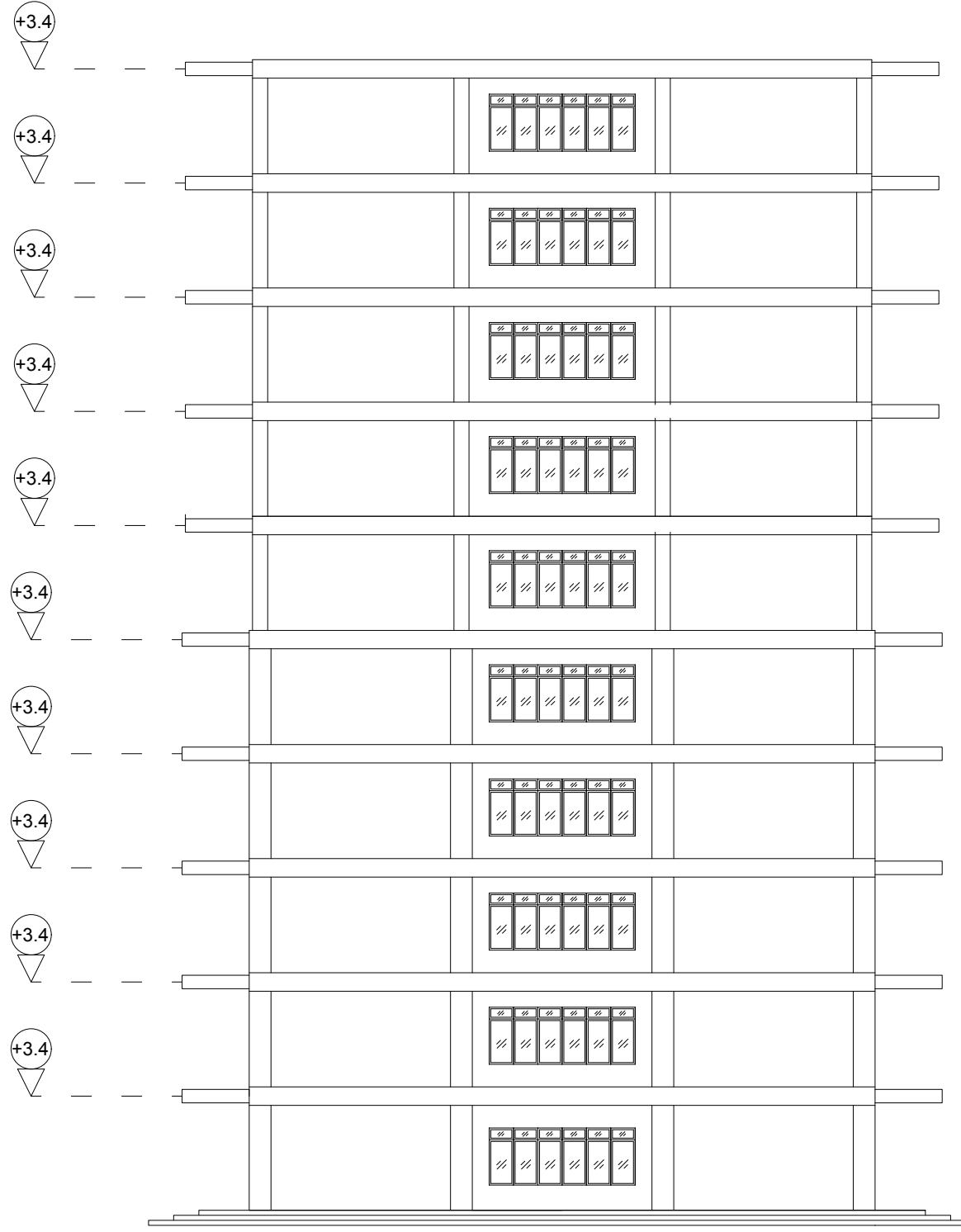
BAMBANG PISCESA,
S.T., M.T.

NOMOR HALAMAN

11

JUMLAH HALAMAN

22



Tampak Kanan

1 : 150



INSTITUT
TEKNOLOGI
SEPULUH NOPEMBER

JURUSAN TEKNIK SIPIL S-1
FAKULTAS TEKNIK SIPIL LINGKUNGAN DAN
KEBUMIAN

STRUKTUR BANGUNAN BETON

NAMA MAHASISWA

I A PUTU EKA C. S.
03111740000023

HILDA IMAMA ROFIQ
03111740000060

DOSEN ASISTEN

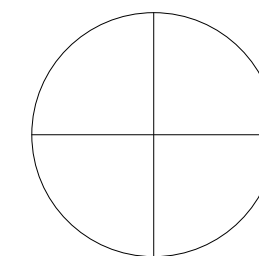
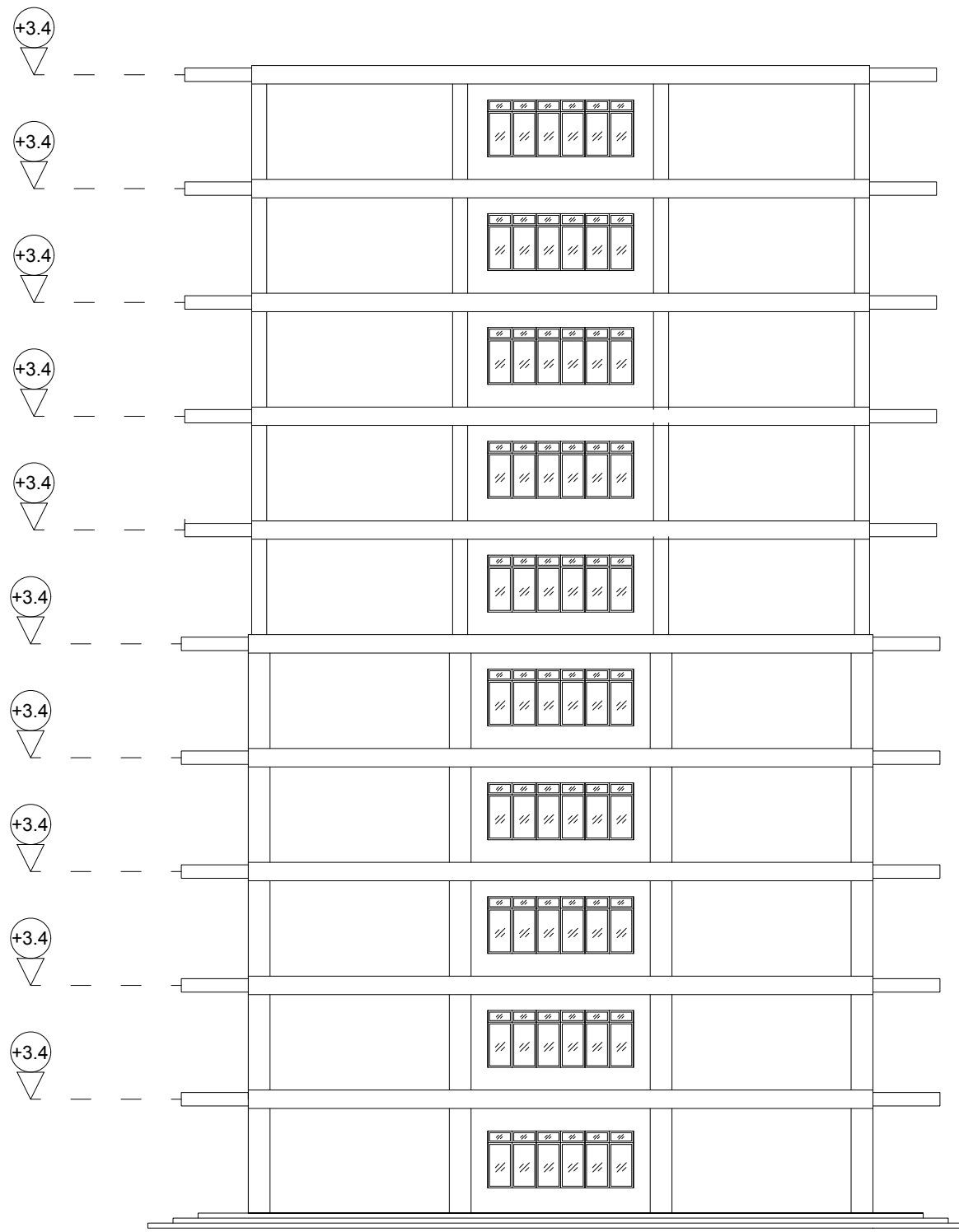
BAMBANG PISCESA,
S.T., M.T.

NOMOR HALAMAN

12

JUMLAH HALAMAN

22



Tampak Kiri

1 : 150



INSTITUT
TEKNOLOGI
SEPULUH NOPEMBER

JURUSAN TEKNIK SIPIL S-1
FAKULTAS TEKNIK SIPIL LINGKUNGAN DAN
KEBUMIAN

STRUKTUR BANGUNAN BETON

NAMA MAHASISWA

I A PUTU EKA C. S.
03111740000023

HILDA IMAMA ROFIQ
03111740000060

DOSEN ASISTEN

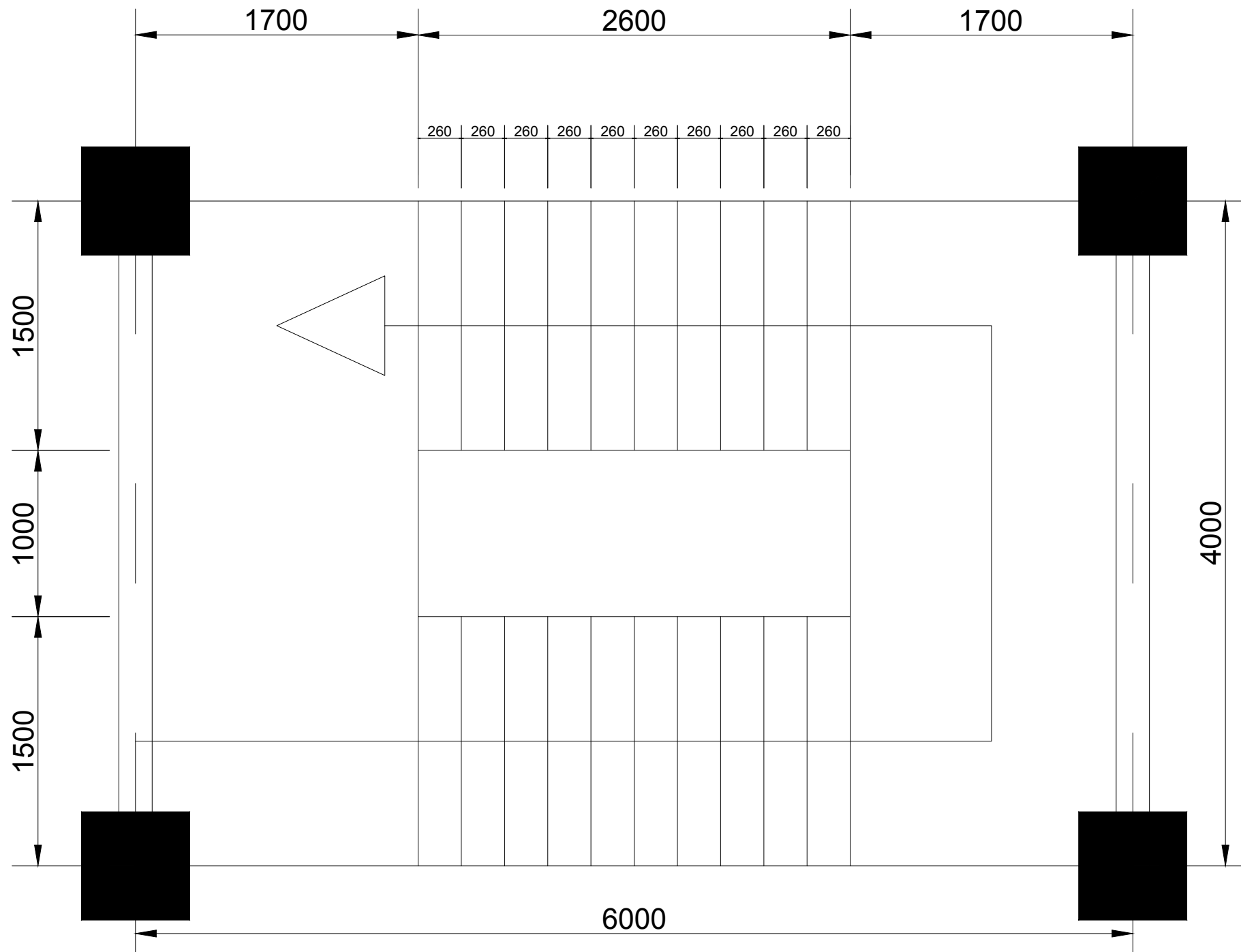
BAMBANG PISCESA,
S.T., M.T.

NOMOR HALAMAN

13

JUMLAH HALAMAN

22





INSTITUT
TEKNOLOGI
SEPULUH NOPEMBER

JURUSAN TEKNIK SIPIL S-1
FAKULTAS TEKNIK SIPIL LINGKUNGAN DAN
KEBUMIAN

**STRUKTUR
BANGUNAN BETON**

NAMA MAHASISWA

I A PUTU EKA C. S.
03111740000023

HILDA IMAMA ROFIQ
03111740000060

DOSEN ASISTEN

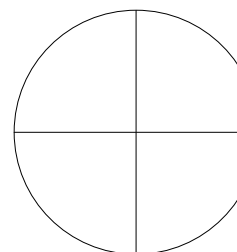
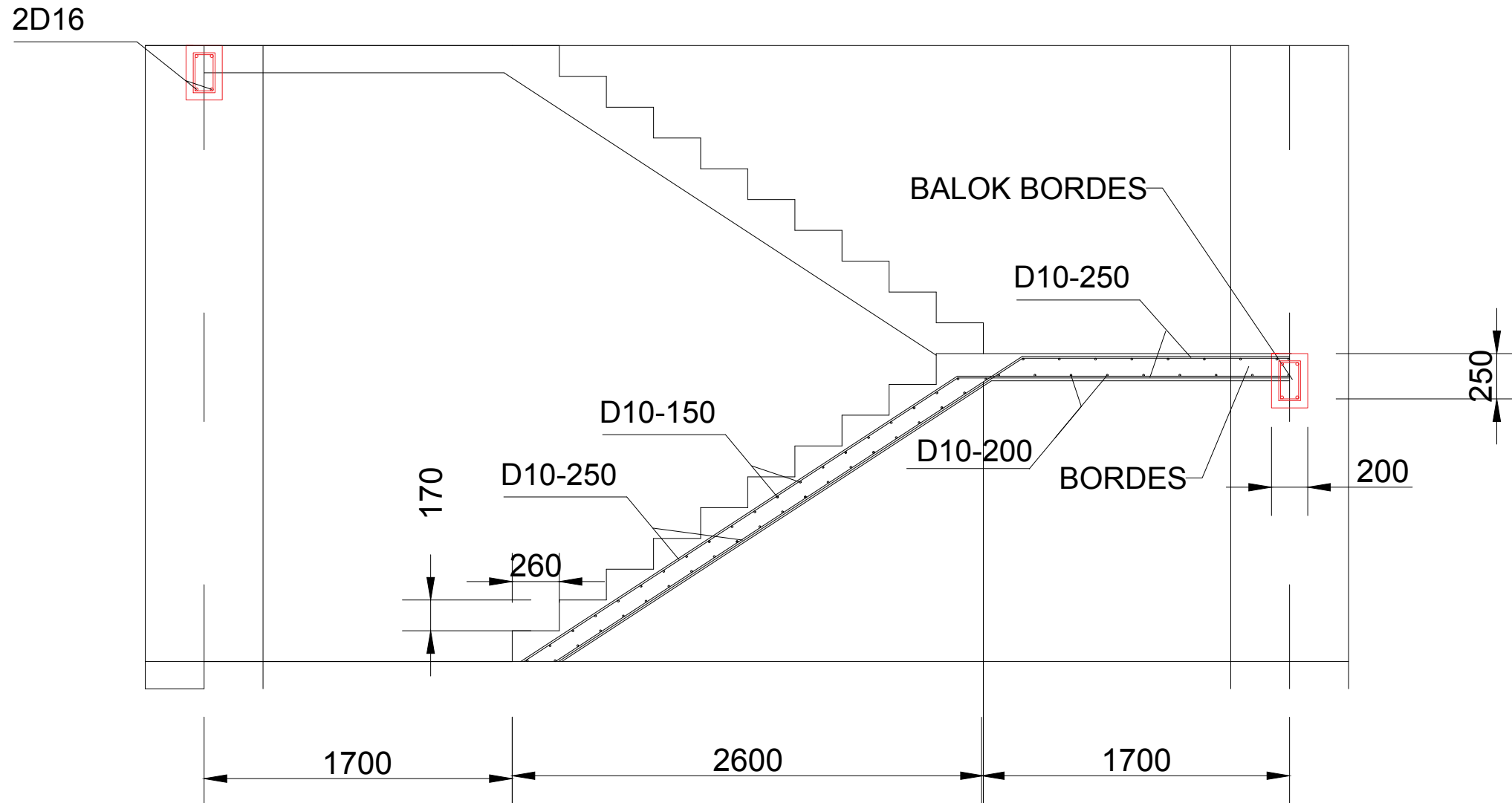
BAMBANG PISCESA,
S.T., M.T.

NOMOR HALAMAN

14

JUMLAH HALAMAN

22



Penulangan Tangga

1 : 25



INSTITUT
TEKNOLOGI
SEPULUH NOPEMBER

JURUSAN TEKNIK SIPIL S-1
FAKULTAS TEKNIK SIPIL LINGKUNGAN DAN
KEBUMIAN

STRUKTUR
BANGUNAN BETON

NAMA MAHASISWA

I A PUTU EKA C. S.
03111740000023

HILDA IMAMA ROFIQ
03111740000060

DOSEN ASISTEN

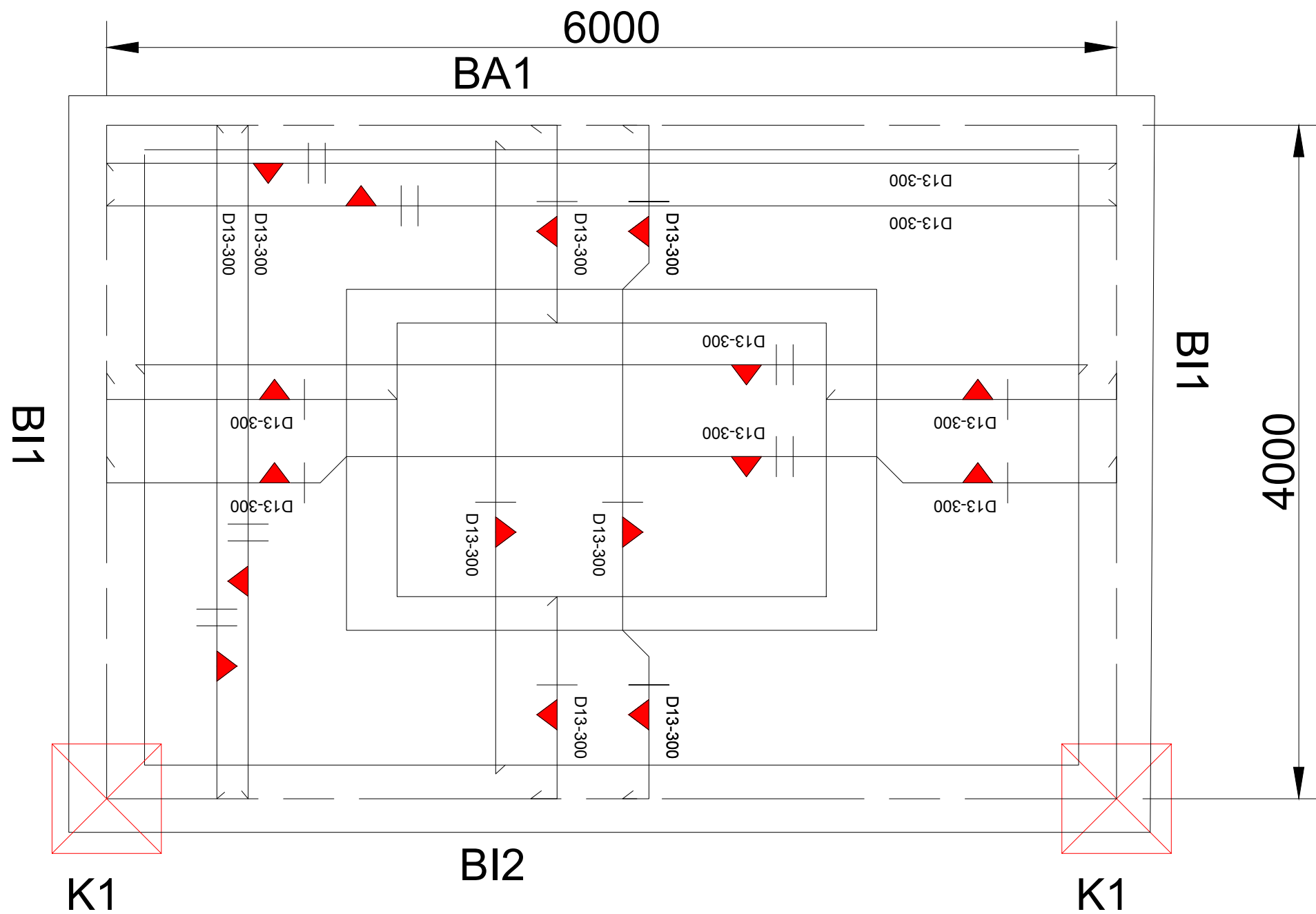
BAMBANG PISCESA,
S.T., M.T.

NOMOR HALAMAN

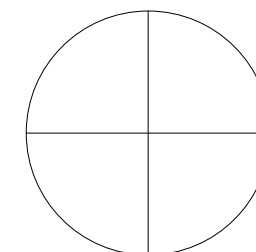
15

JUMLAH HALAMAN

22



| | |
|----------------------|--|
| Jenis Pelat S1 | Pelat Lantai atau Atap |
| Ukuran | 400 x 600 |
| Jarak Tumpuan Tipe 1 | $\frac{1}{5} L_x$ atau $\frac{1}{5} L_y$ |
| Jarak Tumpuan Tipe 2 | $\frac{1}{4} L_x$ atau $\frac{1}{4} L_y$ |



Pelat 400 x 600
1 : 25



INSTITUT
TEKNOLOGI
SEPULUH NOPEMBER
JURUSAN TEKNIK SIPIL S-1
FAKULTAS TEKNIK SIPIL LINGKUNGAN DAN
KEBUMIAN

STRUKTUR
BANGUNAN BETON

NAMA MAHASISWA

I A PUTU EKA C. S.
03111740000023

HILDA IMAMA ROFIQ
03111740000060

DOSEN ASISTEN

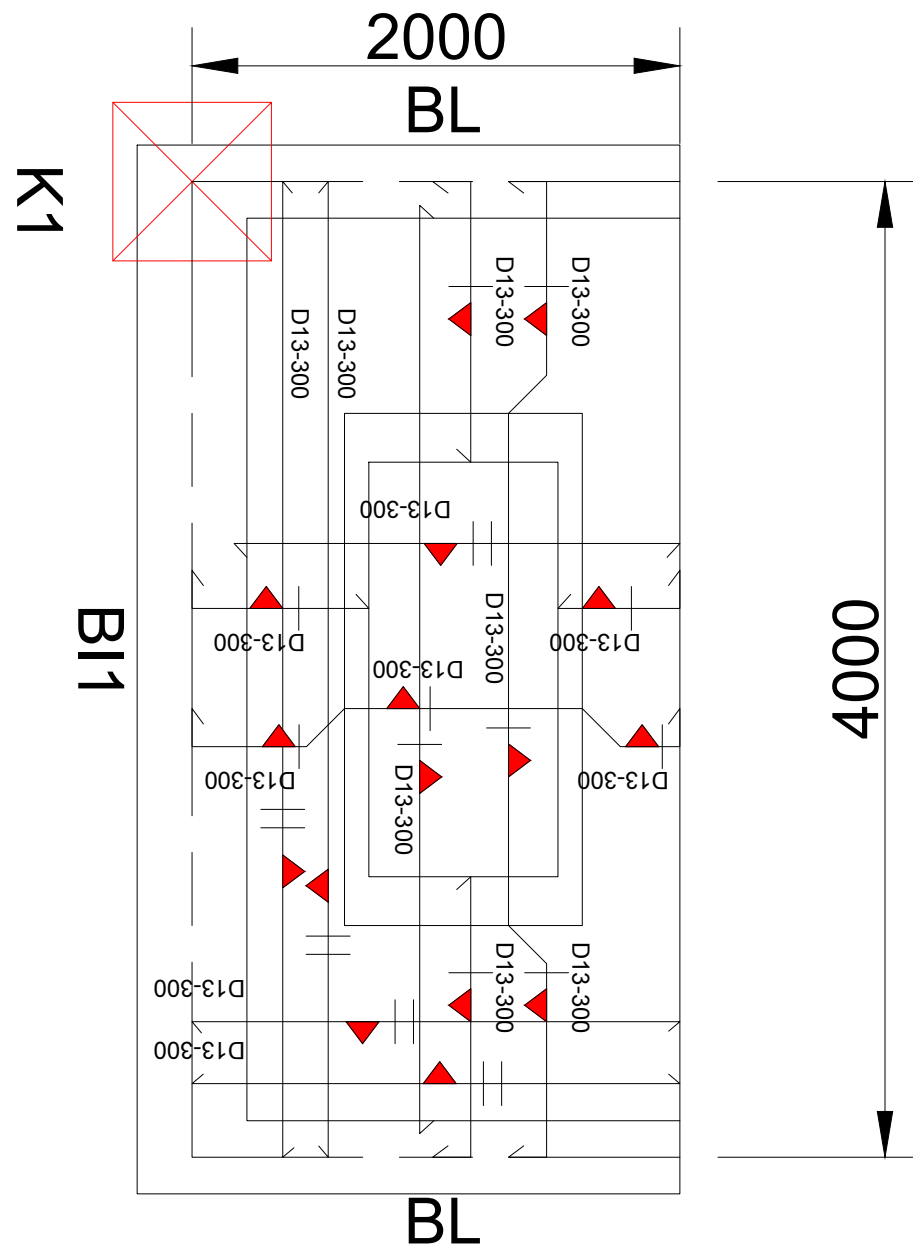
BAMBANG PISCESA,
S.T., M.T.

NOMOR HALAMAN

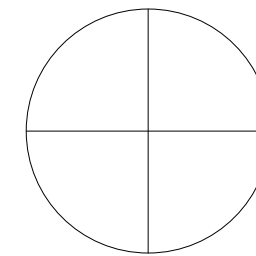
16

JUMLAH HALAMAN

22



| | |
|----------------------|--|
| Jenis Pelat S2 | Pelat Lantai atau Atap |
| Ukuran | 200 x 400 |
| Jarak Tumpuan Tipe 1 | $\frac{1}{5} L_x$ atau $\frac{1}{5} L_y$ |
| Jarak Tumpuan Tipe 2 | $\frac{1}{4} L_x$ atau $\frac{1}{4} L_y$ |



Pelat 200 x 400
1 : 25



INSTITUT
TEKNOLOGI
SEPULUH NOPEMBER

JURUSAN TEKNIK SIPIL S-1
FAKULTAS TEKNIK SIPIL LINGKUNGAN DAN
KEBUMIAN

**STRUKTUR
BANGUNAN BETON**

NAMA MAHASISWA

I A PUTU EKA C. S.
03111740000023

HILDA IMAMA ROFIQ
03111740000060

DOSEN ASISTEN

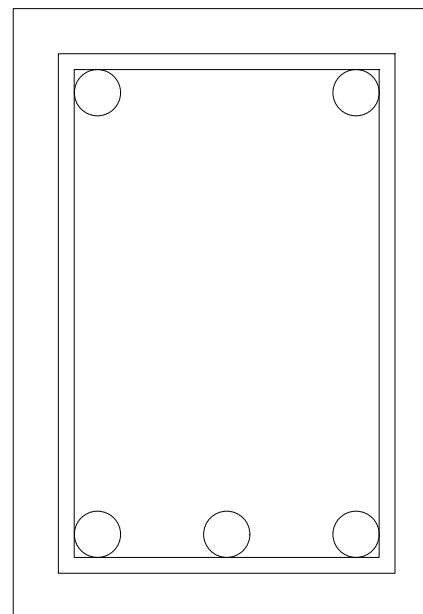
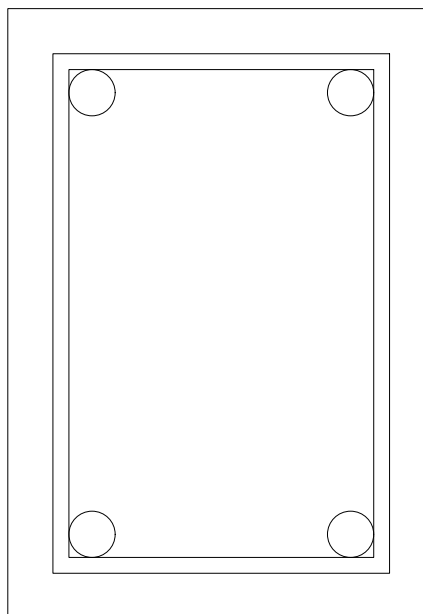
BAMBANG PISCESA,
S.T., M.T.

NOMOR HALAMAN

17

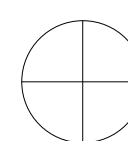
JUMLAH HALAMAN

22



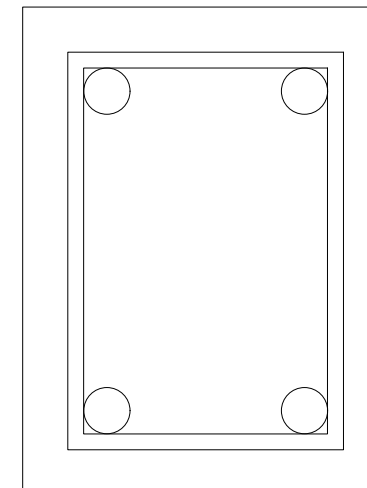
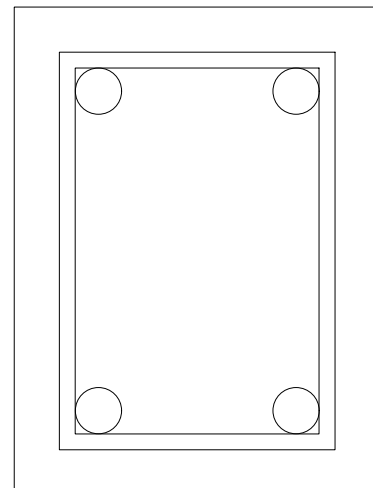
**Penulangan B. Anak
Lapangan (BA 1)**

1 : 5



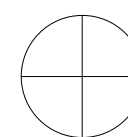
**Penulangan B. Anak
Tumpuan (BA 1)**

1 : 5



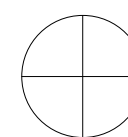
**Penulangan B. Luivel
Lapangan (BL)**

1 : 5



**Penulangan B. Luivel
Tumpuan (BL)**

1 : 5





INSTITUT
TEKNOLOGI
SEPULUH NOPEMBER

JURUSAN TEKNIK SIPIL S-1
FAKULTAS TEKNIK SIPIL LINGKUNGAN DAN
KEBUMIAN

STRUKTUR
BANGUNAN BETON

NAMA MAHASISWA

I A PUTU EKA C. S.
03111740000023

HILDA IMAMA ROFIQ
03111740000060

DOSEN ASISTEN

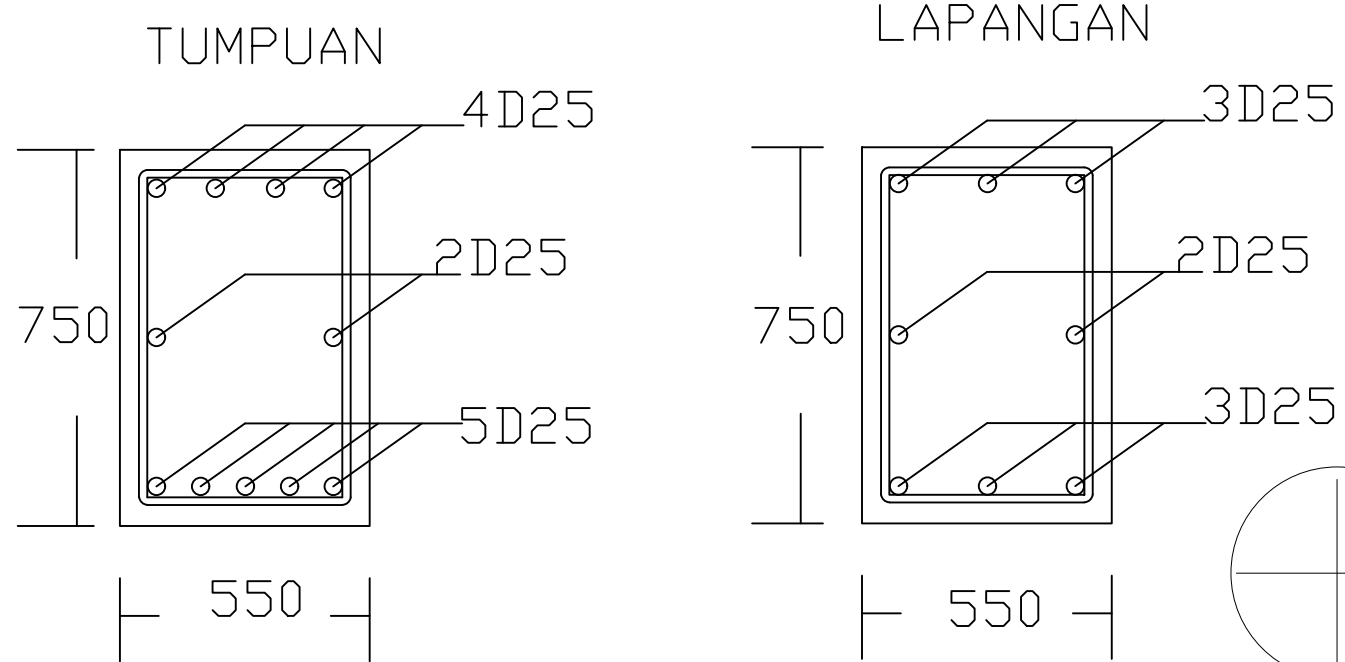
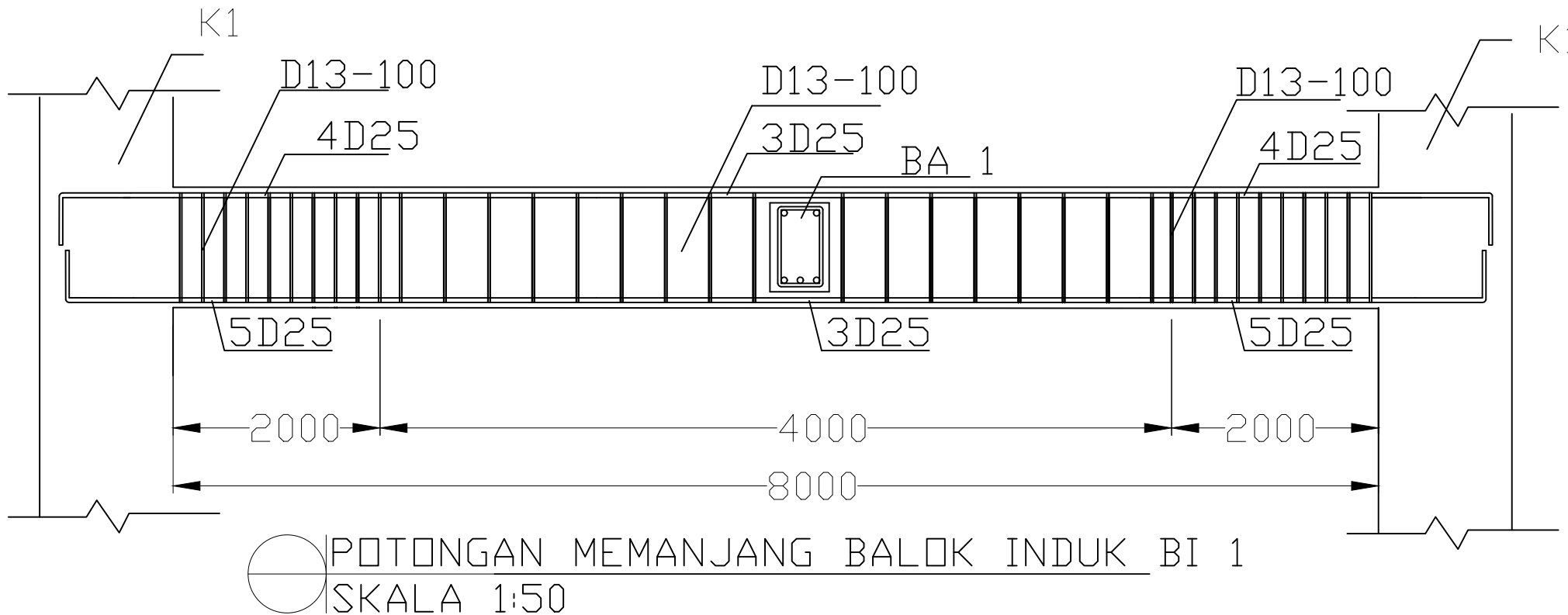
BAMBANG PISCESA,
S.T., M.T.

NOMOR HALAMAN

18

JUMLAH HALAMAN

22





INSTITUT
TEKNOLOGI
SEPULUH NOPEMBER

JURUSAN TEKNIK SIPIL S-1
FAKULTAS TEKNIK SIPIL LINGKUNGAN DAN
KEBUMIAN

STRUKTUR
BANGUNAN BETON

NAMA MAHASISWA

I A PUTU EKA C. S.
03111740000023

HILDA IMAMA ROFIQ
03111740000060

DOSEN ASISTEN

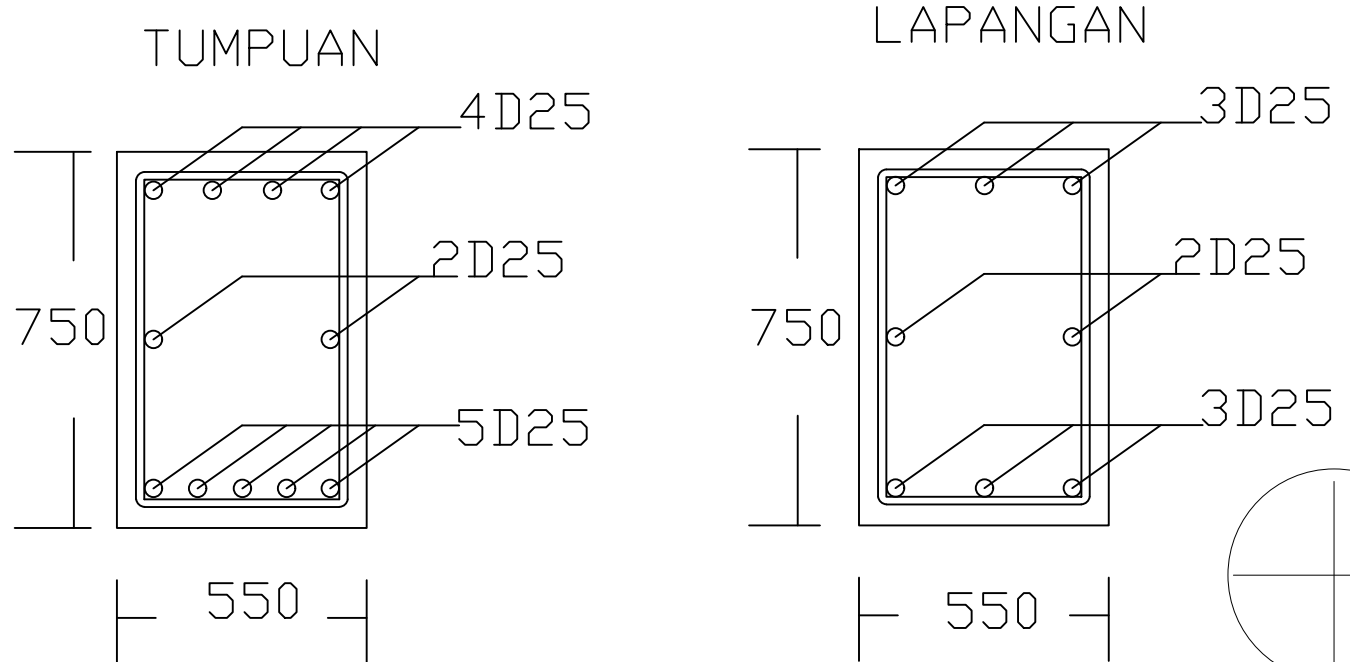
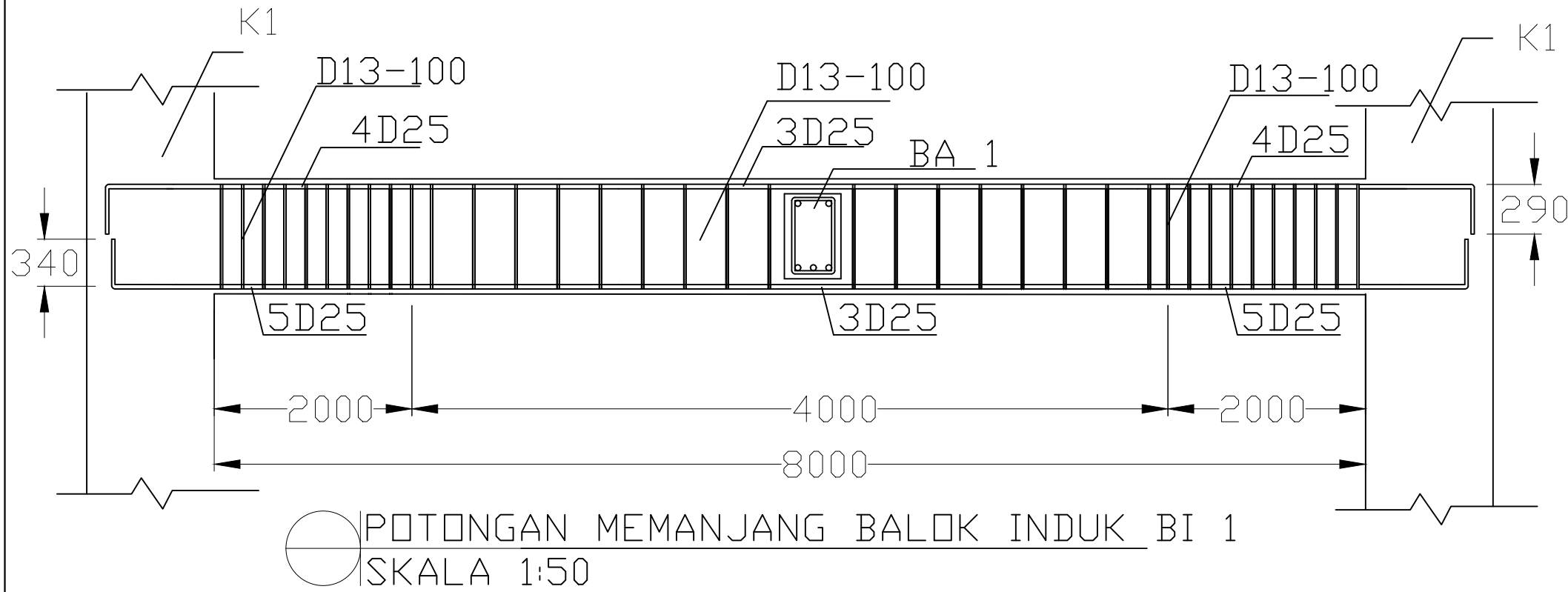
BAMBANG PISCESA,
S.T., M.T.

NOMOR HALAMAN

18

JUMLAH HALAMAN

22





INSTITUT
TEKNOLOGI
SEPULUH NOPEMBER

JURUSAN TEKNIK SIPIL S-1
FAKULTAS TEKNIK SIPIL LINGKUNGAN DAN
KEBUMIAN

STRUKTUR
BANGUNAN BETON

NAMA MAHASISWA

I A PUTU EKA C. S.
03111740000023

HILDA IMAMA ROFIQ
03111740000060

DOSEN ASISTEN

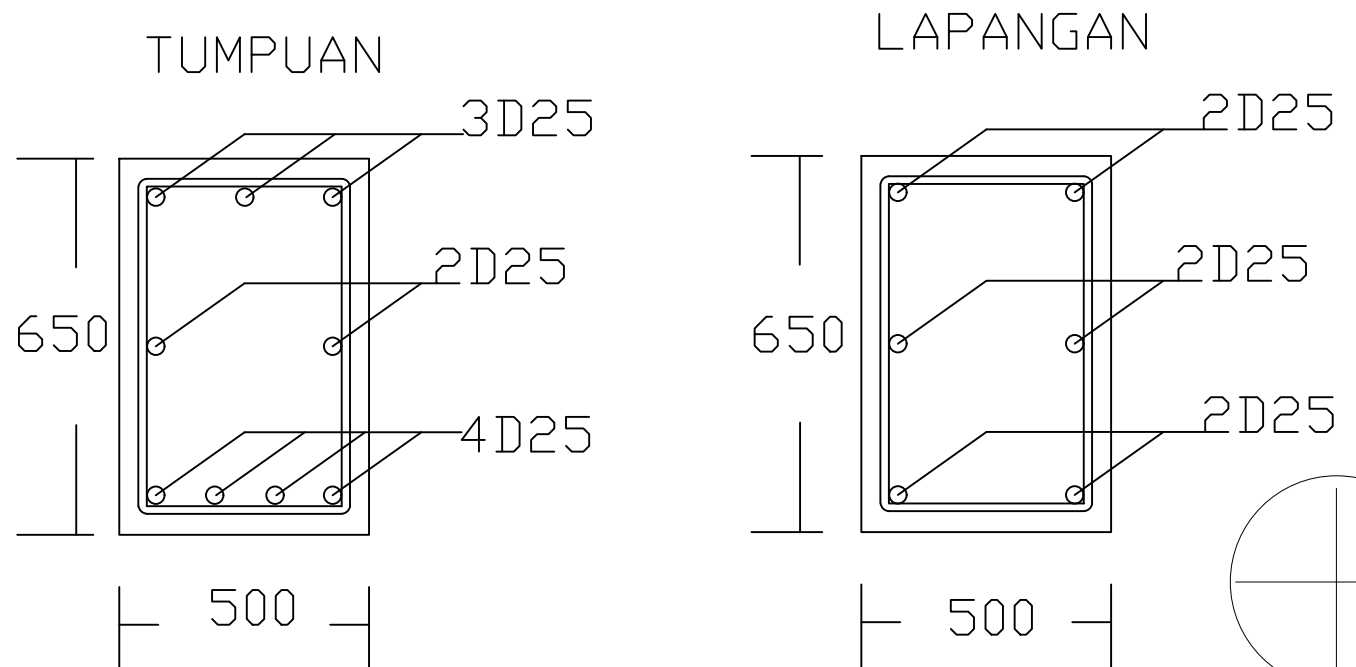
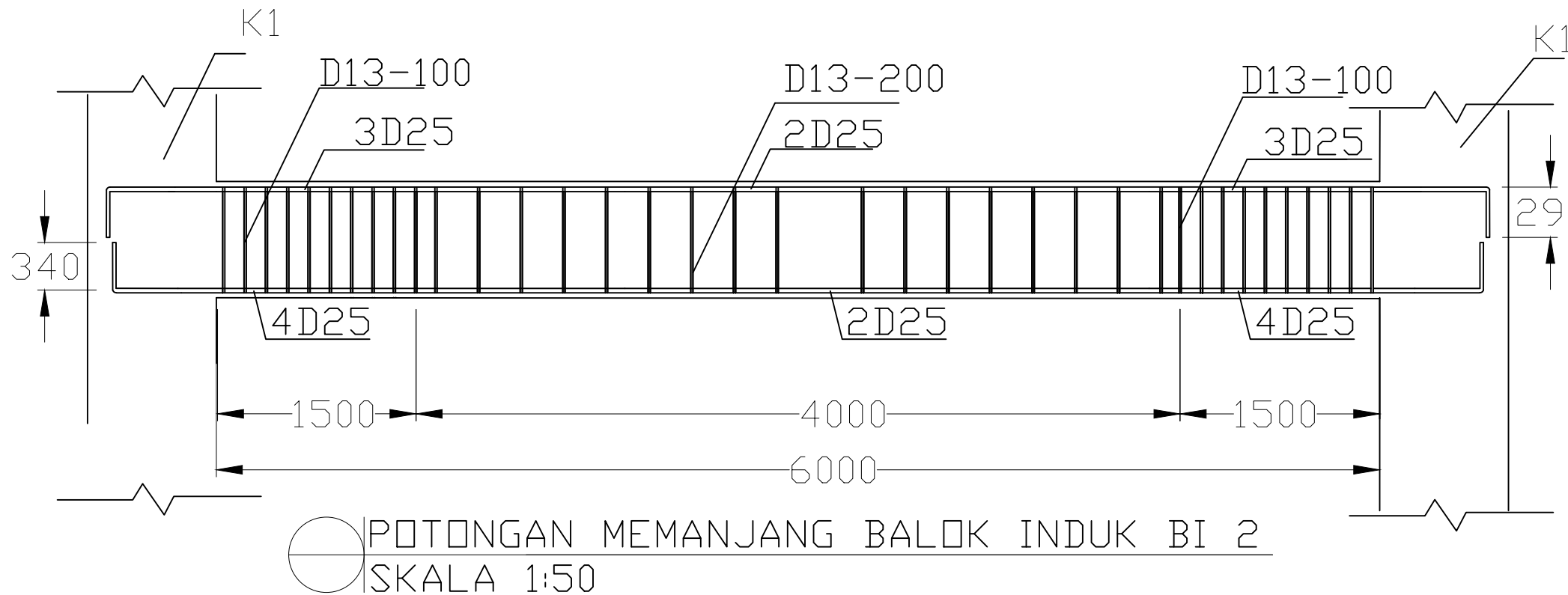
BAMBANG PISCESA,
S.T., M.T.

NOMOR HALAMAN

19

JUMLAH HALAMAN

22





INSTITUT
TEKNOLOGI
SEPULUH NOPEMBER

JURUSAN TEKNIK SIPIL S-1
FAKULTAS TEKNIK SIPIL LINGKUNGAN DAN
KEBUMIAN

**STRUKTUR
BANGUNAN BETON**

NAMA MAHASISWA

I A PUTU EKA C. S.
03111740000023

HILDA IMAMA ROFIQ
03111740000060

DOSEN ASISTEN

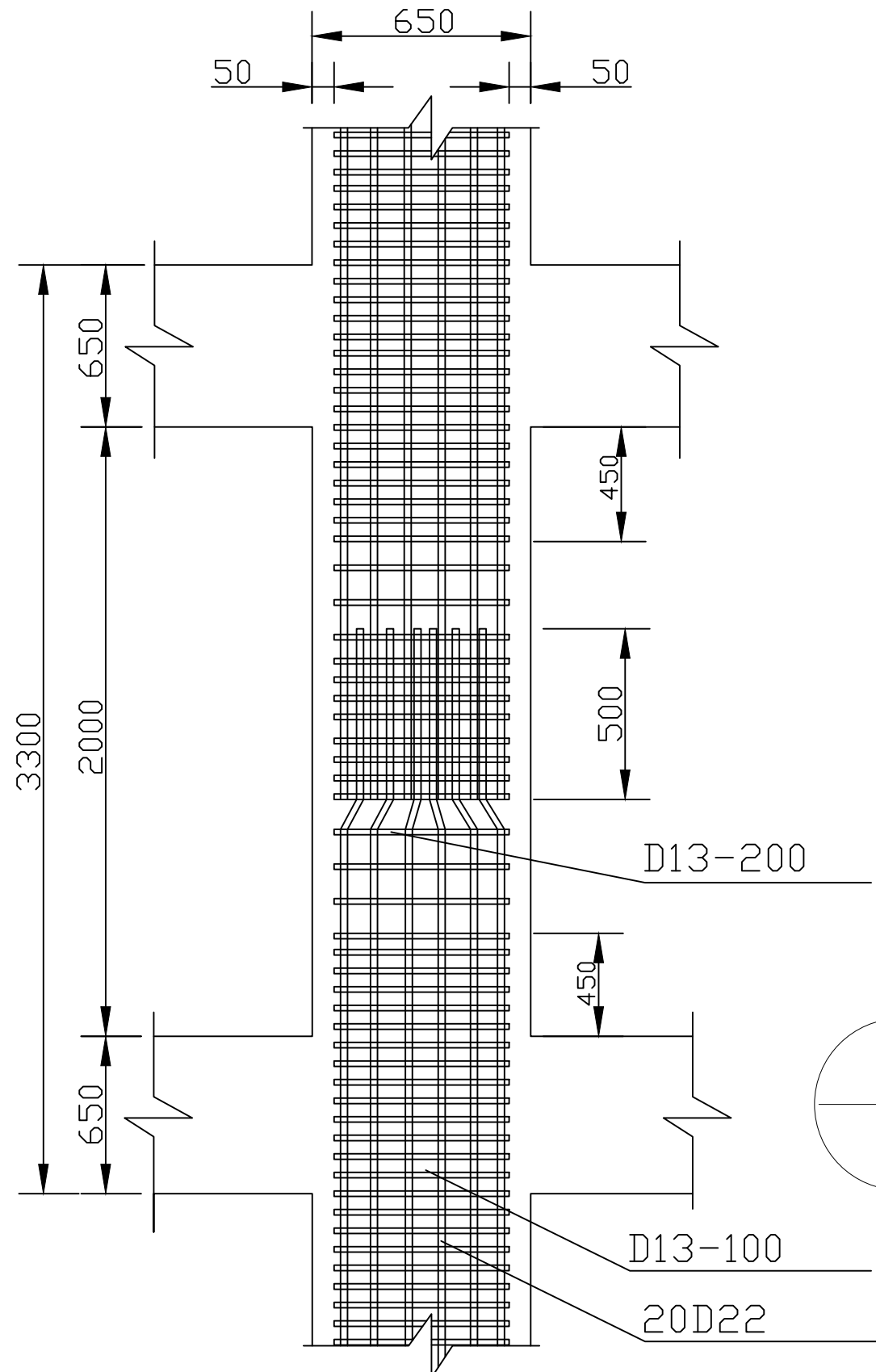
BAMBANG PISCESA,
S.T., M.T.

NOMOR HALAMAN

20

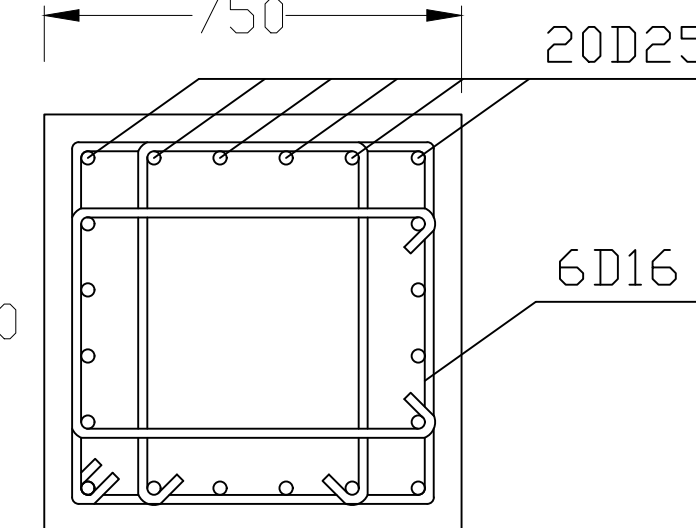
JUMLAH HALAMAN

22



POTONGAN MEMANJANG
KOLOM K1
SKALA 1:50

POTONGAN MELINTANG
KOLOM K1
SKALA 1:25





INSTITUT
TEKNOLOGI
SEPULUH NOPEMBER

JURUSAN TEKNIK SIPIL S-1
FAKULTAS TEKNIK SIPIL LINGKUNGAN DAN
KEBUMIAN

**STRUKTUR
BANGUNAN BETON**

NAMA MAHASISWA

I A PUTU EKA C. S.
03111740000023

HILDA IMAMA ROFIQ
03111740000060

DOSEN ASISTEN

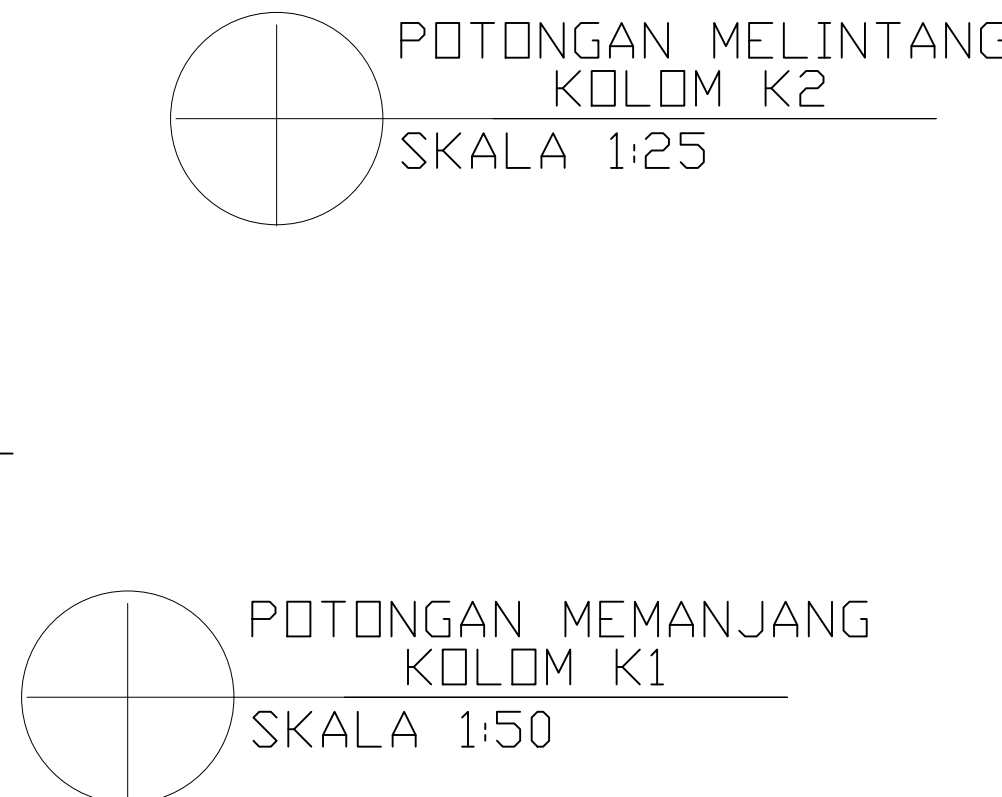
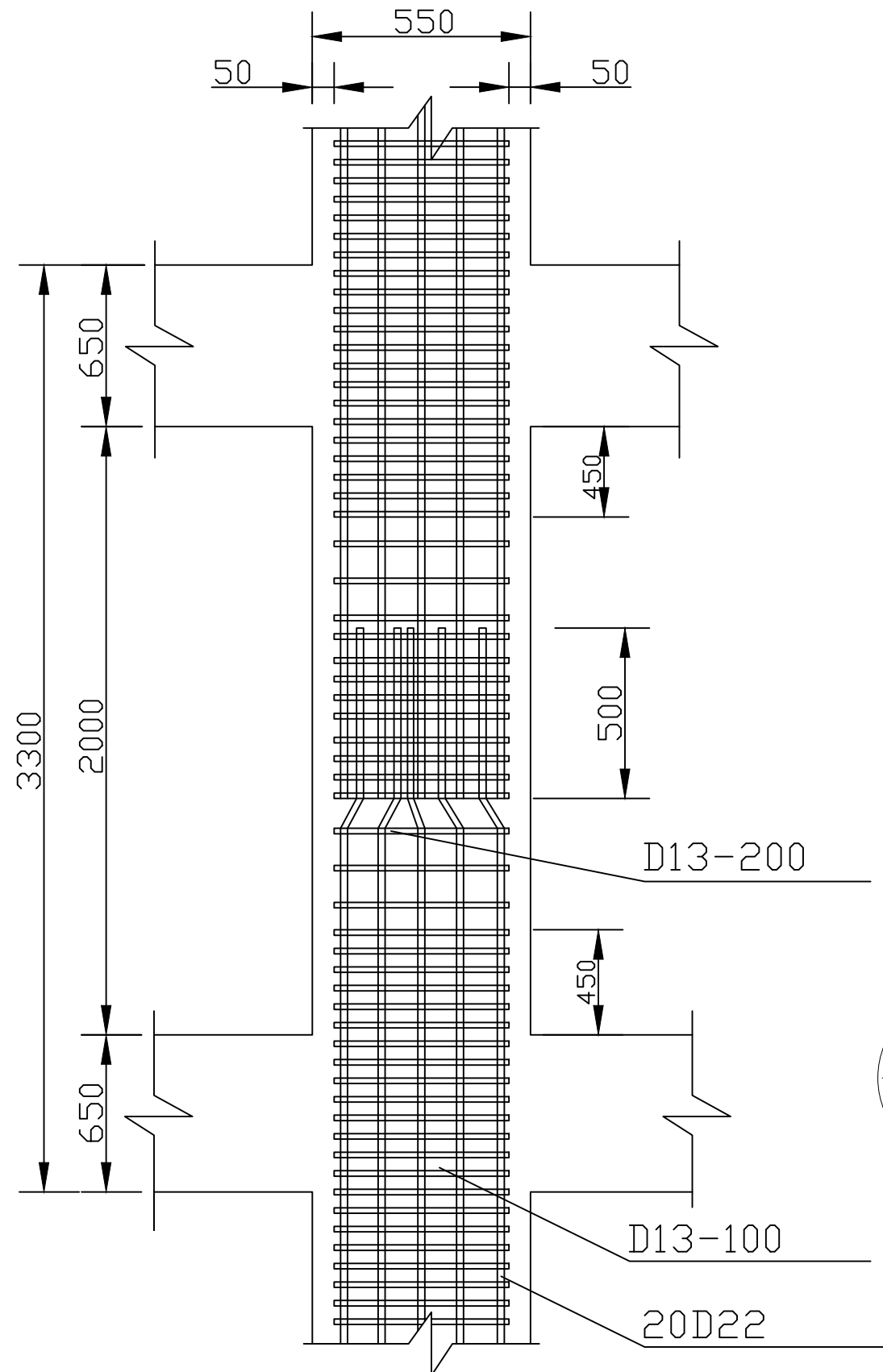
BAMBANG PISCESA,
S.T., M.T.

NOMOR HALAMAN

21

JUMLAH HALAMAN

22





INSTITUT
TEKNOLOGI
SEPULUH NOPEMBER

JURUSAN TEKNIK SIPIL S-1
FAKULTAS TEKNIK SIPIL LINGKUNGAN DAN
KEBUMIAN

**STRUKTUR
BANGUNAN BETON**

NAMA MAHASISWA

I A PUTU EKA C. S.
03111740000023

HILDA IMAMA ROFIQ
03111740000060

DOSEN ASISTEN

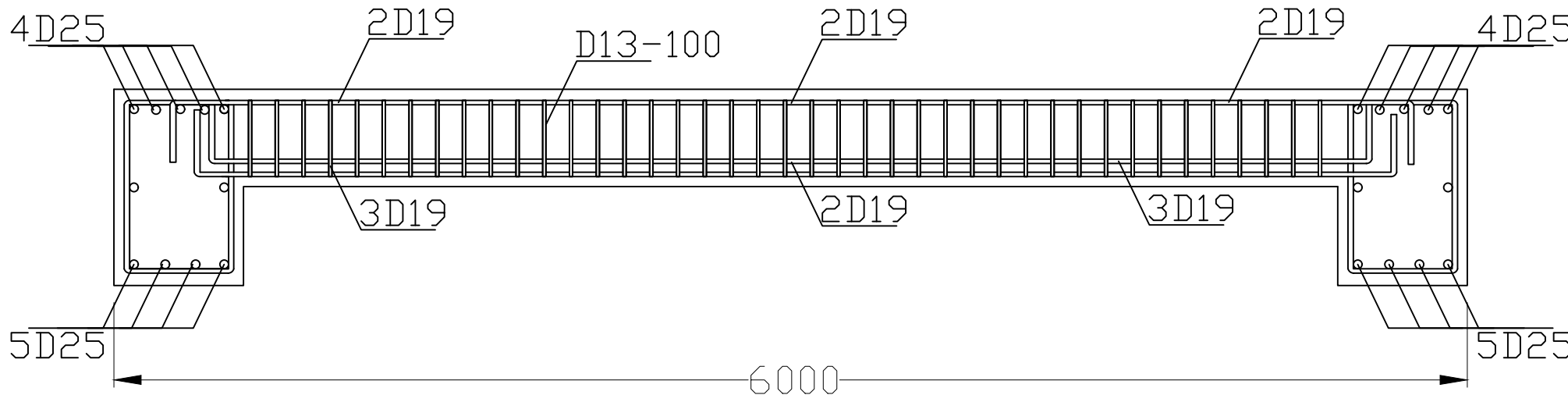
BAMBANG PISCESA,
S.T., M.T.

NOMOR HALAMAN

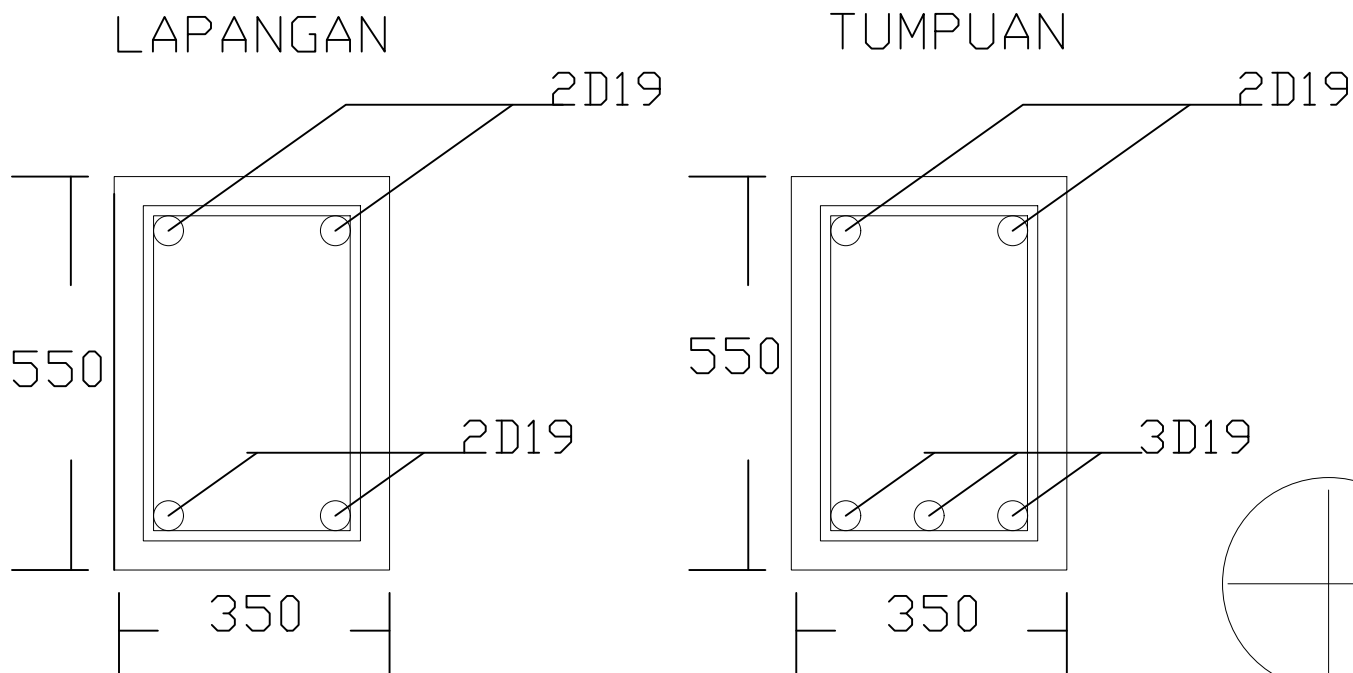
22

JUMLAH HALAMAN

22



POTONGAN MEMANJANG BALOK ANAK
SKALA 1:50



POTONGAN MELINTANG
BALOK ANAK
SKALA 1:25